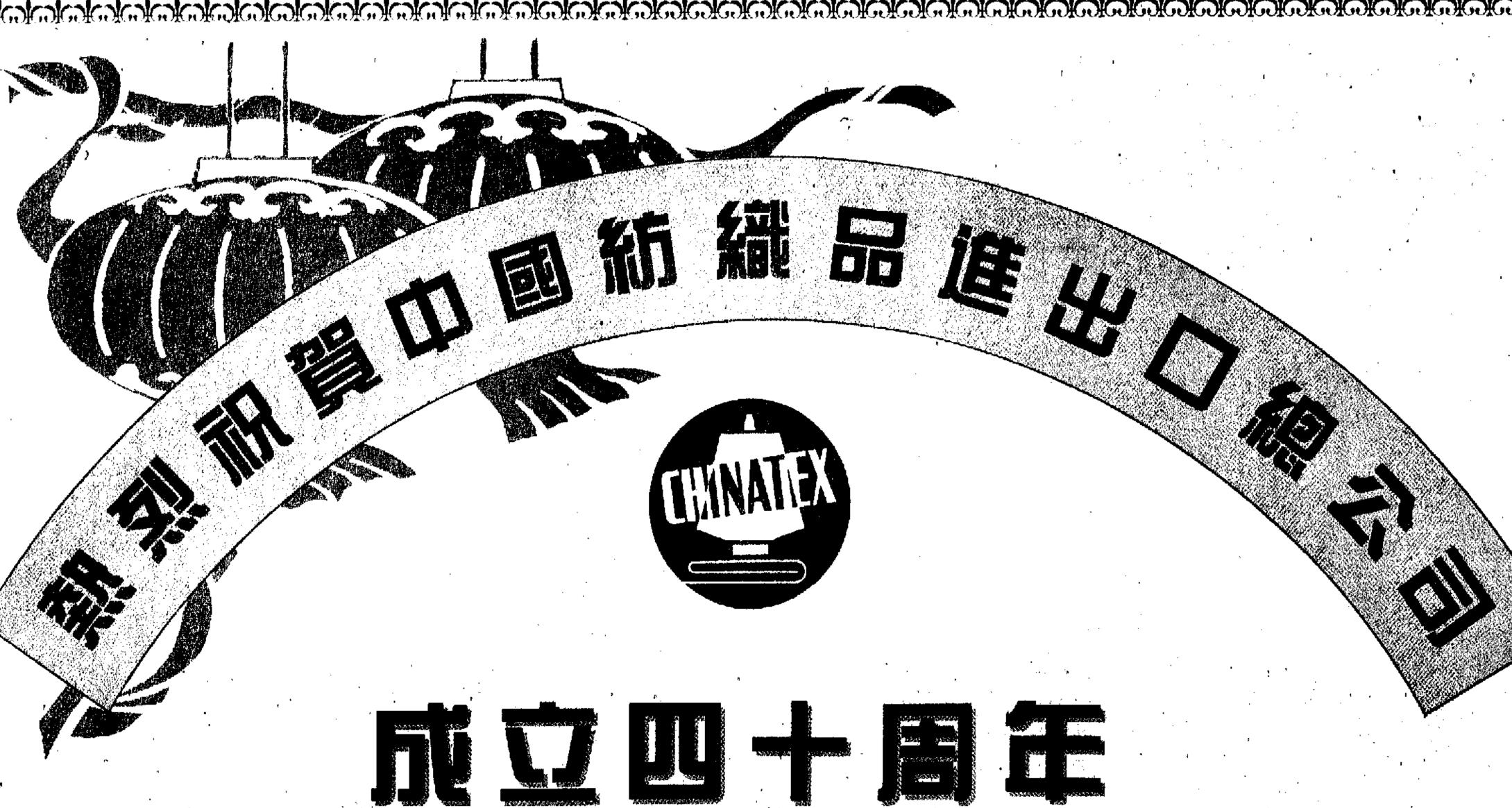
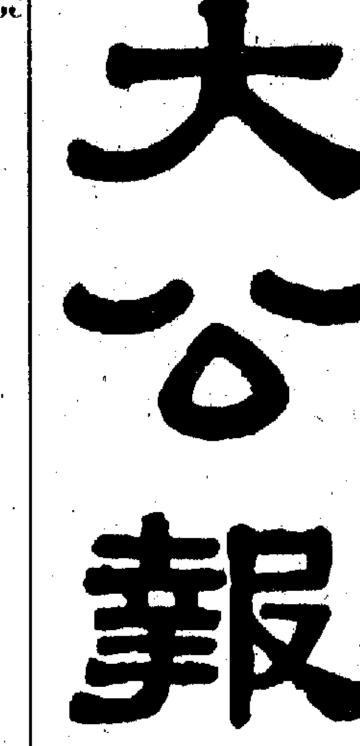
五期星

ではなったようできるかられるとう

日三初月十年朱辛曆農





342 Hennessy Road, Hong Kong 號三十二百六千一萬三第 元三份每售零 半張八紙出日今 四〇一五四三八:黄春 三一〇四四三八:肠毒助除 一七一一八三八:黄春 〇八九六二七五:肠毒告质 印承司公限有務印利有

裁:張關林

王瑞祥 副總裁: 徐守藏

各主要祝賀單位

北京市紡織品進出口公司 北京市針棉織品進出口公司 北京市服裝進出口公司 天津市紡織品進出口公司 天津市針織品進出口公司 天津市服装進出口公司 天津市紡織聯合進出口公司 中國天鵝聯合進出口公司 上海市紡織品進出口公司 上海市針織品進出口公司 上海市服裝進出口公司 上海新聯紡織品進出口公司 上海市家用紡織品進出口公司 上海市手帕進出口公司 上海市絲綢進出口公司 黑龍江省紡織品進出口公司 哈爾濱紡織品進出口公司 吉林省紡織品進出口公司 長春市紡織品進出口公司 遼寧省紡織品進出口公司 遼寧省針毛織品進出口公司 遼寧省服裝進出口公司 瀋陽市紡織品進出口公司 瀋陽市服裝進出口公司 大連紡織品進出口公司 河北省紡織品進出口公司 河北省針棉織品進出口公司

何犯省服裝進出口公司 中國紡織品進出可公司河南棉花公司。 河南省服裝進出口(集團)公司 河南省紗布進出口公司 河南省化纖毛麻進出口公司 山東省紡織品進出口公司 山東省服裝進出口公司 中國紡織品進出口公司青島市分公司 青島紡織品聯合進出口公司 安徽省紡織品進出口(集團)公司 安徽省服装進出口公司 山西省紡織品進出口公司 中國紡織品進出口公司湖北棉花分公司 湖北省紡織品進出口公司 湖北省針棉織品進出口公司 湖北省服裝進出口公司 武漢市紡織品進出口公司 武漢市服裝進出口公司 湖南省紡織品進出口公司 湖南省苧麻紡織品進出口公司 湖南華升苧麻紡織企業樂團公司 江西省紡織品進出口公司 江西省針棉毛織品進出口公司 江西省服裝進出口公司 江蘇省紡織品進出口(集團)公司 江蘇省針棉織品進出口(集團)公司

江蘇省服裝進出口公司

南京市紡織品進出口公司 浙江省紡織品進出口公司 浙江省針棉鄉品進出口公司 浙江省服装進出口公司 杭州市紡織品進出口公司 寧波市紡織品進出口公司 廣東省紡織品進出口(集團)公司 廣州市紡織品進出口公司 廣西紡織品進出口公司 廣西服裝針棉毛織品進出口公司 福建省紡織品進出口公司 福建省針棉毛織品進出口公司 福建省服装進出口公司 海南省紡織品進出口公司 雲南省紡織品進出口公司 中國紡織品進出口公司責州省分公司 四川省紡織品進出口公司 成都市紡織品進出口公司 中國紡織品進出口公司重慶分公司 内蒙古自治區紡織品進出口公司 甘肅省紡織品進出口公司 事夏紡織品進出口公司 青海省紡織品進出口公司 陜西省紡織品進出口公司 陝西省服裝進出口公司 西安市紡織品進出口公司

中紡實業有限公司 華潤紡織原料有限公司 華港紡織品有限公司 國際紡運有限公司 華嘉毛鐵廠有限公司 中大(香港)與業有限公司 融樂貿易有限公司 中大株式會社 中紡駐新加坡代表處 中紡(美國)公司 揚帆貿易有限公司 國際纖維貿易有限公司 中紡加州實業有限公司 北馬里亞那成衣有限公司 中紡駐加拿大代表處 新世紀紡織品有限公司 中的(维也納)貿易有限公司 特理证那中四合曾股份有限公司 和柏鞋牌大利山代表處 700(澳大利亚)羊毛有限公類 阿弗利國際紡織有限公司 華海貿易有限公司。 實際紡飾品有限公司

香港華潤紡織品有限公司

澳門南光紡織品有限公司

TRADE CY收貨站 ACC BREAKE

版二十三第

CONTAI

兼收北京

船名

TIAN Y

录收上海7 船名 SAN JI WU SH SAN JI WU SI

● 承接中 大、 各地之 • 代客安 零擔選 ●香港至

• 代客安 • 承接各 ABS\$ 格・並

加勒比海 NE

南美西岸 NE 陶美東岸 NE 紐西蘭 N.

江聯機 江聯機 香港 天ヲ

兼營門對 大生进 九龍波船角文 電話:770956 九龍土瓜海源 江門外海磷礦

横滇:385737

政

台職能

什布統總國美

水星北極有恐陽最近距離鄰居

帽的摄英

的電腦造型發現 的電腦造型發現 的電腦造型發現

在賓夕文尼亞州的參議些跡象看來,布什之歌

(社華新)

結束過去、開闢未來作出了重要資此次訪華在中越關係史上具有重要地南部長會議主席武文 杰一行 時也在人民大會堂會見越共中央總書的華社北京七日電】國家主席楊尚

訪問

東開

放經驗

造境事務

天,以便在省府南寧就邊境問天,以便在省府南寧就邊境問天,以便在省府南寧就邊境問天,以便在省府南寧就邊境問天,以便在省府南寧就邊境問天,以便在省府南縣的地區就與中國

外交總統

或

内

布什卻拿不出

的解者遠嚴也 羅決向高重有

l 説否繼時 l 儘認續撤

。不過道已招

数拌

已投資企業就達二十五日談合作項目。據悉· 2年八月間召開的「歌

科威特埃米爾

下周五將訪華

摩洛哥王儲下

東浦海 發開 布宣於始 苗 第現出正

二第成形已區地域流江長

潮

會見 陳長文 發表長篇講話

汪意 到 李登輝

閩

連

漁

批评人产

抵福建家

陳長 へ 訪 京 達

式商談 共識 海基會聯盟

■兩直基間交直一祖兩問。 岸接會機流接之國黨題當 的聯「構。」前統盡,然

盧泰愚與錢其琛

傳將在漢城會晤

東電 | **「本級北京** 育人吳建民今天东 育人吳建民今天东 月克即將對中國的

|這 見 大 觸 問 美

的條之常 濟平的之 **弾和放宮。** 入上午・柱極和 ※芳陪同下薬事 性梅和武文杰一 **二轉達他們** 日別的時候 光滿信心。 回答有 1.梅和武文杰在北京参一乘專機赴中國南方参入杰一行在中國政府陪 **当班小平同志的敬意**

促國促係進進金

选界中面

民业

越

簽

署兩

協定

人認為兩國關係的發見數代表團結束訪問北京工電』在中國和越南於

台灣「海藍會」商談奠定了一個、互信合作打擊台灣海峽海上市、五信合作的精神、在「一個中則下,求大同存小異,終於就正則下,求大同存小異,終於就正則正,兩岸有關方面本着互相導重、方面值得謝許: 通過這次商談, 雙方合作的範

處題國立再先,十席你一的是

加接,團們還。 超展同处作工具和最那一型 通為

, 會今 。 . 積的

息见 文則對雙方經過努力所達成的有很大收穫。台灣「海基會」台辦副主任唐樹備認為,這次 面外侧

犯北苏

國更加國大,合作的內容也更加豐富。 通過與近海大,合作的內容也更加豐富。 通過與近海大,所以致,所以對方有關規定進入對於與此相關的中國居民問題以及與此相關的問題,作為議題進行磋商。這對維護海峽兩上走私和搶劫犯罪活動方面的利益,都具有重要意義。 不動胜步,無以致升量。海域不動,但是一个人。

會見德國 願 鵬 **國經濟部長** 承 講 總 義務

中國

與中國老企業的技術改造。在不少工業領域有着先進的技術 化工等。在這些領域中德中國經濟發展的重點除農

則係三在息 需的天拜:

時說,波恩關注中國的人權紀錄七日電】德國經濟部長默勒曼屋鄉示對中國經濟的信心而感到高班僅在一九九一年上半年就以將近僅在一九九一年上半年就以將近了十十萬有建設性的」和「非常和京社」

绿星高将常勒 ,期興近積曼

話。
・脚邦經濟部長于爾根・默勒曼・京出席中德經濟混合委員會第七次
・工日電】國務委員兼外長銭其深今

(府將促進中國) 盘 經

北台抵返文長陳



間的態度, 間的態度, 間的制度 開始 **「情**1991年11月7日 相 慎 上日收市 3290 3287 上午定量 355.30 下午定量 354.50 黎世 約 354.55 354.75 354. 85 354, 30

#講体事 機数検事 34.00 34.00 34.25 34.15 10.00 10.05 14.90 14.90 8.90 8.90 23.30 23.30 21.80 21.75 12.60 12.70 20.30 20.35 10.30 10.40 **費和處黃地古縣經濟者** 34. 15 10. 05

盼各方採務實態度中國評論中東和會

七那。面困拉原上 日利 去難指因其

同美討論 平衡、地质、 重要 事

学生 基 至 覺 得 已 學 生 人 五 人 和 復 智 學 生 會 單 化 文 和 復 對 象 它 中 國 留 學 生 會 單 來 會 嚴 重 影 響 中 國 深 會 嚴 重 影 響 中 國 紹

現,使中國留出現。愛荷華在慘劇發生後

衣阿羅州贊 - 些州議員: 提供了一個

的戰爭風險。此外,歐洲的統一進程在,南北矛盾和民族衝突的加劇使歐洲面工術的裁減僅僅是開始,歐洲大陸仍存自主獨立的防務,但它也清楚地認識到自主獨立的防務,但它也清楚地認識到關係。正在崛起的歐共體,已開始驅襲

在面爭存到職是客臨隱有,創歐

生。但這是一個較長的過程,不為關係將更權平等和徵妙,歐洲的自主防務,是不能接受的。」今後,此約,是不能接受的。」今後,此約,是不能接受的。」今後,此約,是不能接受的。」今後,就是對美國領導地位的挑戰。會就是對美國領導地位的挑戰。會關整歐美關係的呼聲越來越高。

四程,不能期望耀門四程,不能期望機関門の一個不是集體管理的代別、歐洲盟國的作用の一个後,在聯盟內的一個不是集體管理的一个後,在聯盟內的一个人。歐洲盟國的作用の一个人。

馬誕用歐的科上關

成政治機構有悖於法國一貫奉行的獨立外交抱有疑慮。法國就曾公開聲明,將北約改造國更深地插手歐洲事務。歐洲有些國家對此追勢必擴大北約的政治、經濟功能,導致美北約將會推出一種綜合治理危機的理論,但問題。有迹象表明,鑑於海灣戰爭的經驗,觀略來取代,正是耀馬會議需要解決的主要義。這些理論和戰略將以什麼樣的新理論和

其在境内財產婦國家所有 無和俄羅斯聯邦共產黨在俄羅斯領土上的活動。 「新華社莫斯科八日電」俄羅斯聯邦總 命令還說,蘇共和俄共在俄羅斯領土上的活 動,並解散它們的組織機構。 今年八月二十三日,葉利欽曾宣布暫由 的財產歸國家所有。 今年八月二十三日,葉利欽曾宣布暫時 一个年八月二十三日,東利欽曾宣布暫時 一个年八月二十三日,東利欽曾宣布暫時 一个年八月二十三日,東利欽曾宣布暫時 一个年八月二十三日,東利欽曾宣布暫時 一个年八月二十三日,東利欽曾宣布暫時

自主防務

Z

度大大下降,「難活反應戰略」也已失去意因而失去前提。同時,由於對核武器依賴程線」消失,它長期奉行的「前沿防禦」理論造北約的當務之急。東歐剛變已使北約「前近較之下,調整戰略和軍事體制倒是改

的首要任務」。 報用,「徹底埋葬程」是四方的既要議題。 鞏固和

聯軍方展示其最新式 平時期而沒有舉行閱 平時期而沒有舉行閱 平時期而沒有舉行閱

俄羅斯

州總統頒

禁蘇共俄共活動

調整戰略

洋合作委會

學校長羅林斯。

學校長羅林斯。

學校長羅林斯。

學校長羅林斯。

中國駐芝加哥領事館官員李新源(學教文)

中國駐芝加哥領事館官員李新源(學教文)

特朗星期四在北約)……可能擴大至包閣,並對他們的安全感到憂慮。但多樣所,所以與一位領袖首次公開提出此建議。個家,並對他們的發言人引述他在會議上的關明。 「《北約》……可能擴大至包閣可能接納東歐國家為成員國——這是國家,並對他們的安全感到憂慮。但參學和條件仍有待確定。」

的新義蘇個期洋羅 · 邀的國聯西四公馬 · 請合家在方正約七

布什與馬卓安

會談

立陶宛、愛沙尼亞和立陶宛、愛沙尼亞和拉脫維亞。

調美軍留駐歐洲

之期星個

英議會舉行補選

一卡事實地四國 項總被告驅在王 侮統視無合此缺

蘇京

數

チヘ

場

行

念

A

革命

的関兵活動

無勝望不

。 身上的原因。 人認為這樁個別事件自有導致它發生在 這樣的事情竟然會在大學校園發生。但 兇案時,仍然感到非常震驚,覺得難以 學生鬆了一口氣。不過,許多人在談起

法國總統昨提出

. [沒有我

倡

核武器置統

蘇

東歐磋

一爾納今天心秘書長曼廷雅羅馬七

鍵的定理前,的過和新的北

在賓夕文尼亞州的參議員席位補選中失過最受人注意的是,共和黨人索恩伯思鄉象看來,布什之言似乎言不由衷。但從事情決定得這般匆忙以及其他就會好轉。

提出新建業 解納 工 據新 因應冷 出 戰後形勢通過朝精品 與 前 華約 成 員 六方向發展 國

•議會峰高天兩行舉馬羅在聚正國六十約北

坐下來談是一件好事,談總比不談好。」他說,「我們認為,中東問題有關各方階段會議發表評論時說追番話的。配者招待會上應記者要求,對中東和會第

會第一

倫

中國評論中東和

中關決議的基礎上下東和會的有關各中東和會的有關各

盼各方採務實態度

光斯 韋爾

公司

· 二千五百五十萬美克斯韋爾有二千萬鏡死亡的出版業巨子馬期四說,星期二神秘期四說,星期二神秘

疋

##.#9 7. 7630 1. 6350 129. 75 1. 7760 1. 4440 0. 7845

心臟病但他可

1. 6368 129. 90 1. 7760 1. 4453 0. 7850

收市

備拍攝到這些雷達照片。八日和八月二十三日應用地面設加利福尼亞工學院今年八月

計劃售予日出版社

開留

本月

底完成

日起舉

是期四再掛牌,市 是期四再掛牌,市 是期四再掛牌,市 是期四再掛牌,市

帮了,直接一種崭新、和一棵作出巨大黄献。——獨立的波羅的梅三洋一門的政治和軍事聯盟—為更好實現北約的目—約成員國,包括新軍事新戰略。領袖們承認莫斯科不再構成巨大威脅。軍事新戰略。領袖們承認莫斯科不再構成巨大威脅。軍事新戰略。領袖們承認莫斯四通過了一項以較少士兵、更多快速部章稱納認為,歐洲一體化、歐安會和北大西洋聯盟是歐洲——大西洋為,羅馬會議打開了「北約歷史的新篇章」。會議除了將決定北約的意大利總理安德烈奧蒂在開幕式上分別講了話。 隊和減少對核武器的秩序的支柱。 全之間的聯繫等問題「新戰略」和「加強

爾死因

職把強約時間延長至 類易條約,現在他提 到。目的是要在個別 一百零八國 一百零八國 一百零八國 一百零八國 一百零八國 一百零八國 一百零八國 一百零八國 一百零八國 一百零八國

與大解決的問題。 與大解決的問題。 與大學 與所被官人加藤 上任第二天便立即召 上任第二天便立即召 上任第二天便立即召 上任第二天便立即召 是成一致意見。

解應開客。除日會一次

馬克斯 本する。 に対し、 に対し、

死於自然

日然 2 年 7 馬克斯韋爾在掉 2 年 7 馬克斯韋爾在掉

以便促成一項協約。 以便促成一項協約。 以便促成一項協約。 以便促成一項協約。 以便促成一項協約。 以便促成一項協約。 以便促成一項協約。 以更促成一項協約。

一十年。 (**以回我那些鞋子** 地說,「在 鞋子的時在我能

前有三千雙。現在 育方數字僅有一十名 解統府博物館 名僱員否認了馬科斯 名僱員否認了馬科斯 名僱員否認了馬科斯 現在,

股

,易維米 **判** 粉酸 科 資料於日

並就鞋子墩屋與非當局 (1)

「加坡海峽時福揚載」 1448, 40 1683, 50 i 教金融時報指數 法蘭克福爾維指数 1956, 10 1834, 10 市

國際最新匯市

港西日英瑞澳

随怕國和軍太九港長豐和泰黃地占班歷實 倫敦港股

模 上日收市 3290 3283 上午定量 355.30 下午定量 354.35 354.50 354.55 354.75 34. 00 34. 25 10. 00 14. 90 8. 90 23. 30 21. 80 12. 60 20. 30

天,以便在省府南寧就邊境問題舉行會談。係舉行首腦會議的越南官員已決定多逗留中屋期四說,在此間就與中國恢復正常化關一個法新社北京七月戰」「名越南淮总人訪問。

文杰率領越南高級代表關來樂進行正式訪問文杰率領越南高級代表關來樂進行正式訪問

的新開端,這是兩國人民都為之高與的。「工澤民說,中越關係現在有了一個良好正盼望着代表團帶回好消息。
「以望着代表團帶回好消息。他說,越南人民兩國關係「進入了一個新階段」,中越關係兩國關係

日八月一十年一九九一

方官聯蘇管值 * 易紅到行遊者持支黨產

臨,

休息)

3551

海外鄉親工

疫病流 基本勝

的色特"制兩國

順 得宜是

,芳 將

三 八 資 高 窓 高 窓 高

彩色菲林擴印機



LEADER: *135、110、120、碟式菲林; *2R . 3R . 4R . 5R . 8R;

*冲23卷/每小時、印2500張/每小時。

IMAGER:

*冲11卷/每小時、晒800張/每小時 *用KONICA、KODAK 相紙藥水或其它 **週用材料,全球性服務**。 *13分鐘冲印(TURBO新款機)

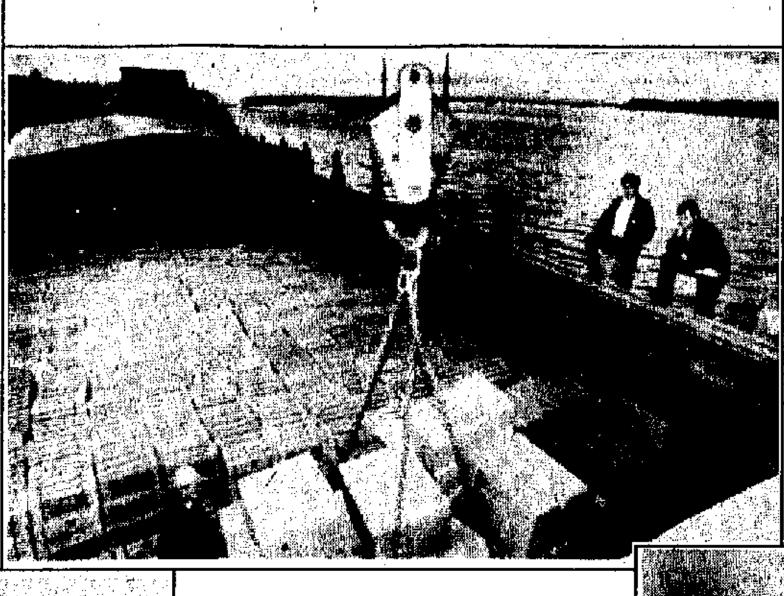
法國KIS集團亞洲有限公司

Tel: 5298191 Fax: 5297663

版四第



五期星





共有 然仍四期星是但,式儀祝慶命革月十消取次首方官聯蘇管儘 🕴 ·年周四十七命革月十念紀場紅到行遊者持支黨產









LEAD

*135 \

* 2 R

*冲23者

味列

山界首出山岡胡(雪潭)活設置

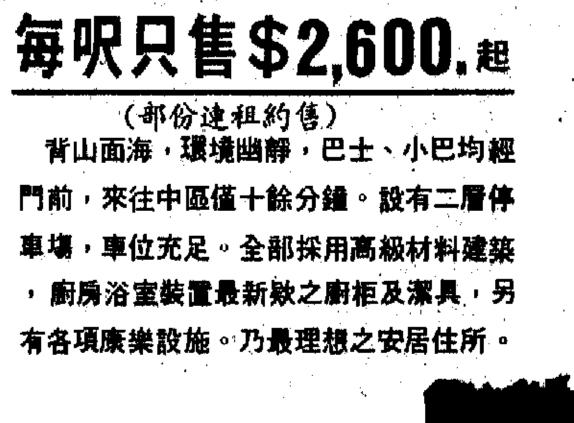
下午二時至五時(星期日休息)

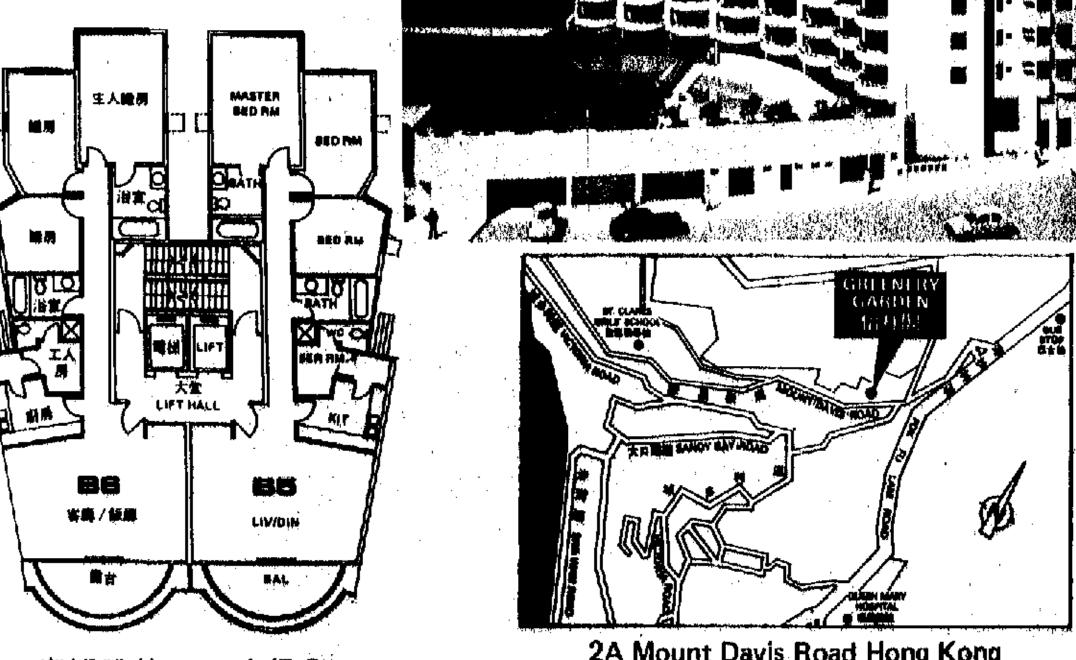
聯幣電話:8241268 傳真:8243551



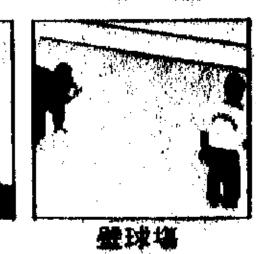
超值高级海景歌平住毛马

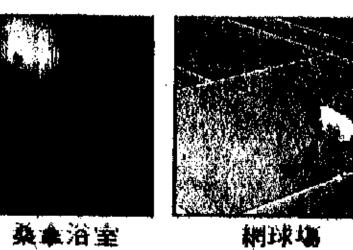
最佳B座保留單位 單位面積:1,587呎





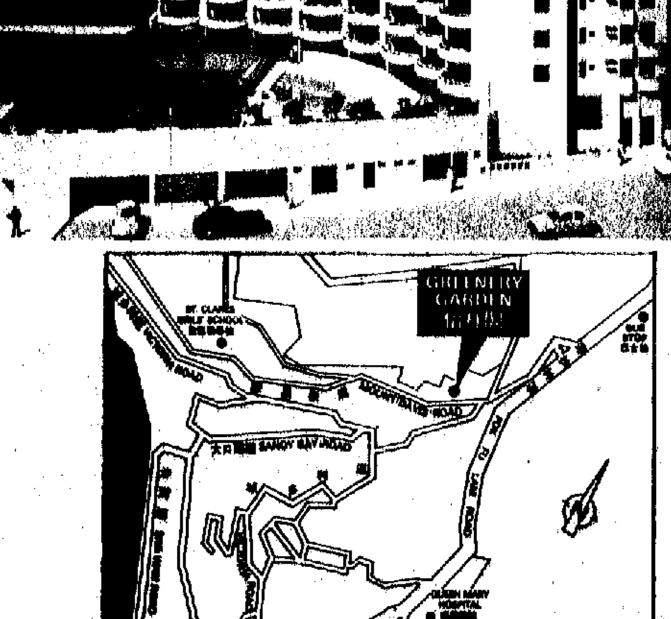








首樓處: 富能發展有限公司 香港德輔道中302號華傑商業中心20樓 電話:545 3222(總機)



2A Mount Davis Road Hong Kong



先付訂金拾萬元(祇收銀行本票) 抬頭稍寫「廖陳林律師行」,五日內到 廖陳林律師行辦環購權簽合約手續。 辦公各項按揭手續後,即可入伙。

已於十一月六日開幕,承蒙各界朋友光臨,深 表謝意。洽談會將於十一月十五日閉幕。

洽談會地點:香港灣仔港灣道一號

會展廣場辦公大樓42樓

冷酸時間:上午九時至十二時

吉林省

汽袋

信譽昭355

奔 地 LBENZ

生月動465、000 八製建门 上書車 或1163377周8757 **建紀東岡**



语。活动

China Telephone Directory

中英文對照《中國電話號簿》是國內唯一由鄭電部授 槽中關電話號簿公司出版,並發行關內外的全關性電話 號簿。香港大公報合營機構現代中國有限公司爲海外

本電話號薄選擇全國省、市、自治區近一百三十多 個大、中城市三萬五千多個重要機構、團體、工商企 業、涉外實館、單位及外商駐棄辦事邀、各國駐棄使館 等電話、地址(部分進有電掛、用戶電報、傳興)加上部 分潘、澳公司資料、以中英文判益、方便中外人士宣 用。九一年版更分成政府及非商業單位(白異)和工關企 業(黃興)兩大類,使關金更喬方便,同時增强了廣告電

資料最新

公司、黨信管理局提供。在全國電話迅速發展,大量新 號、改號不斷出現的情況下,提供最新、最可靠的電話 通信資料。

國內外發行、廣爲採用

本號薄在國內外發得兩萬五千餘本,在國內受到需 要與外商駐業辦事處或使領轄聯繫的國內用戶的數迎。 本書同時廣泛贈送國務院各部首長參考,各大實館並採

除在港、澳、台號行外,進供即日本、開轉、養鵬 和歐洲各關。包括各大公司、簡音、協會、使領轄、政

經銷發行:

現代中國有限公司 香港軒尼語道397號2003室

大公報門市部 養満軒尼時道342號 電話:5757181

書店同業批發:上海書局有限公司 香港機輔造西345號6樓 電話:5486160 5487262

5 R M : 8065388

特約分銷商:永達貿易公司 電路:6585665 (処無途審服務)



3,幸福之情溢於言以當年毛主席匯報西柏坡區。一九五八年,關學習,改變舊的耕作工。一九五八年,關學習,改變舊的耕作工。

每本港幣300元 大公報門市部有售

中國郵電部授權出版

收錄全國重要單位電話、地址等資料。

傳效果。

本號薄資料由中國電話號簿公司、各省市電話號簿

用供旅客電關 府部門。是海外對華貿易廠商必備的參考書 中國的近現代史上有不勝枚舉有國界性;同樣,人權問題的法律則的被職。這在世界近界性,關係不可能從國家主權中,與 一個重要組成部分,人權問題是國家主權就不可能從國家主權之上。人權問題是國家主權的一個重要組成部分,人權問題是國家主權的一個重要組成部分,人權問題是國家主權的一個重要組成部分,人權問題是國家主權的一個重要組成部分,人權問題是國家主權的一個重要組成部分,人權問題是國家主權的一個重要組成部分,人權問題是國家主權的一個重要組成部分,人權問題是國家主權的一個重要組成部分,人權問題是國家主權的一個重要組織的一個重要組織的一個重要組織的一個重要組織的一個重要組成部分,人權問題是國家主權的一個重要組成部分,人權問題是國家主權的一個重要組織的一個重要組織的一個重要組成部分,人權問題是國家主權的一個重要組織的一個重要組織的一個重要組織的一個重要組織的一個重要組織的一個重要組織的一個重要組織的一個重要組成部分,人權問題的法律性,但對於

舉現混政的權家主更麼它對有

、行國的國性於 **販為際國際,國**

買包組際性人家

家可權缺

,從個

因而不會輕過去會否有。如此兒戲的

思三得值情事人殺剛盧

生

專業資格應

議 上 ル み る

(審司作出) (格問題)

是有專業資格人士均可在港擁有相若 是有專業資格人士均可在港擁有相若 是有專業團體,它們差不多會承認 與個律師會查核會員專業資格的程序 與個律師會查核會員專業資格的程序 與個律師會查核會員專業資格的程序 與個律師會查核會員專業資格的程序 與個律師會查核會員專業資格的程序 與個律師會查核會員專業資格的程序 本港的專業團體 在上述律師資格被吊銷事件中,

專國中團支地治中目向一師

,即將「遠嫁」。 ☆中通公虎。據悉,有一虎仔已被外埠動物團相中。日前,已從北京引進一隻年僅七個月的小。日前,已從北京引進一隻年僅七個月的小現在,飼養員已在為虎仔的配偶操心了

室的共產黨人和南京國民一間小平房,竟是當時全軍。如果不是置身於這裡,「中國人民解放軍總部」

就會高的。毛主席還親自到田裡手大少了。你們是不是像南方那樣,不可見不是像南方那樣,也可以們是不是像南方那樣,也可以們們是不是像南方那樣,也可以們們是不是像南方那樣,這麼一個說,在毛主席來這裡之前,而

失落而自殺的事件。自我消滅,以擺脫我不少由於個人種種

人 權 屬 於 國 家 主權 學的,也是行不通的。 人 權 屬 於 國 家 主權 學的,也是行不通的。 人 權 屬 於 國 家 主權

就權對,的發權中自是

块

一個個發的案件,頃刻忘之腦後而不加以深思細究的話。那麼已往的憾事失去了以深思細究的話。那麼已往的憾事失去了以深思細究的話。那麼已往的憾事失去了。想想看,這些死去的教授、博士們的專業水平,不知要讀多少書,積累多少和會、對話方面低劣、病弱的人,將會對社會、對語方面低劣、病弱的人,將會對社會、對於對會;德、智、體、群、美諸方面的才,也對自己造成多麼大的損失和危害。想想看,這些死去的教授、博士們的專業水平,不知要讀多少書,積累多少知識等,一個單單在專業智能,也可以深思細究的話。那麼已往的憾事失去了,也可以深思細究的話。那麼已往的憾事失去了,也可以深思細究的話。那麼已往的憾事失去了,也可以深思細究的話。那麼已往的憾事失去了,也可以深思細究的話。那麼已往的憾事失去了,也可以深思細究的話。那麼已往的憾事失去了,也可以深思細究的話。那麼已往的憾事失去了,也可以深思細究的話。那麼已往的懷事失去了。

——因他渴望獲得的論文榮譽獎頒給了別是大陸,恐怕都不同程度地存在着。了道德思想方面的教育。這無論在本港灣了道德思想方面的教育。這無論在本港灣實際教育中,往往還是偏重於智育而忽略、智、體、群、美」並重的口號,但是在

上主義者才能幹得出。他 性報復行為,只有極端自 之;死也要拉幾個熱背的 整盧剛這樣;我得不到的 整盧剛這樣;我得不到的 軍為

网是如乏署謂茲俣娥^李還 會的題了屋元居官前居



電話:3818222-4 傳真:3970899 海口辦事處地址:海口市龍華路36號海聯龍華大廈903室

旺角通菜街217-223號麗明大廈地下B舖(近運動場道)

電話:775104,794008 聯絡人:曲生勇、黃先生 電白縣聯絡處:電白縣水東鎮人民路72號

電話:527054 聯絡人:謝國華

。屆聖軍象的多好

七座吉甫RJ77 公爵 VIP 轎車 田産姜 七座吉甫 V32

豐田:12座、15座麵包車、大皇冠皇室型、超級豪華型、中巴26座 的士頭、雙排座農夫車、吉甫、姬仙達。

日產:公爵、巴寧、的士頭、藍鳥、千里馬。

火代客辦理送車至文錦渡、報關及各港口手續火

進安汽車行

新界荃灣大河道十一號地下 電話:4900677 傳真:4141090

香港新界石崗橫台山羅屋村錦田公路

凌志、91小霸王 特價: 本田2.0雅廓左軚現貨

九龍旺角花園街211A地下(近太子站) 電話:3810331 傳真:3970101

歷史悠久

BMW 91新款

E 真皮座,電腦裝備 缩射音響,豪華設備

吉普豪華7座 5/8/10噸

工。平斗,反斗,拖頭 重型載貨車

原廠質量保證

供應國內三資企業 免費送車文錦渡/香港碼頭

轎車・吉普・麵包車・農夫車・中巴・貨車 皇冠2.8 皇家級轎車 **對**麵包車12/15座

中巴26座 柴油/汽油

1.25噸農夫車

VIP公爵 V6 3.0轎車 藍鳥2.0轎車 巴寧豪華8座

佳奔12/15座麵包車 的士頭0.75噸農夫車

7135191

傳真:4887387 (人) BENZ 全新翻新 200E 300E 300SEL 420 SEL 500 SEL 560 SEL 治 眞皮座椅,鐳射音響

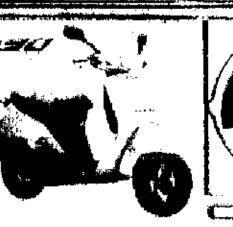
全電動座椅,軚盤汽袋

信譽昭 傳真:7621555書 九龍土瓜灣譚公道1 15號地

電話:7621688

重裝齊備,平價頂銷, 歡週批發治購 543 4103(6森 九龍河內道二號五楼 發客萬千掛合過世界 3689986個真3665857 全福婚姻公司

備有現貨・代客運送 LEAD90 CG125 SPACY125 CBX125F CBX125CUSTOM 大路易纫 得意纫 100、125CC發動機總成 全蛛網125CC





美新商場童號舖

四德奔馳 AMA BENZ 2 W.M. HENZ 86 年1205EL 至日動冷氣295,000 88 年3005E至自動冷氣295,000 至納91年3005EL 至日動465,000 以上召車日總國原裝進日 内外保護如新歓迎晉車 減辦公實5762390或1103377回8757 **宣誓治經紀克問**

中國郵

收錄全

傳效果 🛚

通告牌

双通告牌

造牌放在售票機前分開始知停駛

面路段一朗元至咪九十由

、派及善改法設局當促民居

州水平杨	光
底薪増幅	1991 總薪酬
百分比	港幣/每月
14	5,930
3	6,996
5	4,554
11	4.981
11 .	5,421
9	5,454
14	9.364
15	10,395
16	9,499
11	9.111
12	9.602
10 •	6.647
4	8,494
8	8,956
7	11,052
7	15.178
.13	6,041
21	9,774
29	11,000
4	14,059
14	6.595
4	9,274
11	13,337
11	17.385
12	7,423
12	11.460
13 7	5,628
	8.544
8	12,793
19 19 19 19 19 19 19 19 19 19 19 19 19 19 19 19	0,000
	0,56/
10	A 102
4	5,740

占。以十二個月收入計算。 之總和。以十三個月計算

四内額時億的不稱

得居



可商檢,歡迎三資企業及國內同胞來電查詢。[2]

傳真: 852-7610084 地址:九龍旺角太平道1一1A號地下



駐厦門鮮事雄

度門東波路68號

增新:625072 梅黄:624792

聯繫人:池志强 李東梅

厦門合作單位: 駐上海辦事處:

上海合作單位: 上海武康路390號 電話:4336892 梅羅:4330518 **體傳:33146 STAC CN** 聯繫人: 劉大立先生 聯繫人:王明赦 梁錫輝先生

北京合作單位: 北京機文區東端市大街间號

南京合作單位: 中國汽車工業進出口公司南京公司。中國汽車工業進出口公司江西公 中国南京中央路331號 電話:3113825 導旗:7013614 電話:363670-1 傳載:313295 電話:223870 停氣:224164 **電傳:95212 ANEJX CN 養俸:34**150 NMCNJ CN 聯盟人:孫 偉 夏英傑先生 聯繫人:戴塔寧先生

江西合作單位 南昌民德路107號汽車電子外質力

天津合作單位: 天津汽車工業進出口公司 中國天津重慶進70號 電話: 314674 傳真: 317268. **電傳: 23323 TALEC CN** 聯繫人 周城 董克献先生

肇慶合作單位: 能表市第三機體設備公司 廣東省旅廠市開湖坑口 電話:298223 梅興:225059 體掛:0897 聯繫人:文賞住、梁漢明先生 刀規則百

商品介紹廣告 高2¼"x2" 毎天特價100元

▶分類廣告・大字4個 小字36個,每天18元。

專練電話: 5726980 8873550 FAX: 8381171

8876647

(P) TOYOTA 凌志豪華橋車

5人患輪車 林行車 (2200co 2800co汽油, 2,400cc停油)

12.15人座小客車(汽油,准油

涩境醫驗貿易中心16樓1623室

電話:251333、238607

副業人:王徳青 王徳敏

機関: 200035

CROWNIA

6人座工具单(汽油)

仙力架GT單門跑車 LAND CRUISER吉普車 高仕達26至30座中巴

電話: 3276226轉309房

傳興:3269620輔309房

聯盟人:王德維

全新左軚 現貨 直接進口

服務有限公司 DYNA牌 (1.0, 1.25, 1.75·6) 3 人産0.75頃、1頭・6人座雙排座

香港中環德輔道中60-68號 萬宜大廈6樓602室 電話:868 3962 傳真:524 0886 即日送交碼頭或文錦渡

浙江省合作單位: 左核「蓝鳥」BLUEBIRD東華級輔率 外形荚制,行业輕快安稳、享受奠正 驾驶梯起。



左秋『巴掌』VANETTE COACH 7及8座位豪華旅行車

地址:九龍彌敦道301-309號嘉賓商業大厦1310室(地鐵佐敦站,裕華國貨樓上) 全港貨源最多

浙江省外商投資企業物資公司

中國杭州環域西路56號

電話: 551642 754567

傳真: 0571--551675

聯繫人:沈碩令

廣州一華多利汽車陳列室 地址:廣州市東風凸路142號 南油大厦首層商場(流花湖公園對面) 直線電話及圖文傳真:677392 分機電話:663188轉220

海南一華多利汽車展銷中心 地址:海口市八灶村321號地下 (即邊海新村速溶咖啡廠對面) **電話:775478・224323** 圖文傳真:775478 聯繫人:麥一瀾,移騰洲

厦門一華多利汽車展示中心 中國汽車工業進出口公司厦門公司地址:中國厦門湖濱東路134—136號 電話:561718 傳真:621740 聯絡人:陳先生,陳艷

遼寧省一華多利汽車有限公司 中國汽車工業進出口公司建寧公司地址:中國瀋陽勝利北街25號 電話: 330368 傳興: 331257 聯絡人: 亢迎春, 楊德才

聯繫人:羅錦釗・潘州州









豐田FJ80L新款日吉80系列



豐田RB20L/BB21L豪華26座

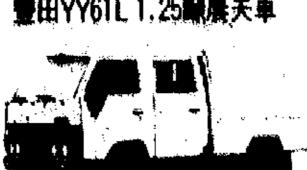






豐田MS132L 2.8皇冠





港幣/每月

6,996

4,554

4,981

5.421

5.454

9.364

10,395

9,111

9,602

6.647

8,494

8,956

11,052

15,178

6.041

9,774

11,000

14,059

6,595

9.274

13,337

17,385

7.423

11,460

5,628

8.544

12.793

9,373

8.927

7.704

4,402

港幣/毎月

4.850

3,662

4.018

4,043

7.345

4,999

6,632

4,409

6.710

8.271

4,587

7.268

9.877

12,644

5,419

8.401

4,080

6.529

9,648

7.126

3.33

3.716

3.清潔工人/亞嬸

5.護衛員

牙醫註冊條例擬修訂

擴大牙醫管委會權責

條例草案則 命令均須表, 的所有紀律

. 倉務員

14. 副工程師

16. 高級工程師

24. 系統分析員

29. 行政秘書

港幣/毎月

4.978

4,053

4.467

4.391

7,680

8,436

7,828

7.991

5.551

6.928

7.435

9,206

12.626

4.968

8,146

8,001

5,251

7.578

14.022

6,064

4.596

7,002

10,391

7,834

6,362

4.072

14

15

10

.13

21

11

11

13

.8

10

10

* *

技術的工人,保證他們在這個問題上政府應提力利用本港原有的勞工協助結構性失業工人轉捲工人的失業及半失業

傳播愛心基金」,救助華東水災災民。所有遊戲券收益及捐款,將撥捐。

教統司 談設培訓基金 等平方活面調主要 行均面質的查加是 業流。素支亦強因

的範圍。 大牙醫管理委員會對牙醫可採入昨作上述宣布時表示,該條

費斐任

採取紀律處分

有權力・亦予撤銷。 忌發出的命令。有關延期兩年命令將包括有權不發出命令及

"一个多工路的多领事及不局" 道應經濟專型

用些環講長航水工往衛蕭就工保述和行處程視突栓

,將會使沿岸的水質 得到顯著改善。 得到顯著改善。 期望的遭要污水策略欄置。追 將污水策略欄置。 地說,港府不會 他說,港府不會 他說,港府不會 他說,港府不會 一個說,港府不會 一個說,港府不會 一個說,港府不會

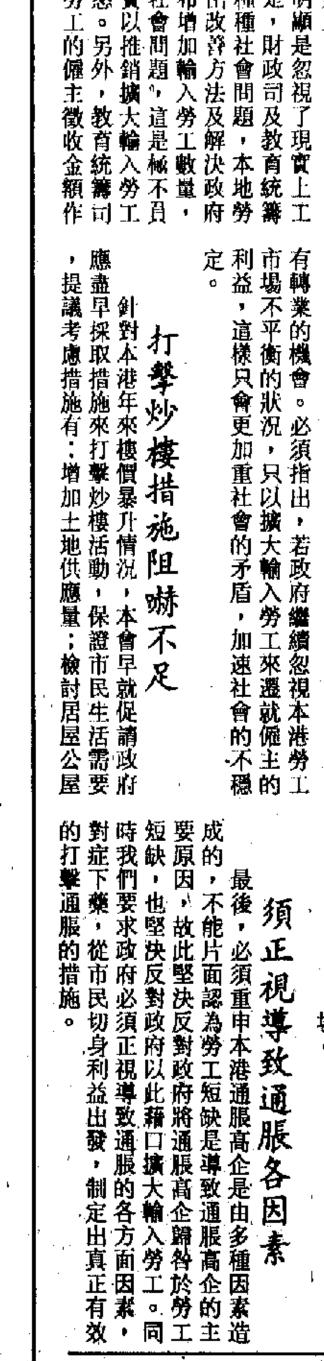
六合彩頭獎兩注中六合彩頭獎兩注中

四理系统

二生修自文必

乘客如購票後始知停線 向票務處退票





耳透鏡園

QSS高速冲印系統



「試日士」Q88~1201V及Q88~1202V需集着終条 突破性的先進電腦功能及設備於一身、使用戶能降低 成本、提高產量及輸化操作程序,是成功沖印商之必

突破性的先進設備如 變態放大號 將35毫米全稿/半稿·110·126或購式放大為82.6× 120毫米至162×228毫米相片。

附配有DX數碼感服器之態片自動輸送器 自動物能片逐一的送準學光度,並阿時線電腦自動感 應此底片缺屬的頻度。 多點式彩色電腦掃描器 為關別展片作出顏色分斷,然後作出補正,如果和底

片直動輸送器 "拼使用,更可享受真正"全自動印放

的功能。

電腦資料C時; 電腦IC時能記錄不同之冲用程序資料 / 使操作里為準確

立即雇用「諸日士」沖印系統 了儲日士」一向在市場推出動勢世界的各種冲印產品。 因此,你可信賴我們所提供高水準及高效率的服務。 **徽知冲印市場的存制資料,請直接與我們的專案聯絡**

香港香港行員竹統勝37號利達工具大篇22橋 電話:(852) 870 003 - 概義:(852) 814 7630

。 是北普門設程員地伸了 渠九污,立。向 **無**展這

會員大會條政會章,選舉本會第十二屆環監事, 務會員大會條政會章,選舉本會第十二屆環監事, 務存三時,在北角僑冠大廈A座七樓本會會所召開特在通告 香港福建同鄉會有限公司

香港福建同鄉會

元。
年四元一注派六百八年四元

45 商務英語、海記及會計 和外語英文。此考試 和外語英文。此考試 新編任何學歷要求。 無編任何學歷要求。 計 者 (43)

乘船視

是助用

一至上, 版 专正年星三、 一 年 上 期 十 至 一 上 時 六 分 四。

抑制本港工業技術未來的破展的工業活動和充分利用海外輸展,目前本港材料科技的基本 年二月份舉行。有二月份舉行。有三月份舉行。 一年至二十二日(直接 一年五十二日(重接 一年五十二日(四十二日) 一年五十二日(四十二日) 一年五十二日(四十二日) 一年五十二日(四十二日) 一年二十二日(四十二日)

入的技術,這將嚴重抑制設施不足以支援現行的工此項研究統籌賴奇略稱,

切有助問題平日解決措施上前解與決問題

双保餘皆釋放

有效範圍擴



告先中營買的

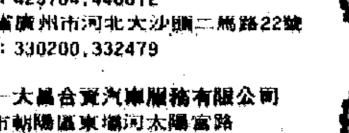
紐

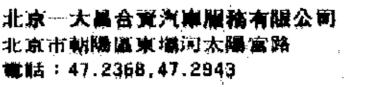
780 2237 722 6112

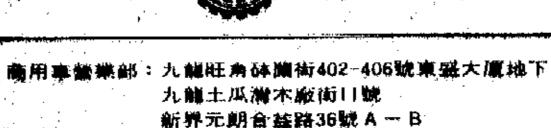
五十鈴里州左東太子波車天 科技展創意 口碑遍神州 五十鈴盧牌車系,一直是中港運輸線上的翹楚 作為盾。保證提供最妥善適全的雜修及保養服務。深 受國內五十鈴車主安心信賴。 路入九十年代,五十鈴臺灣左戰全線車系,包括 TFR 的士頭農夫車、WER麵包罩。NHR/NKR 農夫 車、NPR輕型貨車、FSR中型貨車。CVR/CXZ重型 貨車及EXR拖頭三將進步獎擇料技劃意,引入先進 設計及提升設備實業工在配合中國經濟發展及日益繁 重的貨運需要工工主統條作出更巨大的基础 二八七九十二十二五重位集包甲 TECHNOYATION 廣州一大縣合資汽車服務有限公司 廣東省廣州市河南佔繼路48號 電話: 429704,446812 廣東省廣州市河北大沙顯二馬路22號 電路: 330200,332479

中一個方式,而現時則稱為實具上身」,在有抽籤制度以前,極字單位後的最短時間内將單位般於家會採取短線策略,即在知便高的樓花,炒家付出的成本較大大的投機者,兩種樓花並沒有大大對小資本和業餘投機者,因為對

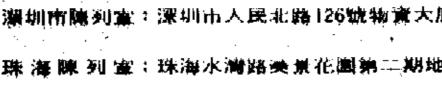
圖文傳篇: 397 1411







23476 6276 香港灣仔街士打潢B0號



£527 722| £\$593647 **\$3883772**

2323

2333 0151

战孔子》、 展場内

跳樓身亡

水警海關分破走私案

打傷陳之後畏罪一有病,瞥方懷疑一張字條,透露

至於是否與染

· 掃帚柄及鐵枝等。 多件證物,包括木棍 一

孔子

文化展 化展置正在

口香港展

自遠方來》,圖為其中三個展館的展品。《孔府藏珍》、《聖跡千秋》及《有朋战孔子》、《金聲玉振》、《楷模蔭遠》、展場内,共分六個展廳,分別是《大

大圍撞死

小童

區兩車

撞雨

港

紀禮遜透露清盤或比出

售更有利

何盤可能比出售予華人銀行對存戶更有利。 何盤可能比出售予華人銀行對存戶更有利。 一個實際事後引述紀禮遜說話表示,由 一個實際事後引述紀禮遜說話表示,由 一個實際事後引述紀禮遜說話表示,由 一個實際事後引述紀禮遜說話表示,由 一個實際事後別述紀禮遜說話表示,由 一個實際商業信貸銀行的前途將嚴遲可 一個時

其

受傷另

随 樓 一

房

、天台爭執

是本報訊》四名劫匪昨晚假扮買家,進程備有車輛。

「本報訊》四名劫匪昨晚假扮買家,進機備有車輛。

素有積化。 四十一樓運輸署總辦 分區辦事處及各牌服 一次日。 四十一樓運輸署總辦 分區辦事處及各牌服 一次日。 政府綜合大樓第一座 樓運輸署九龍及新界 六日。 申請表格可向香 事處;九龍聯運街三 事務處實取。申請裁

發西環

警方

人及自

股案處理

客處理。 警方列作傷人及自殺 張字條稱自己有病,

间

金剛

小風燭艦

有不同角度的機械的评估了的股票稱,對壞帳的评估了,以獲得臨時清盤官的接納。一定考慮提高收購條件的可能性重考慮提高收購條件的可能性重考慮提高收購條件的可能性

難民統籌專

、銅鑼灣及灣仔區,港島的柴灣、西營盤

日再向警方報到。 一日再向警方報到。 一日再向警方報到。 一日本語總區重案組接手調查。 一日本語總區重案組接手調查。 一日本語總區重案組接手調查。 一日本語總區重案組接手調查。 一日本語總區重案組接手調查。 一日本語總區重案組接手調查。 一日本語總區重案組接手調查。 一日本語總區重案組接手調查。 一日本語總區重案組接手調查。 一個學上發現共有一百五十萬美元,有真有假,於是將八人拘留,交 一個學上發現共有一百五十萬美元,有真有假,於是將八人拘留,交 一個學上發現共有一百五十萬美元,有真有假,於是將八人拘留,交 一個學上發現共有一百五十萬美元,有真有假,於是將八人拘留,交 一個學上發現,一百五十萬美元,有真有假,於是將八人,在他 一個學上發現,一百五十萬美元,有真有假,於是將八人拘留,交 一個學上發現,一百五十萬美元,有真有假,於是將八人拘留,交

港府公開競投

有人

然保一千元及守行為希望法官從輕發的一千元人的人

談 削 滯

如果他們不願回一重這些難民的意味天外交部發言 助問 解决措

間

題

,以求取得妥聲解決。在解決道昨晚我講過,關於在中國的越南

后海灣性可疑船 爱時·一度被人用槍指嚇,兩船其後向蛇門域近蛇口,今日凌晨出現緊張場面,多地接 疑船駛蛇口失踪 增援 疑船駛蛇口失踪

「此時不炒,選待何

價為低,同時吸引了大量炒家和用家。對於屋邨單位的售價遠較其他大部分新樓盤的售的私人屋邨樓花大受歡迎的原因,主要是該他指出,實際上造成遺個位於偏遠郊區

分析大量市民排隊認購天水園

微! 值十多萬元以上。 像點為例,抽中首:十位揀樓, 提高,以較早前一個位於又一個高的樓花成本重,炒家要求

樓盤原因

順賢

酸有利可圖

《 胸會實盡心思研究合法的逃避方法,至於有 粉會實盡心思研究合法的逃避方法,至於有 及其他物業市場,影響層面相當廣泛。不過 放果;同時,由於該措施亦適用於二手樓字效果;同時,由於該措施亦適用於二手樓字 放果;同時,由於該措施亦適用於二手樓字

待點算。《本報訊》警方昨日在機場拘留八名非洲男子,在他們身上發展本報訊》警方昨日在機場拘留八名非洲男子,在他們身上發

」也可負擔得來,因此他們通常會採取中長至於售價較低的懷花,炒家即使「上身

竟動武殿傷店東

警拘

名非

洲

男子

疑身

慷

大量偽美鈔

 ※輝(二十九歲)、稍後會被控有關罪名。
 ※輝(二十九歲)、稍後會被控有關罪名。
 ※輝(二十九歲)、稍後會被控有關罪名。
 ※輝(二十九歲)、稍後會被控有關罪名。
 ※輝(二十九歲)、稍後會被控有關罪名。
 ※輝(二十九歲)、稍後會被控有關罪名。
 ※輝(二十九歲)、稍後會被控有關罪名。
 ※輝(二十九歲)、稍後會被控有關罪名。 四匪假扮置 天家

食肆兩工人互吸受傷

掠百廿萬皮草

機場工

一程首期撥款

擬申

請七十六

ハ億元

包括第三號幹線費用五



正身」,在有抽鐵制度以前, 中單位後的嚴短時間內將單位 炒家會採取短線策略,即在知 的的樓花,炒家付用的成本較 的投機者,兩種樓花前沒有太 門投機者,兩種樓花前沒有太

家自有逃避方法

冬立日是

國產紗布經銷剛業

大豐有限公司

天安有限公司

天豐有限公司

立森有限公司

建南行有限公司

惠誠有限公司

興茂有限公司

新源棉紗有限公司

豐華布業有限公司

浪淘花紗有限公司

廣源紡織有限公司

福田實業有限公司

明燈紡織有限公司

集成棉業有限公司

成功絹麻有限公司

廣源紡織有限公司

立森有限公司

國產麻紗布經銷同業

永盛企業公司

華安公司

大新公司

UMAII-A





明燈紡織有限公司 實華行 億裕東風公司

養神紡織有限公司

國產人棉及花色布經銷同業 福昌棉業貿易有限公司 東南布行有限公司 華昌疋頭有限公司 新光疋頭有限公司 鴻基行 慶鴻紡織品有限公司 聯誠棉業有限公司

新中行網布有限公司

新棉有限公司

國產呢絨經銷同業

華欣有限公司

渭津貿易有限公司

五洲呢絨有限公司

信發呢絨有限公司

國聯呢絨有限公司

華加行有限公司

中和貿易公司

祥泰公司

進發疋頭有限公司

永豐貿易 (1972) 有限公司

香港華新呢絨有限公司

國興呢絨疋頭有限公司

明柏紡織品貿易有限公司

大豐紡織品有限公司

時光絲綢有限公司 勤發紡織品公司 國產梭織服裝經銷同業 萬新有限公司 星華貿易有限公司 大福貿易有限公司 三洋有限公司 永華公司 源美服裝有限公司 新風服裝有限公司 僑源有限公司 合豐號飛輪線

永盈貿易公司

信昌棉業公司

時春有限公司

恰昌泰有限公司

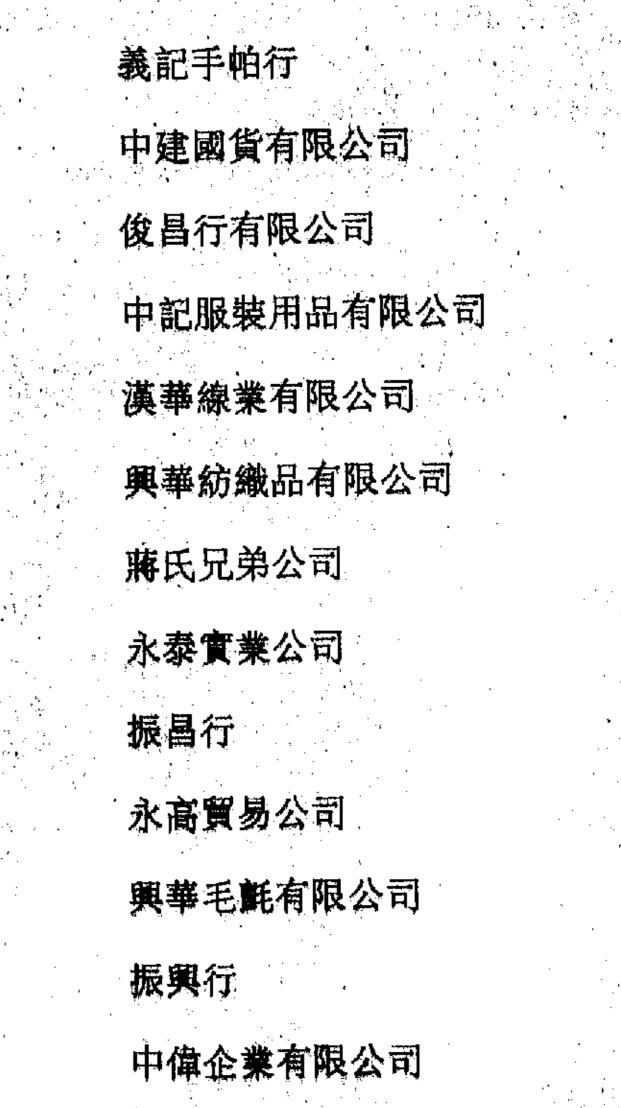
東峰倜布有限公司

香港太平洋貿易有限公司

國產針棉織品經銷同業 中國中發有限公司 東后有限公司 恆興隆有限公司 偉齈線廠

加馬貿易 (香港) 有限公司

華新線業有限公司 合豐線業公司 華誠企業有限公司 錦豐貿易行 新豐行 迅行有限公司 華松企業有限公司 香港越洲紡織絲綢有限公司 山泰有限公司 新僑興有限公司 海光貿易公司



藝強線廠有限公司

(排名不分先後)



烈河

佛山外運公司船隊榮獲廣東省級先進企業光榮稱號

佛山外運公司船隊1000噸級瀾石十一號、瀾石十二號和600匹馬力佛山三號拖輪首航香港佛山外運公司船隊成立六周年紀念誌慶佛山外運公司衛空運部瀾石口岸開通佛山外運公司瀾石口岸公共保稅倉落成投產啟用

佛山外運公司香港代理,天雅船務有限及公司数數

地址:香港銅鑼灣怡和街48號麥當勞大廈18樓 電話:8948388 傳真:5775210 電傳:72396 SPSPHX

國

15 15 1

質素頗佳,短途合腳法,雖然是首次上陣,是餘續進。近期操練十分認真,狀態起得好靈活有勁,宋段轉入直路之後順勢稍為推騎」徐貴良試兩段,韁繩稍動即疾馳而去,但

醫醫

港香



行士金融假期

員磅稍為吃虧 小及前兩駒,在

消息 馬 賽

刀簽黃方蘭廟 見

内 探 子 習生

· 致電澳門電話八五三十曹新馬之會員。 配種資料以供索閱,並將 [售新馬,便需即時負責有關 主九

抵涉後盡快進行抽織,而未獲萬八千元支票乙張以支付認購申請表格時需同時繳交以「澳事處 有關申詢表格可於下亞質嚴遲可於一九九一年後方可選往澳門。個割之馬匹並需經由大體之馬匹,現年兩歲之間之馬匹。現年兩歲之月份第一個星期內運 油場246日室

論爲仍難輕視。 慢頗,拚後更覺神態勇親,今 雖好卻難爭勝。 ,步頭亦見上力不差,但今番 快試,半哩五十四秒三,末段 甚麼好 \$ 25 組建

寷 HE 歷代官庭珍藏秘方

供會員由

售期馬

首次公開女性妙筋

就

▲「好而機」助手快酸, 「論馬觀感有進,不通此駒向 「論馬觀。」 「一方。 「一一。 「一。 「一。 「一。 「一。 「一。 「一。 「一。 「一。 「一。 「一。

天利貿易有限公司

尼龍本白紗・染色紗 棉紗・丁/ C 紗 南傘用綱料・布料 各種化學纖維布匹

電話:3807899(四線) 傳真:7870496

賞 開 幅 揚 掂好 皇 步

馬與統血

距離,成就當以「華聯之一蹄下,宋段衝刺力強,將2米前段慢,但後上如飛,2 硬

(等) 匹馬退役

問公司 腊語百業題

日星期日

日

星期六

日星期五

夜

星期六

夜

星期日

B

間理財服務公司專為各行業 依從合法途徑代閣下追討一切 歡迎國內外的廠家委託

5748191 8341114 5916789請同王小姐或禐生洽 商業登記號碼BR (14596445-000-06-91-3) 妙 A

州市海珠廣場"第三屆全

國新技術新產品展銷會" 中展出,鹽源送樣品,先 到先得, 送完即止

御

緊

(水典投資有限公司聯營機構)

歡迎參觀選購

地址:九龍深水埗基隆街105號

其衛冕世界杯,實現三連冠的 門主力隊員缺陣的情況下戰勝實 所兩大得意之作,一是漢城奧運 的兩大得意之作,一是漢城奧運 結束探訪之際,卡爾波爾特 以與與為前提,對蘇隊進行了嚴 是缺陣為前提,對蘇隊進行了嚴 多少影響,因為自今年六月起,

持

國中山佛

首號種籽中國的趙劇被中國的鄭壽泰和孫

是萬 晉 負

二第列

是開

公球羽

告

金牌假 + 釣魚豪岡寅臨 中國人阪店 米国派坐中國民航經濟客位 \$ 5388 \$ 5398 草具用碱在橡以上灌溉 <mark>睩靌栜皡欕禯鷡虘ఉ</mark>嬆 二日前式早餐飲湯店 國實中心 4788 人种利制抽屉 4788 4786 世部資館 解都倒打過店 4338 放付量指占 資格圖鄉大額星 3534 香格里拉摩斯 4288

2750

May Buy De

會長矢 賽 塔比無意離去自掏 大 言 了 局

國產呢絨經銷商

國興呢絨疋頭龗

香港蘇杭街九十八號地下 電話:5446219 TELEX:89037 HOSAN HX FAX: (852). 8152591

九龍長沙灣道96號地下 電話:7783281 7782808 TELEX:52875 SUNFR HX

永豐貿易(1972)標

TELEX: 60076 YFIEL HX

新

TELEX: 84076 HWASN HX

九龍上海街194號地下及二樓 電話:7808215 TELEX: 57347 ILSIN HX FAX: (852) 7821970

黃小姐或麥先生洽。

疋頭有限公司

頭線 華呢絨 疋 章 : 3801213 3812920 TELEX: 30407 KWPGL HX

司 限 有

香港蘇杭街100號地下 **電話:** 5453700 5430005 TELEX: 73146 ALPS HX

渭津貿易有限公司

九龍彌敦道589號 廣東省銀行大廈1002室 章语:7800277 TELEX:52667 TEXFO HX

香港干諾道西35-36號時俸大廈19條

東海: 5400877 TELEX: 66230 TFWLN HX FAX: (852) 5593434

五洲呢絨有限公司 TELEX: 77366 WOCHU HX

信發呢絨有限公司 九龍鳴祭街82-84就地下 電話:3819760 3805325-8 (4練) TELEX:52772 SFTCL HX

FAX: (852) 3971742

國聯呢絨有限公司 ^{九化基度} #118就地下 使第:3804713 3809460 CABLE: GRANDFAB FAX: (959) 2075906

FAX: (852) 3975806

港尖沙咀郵箱第97712號候約。

一个凍科技

香港進出口貿易公司 誠聘國内員工・於廣東 省 内 工 作,對各類成衣有經驗 品質 檢 1025 HK \$ 24.000 2525 58.500 查員(Q.C.)多名,具備大專程 15**25 HK \$ 38**.000 30**25** 68.000 20 FE FIRE \$ 47.000 40 FE 89.000 度或同等學歷,能看懂 英文 製 10匹分體式冷氣機 HK \$26,000 單及有關英文文件,有意者親 緒詳細屢歷,近照,待遇要求 通訊地址及聯絡電話 · 寄香

MM **会日本製造**会 を保用一年 承接國內中央空調系統設備,包括:賓館、餐廳、廠房及海字樓等 安裝工程。專業人員免費代客戶設計、倫圖及報價香港特的經輸承繳商 圖文傳真: 7607834, 7156892



六嵌



箱前

间隔大调店

529:827

本公司

款項,收算 本公司代申 前電話: FAX: 591

商業登記號

擱置邀吳偉文

^{本報訊】依波} 外援中鋒

球會杯次回合主場對南華

特治靈滅虱 洗髮露: 特點:是減頭髮上 風子的埋想洗髮、鐘髮 用品,亦可用於龜物的 洗澡被頭,對人齒無審。 N共總五金編合廠 N衛生防疫的監製

情系列 中無型型 **州華麗絲生髮精緻** 福口 11531 2401

看總圖論門 港足球隊 明晚友誼賽對抗粵隊 **分前往**由 球 員 均 派 上

和故宫景色

華春房、120間 辦公室) 一套總統套房

實館 燕山八景 "級于內外" 幽靜典 雅

段有中餐廳 西餐廳 咖啡廳 酒吧、茶座、日 本祭順、多功能安會廠、舞廳、非本浴室、按摩 宝、他身房、游泳池、台球宝、地准珠宝、英 容中心、商場、商務中心 提供郵寄、機果代 **瓣膜器、旅遊服務、出租車服務**。

CAPITAL HOTEL

傳真:5120309 電掛:8288 郵政編碼:100006 我摇顶,首先替駒騰打開紀錄。 「青春班」駒騰・喪師於深水埗球場,駒騰打開勝利門。頭場視擊以二比○勝兵 中晚入場觀衆七百二十二人,收入一萬六千三百六十元。 中晚入場觀衆七百二十二人,收入一萬六千三百六十元。 中晚入場觀衆七百二十二人,收入一萬六千三百六十元。 中晚入場觀衆七百二十二人,收入一萬六千三百六十元。 作晚入場觀衆七百二十二人,收入一萬六千三百六十元。 作晚入場觀衆七百二十二人,收入一萬六千三百六十元。 作號入場觀衆七百二十二人,收入一萬六千三百六十元。 作號入場觀衆七百二十二人,收入一萬六千三百六十元。 作號入場觀衆七百二十二人,收入一萬六千三百六十元。 本報訊】快譯通足球隊昨晚在聯賽雖然由後備上陣的阿曼度妙射追回一球,但 然搖頂,首先替駒騰打開紀錄。

陳米鄭林 志 帶慶 光頓勝麟 黎吴胡陳 樹圳耀漢 輝**聰國**輝 一二比一勝。 手防線,終場駒騰日 事強攻,但過不了對 共後,快譯通子

l:::|推陳田サ·放稱貨優價車 大幅化計場開催大排水 / ハンパー

奥會 日, 及 政 理 包 要 省 行 在 商 總 局 括

"KODEN"光電廠

船舶用環球衛星定位

人量供應價格和宜

人小船舶用

KGP 930

系統CPS機KCP 910型

歡迎經銷 來電查詢

全部膠片及粉紙片層經已出版 網樣賴索,數與垂胸 設有國内提貨服務 TEL: 573 7736 FAX: 572 9320

衛星導航(二)5機系列 KCP 930 (漢字) 型合

助且離表



北京前門東大街 3號 電話:5129988 電傳:222650 CHB CN

日三初月十年未辛曆農

冬立日是

機器が発

同家、

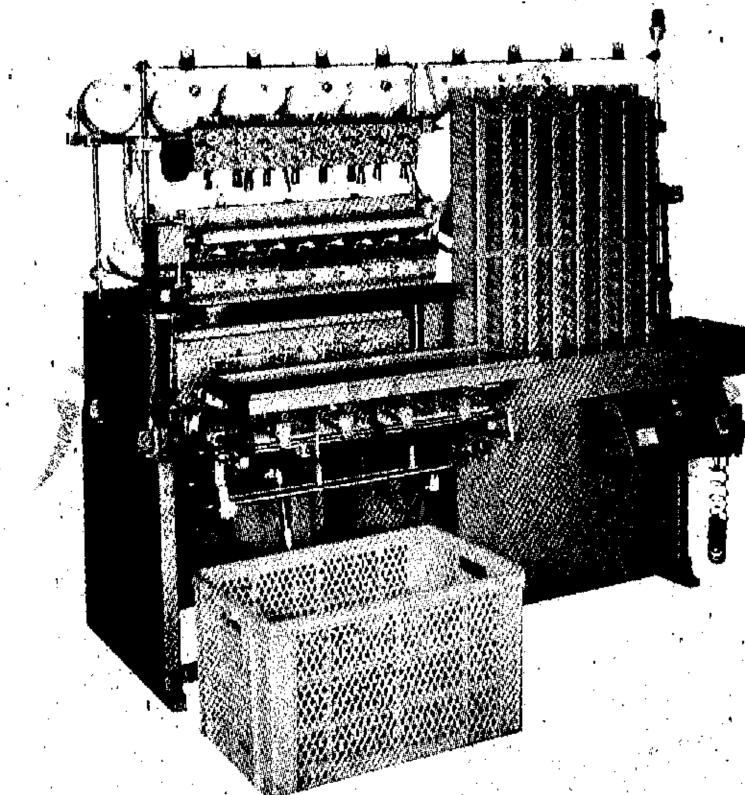


泰能專業製線機

Fax: 852-487 4518 852-480 4604 Tel: 427 2476 423 8336

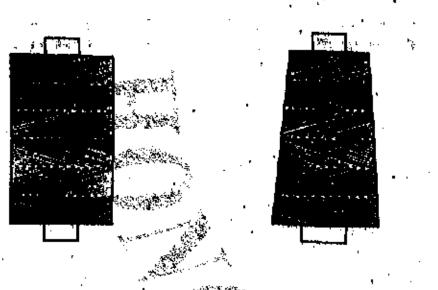
Telex: 34722 JSWTC HX

TN-01 經濟型寶塔機 TN-02 精密型寶塔機



TN-09 全自動捲線機

- ●棉、尼龍、塑膠、纖維均適用
- ●自動撞停裝置 ●附斷紗自動停止裝置
- ・ 硫密調較方便・成形美觀
- 慢速起動,開車不會斷紗 ● 適用線筒由2"至10"







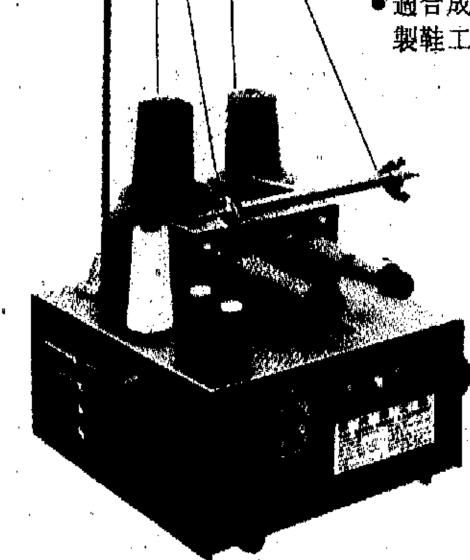
硫密調較方便,成形美觀。

●斷紗自動停止及亮燈裝置。

完全以氣壓自動循環操作。



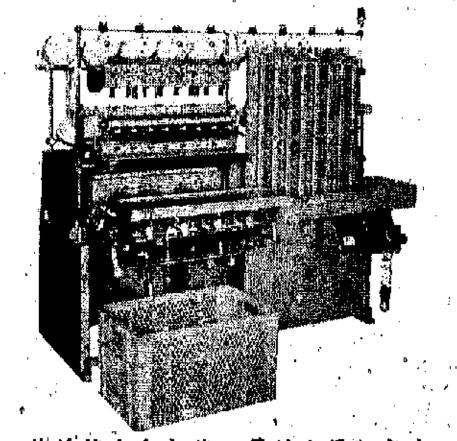
- 製鞋工廠及刺繍工廠等。



本公司誠意邀請

第五屆廣州國際紡織藏展

一九九一年十一月八日至十二日 廣州國際展覽中心(中央酒店首屬) 場地單位: A111-113

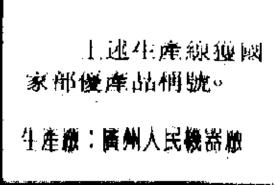


日歐洲名 優點製成

廣州對外經濟發展總公司

為您提供優質成套技術設備及專利技術產品

- ●BF型波紋方便 麵生產線成套 設備(3萬包/ 8h·5**萬包**/8h)
- ●豆奶生產線 ●河粉生產線成 套設備
- ●250~280kg/h 米粉生產線成 套設備





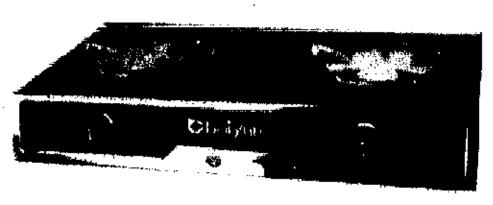




●白雲牌紅外線 普及型有微火 檔電子打火爐

瀛具特點 : 節 能 20% 以上,省時景 、衛生、安全。

●白雲牌紅外線有微火檔不鏽鋼脈衝打火爐





版六十第

北京前門

解傳: 222

意大利重視在

語傳

之 A 仍 隻 擇 後 先 市 入 三 一 古 泰 荐 。 馬

回吐換馬忙個不

是世界上北天今与王代家 通及全球,人數當以百萬計年,傳八十世,子孫繁衍, 孔子一人,歷二千五百

定居,不擬再返。受恭愍王封為昌臣義教化、鄭魯之俗,所以攜妻皇甫臣海之意,高麗本為周初箕子封地,書

, 回說上一次加息後公布的通脹率 下 降,他也懷疑有沒有人分析過,其中 有多少是由於加息所造成的效果, 多少是因為把香煙稅減低的作用呢? 說,當時的加息可能是有點匆忙而來,但配合了 減煙税政策・總算造成了一些效果・

鄭海泉覺得這些屬於基本問題,是值得研究 一下的,又例如近期本港息率下降,以銀行利率 和通貨膨脹率相比,本港正處於負利率的形勢 當 中,但是在目前的情勢下,有多少是由於政府 的 政策所造成,又有多少是由於土地供應和勞工 供 應、工資上升速率等因素所造成呢?

這裡面就是一個值得研究解決的問題。總而 言之,他對於本港的一些經濟表現和情況,認 為 要小心研究才好作結。單就以事論事的浮誇和 口 號式的態度,對解決問題無補於事。

等更加手忙腳亂了,怯怯多男子,已經有形成一種多男子,已經有形成一種多男子,已經有形成一種多男子,已經有形成一種多男子,已經有形成一種。

大田:「爛公連會變獻法,道是也會變數法是與公主對別的沒有與趣,只記得解公連會變數法,也是也會變數法

題是・・・・改編で

3尖擊笑,「乜無愛?左右母愛喇!」

多謝道艮。」 多謝道艮。」 過出親衛軍保護了 過出親衛軍保護了 來去, 自非平凡

则煩,營業部的小馬 - 座中各人開始城眉

民生必需品,而市場的開拓又,但勝在收益穩定,所出售的金源米業屬「防守性」的股的促進。 下今时, 大明出 大师出 大师出 大师, 大师出 大师, 大师出 的一个 大师出 的一个 人名 对 成 金 一 以 的 又 的 股

· 話說天堂交易所被證監衙門弄·到 雞 毛

我們如果不反擊的話。 恐怕遲早一 天 會 被 證監完全控制!"交易所主席吳色 笑 憂 憂 **地對主管賈星星道。** 突然間,會議室的門咯咯地響了。 "誰!?" 吳色笑立刻作出反應道。 "是我!區魂魄!" 門外一把 熱 悉 的 "甚麼?證監大人區魂觀?" 賈 嚇得整個人彈了起來,差點遭魂觀 亦被 勾 還在慌亂中懂得一點體面。

'究竟有什麼貴幹?" 賈星星周剛進了門 的 區 "難道你又想向我們施加下馬威?上一次 你 說 我們開會通知期差了一秒,已弄得 我 們 難 毛 鴨 血 ……" 吳色笑砲轟道。 '兩位大人息怒,我今次來絕不是再向你 們 娶 花樣,而是……而是有求於你倆!"區魂魄吞吞吐 吐地道。"什麽?有求於我們?"兩人以為自 己 的 耳朵有問題

"對!實不相瞞,上一次我們藉一秒之差 將 交

提度見 勿庚勿



材生向與楚?我我的要鵬我 1的兩與。一不除合推翔過 一演位。 莉就文作出天去 是。為何要圖充快活張來這裡最快活張是同行,就該彼此敬重才快活張是同行,就該彼此敬重才快活張是同行,就該彼此敬重才快活張是同行,就該彼此敬重才以問題。 一個 冒 同 行

一通道一次 似的調查 次全國性 为化二成分,两至有用重要压制下排上证券者是在少年時傳染上的,面對愛滋病帶來對此的答覆很簡單;什、肝歲的愛滋病患對此的答覆很簡單;什、肝歲的愛滋病患是墮落的表現或獨特的色情幻想。主辦者是墮落的表現或獨特的色情幻想。主辦者用極端的性技巧,而這類技巧邇常被認作

夜總會為招來職客, 一夜總會為招來職客, 一次「祖母級選美」 一次「祖母級選美」 一次「祖母級選美」 報名人數居然相當頭 報名人數居然相當頭 中 一次「祖母級選美」

一、才來見大王的…

好像很久沒叫「皇上駕到」。 ,現在要叫一個暢快。覺遲公主皇上駕到------

我的助手?」
「你來夜應會工作,無非想認識另一個「你來夜應會工作,無非想認識另一個非能與的笑笑。 為自己編一個動人故事?相信我是大學生?你沒聽說每一個做你的助手?阿祖哥,我到自用了。 **节一位舞小姐都會** ,我随便說說你就

第一,你懂好我口 吃 的 毛 病医腔特别?有甚麽好多谢的?」

生日宴

爸叫

你來夜總會

女秘轡來, 如果顧客是

不過我要多謝我爸,

不然,也

四才。如果顧客是 四才。如果顧客是

還有天大的樂華富貴享受,你願不事,想要用你,你到了統領府手下當差,他說統領大人知道你再下當差,他說統領大人知道你不事,我,我,我是因為給公差緝拿多麻子道:「小人不敢隱瞞

字你實話實說,我不怪你。 這個手段騙取我們相信的是不是 這個手段騙取我們相信的是不是 陰謀,說道: "是北宮望教你用

概是威海的日本商社不多的劉公島,聽講解員詳述中日難忘的一件事是參觀清朝北外如果成家立室,妻子大鄉所與當地人結婚才能置業,大致都有幾個特點。第一是與運時到漢城去觀賽,接觸是通時到漢城去觀賽,接觸

,路金明醉寫准申為,

至人和可申

頭最一第天

人交通某當

志通八列

不具, 鐵紙

定時常會發生上述之多,令人眼花繚巧真正的炸彈。則新聞,原來發

的南

發覺那最近到

那裡的確有南朝鮮 3山東省膠東半島參

明鮮文。 特的青年畢 相牌的餐廳和 和牌的餐廳和

外業和經語於卡休

專外拉息

· 雅獨門 · 唯獨門

國剛火外

(文字·答文) (文字·答

編而自《日國成餘、小

者標《南本就書里大由

※ ・ 薬 ・ 事 「 」 ・ 薬 ・ 後 的 明・

起中桑年

事件截半,時暴。

多金斗女, 「不, 男, 使此就爐砂必得士個長可然,

科士大誕

即不凝怒說明

光史妙「錢令團下藥做軍隱已的當,漢武家了明還地,萬,官閥姓。財地但光

。過小分。聚表。哀・要居位人償元二

1。」給方卻錢其,公埋王產百旌武 雖得他上去贖子不孫名莽,姓表向 足十家攤旌命去應述以篡為賠譙稱

話詩齋蠖山愚施

表

不曾造華法,深知文

了才帝恭個

把來空是做

道召話「皇 句他,明帝 古 古 古 古 古 古 古 古 者

多末他把秦常陽出去全始二

一是求多為選請女 明這金的情要的?

一, 謊 下丹童場多童恐

把話起子的男帝。男怕

這騙來隋念女不其女比

南

韓

有言曲〇廟年

在,傳八十世,子孫繁衍, 一日本崇尚儒學,公元二八五年,首濟 一日本崇尚儒學,公元二八五年,首濟 一日本崇尚儒學,公元二八五年,首濟 一時主王仁渡海赴日講授《論語》,由以傳 一時之有孔氏則自元代至正年開始,(當時 國名高麗)。 一 和紹是孔子第五十八五年,首濟 一 和紹是孔子第五十八五年,首濟 一 和紹是孔子第五十八五年,首濟 一 和紹是孔子第五十八五年,首濟 一 和紹是孔子第五十八五年,首濟

一韓 貫建朝大代 曲 孔由 闕 正 司 有 南即今用 習聞不二。南 韓知治字 俗之稀的為韓 孔為用十我早甚奇倍數孔 姓第 個國婚異了數之 無干當清姓故因他,,有自歡,宗人二朝九 此代嚴代自。我們十出五孔欣當,相五拜〇 規,格兩明 國最六我萬紹。然縱聚四孔三

低輩七外干。 代一以頒由 僅已即後,傳 團·見又 團從孔各 八到達來可 借,們際。團 代十數算尚 這阜宗內先海,組樁,願

海、大部分地區都非常乾燥。 一次 一次 一次 一次 一次 一次 一次 一定是很貧窮、很落後。實際 一定是很貧窮、很為南非位 一定是很貧窮。

裕出在的總出。主室北佈一

「一目十行」的讚譽法,其 門操的《孟德新譽》一遍,即 門件行俱下」。《三國演義》 「十行俱下」。《三國演義》 「十行俱下」。《三國演義》 「十行俱下」的人,歷史上可 「十行俱下」的人,歷史上可

超的時候,為了避免 對後第三隻眼睛引致 的事物時,放起用頭髮把 的事物時,強就可以看 的事物時,強就可以看 的事物時,強就可以看 的事物時,強就可以看 的事物時,強就可以看

陸

現代化的超視紀念碑

安康與歐內相似,而且含有豐富的蛋白質,是來與歐內相似,而且含有豐富的蛋白質,是來與歐內的的簡內,再用竹葉把口塞緊,然後要一左右。當地土著居民選擇肥碩的蜘蛛塞進一百五十克,種可食用的巨型蜘蛛,每雙重進一百五十克

五 有

食用蜘蛛

組約

道第三隻眼睛就把一切都看到了,於是我的背後扮鬼臉,以為我看不到,卻不一切逃不過我的三隻眼睛。在我開始數,應付那些頑皮的小傢伙並無多大困難

隻眼睛。 對方並不介意她有 達到談婚論嫁階段· 阿婆選美

她有三隻眼睛,其中一隻長在一舉的學生從不敢在一個女教師性物」大一來一個女教師性物。一大一來一個女教師

採加

暢

在後

是否使 使 特別

與年人

調,進和數成為腺次 實道行藥育年的解調

為之。 用極端的性技巧,而遺類技巧顕常被認作 為之。

不過這一次類似的調查一次全國性

人調

查

是人裔人、

夜鄉會為招徕職客, 目前別開生面地舉行 一次二祖母級選者必須年 一次二祖母級選者必須年 一次二祖母級選者必須年 一萬五千美元獎金。 一萬五千美元獎金。 一萬五千美元獎金。 出十足活力,令和少 出十足活力,令不少 出世級被納女

説・當時的加息可

息口變動惹起爭議

是為着 年中的

頂0.75噸農夫車 CGD21 三菱 L200 豐田YN 85 副有原廠空講、香噌)

馬會道52號地下 (+ (852) 6708112 車・七座、

勺土頭農夫車

上述了三人子 口間名錄1991 無四件多數達口商名錄 報理·維行等·分類時間 數個名錄1991 簡單址等資料·25.000個數值

業來電查詢

冬立日是

《追夢者》 品式的影片。而當中 除了可以聽到大量六 ,就全都是對話。就 像 Roddy Doyle的原 像 Roddy Doyle的原

durar aredicall registary 人的重視,這是是 LITERATURE 是 基至雜誌 也 有 本 甚至雜誌 也 有 本

日三初月十年未辛曆農

學生如果由中學文科的出路較狹

觀

金錢的奴,人類是

保,四爾的環

在自前還名自無是

不上去--要是有興趣 一個人讀些什麼科 一個人讀些什麼科 一個人讀些什麼科 一個人讀些什麼科 一個人讀些什麼科 一個人讀些什麼科 生對稅軍 業寮可 學生選擇科目,便不 此教育發展既如此, 此是社會的需要。專 於職業的訓練,追容

~~~

以至大學,都選擇文 科或會是自己的興趣 時候,必須考慮文 時候,必須考慮文 中至於教育工作又是 中至於教育工作又是 中至於教育工作又是 中至於教育工作又是 中至於教育工作又是 中至於教育工作又是 

微」、「擴闢視型 九的答案是:「2 俗語有云:

《錢》 的是,當有錢

る。 李英豪

腰病性腹痛

選利 大學聯合招生委員會主席也鼓勵學生接着自己的人講座演講上勉勵學生注重人文教育。八六年諾貝爾化學獎得主普蘭爾在科技大學傑出個抉擇。

日八月一十年一九九一

五期星

興趣來選科。

**.** 'U'

可 服 数

享樂

說少你 。你發好

Talking

到是為市 所竭的,

實取是

裡的餐營翁

高金溫營排

地園新

圖蒙巴萨德爾立

以及其他非洲國家獨立為人為外界所知。到了大為外界所知。到了大為外界所知。到了大為外界所知。到了大為外界所知。到了大為外界所知。到了大為外界所知。到了

、。年下抗

上也睡就是:

敎 與

來源。使他追夢的主要動後的事情。而這也

中有向上奮發的就有十二個活生的就有十二個活生的

以出遠,

明,不等於維才偉略。「中心」,頗有創意。但是,小職買與起,香港然後效擊。伊人想出了中心」為名的建築物,先在菲律現在香港有無數「中心」。這類以現在香港有無數「中心」。這類以股胎換骨。

菲律賓近年來也可以說是特別多災多難了 一時地震,一時爆火山,令到 國内民不聊生。 岩 災難・什麼影響也沒有受到

本年六月份爆的火山,可不是玩的,說到 上高空的灰,甚至相隔大半個太平洋的夏 威夷群島一帶,亦受到了一定的影響。幸而香港在菲律賓 西邊而當時所吹的風,是向東面吹的,所以才可擺脫了那

必廖

菲律賓呂宋島中部的許多村民,首當其衡,是什麼也 失去了,所以當地近月來常常義實一些東西去賑濟這些人 ,像圖中所見

中就是放有 些真的火山 溶 岩的,加上那 火山爆的日子。 ・作為紀念 可實在比較許 多別人的義寶 為更有意義。

工具。但是,光是有笑容是不足夠的,還要有 健 康 的

要刷牙,更重要的是要用牙線,每晚臨睡覺前逐隻牙齒,深入牙 床清潔,追樣就可以避免生長牙石,而預防牙周病。

護姆里理以風幣

牙床生長,而破壞牙骨的結構,當牙骨受到破壞,牙骨和牙肉間 空缝加大,牙齒就出現鬆脱、向前凸出的現象。若由甘歲 開 始。 你就不太注意牙齒的護理,不用十年,你的牙齒就會有很大的。改 變,四十歲就戴假牙。美一定不可失真,一有假的成份就 大 打 折 扣,所以我們應該對自己與生俱來的東西珍惜,而且一切的 護 理 包括皮膚、頭髮、牙齒等等,都可以從生活習慣中培養出來。

門捐金額。這是兩一的郵政資費支付的那政資費支付別款即可,不再支付款即可,不再支出套《擬災》郵票 

at states at the state of the states of the 印刷,上面印有英女王頭像。追種紙幣,當然不能夠用「金牛」的千元大紗,而最低面額的貨幣,當是被離稱為「神沙」的一點子輔幣。

「斗零」在人們心目中,幣值是何等低微也。
「斗零」在人們心目中,幣值是何等低微也。
「斗零」在人們心目中,幣值是何等低微也。
「斗零」在人們心目中,幣值是何等低微也。
「本學」在人們心目中,幣值是何等低微也。
「本學」在人們心目中,幣值是何等低微也。 #到市面上去買東西也。

#到市面上去買東西也。

#到市面上去買東西也。 港幣的最小單位

氽

· 有 ~ 透表 (C) MANTERESTATION OF ANTERESTATION OF

日產/豐田0.5-0.75噸

的士頭農夫車

版十二第

其厲害處 威夷群島

西邊而智 災難,任

這件 工力

中就是放

些真的人

岩的,加

火山爆的

• 作為紀

可實在出

多別人的

為更有意



豐田/五十鈴雙排座

.25-1.75 順農夫車

冬立日是

豐田(大霸皇)豪華七座

寶馬525-735 |豪華轎車

豐田12/15座麵包車

奔馳 300 SEL-600 SEL豪華醬車

豐田皇冠豪華2.8/3.0

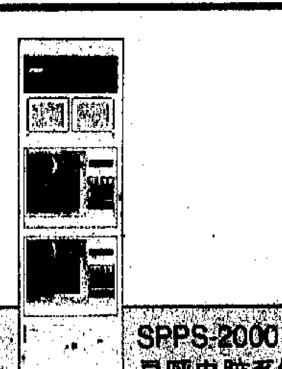
日產藍鳥2.0轎車

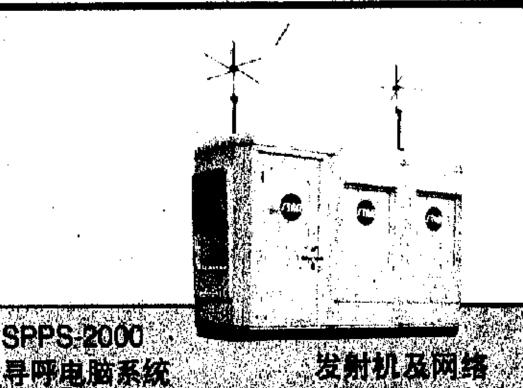
豐田7/10座越野吉普 豐田/日產26-30座豪華中巴

駐深圳辦事處: 深圳市嘉賓路23號 粤海金威大厦13樓001室 電話:205998轉13/1/1368 聯繫人:陸蘇敏/丁煥斌

天津合作單位: 天津港商業保稅倉庫有限公司 天津塘沽新港4號路 電話:973392 傳真:973391 電傳: 237134 PCBW CN 聯繫人:魏建奎/馮錫坤

## 成簋寻呼系统及寻呼机







星光模印象器

中文股票机

星光传呼(通讯设备)厂有限 全面提供专业寻呼系 为阁下於本地或国内开拓 服务范围由设计及安装 大小成套导呼系统,导呼机生 产线,以至维修及管理。 提供之导呼器材包括:

・美国入口发射机。 SPPS-2000 小型电脑・可容纳 20,000

直接日本進口全新中國規格左軚豐田、日產、三菱、各類全線車系

中文股票机(深圳股票市场已采用)。 除私人寻呼外,更可提供股票,外滙资 料,航机,火车班次及市场价格(蔬菜 及肉食)等等。 数字导呼机及其散件(CKD 或 SKD)

• 数字导呼机备有十六组记忆,十五位数 字显示, 响震两用, 用一个5号电池 (AA SIZE 笔芯电),或充电电池

欢迎OEM·如有垂询, **请电:(852)797-8111 文先生洽。** 

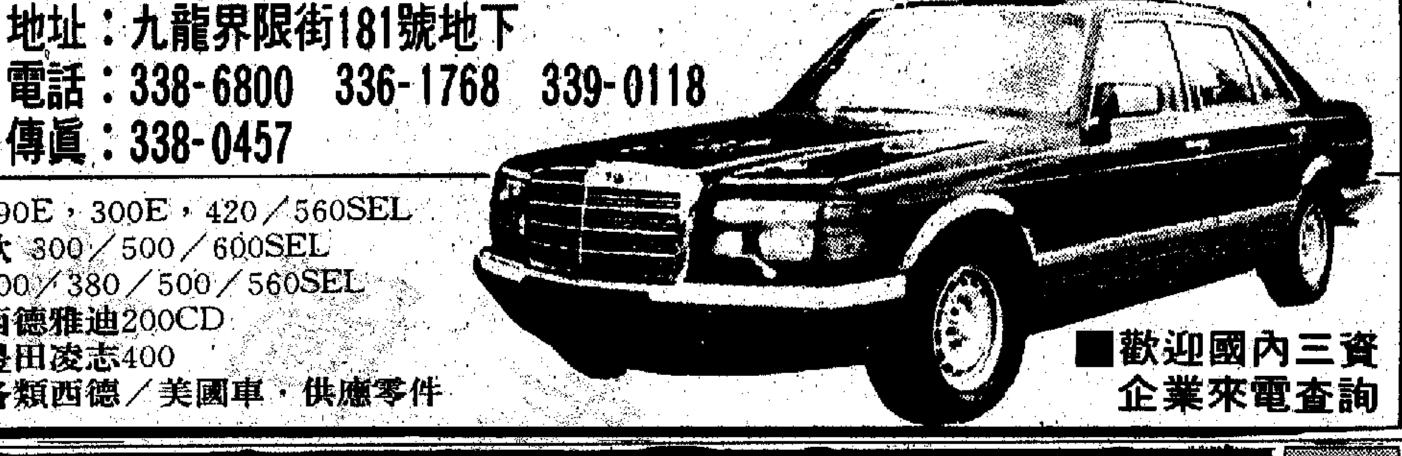
全新西德左軟奔馳滑

中國規格設備齊全 ·全新現貨供應

傳真: 338-0457 1992款 300/500/600SEL 翻新300/380/500/560SEL

電話:338-6800

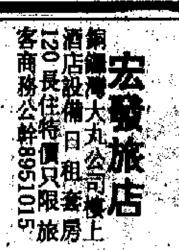
全新西德雅迪200CD 全新豐田凌志400 代訂各類西德/美國車·供應零件



日產巴寧豪華八座

比華利中港酒店 日租週租月租特平

5752026(灣仔)3665988(尖東)





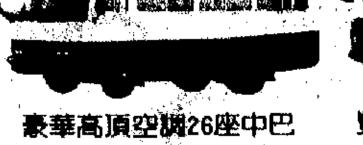
日本翻新建築機械(挖土機、装載機、推土機、液壓吊機) 九龍旺角太平道5號地下7-9號舖 電話:762 1997 傳風:715 6420 深圳辦事處:中國深圳市羅湖區人民南路國際貿易中心大厦31層3101室



三菱豪華七座吉普東 彩邊空調收錄機電窗



日產公爵 VIP、藍馬



汽油/柴油·自動門/風油軟 原廠空調收錄機



日產/豐田12座鹽包車

歡迎來電查詢

**原廠空閥收錄機** 



即日送交碼頭或文錦渡 小松裝載機 D76 S

專營轉口國內左軚車輛・常備現貨・即日送交各海關 ★信譽好・老字號・入口中國車手續麻煩・合群做得到★ 九龍紅磡差館里41至45號地下 傳眞:7645063 電話:3344266 7661116

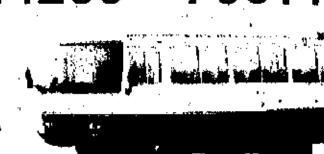








豐田/日產的士頭農夫車

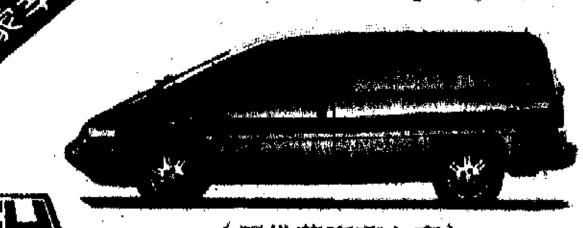


豐田豪華中巴26座





25週年紀念 現貨:各類日本、美國左軚汽車及輕、重型特種用途貨車



(響佛蘭豪華七座)



適行汽車服務公司 **香港網羅灣加路**建山道 9 號地下



●輔車:豐田皇冠、姫仙達、日產:公爵、藍鳥 ● 豪華八座:豐田子弾頭、日產:巴寧、美國:雲佛蘭、道奇、佳士拿。 ●麵包車:豐田12、15座、三菱、日產、馬自達12座 ●吉普車:豐田、日產、三菱

◆巴士:豐田26-30座 ●農夫車:豐田、日產、三菱、五十鈴0.5-1.75噸 ●貨車:日野、日產、五十鈴、三菱3--15噸

大特價! 12座麵包車: 日產(住奔) 三菱 L300 馬自達 E2000

的士頭 0.75 噸農夫庫 日産CGD21 三菱L200 **業田YN85** 一(以上全副有原廠空調、黃响)



## 地址:香港新界上水馬會道52號地下 電話。6733700 FAX (852) 6708112

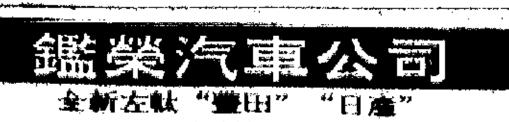
☆直接進口日本全新左軚車系,特設文錦渡送車服務☆

豐田:皇冠2.8皇家級,皇冠2.8棍波,十二座麵包車,的土頭農夫車,七座、 九座豪華吉普,26座豪華中巴

日產:92年新款VIP公爵,92年新款公爵,2.0監馬歌華型,0.75噸的土頭農夫車 巴寧豪華八座,九座、十座豪華吉普

三菱:92年新款七座吉普電窗

- ☎:5768687 圖文傳漢:5768600 ★歡迎來電查詢



9月年新飲車系 地址《九龍本廠街10號A地下 傳真:7610797



九龍尖沙阻星光行[42]室

- 粒丁美洲鎌口商 - 中東浦口商名録

**電傳:38426 GWLI HX** 

世界電子名數 日本化工名數 日本銀石圖譜 9 1 版 日本銀石圖譜 9 1 版 世界各級圖編 9 1 版 高雅 150 林賀設計 成指設計 3900 款 香港競技前節設計

14列金數148,000家數衡域以終資料。55,000個數值 電子等電路分類排列。全黨公績

·包括皮膚、頭髮 **ዸ**ኇዸኇዸኇዸኇዸኇዸኇ

要刷牙,更重要的

床清潔,這樣就可

牙周病的形成

牙床生長・而破場

空縫加大,牙齒兒

你就不太注意牙色

變,四十歲就戴個

拍,所以我們應該

**動的地名及其武神,因此為避民帝王的名字** 《稱茂才。 《稱茂才。 《科茂才。

凡了他來:

改上武鮮馬 弘對帝卑絡

。敢也,明,所子如不;為,了嫌不辯愈賀賀不

各為胤假都者, 。不子到《,

1,可見秦禁之苛。-正月,原讀去聲,

為避嬴政的諱

以同韻同義詞替代地名及事物有與同

為尊者諱、為親者諱、為賢者諱。 大所,有公諱,無私諱;凡祭不諱者,臨時宮語有所辟耳,至於制作者,臨時宮語有所辟耳,至於制作股以往,未有諱法,諱始於周,問的避諱字就不可不知。 為尊者諱、為親者諱、為賢者越不該官

演出。這是個小型的「華聲音樂團」目前由楊羅娜領導的

這一類。作為以歌會友,讓人人聽,都是屬於「民歌」或「輕歌曲」蘇聯托》、《風流寡婦》……等等過了,又例如《子夜曲》、《歸來

海油 49612 天今 发三 品四 及三 島衣表

影

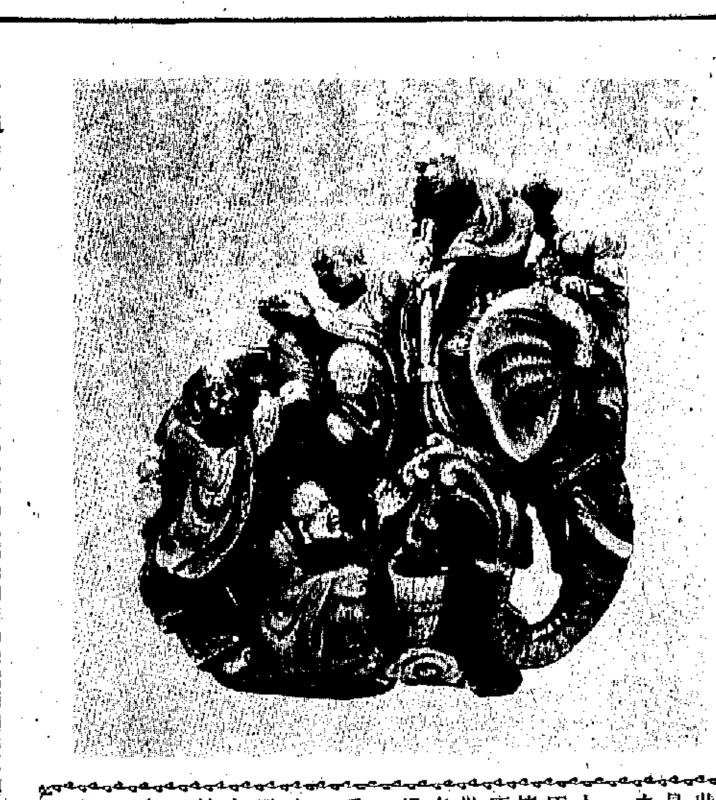
三 偶雄英 5哥二捆 午晚明 6好忠 點四 發虎猛 **E**凱

鬼猛、人人,

8

F





失道日部

察,日

致力古籍 

目錄 古論著長嗣主厥圖

最新92

大霸王

大量的士頭農夫車標準及四驅大特價 現貨左軚轎車、麵包車、大霸王、農夫車 雙排座、吉普車、中型巴士、8噸貨車 可即日送車、或本港付運國内港口提貨

畫譜

合丝汽車公司

★歡迎來電查詢·專人解答園內進口手續★

合式汽車機械貿易有限公司 九龍紅磡民樂街21號富高工業中心 B 座地下 傳真: 7742034 3636117



①豐田:大霸王豪華7座,皇冠3.0、凌志、12-15座麵包0.75-1.75噸工具車、

③日產:3.0公爵V.1.P.巴寧8座,12座,籃鳥,3.0千里馬,0.75的士頭農夫車

26-30座巴士, 2.0歌朗娜2.4姬先達, 豪華7-9座吉甫華

商品介紹廣告,高2½"x2" 每天特價100元 分類廣告,大字4個, 小字36個,每天18元。

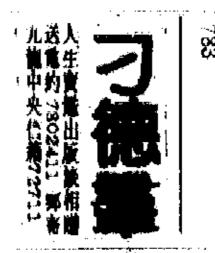
專線電話: 5726980 8873550 FAX: 8381171 8876647

## 徵求合作單位

本公司乃香港某大左軚汽車集團公司,所經營之車輛有豐田、日產、五十 、三菱、日野、平治、寶馬、富豪全線車系。現為方便中國投資之三資企業 及推廣汽車業務,欲在國內各省,徵求合作單位,如閣下屬中國汽車公司,汽 車工業公司,外商投資服務公司或與汽車有關之單位,在其省内與各單位有聯 繫,對商檢,海關及對汽車本身有一定認識,有足夠人手去辦事、經營汽車買 實,有意與本公司合作,請來函與本公司聯繫,本公司將會絕對保密。 香港郵政總局信箱3117號收。







考察比較7703 出 88**美面風** 宇舰相水 



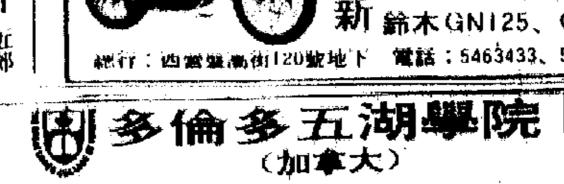
零沽批發中國製迫力皮合皇冠、日產、萬事達、福特及各款車 另有84-88年翻新皇冠、小霸王、本田、平治、資馬、富豪阜系 H



少L ②平治: 230-300E, 300SE及L, 500-560SEL真皮座電椅

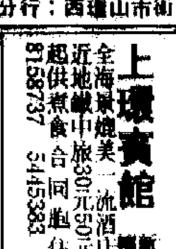
④50鈴:1.5-1.75噸農夫車、3-9噸貨車

⑥三菱:吉南・7--12座・5--8嶼貨車

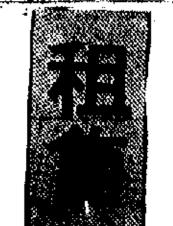


1. 一九九二年—月份及三月份11、12、13班新生 2. 語書中心英文建成班





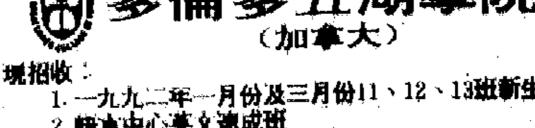




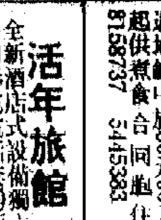
請撥電話

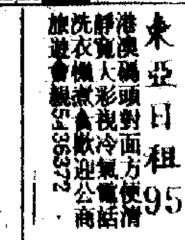
電腦打印針組件2萬套 型號: T2K 14904507 東芝公司庫 TEL: 8335009 FAX: 5727403











⑤**富豪**:940·760·740

⑦實勵:525i,535i,735i



下大九,的十

永儀

《夏百口山的違永》談----

遊記

視

與

段

六學自興

影春青

非,當事者其可 有詩讚美云: 二 有詩讚美云: 二 有詩讚美云: 二

口著述,清初有高兆、玉具於書本,互為參證焉。 医玉,豊僅秀色可餐而已后不能言最可人」。其是石,具非凡品質,揚聲

他將於本月十二日在文化中心演出,相信無須怎樣大肆宣傳,樂也。他將於本月十二日在文化中心演出,相信無須怎樣大肆宣傳,樂也。他將於本月十二日在文化中心演出,相信無須怎樣大肆宣傳,樂也。他將於本月十二日在文化中心演出,相信無須怎樣大肆宣傳,樂也一流樂團的指揮家合作,如卡拉揚、越堤、小澤征爾等。艾莫雅,則應區是等家彼埃 一流樂團的指揮家合作,如卡拉揚、越堤、小澤征爾等。艾莫雅,則應區是等家彼埃 一流樂團的指揮家合作,如卡拉揚、越堤、小澤征爾等。艾莫雅,則應區是等家彼埃 一流樂團的指揮家合作,如卡拉揚、越堤、小澤征爾等。艾莫雅,則應區是等家彼埃 一流樂團的指揮家合作,如卡拉揚、越堤、小澤征爾等。艾莫雅,則應區是 一流樂團的指揮家合作,如卡拉揚、越堤、小澤征爾等。艾莫雅,則應區是 一流樂團的指揮家合作,如卡拉揚、越堤、小澤征爾等。艾莫雅,則應區是 一流樂團的指揮家合作,如卡拉揚、越堤、小澤在國際級名家行列中 一流樂團的指揮家合作,如卡拉揚、越堤、小澤在國際級名家行列中 一流樂團的指揮家合作,如卡拉揚、越堤、小澤在國際級名家行列中 一流樂團的指揮家合作,如卡拉揚、越堤、小澤在國際級名家行列中 一流樂團的指揮家合作,如卡拉揚、越堤、小澤在國際級名家行列中 一流樂團的指揮家合作,如卡拉揚、越堤、小澤在國際級名家行列中 一流樂團的指揮家合作,如卡拉揚、越堤、小澤在國際級名家行列中 一流樂團的指揮家合作,如卡拉揚、越堤、小澤在國際級名家行列中 一流樂團的演奏唱曲》作品一十八; 数

?何」的分量。
"何」的分量。
「個別」發展,匯聚起來自是一股。雖然,這些演出只屬「個別」發展,匯聚起來自是一股音樂節目的分量卻不示弱,多位國際知名演奏家將分別來「中國劇藝節」的一系列節目乃是本月香港藝壇的焦點,「中國劇藝節」的一系列節目乃是本月香港藝壇的焦點,

歌 K從六十年代開始至 然他的歌曲,雖然可 然他的歌曲,雖然可 然他的歌曲,雖然可 然。感情各方面連貫 《感情各方面連貫 《學特輯以其他人對

而悅為許其壤去言耳他冠是的年

基七天,每T 

「一海のでは、 一次ので、 一次ので、 一次ので、 一次ので、 一点ので、 一ので、 一 劇《花為媒》《劉三姐》、"

**外域** 域影 愛

、線盛展 (U的會,

本·總之要達到目的。 基本·總之要達到目的。 本·總之要達到目的。 本·總之要達到目的。 本·總之要達到目的。 本·總之要達到目的。 本·總之要達到目的。 本·總之要達到目的。 將來發展如何,仍是未知之數也。 當然,戲中還有兩個人是不壞的,那是吳毅個好勇鬥狠,走私販毒的人物,果然入木三分,個別勇鬥狠,走私販毒的人物,果然入木三分,值回票價。 四票價。 當年也是歌壇紅人,歌藝出眾,兩當年也是歌壇紅人,歌藝出眾,頗有公路連華演繹秦香蘭一角,頗有公的李香琴〉,要愛護妻子董淇,第 是到目的。 是到目的。 不的妹妹白韻琴和伍詠薇,看看窮光蛋的譚炳文一家 ,看看窮光蛋的譚炳文一家 一集都唔得」也。 《豪門》一劇,人物闆 ,而今仍**實**刀。有分寸,當為一 八物關係錯

一首》裡的歌,「讀書」時候都唱一一首》裡的歌,「讀書」時候都唱人》、《夏日最後的玫瑰》這樣的者所安排的,例如有《美麗的夢中出方選曲,楊女士為一衆演出 御頗有新意,令人趣味盎然。 當然,這不是個很嚴肅的「古典音樂」演唱會。「嚴肅音樂」有明 時也有它的輕鬆活潑的一面,楊麗 時也有它的輕鬆活潑的一面,楊麗 一副面孔。 演唱會,但整體安排 雪雪 演出。道是個小型的 在沙田大會堂文娱廊 「華聲音樂團」目前 聖會 一種形式,一個個節目上來,一個學得活酸而變化多端,不至於老是好人便變成二重唱,……這樣,形式好人便變成二重唱,……這樣,形式好人便變成二重唱,……這樣,形式人便變成二重唱,們我也獨唱者,一個獨唱。重唱與合唱起來也用這一辦獨唱、重唱與合唱起來也用這一辦個。重唱與合唱起來也用這一辦別。 所。 得開心,這 一類。作為 一類。作為 一類。 作為 **道批歌** 

卡卓

影

院

告

"壽祝"基斯

映獻天今

黄 劉 午 玄帅玲嘉馬

海

期假

場夜午晚明 手擊狙面冷

場五天今

我還

情

真

揭夜年晚现

傳酸

育姐

魯吳場五天今

主 鄭 | 點加頓華嘉皇 演瑞丹 • 四明盛禾店

奇傳如廣場夜午晚明院

場夜午頓盛华木島 雄英路馬

**映獻場五天今** 場點四期加天明院兩

主 劉 利 季 嗣 鄭 演[松智雄子琳之瑞丹

易夜年原明院兩 奇國姐體之王女活生夜



場五天今

探神

龍如馬

場五大今

星煞眼淚

脱不易早 人女的被

場五大今

探神

龍如馬 逐年點四囲加

場五天今

暴熱蝦涛

理連翼比

場五天今

星煞戰淚

連出

片級。

場五天今

龍如

利胸鄭 之丹

場五天今

探神

龍如馬

琳之關·瑞丹鄭 智 利·雄子李

奇傳姐鹽屬夜牛晚世

劃計鷹飛場早芳葵 片動級三輪自場點四

探神

龍如馬

夜午晚明 奇傳姐酸

家麻糠粉

**17年看點四** 

旭鍾的褲

場點四加

瀛東

妹春

片猛輪首

期假海上

花冰魯

\*星煞眼淚

劃計爛飛場早價廉 片級三·情畫麗 奶師周與仔攤沙點四價廉

龍如馬探神

星煞眼淚

人鬼猛·鷹神斗反場點四 夜午祭自不慎·會社黑侵 黑侵入鬼猛·禁自不憤場 夜子晚明·志國一,會社 盛好忠族家人四奇傳姐霞

MANAZARA

本公司 三菱 車工業公司 有意见

推012308特此聲明 華人民共和國機動 本人陳秉榮遺失中 本人陳秉榮遺失中

0多多樣花也時同 的賭共目有是感性的欄子葉

現在基本上不走音變

調了,但技巧仍未成熟

重看影帶

**添流**淚

對於《大 收視率為四十點(約 是意想不到的驚喜喜收視好男友亦讚其演技出色

版四廿第

體話: 877 3696 普灣金融道##號奔灣中心 東道2885章

NISSAN

對手戲不少。

、長江實業信百分之四十 ・長江實業信百分之四十 ・長江實業信百分之四十 ・長江實業信百分之四十 ・長江實業信百分之四十

日三初月十年未辛曆農



《乜都有

7. 推升市及货车的现在分词。

同台湾

出質台車

0了經取妮飯向要 展發撞歌向也令如風美李

斯 日他先會帶隊赴泰部署。月底始會進行拍到,已籌備往泰國拍外景。老闆劉少君稱今後 《海寇七俠》在港拍了個多星期戲份

## 흶

樂

(A) 前段兩周口碑很好,一段有流失情況,而《歌門·次變陣成績感到滿意,

在必到作

作都會在那裡度過。 所量後才決定接拍哪 所量後才決定接拍哪 一部為銀都投資的新 一部為銀都投資的新 一部為銀都投資的新 一部為銀都投資的新

王晶拍女性傳奇片 定為一級喜出望外

海山室外的是剪去不高山室外的是剪去不断。 一种一种是無關重要的 一种,可以多觀數層面更 一种,可以多觀數層面更

自小便要風得風,她只水工作機定。拍電影機會,在她心目中認為錢強不重要由於餐場節目出較困身,所以也錯過

① 神探馬如龍 529.307(25院)
② 猛鬼入侵黑社會 389.000(24院)
③ 情不自禁 361.479(11院)
④ 淚眼熟星』比異連理 284.628(9院)
⑥ 三國誌 191.498(21院)
⑥ 上海假期 159.228(22院)
⑦ 台灣好色八姊妹 152.162(8院)
⑥ 遗戏情真 133.905(6院)
⑥ 出嫁女 65.208(11院)
⑨ 東瀛叫春妹 34.875(4院)
至十一月七日止果房總收入
① 情不自繫 10.776.176(15天)
⑧ 大紅燈籠高高掛 8.122.396(49天)
② 情不財節 6.171.388(15天)
⑥ 留住有情人 4.104.287(28天)
⑦ 神探馬如龍 2.620.747(1天)
⑧ 猛鬼入使黑社會 2.148.109(1天)
⑨ 毒素 1.532.950(15天)
① 课我情真 1.499.377(7天)

NISSAN

電話: \$77 3898 普湾会館通50製売場中心 東重2885章

自進已多至VANE []

對手戲不少。《

香港電

訊昨簽訂

學行一連出的模擬運作測試。 作測試。 1本報訊 據一 中央社! 台北七日電 1本報訊 據一 1、台灣股市今天跌五 點七四,指數成為 四下四百二十四點八

**蒙妥損失者可究情經紀賽朔未度職賃** ,不派駁末期息

登記人態。大廈僧樓處更整日有一逾萬人,而位於和記 基金素值。 基金素值。 基金素值。 基金素值。 基金素值。 基金素值。 基金素值。 基金素值。

一的情况。 道對港息是有一定影響想,需要盡速採取措施以防止出现行動的。 因為美國的經濟表現實在信心,則相信它是會作另一次關低仕削減利率之後,若美國仍未能重

藥

方使靈活

東

多息

利息優厚

35

外幣儲蓄/結單存款:

外幣定期存款:

如有垂詢, 請電 835 3500

銀

幣

具備十二種外幣任君選擇

存款额特低

至素性將實金定期存放於一旦線股備受冷落,最主要

中四北角軍湖

司公的正成產地古太與巴中為家買有持古太由成六益權成四佔巴中中共

線股的氣氛便會逐漸形成

· 昨日進一步增加至 機盤登記買家的人數 天水團嘉湖山莊

百分之三十九點九。 等十二萬元,增加約 發展溢利為三億四千

題新系宣布業績

款 \*.

二〇六一一九八:話電線熱

四〇一五四三八:眞

合作

永昌成立一小組,對恰和買賣上市地位一事進行討論。
 證券經紀協會主席胡經昌表示,該會在函件內表達了不贊成設計網內容將於今天公佈。
 『本報訊』證券經紀樂協會昨日已分別去函財政司、金融司、企劃會及聯交所,表示不贊成在本港設立買賣上市地位,有關函件設監會及聯交所,表示不贊成在本港設立買賣上市地位,有關函件

經紀協會函證監聯所等 不贊成設買實上市地位

創意創新·譽滿同儕

NMSC

港元拆息與存款利率息差比較

(計算單位:厘)

存息

東計算・年股盤利便有 一般九十三百萬元利 一般九十三百萬元利 一般九十三百萬元利 一般九十三百萬元利 一般九十三百萬元利 一般九十三百萬元利 各估一半。 出利潤乃由

出利潤乃由長實與巍城 二十二百五十元後,多點七五。同時會價歷確 五、李嘉城佔百分之〇

**州南京教科達** 白 山 山 山 山 山 山 山 山 山 道 群 黄 炳

雌粉他們將修改劇本的機份保留,未完的

商遷

**率年的供過於求及表價** 

升為統

婦局

,現一港廠商不會因三零一一一一一一人有政善,出口表現也算理想心容鏡表業今年的表現時認為2日的整體表現會有百分之十四年意的比去年同期增加一成2年意的比去年同期增加一成2年高級的比去年同期增加一成2年 - 本港鐘表業經過五增幅。 今年的生產期已全部接滿訂單,預個午餐會上透露,港商在聖誕節期

借款 信昨與 是項貸款可 時可能會有廠商將生轉嫁到港商身上,屆 億 銀團絡 一要勞工密集的工程 一迎港府放寬輸入社 一發展

香島道一幢家宅 日

簽訂合約,合作發展 美國休斯頓航空公司於一至兩個月前,與 中信集團(香港)已 中信集團(香港)已 **資産值為二百億港元中信(香港)目前的此外,他透露,** 

Mandart Ltd以四千一百六十萬 Roo Ying以六千五百萬元,出 Futurelink Deve Ltd。 Roo Ying以六千五百萬元,出 元,出售十六、十七、二十字樓及車

7大廈地下、一樓 予 Hong入銀行以五千五百萬元,出售

一行簽署一項二千二百分昨日與六間日本銀份公司(中信), 中信), 中信), 中信),

VISA咭在港增

次季結

脹額高

發店量則增長百分之十二,總額達二億六千五美元(相當於七千二百零七億港元),較去年另外,該集團第二季在全球的信用店結區,但亞太地區仍能逆流而上,為八十四億美元,便亞太地區仍能逆流而上,該集團今年第一棟榮顯說,雖然備受波斯灣戰事及環球經

工業發展局籌供

現正研究委員

佳運船務有限公司

特區碼頭

水東港

Fax

定期散貨服務往/來

船名:南方輪

定期散貨服務往/來

香港←→湛江/海口

定期貨糧散貨服務往/來

船名:陵海5號

交收貨站:觀塘海濱道卸貨區內

其他貨運服務 (OTHER SERVICES)

鴻運碼頭(先利臺)

:茂運102,南方輪

香港←→汕頭

←→茂 名

本人銀行部分物業亦有轉手 Tandart Ltd以四千一百六十萬零七千 就家宅物業予Onson Invited。 本人銀行部分物業亦有轉手 上andart Ltd以四千一百六十萬零七千 東京物業予Onson Invited。

五千

·五百萬成交

**育部中华的人口有有** 

CKS香港珠江貨運有限公司 CHU KONG TRANSPORTATION (H.K.) LTD.

航線:廣東省↓香港↓世界各地 香港開每月5,15,25日,湛江開每月10,20,30日

湛江 湛江分公司 電話:282807 香港開每月10,20,30日,海口開每月5,15,25日 幽江1018,1019 海口 海口代理:海口新港港務管理局 電話:33100 粤江 904.905 中山 粤江415,435 每天一班 毎三天一班 容奇 粤海203 逢星期二、四、六開航 每星期兩班 廣州 粤江 1010 南港 每星期兩班 粤海233 每星期雨班 黄埔 粤江 1011 珠海 長海3號 每星期雨班

船東及香港總代理:香港珠江貨運有限公司

貨 運 服 務:①本公司在港九新界公共卸貨區,設有18個碼頭泊位,提供船舶 裝卸服務。

(新界屯門浩洋街97號) 地址:香港中環干諾道西28號威勝商業大厦2樓108室

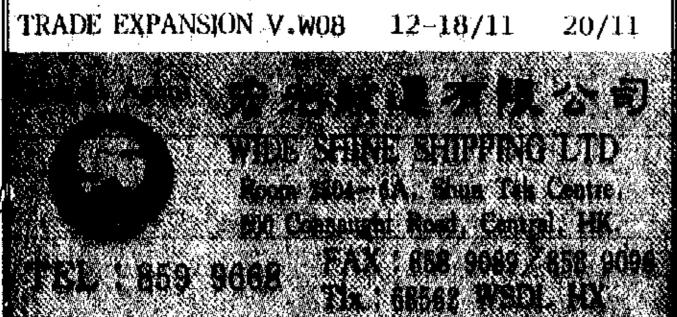
西公與京北鄉國易買促促軍中

圖承接至世界各地之海陸貨運服務

裝折箱等服務

歐洲集裝箱班輪 (直航漢堡、鹿特丹、 安特衛普)

2-8/11 11/11 TRADE PINE V.WQ2 20/11



**電掛:82699 CKTHL HX 圖文傳真:5591593** 中國業務部 **(\*\*\*)** 怕和 怡和太平洋鵬下機構 梁先生 8652712 國内取權·方便價廉·天天有船 5282046 直達快船,無需中轉,每月三航次 一闸根廷 每月三航次命位充足

- 瀨文傳寘 1 (852)5282459 .



預航日期

施小姐 5282046 梁先生。8652712 呂先生, 5286261 呂先生 5286261 梁先生、8652712 電優: 72945 DSERV IIX

拼箱散貨及整箱・每月四畝次

HONG KONG 散貨定期班輸 兼收大家賃買至東第:人里。 本公司專辦集裝箱及設售運輸業務和永鄉在查港中 48至中国内地及世界各地的中面。香港本地及占占地局 和中国籍、微迎索托 剖願及查詢:梁侍樂先生找調文店先生

PROFESSIONAL BUILDING TUNG LO WAN ROAD. HONG KONG. 890-6272 FAX 577-7016 . 新塘 開紙日期 二天一班 (天天收货)

XINTANG

場內交收只 低息昨改訂 () 金日波帽 () 三十二百九 () 三十二百九

有為為十,

強利省等。項、八

NISSAN

電話: 877 3698 #港東韓道和教界連中心 東座3405室

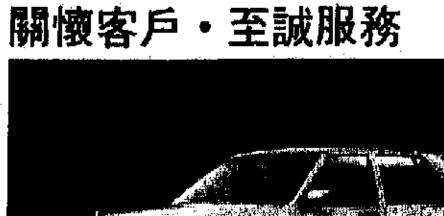
交秋

價成會

四際音樂音像製品展開於一家新上  ,批准新股上市的權力執行應是對深圳股市行使同時服務發行與交易管理期的一大問題。根據深圳市

莊-- 在東莞建

首期將於短期



**NMSC** 

,故當局會在特別的工業都內提供土地,以滿足需求。工廠大廈內設立,而分層工廠佔本港工業廠房的大部分在土地供應方面,他承認有部分高科技工業不能在分層素、促進外資投資及保障知識產權等多方面加以配合。處理首批申請。

船名

其他質

■承接至世界 ■並代辦中輔 ・ 裝拆箱等服

(直航漢

TRADE PINE

TRADE EXPA

🗫 NISSAN

上價成會交秋 五分百約揚.

核纖鏡面基使經司外算貨爭對本對營已貿

推動全區產業結構向

不透製品加工

業一千二百多家,僅今年一至九月就進入||李偉炎並稱・現時全區共有鄉鎮三資|

吸收高技術工

貿發局資

型產業加快了向佛山地區的轉移,推動了一个工業。

盈利水平。聯、東歐這類國家貿易中,則適當提高成經營中,均採取稍低的成交價,來爭取客



● 中国保持 14911 徽 南洋南菜縣行

3余株銀行 843 0901

● #福市常祭村 542 9665

何需排隊成個鐘·理財投資更輕鬆

申請費用全発•開戶金額不限

中銀集團最新推出之「電話銀行」服務,優點勝人 一籌,服務範圍更加廣泛,兼且開戶金額不限, 申請費用全亞,必爲閣下當然之選。

只需透過「音頻式」電話·閣下便可「以手代足」· 足不出戶,隨時隨地處理日常財務往來,毋須豐 時輪候;並助您掌握投資先機,坐享漁人之利。

查核帳目, 瞭如指掌

處理外幣及定期存款,有「盈」有款

股栗買賣・運業帷幄 滙率及股票金融行情查詢,準確齊備

越洋理財・無分遠近

● 更改私人密碼,保密週全 申領支票簿或支票戶口月結單,快捷簡單

\*請即加入「以手代足」行列,親臨下列銀行各分 支行辦理簡易開戶手續。

826 6714 852 0883

■ 顯常銀行 541 5585

看相財英 。復關經英

dag 🏶 eda 🗬 eda 🗣 da 🗣 eda 🗣 eda 🗣 da 🗣 e la elementaria e la 是明錄一 白不,月 上 月 一 催化器後 一 催化器後 四 原紀錄四 三 人

加產十易 主司的今 要發紀年 F跌 成交股數 溢價(%) .15 857,000 17.89

.05 1,076,000 21.43

.10 2,230,000 19.41

.005 2,510,000 2.60

.02 253,600 41,61

8,000 82.92

222,000 6.84 408,000 0.56 188,000 -3.97 566,600 45.24 .006 1,580,000 56.96 .08 24,672 13.04 265,481 61.95 .004 2,703,800 25,48 .04 48,000 21,18 .50 13,000 2,98 .03 250,000 33,08

80,000 250,85 .002 100,000 175.00 1,125 123,66 -01 394,400 50,34 - 108,400 27,34 -01 83,500 57,41 .005 514.000 36.72 .05 1,177,600 47,85

.024 449,000 3,31

677.745 56.79 125 27.000 .30 L.373,000 20,83 .075 411,000 .05 18,000 .01 10.000 .02 300,000 .10 22,000 .00 195,000 .025 172,000 30 928.400

成交 前交易日 約數 未平合約總數

《多種貨幣存款可供選擇 允换外幣滙率特別優惠 一外幣定期存款限額特低 • 定期存款期限聚活 • 存款可作选支抵押 息高 利厚 ,請電熱線電腦848 1240東35

成交股份 上升股份 下降股份 無變股份

2293.98 + 12.17

698,657,659

26.842

買價 賣價 最高 最低 收市

34.00 34.25 34.25 33.75 34.00

13.70 13.80 13.80 13.70 13.80

2.30 2.40 2.35 2.35 2.35

1.41 1.42 1.42 1.42 1.42

0.085 0.087 0.087 0.085 0.086

2.725 2.75 2.75 2.725 2.75

0.148 Q.15, 0.151 0.147 0.15 -0.001

11.80 12.20 12.00 11.90 12.00 +0.20

16.60 16.70 16.80 16.70 16.70 -0.10

0.42 0.43 0.41 0.41 0.42 +0.01

1.13 1.17 1.14 1.13 1.14 +0.02

1.46 1.48 1.48 1.46 1.47 -0.01

0.385 0.395 0.395 0.38 0.395 +0.015

0,63 0,64 0.64 0.62 0,64 +0.03

1.08 |.10 | 1.08 | -0.01

2.15 2.175 2.175 2.15 2.15

0.058 0.06 0.06 0.058 0.059

16.30 16.40 16.30 16.20 16.38

22.10 22.20 22.20 21.80 22.10 -

12.60 12.70 12.60 12.50 12.60 -0.10

2.425 2.45 2.45 2.425 2.425 -0.025 172,456

2.375 2.40 2.40 2.35 2.40 +0.025 5,209,000

0.67 0.63 0.66 +0.03

36.25 36.50 36.50 36.25 36.25 -0.25 898,583 19.68 2.76

2.15 2.175 2.175 2.05 2.175 +0.125 2,965,619 13.98 2.10

2.45 2.475 2.475 2.45 2.475 -0.025 1,507,331 12.49 6.06

1.99 2.00 2.00 1.97 1.99 +0.01 10,763,710 9.05 5.03

1.78 1.79 1.79 1.75 1.78 +0.05 2.699,000 22.93 7.12

0.35 0.355 0.355 0.345 0.35 -0.005 4,576,000

8.50 8.50 40.078

0.56 0.50 0.50 0.50 0.50 10.00 1.10 1.11 1.12 1.10 1.51 0.05

用

30.75 31.00 31.50 29.80 31.00 41.60

11.20 11.30 11.30 11.10 11.20

13.90 14.00 14.10 13.90 14.00 -

7.75 7.80 7.80 7.75 7.80

0.74 0.75 0.75 0.74 0.75

1.33 1.34 1.34 1.33 1.34

3,625 3.675 3.65 3.625 3.65

1.38 1.39 1.39 1.38 1.39

0.78 0.79 0.79 0.79 0.79

34.00 34.25 34.25 33.50 34.25

4.725 4.75 4.75 4.70 4.725

2.675 2.70 2.70 2.675 2.IQ

1.09 1.11 1.11 1.09 1.10

0,265 0.27 0.275 0.26 0.27

11.00 11.20 11.20 11.20 11.20

0.92 0.94 0.95 0.92 0.93 -0.02

1.23 1.24 1.24 1.21 1.24 +0.04

5.75 3.80 3.75 5.60 5.75 10.20

1.56 1.57 1.57 1.55 1.16 40.02

1.95 1.96 1.96 1.94 1.95 +0.01

20.30 20.40 20.40 20.30 20.40 +0.20 5,180,500

0.65 0,66 0.65 0.64 0.65

0.72 0.75 0.75 0.72 0.75

0,81 0.62 0,63 0,81 0,81

0.75 0.23 0.55

3.25 3.30 5.33 5.20 3.30 +0.10

1.07 1.08 1.08 1.04 1.07 -0.01

2,172 2,20 2,20 2,15 2,20 +0,075

0.36 0.365 0.365 0.365 0.365 +0.005

0.51 0.53 0.52 0.51 0.52 +0.01

9.00 /9.05 9.15 9.00 9.03 -0.05

0.94 0.95 0.94 0.94 0.94 -0.01

0.88 0.80 0.79 0.85 +0.03

21.70 21.80 21.80 21.50 21.80 20.00 2,502,266 12.75 2.34

12.60 12.70 12.70 12.50 12.60 +0.10 1,397,091 13.26 4.84

5.45 5.50 5.45 5.30 5.45 40.10 463,000 9.80 5.50

7.45 7.50 7.50 7.40 7.45 -0.05 -128,281 11.29 6.98

3.625 3.65 3.70 3.627 3.63 -0.025 577.000 6.85

0.98 0.99 1.00 0.98 0.99 -0.02 4.964.000 3.70 8.08

1.28 1.29 1.29 1.25 1.29 +0.03 6.100.000 35.73 1.55

14.80 14.90 14.90 14.50 14.90 +0.30 10.207.870 12.84 4.36

1.79 1.61 1.63 1.76 1.80 +0.02 1.671.000 7.66 6.24

23.30 23.40 23.70 23.30 23.40 -0.30 3.337.427 15.17 3.42

4.00 4.025 4.015 4.00 4.025 +0.05 2.020,149 13.03 3.73

10.30 10.40 10:40 10.20 10.30 +0.10 3.125.618 14.03 4.76

2.45 5.30 2.30 2.35 2.30 +0.15 642.490 12.14 3.82

1.13 1.13 1.10 1.12 +0.01 1.288,000 20.36 1.79

6.90 6.70 6.90 +0.30 130.000 12.55 7.68

1.72 1.74 1.74 1.63 1.73 +0.11 352.000 12.36 1.73

Ó

46,25 46,75 46,25 46,25 -0.25 132,440 14.61 3.06

2.014.836.819

總成交股數

023 東亞銀行

053 國浩集團

011 | 拉生概行

008 匯豐銀行

183 嘉華銀行

349 友聯銀行

098 永隆銀行

662 亞洲財務

271 亞洲體券

206 國際城市

094. 福基發展

145 進風貸款

170 工業投資

208、怕和策略

376 萬勝趨勢

495 百利大

090 百萬動

205 德利投資

881 添穀農業

028 天安中疆

276 宇宙投資

110 中國東方

|209 | 恰和策略(優)

002 中華電力

026 中華汽車

032 香港隧道

003 中華煤氣

006 普港電燈

050 普灣小輪

008 香港電訊

062 九龍汽車

| 024|| 實成國際

043 | 小蜂園際

123 嘉宏集團

025 其土醋醇

188。正大

130 周生生。

487 冠旗頓:

353 牛奶圖際

461 實體單行

(034 - 愛笑高(画車)

036 速東投資

142 第一太平

677 金源米業

270 粤海投資 264 公和祥

013. 和配黄埔

866 新稿基工業

.015 怕和控股

174 奇磁集團

191 麗新國際

478 名力集團

224 建华國際

679 亚洲企業

281 川河集圏

249 森那英

|019|||太清洋行人

1947 太古洋伊亚

1004 - 九龍唐集團

| 532 | 王氏港建

020 建業網際

068 聯合地產

101 海大農業 1022 II MIS

129 (花海 184 BEAZER(麻本)

288 世質中心

687 惠成工程

901. 長江寅業

112 金祥豐業

130 小華展樂(編集)

13] 卓館

**北江78 本正国際** 

162 沈約

200 永安集團 (#4)

(84 - 謝創與 (華皇)

100 仁果:

367 莊士機構

356 世紀城市(陳華)

CRUSADER

医漢實集

166 第一太平銀行

工商

72,000

- 4,388,716 17.66 4.52

23,920

20,000

517,500

754,000

870,000

2,367,000

9,000

14,660,000

行

成交股數 市區率 周息

1,046,284 19.08 2.83

13.70 3.81

7.23 7.97

10.09 3.40

23.91 9.15

7.25 7.58

9.17 6.18

6,94 9,17

595,274 6.09 1.86

36,000 15.70 1.75

630,000 23.94 3.40

1,358,743 9.00 6.98 80,000 \$84.33 6.25

351,000 2,29 3,30

4,100,000 18.5% 1.55

186,131 24.03 1.74

234,000 10 87 6.67

274,400 7.13 3.74

138,000 5.09 8.64

722,500 9,86 2,74

20,000 5.59 3.85

911.807 70.16 1.52

112,000 10,11 5,32

37,000 94,44 4,71

216,000 0.80

146,156 9,69 2.85

208,000 10.21 6.26

2, 557, 866 7,24 4,55

211,450 9.80 5.66

330,000 7.52 6.30

5,000 11.43 1.61

549,621 5.81 8.06

1.850.000 6.51 5.45

1.364.233 2.79

3,202,661

1,792,000

110,000

5,45 4,05

9.34 0.64

9,80 2.04

13,78 2.35

991,707 15,59 5,22

850,000 1.17 15.38

1,117,640 (04.29 (3.70

8.26 5,97

8.11 6.38

4.75 7.91

561,000 8.81 8.07

1,061,472 18.98 2.41

+0305 -2,512,919 17.18 4.23

370, 500

108,338

859, 191

8.13 3.07

1,000

142,000 210.00

有限的 医乳腺素素

215,000 6.37



進展不忘穩健

十一月七日 (星期四)

恒生分類指數

+ 21.44

127 华人置業(神事)

216 建業置業

125 四海地產

121 紀德置業

158 高日對展

183 英皇地産

128 安寧企業

035 遠東發展

140 金山地産

(4) 鷹君・

1012 | 復基地産

010 恒篠

007 置地

149 港澳

049 信託 ▲

153 信託 B

480 香港興業

159 河聯投資

160 漢國置業

054 合和實業

| 055 | 新昌 | 画際

164 惠泰置業

014 希慎興業

165 明輝發展

286 國際後祥

173 , 斯華國際

181 肽明建築

184 激成企業

185 建煌新記

263 新胎投資

201 華大地產

202 萬年賢業

132 非華

158 萬邦投資

200 新漆國際

207 明仁企業

017、新世界發展

073 百利保(學學)

257 字發國際

589 保華集團

077 聯邦地産 A

228 聯邦地産 B

231 富利國際(単島)

225 博富臨

238 森滿合

251 爪哇企業

240、海裕實業

219 順麥建築

245 星港地産

083 信和置業

535 孫福記

088 大昌地産

|089||大生地産

091、德勢建築

277 太與置業

266 天德地產

247 尖沙咀翼業

267 中信泰寓

288 永鴻基

291 永遠利。

193. 慶屋園際

296 實成置業

171 機廠實業

278 華度賢業

283 俸益

287 永發置業

730 開連投資

404 新昌備道

406 有利集團

027 國際首業 072 環集

105 凱聯爾店

557、城市酒店

037 遠東洲店

| 039 | 宮麗華超店

195 格欄道店A

| 571 | 巌爛|| .

045 大洲店

**格基等** 651

422 | 文華東方

071 英麗華酒店

223 百樂酒店

078 富豪福店

668 八佰伴飲食

196 格蘭獨協師

235 紅實石

062 大快措

293 國教航空

029 中華造船

119 新海康

117 萬邦航藥

217 海南駿葉

332 東方海外

237 安全貨倉

506 海嘉寅業

269 梅畔狼魎

242 植锡企業

095 報光航業 625 🐞 桁

620 太元集團

848 祥華實業

481 中國印象

420 福田實業

154 脊髓泡筋

709 佐丹奴

641 立信

069 臺倉

051 海港企業

674 金助

341 大家樂

(銀) 服新發機(優)

| 016 ||新鴻基地産 (株押)

**维 唐生作** 

161 鴻福 🖫

135 PARAGON

| 展不                                                                     | <b></b> 危捷                                                                                         | <b>从</b>                                                            | <b>分少</b> 强力                                                                                                 |                                                     | Tel:01-437-5188/8<br>推也納<br>Ania Souverdr<br>Wien 15.Lohr                                                                                                                                                                                                                                                                                                                                                                                                                                                                                                                                                                                                                                                                                                                                                                                                                                                                                                                                                                                                                                                                                                                                                                                                                                                                                                                                                                                                                                                                                                                                                                                                                                                                                                                                                                                                                                                                                                                                                                                                                                                                     | r.                          |
|------------------------------------------------------------------------|----------------------------------------------------------------------------------------------------|---------------------------------------------------------------------|--------------------------------------------------------------------------------------------------------------|-----------------------------------------------------|-------------------------------------------------------------------------------------------------------------------------------------------------------------------------------------------------------------------------------------------------------------------------------------------------------------------------------------------------------------------------------------------------------------------------------------------------------------------------------------------------------------------------------------------------------------------------------------------------------------------------------------------------------------------------------------------------------------------------------------------------------------------------------------------------------------------------------------------------------------------------------------------------------------------------------------------------------------------------------------------------------------------------------------------------------------------------------------------------------------------------------------------------------------------------------------------------------------------------------------------------------------------------------------------------------------------------------------------------------------------------------------------------------------------------------------------------------------------------------------------------------------------------------------------------------------------------------------------------------------------------------------------------------------------------------------------------------------------------------------------------------------------------------------------------------------------------------------------------------------------------------------------------------------------------------------------------------------------------------------------------------------------------------------------------------------------------------------------------------------------------------|-----------------------------|
| 電話                                                                     | : 8268333                                                                                          | 圖文傳眞                                                                | : 8100592                                                                                                    | ţ                                                   | 471                                                                                                                                                                                                                                                                                                                                                                                                                                                                                                                                                                                                                                                                                                                                                                                                                                                                                                                                                                                                                                                                                                                                                                                                                                                                                                                                                                                                                                                                                                                                                                                                                                                                                                                                                                                                                                                                                                                                                                                                                                                                                                                           | <u></u> -                   |
| 成文金额<br>金 類<br>150,262,862<br>149,182,601<br>105,646,000<br>88,806,305 | 十大成交股數<br>公司 股數<br>中信泰富 38,528,700 第<br>與利 91 33,300,000 第<br>百富勒91 32,316,165 第<br>至 20,542,000 人 | <b>4</b> 2.80 +7.69                                                 | 十大下跌股票<br>公司 收市價 降%<br>王 集 團 0.50 -7.41<br>實 成 2.20 -4.35<br>友 科 0.47 -4.08<br>其上商業 0.285 -3.39              | 恒生指數移動線<br>(10天)<br>4125.14 +29.20<br>(20天)         | 電腦<br>代號 公 司<br>212 南洋紗廠<br>178 永新企業<br>234 玫瑰針織                                                                                                                                                                                                                                                                                                                                                                                                                                                                                                                                                                                                                                                                                                                                                                                                                                                                                                                                                                                                                                                                                                                                                                                                                                                                                                                                                                                                                                                                                                                                                                                                                                                                                                                                                                                                                                                                                                                                                                                                                                                                              | <b>東付</b>                   |
| 78,424,304<br>77,182,441<br>73,602,125<br>54,291,787<br>52,243,150     | 英 <u>自</u> 19,135,714 全<br>CRUSADER 14,660,000 用<br>和黄93(5月) 21,934,090 用<br>新世界91 11,977,280 円    | 類 1.75 +6.79<br>期 6.40 +6.67<br>基準銀行 2.175 +6.10<br>事資単 31.00 +5.44 | 其上商業 0.205 ~3.39<br>水 黄 2.20 ~3.30<br>東方海外 1.00 ~3.23<br>中 點 0.335 ~2.90<br>南 海 6.95 ~2.80<br>協 異 7.60 ~2.56 | 4064.50 +19.54<br>(50天)<br>4004.03 + 4.06<br>(250天) | 250 南海紗廠<br>458 聯環集團<br>272 協興針繳<br>273 恰南實業                                                                                                                                                                                                                                                                                                                                                                                                                                                                                                                                                                                                                                                                                                                                                                                                                                                                                                                                                                                                                                                                                                                                                                                                                                                                                                                                                                                                                                                                                                                                                                                                                                                                                                                                                                                                                                                                                                                                                                                                                                                                                  | 6.99<br>3.69<br>7.69<br>6.7 |
| 52,095,150<br>公司                                                       |                                                                                                    | 1,02 +5,15                                                          |                                                                                                              | 市盈率 周息                                              | 369 富源國際<br>098 南聯實業<br>294 及江製衣<br>464 及江國際                                                                                                                                                                                                                                                                                                                                                                                                                                                                                                                                                                                                                                                                                                                                                                                                                                                                                                                                                                                                                                                                                                                                                                                                                                                                                                                                                                                                                                                                                                                                                                                                                                                                                                                                                                                                                                                                                                                                                                                                                                                                                  | 1.0<br>8.9<br>1.9<br>0.3    |
| 選集 (神里)<br>選集<br>也選<br>選集                                              | 1.87 1.88 1.89<br>1.01 1.02 1.03<br>3.65 3.70<br>0.69 0.70 0.70                                    | 3 0.98 1.02 4<br>3.625 3.65 -                                       | - 3,164,333<br>0.05 9,360,000<br>0.01 22,000<br>0.01 100,000                                                 | 17.99 5.32<br>8.90 68.24<br>29.92<br>51.09 0.71     | 375 長江貿易 .<br>172 香島潭染                                                                                                                                                                                                                                                                                                                                                                                                                                                                                                                                                                                                                                                                                                                                                                                                                                                                                                                                                                                                                                                                                                                                                                                                                                                                                                                                                                                                                                                                                                                                                                                                                                                                                                                                                                                                                                                                                                                                                                                                                                                                                                        | 1444 1414 1414 1414 1414    |
| け展<br>也産<br>企業                                                         | 0.54 0.55 0.54<br>0.29 0.295 0.29<br>0.68 0.69 0.68                                                | 0.54 0.54<br>0.29 0.29<br>0.68 0.68                                 | - 1,234,760<br>- 19,135,710<br>-0.01 324,000                                                                 | 2,93 5,56<br>4,20 13,79<br>24,73 2,46<br>4,08 9,24  |                                                                                                                                                                                                                                                                                                                                                                                                                                                                                                                                                                                                                                                                                                                                                                                                                                                                                                                                                                                                                                                                                                                                                                                                                                                                                                                                                                                                                                                                                                                                                                                                                                                                                                                                                                                                                                                                                                                                                                                                                                                                                                                               | 11 2                        |
| 関展<br>AGON<br>他産                                                       | 0.198 0.199 0.20<br>2.35 2.379 2.3                                                                 | 52 0.061 0.061 ·<br>0 0.198 0.198 ·<br>75 2.35 2.35                 | -0.001 2.610,000<br>-0.001 885,000<br>- 3,408,695                                                            | 0,90<br>82,50<br>11,63 4,26                         | 260 聯合工業國際<br>723 安羅士<br>519 實力國際                                                                                                                                                                                                                                                                                                                                                                                                                                                                                                                                                                                                                                                                                                                                                                                                                                                                                                                                                                                                                                                                                                                                                                                                                                                                                                                                                                                                                                                                                                                                                                                                                                                                                                                                                                                                                                                                                                                                                                                                                                                                                             | 0.7<br>1.2<br>0.7           |
| <b>地</b> 產                                                             | 13.70 13.80 13.80<br>8.90 8.95 8.99<br>7.70 7.75 7.89                                              | 0 13.60 13.70<br>5 8.85 8.90<br>5 7.40 7.75                         | +0.10 1,926,100<br>+0.05 4,559,663<br>+0.10 563,654                                                          |                                                     | 104 冠亞海樂<br>522 ASM PACIFIC<br>878 AXIOM<br>701 中華漆瓶                                                                                                                                                                                                                                                                                                                                                                                                                                                                                                                                                                                                                                                                                                                                                                                                                                                                                                                                                                                                                                                                                                                                                                                                                                                                                                                                                                                                                                                                                                                                                                                                                                                                                                                                                                                                                                                                                                                                                                                                                                                                          | 1.6                         |
| A<br>B<br>興業<br>投資                                                     | 1,26 1,30 1,30<br>3,45 3,475 3,4                                                                   | 0 1.30 1.30<br>75 3.35 3.45                                         | +0.05 192,122<br>+0.03 30,000<br>+0.10 3,748,000<br>+0.01 30,000                                             | 4.B2 1.89                                           | 031 康力投資<br>118 大同機械<br>544 大同混凝土<br>033 依利安達                                                                                                                                                                                                                                                                                                                                                                                                                                                                                                                                                                                                                                                                                                                                                                                                                                                                                                                                                                                                                                                                                                                                                                                                                                                                                                                                                                                                                                                                                                                                                                                                                                                                                                                                                                                                                                                                                                                                                                                                                                                                                 | 0.3<br>0.8<br>3.4<br>0.3    |
| 産業<br>東業<br>国際                                                         | 3.15 3.175 3.20<br>4.35 4.375 4.3                                                                  | 0 3.15 3.175                                                        | +0,05 3,718,242<br>- 3,027,500<br>+0,075 228,400                                                             | 7.56 7.56<br>6.43 7.13                              | 704                                                                                                                                                                                                                                                                                                                                                                                                                                                                                                                                                                                                                                                                                                                                                                                                                                                                                                                                                                                                                                                                                                                                                                                                                                                                                                                                                                                                                                                                                                                                                                                                                                                                                                                                                                                                                                                                                                                                                                                                                                                                                                                           | 0.5<br>2.2<br>1.6           |
| 職業<br>実業<br>發展<br>節样                                                   | 0.375 0.38 0.30<br>8.15 8.20 8.20<br>3.275 3.30 3.3<br>1.63 1.64 1.6                               | 8 0.37 0.375<br>0 8.05 8.15<br>25 3.275 3.30                        | - 2,840,171<br>+0,10 1,383,000<br>-0,025 200,526<br>-0,02 1,616,000                                          | 10.39 8.00<br>11.85 6.13<br>16.65 2.75<br>6.52 3.07 | 044 准機工程<br>715 港陸<br>114 與利科技<br>586 香港玩具                                                                                                                                                                                                                                                                                                                                                                                                                                                                                                                                                                                                                                                                                                                                                                                                                                                                                                                                                                                                                                                                                                                                                                                                                                                                                                                                                                                                                                                                                                                                                                                                                                                                                                                                                                                                                                                                                                                                                                                                                                                                                    | 16.8<br>1.0<br>0.2<br>1.1   |
| 國際<br>連終<br>企果<br>新記                                                   | 1.57 1.6<br>2.575 2.675 2.6                                                                        | 3 1.58 1.58<br>0 2.60 2.60                                          | 2,229,459<br>-0,025 30,000<br>-0,01 54,000                                                                   | 11,15 5.06<br>6.67 5.00                             | 047 合興食油<br>167 萬威科技<br>179 德昌電機<br>567 壽幸科研                                                                                                                                                                                                                                                                                                                                                                                                                                                                                                                                                                                                                                                                                                                                                                                                                                                                                                                                                                                                                                                                                                                                                                                                                                                                                                                                                                                                                                                                                                                                                                                                                                                                                                                                                                                                                                                                                                                                                                                                                                                                                  | 0.9<br>8.5<br>0.5           |
|                                                                        | 6.75 6.80 6.8<br>0.84 0.85 5.8                                                                     | 0 6.70 6.75<br>6 0.83 0.85<br>0 1.40 1.40                           | 160,690<br>60,02 2 109,900<br>2,000                                                                          | 23.28 2.96<br>10.63 4.47<br>23.57                   | 180 開達實業<br>141 金城工商<br>499 建生電子                                                                                                                                                                                                                                                                                                                                                                                                                                                                                                                                                                                                                                                                                                                                                                                                                                                                                                                                                                                                                                                                                                                                                                                                                                                                                                                                                                                                                                                                                                                                                                                                                                                                                                                                                                                                                                                                                                                                                                                                                                                                                              | 0.8<br>0.8                  |
| 的<br>股資<br>地產                                                          | 2,65 2,675 2.6<br>0,192 0.1                                                                        | 5 2.65 2.65<br>92 0.19 0.192                                        | +0,002 185,500                                                                                               | 5.06 5.68<br>6.20 5.92                              | 186 降輝集團<br>411 南順<br>388 陸氏實業<br>213 樂聲電子                                                                                                                                                                                                                                                                                                                                                                                                                                                                                                                                                                                                                                                                                                                                                                                                                                                                                                                                                                                                                                                                                                                                                                                                                                                                                                                                                                                                                                                                                                                                                                                                                                                                                                                                                                                                                                                                                                                                                                                                                                                                                    | 0.:<br>4.4<br>1.6           |
| 賢業<br>投資<br>國際                                                         | 0.325 0.3<br>0.445 0.45 0.4<br>38.80 40.00 39.5<br>0.168 0.17 0.1                                  | 95 0.43 0.45<br>0 38,50 39,50                                       | -0.005 630,000<br>+0.01 1,799,000<br>+0.50 6,000<br>+0.001 480,000                                           | 3.06<br>10,23 48.13<br>36,64                        | 458 太平協和<br>295 弱質<br>075 彩星集團<br>243 品質企業                                                                                                                                                                                                                                                                                                                                                                                                                                                                                                                                                                                                                                                                                                                                                                                                                                                                                                                                                                                                                                                                                                                                                                                                                                                                                                                                                                                                                                                                                                                                                                                                                                                                                                                                                                                                                                                                                                                                                                                                                                                                                    | 2.:<br>2.(<br>4.:<br>0.(    |
| 企業<br>界験展<br>國際<br>保(単単)                                               | 2.15 2.175 2.1<br>11.90 12.00 12.0                                                                 | 75 2.10 2.175<br>0 11.70 11.90<br>9 1.49 1.49                       | +0,05 434,000<br>+0.30 6,227,182<br>-0,01 5,000<br>+0.01 294,450                                             | 127.35 2.01                                         | 229 程序<br>472 海道路子<br>228 生力叫道<br>524 至 4 4 4                                                                                                                                                                                                                                                                                                                                                                                                                                                                                                                                                                                                                                                                                                                                                                                                                                                                                                                                                                                                                                                                                                                                                                                                                                                                                                                                                                                                                                                                                                                                                                                                                                                                                                                                                                                                                                                                                                                                                                                                                                                                                 | 0.4<br>7.                   |
| 門<br>集 <b>階</b><br>臨<br><b>地産</b> A                                    | 0.209 0.21 0.2<br>2.325 2.35 2.3<br>2.775 2.80 2.7                                                 | 1 0.209 0.209<br>5 2.30 2.325<br>75 2.75 2.775                      | -0.001 600,000<br>- 218,652                                                                                  | 12.22 4.78<br>0.22<br>7.95 5.03                     | 48. 神英電腦<br>08.1 親光電器<br>485 升岡<br>084 實光實業                                                                                                                                                                                                                                                                                                                                                                                                                                                                                                                                                                                                                                                                                                                                                                                                                                                                                                                                                                                                                                                                                                                                                                                                                                                                                                                                                                                                                                                                                                                                                                                                                                                                                                                                                                                                                                                                                                                                                                                                                                                                                   | 0.,<br>0.,                  |
| 地産B<br>國際(神島)<br>合業                                                    | 12.60 12.80 12.7<br>2.375 2.40 2.4<br>0.79 0.82<br>0.67 0.69 0.6                                   | 0 2.375 +2.375<br>0.68<br>8 0.68 0.69                               | -0.05   115,250<br>- 2,250<br>+0.01   92,000                                                                 | 12,50 5.81<br>10,25 12,20<br>21,25 2,21             | 254 廣聯企業<br>076 森馬實務<br>683 恒光實業<br>524 瑞菱醋縣                                                                                                                                                                                                                                                                                                                                                                                                                                                                                                                                                                                                                                                                                                                                                                                                                                                                                                                                                                                                                                                                                                                                                                                                                                                                                                                                                                                                                                                                                                                                                                                                                                                                                                                                                                                                                                                                                                                                                                                                                                                                                  | 1 4 7<br>0 4 (<br>1 4 7     |
| 實業<br>建築<br>池産                                                         | T 700 78 73 33 1 1 1 1 1 1 1 1 1 1 1 1 1 1 1 1 1                                                   | 6 0.65 0.66<br>0 1.83 1.87                                          | - 122,000<br>+0.01 232,000<br>-0.01 54,000<br>+0.03 806,000                                                  | 13.37 4.74<br>10.98 5.28<br>73.33<br>41.65 8.02     | 146 太平地縣 (146) (146) (146) (146) (146) (146) (146) (146) (146) (146) (146) (146) (146) (146) (146) (146) (146) (146) (146) (146) (146) (146) (146) (146) (146) (146) (146) (146) (146) (146) (146) (146) (146) (146) (146) (146) (146) (146) (146) (146) (146) (146) (146) (146) (146) (146) (146) (146) (146) (146) (146) (146) (146) (146) (146) (146) (146) (146) (146) (146) (146) (146) (146) (146) (146) (146) (146) (146) (146) (146) (146) (146) (146) (146) (146) (146) (146) (146) (146) (146) (146) (146) (146) (146) (146) (146) (146) (146) (146) (146) (146) (146) (146) (146) (146) (146) (146) (146) (146) (146) (146) (146) (146) (146) (146) (146) (146) (146) (146) (146) (146) (146) (146) (146) (146) (146) (146) (146) (146) (146) (146) (146) (146) (146) (146) (146) (146) (146) (146) (146) (146) (146) (146) (146) (146) (146) (146) (146) (146) (146) (146) (146) (146) (146) (146) (146) (146) (146) (146) (146) (146) (146) (146) (146) (146) (146) (146) (146) (146) (146) (146) (146) (146) (146) (146) (146) (146) (146) (146) (146) (146) (146) (146) (146) (146) (146) (146) (146) (146) (146) (146) (146) (146) (146) (146) (146) (146) (146) (146) (146) (146) (146) (146) (146) (146) (146) (146) (146) (146) (146) (146) (146) (146) (146) (146) (146) (146) (146) (146) (146) (146) (146) (146) (146) (146) (146) (146) (146) (146) (146) (146) (146) (146) (146) (146) (146) (146) (146) (146) (146) (146) (146) (146) (146) (146) (146) (146) (146) (146) (146) (146) (146) (146) (146) (146) (146) (146) (146) (146) (146) (146) (146) (146) (146) (146) (146) (146) (146) (146) (146) (146) (146) (146) (146) (146) (146) (146) (146) (146) (146) (146) (146) (146) (146) (146) (146) (146) (146) (146) (146) (146) (146) (146) (146) (146) (146) (146) (146) (146) (146) (146) (146) (146) (146) (146) (146) (146) (146) (146) (146) (146) (146) (146) (146) (146) (146) (146) (146) (146) (146) (146) (146) (146) (146) (146) (146) (146) (146) (146) (146) (146) (146) (146) (146) (146) (146) (146) (146) (146) (146) (146) (146) (146) (146) (146) (146) (146) (146) (146) (1 | 1.                          |
| 置業<br>基地底 (申押)<br>記<br>地産                                              | 3.075 3.10 3.1<br>23.60 23.70 24.1<br>2.525 2.575 2.5<br>4.80 4.825 4.8                            | 0 23.50 23.70<br>75 2.525 2.55                                      | +0.025 1.866,000<br>-0.43 3.256,950<br>-0.025 1.638,000<br>+0.10 702,000                                     | 8.99 3.02<br>11.62 4.05<br>8.12 3.14<br>12.37 7.25  | 500 訊 球                                                                                                                                                                                                                                                                                                                                                                                                                                                                                                                                                                                                                                                                                                                                                                                                                                                                                                                                                                                                                                                                                                                                                                                                                                                                                                                                                                                                                                                                                                                                                                                                                                                                                                                                                                                                                                                                                                                                                                                                                                                                                                                       | 0.<br>2.<br>0.              |
| 地產<br>建築<br>置業<br>地產                                                   | 2.675 2.70 2.6<br>1.26 1.28 1.2<br>1.17 1.19 1.1                                                   | 75 2.65 2.675<br>B 1.27 1.27                                        | - 304,275<br>- 446,400<br>- 20,000                                                                           | 11.58 6.36<br>5.57 3.58<br>7.80 2.14                | 119。友利書語<br>710 精電<br>413 華盛國際<br>099 主民工業 (10.8)                                                                                                                                                                                                                                                                                                                                                                                                                                                                                                                                                                                                                                                                                                                                                                                                                                                                                                                                                                                                                                                                                                                                                                                                                                                                                                                                                                                                                                                                                                                                                                                                                                                                                                                                                                                                                                                                                                                                                                                                                                                                             | 0.<br>3.<br>0.              |
| 咀 <b>置業</b><br>泰富<br>基<br>利                                            | Applicationed de bound ad transportement application application factorist from the                | Management of marky construction of the field of the con-           | +0.075 2,317,531<br>+0.10 38,528,700<br>-0.004 200,000<br>- 194,000                                          | 11.40 2.79<br>14.69 2.343<br>200.00                 | 720 和記憶業<br>248。這生實業<br>224 佳利職職<br>728 南綱食品                                                                                                                                                                                                                                                                                                                                                                                                                                                                                                                                                                                                                                                                                                                                                                                                                                                                                                                                                                                                                                                                                                                                                                                                                                                                                                                                                                                                                                                                                                                                                                                                                                                                                                                                                                                                                                                                                                                                                                                                                                                                                  | 1.<br>2.                    |
| 國際<br><u>電楽</u><br>實際<br>發現(優)                                         | 2.125 2.175 2.<br>2.175 2.<br>0.95 0.97 0.9                                                        | 30 2.20 2.20                                                        | -0.025 82,600<br>-0.10 345,056<br>+0.02 25,000                                                               | 10.72                                               | 732 信利<br>115 忠徳石油<br>- 408 葉氏恒晶<br>615 東独電子                                                                                                                                                                                                                                                                                                                                                                                                                                                                                                                                                                                                                                                                                                                                                                                                                                                                                                                                                                                                                                                                                                                                                                                                                                                                                                                                                                                                                                                                                                                                                                                                                                                                                                                                                                                                                                                                                                                                                                                                                                                                                  | .<br>  .                    |
| 地產                                                                     | 6.40 6.50 6.<br>1.82 1.94 1.<br>1.05 1.1<br>3.725 3.775 3.                                         | 10 6 35 6 48<br>14 6 93 1 93<br>14 1 14 4 04                        | +0.01 22,000<br>+0.01 34,000<br>- 126,000                                                                    | B.04 6.74<br>6.46 3.85<br>11.83 5.37                | 623 利益程高<br>729 巨川<br>618 弟文科技<br>067 電機集職                                                                                                                                                                                                                                                                                                                                                                                                                                                                                                                                                                                                                                                                                                                                                                                                                                                                                                                                                                                                                                                                                                                                                                                                                                                                                                                                                                                                                                                                                                                                                                                                                                                                                                                                                                                                                                                                                                                                                                                                                                                                                    | <u></u>                     |
| 投資                                                                     | 2.20 2.275 2.3<br>1.04 1.05 1.0                                                                    | 20 2.20 2.20<br>06 1.04 1.05                                        | -0.075 10,000<br>-0.01 710,000                                                                               | 8.46 3.64                                           | 093                                                                                                                                                                                                                                                                                                                                                                                                                                                                                                                                                                                                                                                                                                                                                                                                                                                                                                                                                                                                                                                                                                                                                                                                                                                                                                                                                                                                                                                                                                                                                                                                                                                                                                                                                                                                                                                                                                                                                                                                                                                                                                                           | 1,<br>1,                    |
| 集門<br>首業                                                               | 1.06 1.08 1.0                                                                                      | 29 1.27 1.28<br>06 1.06 1.06<br>28 1.26 1.28                        | -0.01 6,302,000<br>-0.01 4,000<br>+0.02 1,088,000                                                            |                                                     |                                                                                                                                                                                                                                                                                                                                                                                                                                                                                                                                                                                                                                                                                                                                                                                                                                                                                                                                                                                                                                                                                                                                                                                                                                                                                                                                                                                                                                                                                                                                                                                                                                                                                                                                                                                                                                                                                                                                                                                                                                                                                                                               |                             |
|                                                                        |                                                                                                    | #1                                                                  |                                                                                                              |                                                     |                                                                                                                                                                                                                                                                                                                                                                                                                                                                                                                                                                                                                                                                                                                                                                                                                                                                                                                                                                                                                                                                                                                                                                                                                                                                                                                                                                                                                                                                                                                                                                                                                                                                                                                                                                                                                                                                                                                                                                                                                                                                                                                               | 1                           |
| 清洁                                                                     | 2.675 2.70 2.<br>2.179 2.20 2.                                                                     |                                                                     | +0.025 378,000<br>+0.10 1,752,000                                                                            | 9_31 5.19<br>10.70 5.66                             | 147 新系機構<br>343 玉郎國際                                                                                                                                                                                                                                                                                                                                                                                                                                                                                                                                                                                                                                                                                                                                                                                                                                                                                                                                                                                                                                                                                                                                                                                                                                                                                                                                                                                                                                                                                                                                                                                                                                                                                                                                                                                                                                                                                                                                                                                                                                                                                                          | 0,                          |
| 運店<br>2週店<br>単週店                                                       | 0.60 0.61 0.0<br>0.83 0.85 0.0<br>1.36 1.37 1.<br>6.05 6.15 6.                                     | 85 0.83, 0.84<br>37 1.36 1.37                                       | -0.01 2,564,000<br>- 431,200<br>+0.01 56,000<br>+0.05 77,000                                                 | 420.00<br>7.37 2.55<br>18.21 4.92                   | 686 明報企業<br>018 東方報業<br>080 邵氏<br>233 風島                                                                                                                                                                                                                                                                                                                                                                                                                                                                                                                                                                                                                                                                                                                                                                                                                                                                                                                                                                                                                                                                                                                                                                                                                                                                                                                                                                                                                                                                                                                                                                                                                                                                                                                                                                                                                                                                                                                                                                                                                                                                                      | 2,<br>1,<br>3,              |
| 酒店A<br> <br> 企業<br> 店                                                  | 2.025 2.05 2.0<br>0.40 0.41 0.0<br>8.10 8.15 8.0<br>4.725 4.0                                      | 40 0.39 0.40<br>10 8.10 8.10                                        | +0.05 200,500<br>- 746,000<br>-0.05 50,000<br>+0.025 527,500                                                 | 10,62 7,80<br>30,53<br>10,95 7,16<br>13,82 3,62     | 583 南華早報<br>511 電視廣播<br>009 電視企業<br>204 新陶集團                                                                                                                                                                                                                                                                                                                                                                                                                                                                                                                                                                                                                                                                                                                                                                                                                                                                                                                                                                                                                                                                                                                                                                                                                                                                                                                                                                                                                                                                                                                                                                                                                                                                                                                                                                                                                                                                                                                                                                                                                                                                                  | 2,<br>5,<br>2,              |
| <br> <br> 東方<br>  準護店<br> 選店                                           | 3.475 3.50 3.                                                                                      | 525 3.40 3.50<br>50 5.42 5.42                                       | +0.075 1,580,125<br>- 648,872<br>+0.05 179,600                                                               | 12.96 4.29<br>10.67 6.97<br>45.90 2.44              |                                                                                                                                                                                                                                                                                                                                                                                                                                                                                                                                                                                                                                                                                                                                                                                                                                                                                                                                                                                                                                                                                                                                                                                                                                                                                                                                                                                                                                                                                                                                                                                                                                                                                                                                                                                                                                                                                                                                                                                                                                                                                                                               |                             |
| 福店<br>(石<br>(計数数<br> 編編章                                               | 2.25 2.30 2.                                                                                       | 925 2,925 2,925<br>25 2,25 2,25                                     | +0,01 8,426,354<br>- 33,000<br>- 18,000                                                                      |                                                     | 508 其上南葉欄際<br>513 仮和集團                                                                                                                                                                                                                                                                                                                                                                                                                                                                                                                                                                                                                                                                                                                                                                                                                                                                                                                                                                                                                                                                                                                                                                                                                                                                                                                                                                                                                                                                                                                                                                                                                                                                                                                                                                                                                                                                                                                                                                                                                                                                                                        | 0                           |
| 播                                                                      | 0.194 0.198<br>1.32 1.33 1.                                                                        | 0.195<br>33 1.28 1.32                                               | - 11,100<br>+0.04 9,740,140                                                                                  |                                                     | 118 通生創織<br>639. 福輝<br>152 新創見                                                                                                                                                                                                                                                                                                                                                                                                                                                                                                                                                                                                                                                                                                                                                                                                                                                                                                                                                                                                                                                                                                                                                                                                                                                                                                                                                                                                                                                                                                                                                                                                                                                                                                                                                                                                                                                                                                                                                                                                                                                                                                | 0                           |
| 航空                                                                     | 10.00 10.10 10.                                                                                    |                                                                     | 前<br>+0.05 2.370,000                                                                                         | 9.56 4.20                                           | 647 Joyce<br>280 最構<br>066 連卡佛 A<br>067 立興<br>5.12 国献                                                                                                                                                                                                                                                                                                                                                                                                                                                                                                                                                                                                                                                                                                                                                                                                                                                                                                                                                                                                                                                                                                                                                                                                                                                                                                                                                                                                                                                                                                                                                                                                                                                                                                                                                                                                                                                                                                                                                                                                                                                                         | 0<br>11<br>13               |
| 建船<br>摩<br>呼航速<br>可動業                                                  | 5,90 5,95 ß.                                                                                       | 345 0.33 0.335<br>00 3.90 5.95<br>10 5.05 5.10                      | +0.05 677,000<br>+0.10 27,000                                                                                | 3.00<br>10.63 3.36<br>8.10 8.24                     | 542 超級<br>241 瑞興<br>244 先施<br>417 謝瑞麟                                                                                                                                                                                                                                                                                                                                                                                                                                                                                                                                                                                                                                                                                                                                                                                                                                                                                                                                                                                                                                                                                                                                                                                                                                                                                                                                                                                                                                                                                                                                                                                                                                                                                                                                                                                                                                                                                                                                                                                                                                                                                         | 6                           |
| 7海外<br>2貨倉<br>3実業<br>単集制                                               | 3.025 3.05 3.<br>5.80 5.90 5.<br>2.80 2.825 2.                                                     | 10 3.00 3.00<br>85 5.80 5.85<br>825 2.60 2.80<br>27 1.25 1.26       | -0.10 52,000<br>+0.05 46,000<br>+0.20 2,080,140<br>-0.01 281,000                                             | 14.79<br>14.63 8.55<br>15.47 2.50<br>15.36 1.19     | 278 東方紅<br>288 永安公司<br>284 八百半<br>128 編集編                                                                                                                                                                                                                                                                                                                                                                                                                                                                                                                                                                                                                                                                                                                                                                                                                                                                                                                                                                                                                                                                                                                                                                                                                                                                                                                                                                                                                                                                                                                                                                                                                                                                                                                                                                                                                                                                                                                                                                                                                                                                                     | 7                           |
| 企業<br>企動業<br>行                                                         | 3.925                                                                                              | 925 3-85 3-925<br>08 1-06 1-08                                      | +0.10 2,665,324                                                                                              | 11.72 7.26                                          | 192 遠卡機 B<br>383 現光禅呼<br>616 益春集開                                                                                                                                                                                                                                                                                                                                                                                                                                                                                                                                                                                                                                                                                                                                                                                                                                                                                                                                                                                                                                                                                                                                                                                                                                                                                                                                                                                                                                                                                                                                                                                                                                                                                                                                                                                                                                                                                                                                                                                                                                                                                             | 0                           |
|                                                                        |                                                                                                    |                                                                     |                                                                                                              |                                                     | 622 幸福庆具<br>30 佳紀集業                                                                                                                                                                                                                                                                                                                                                                                                                                                                                                                                                                                                                                                                                                                                                                                                                                                                                                                                                                                                                                                                                                                                                                                                                                                                                                                                                                                                                                                                                                                                                                                                                                                                                                                                                                                                                                                                                                                                                                                                                                                                                                           | 1                           |
| 事實雅<br>新印染                                                             | 1.37 1.38 1.<br>0.31 0.32 0.                                                                       | 61 1,57 1,37<br>32 0,295 9,32                                       | -0.03 502.000<br>+0.01 196.000                                                                               | 8.92 3.10<br>22.86                                  |                                                                                                                                                                                                                                                                                                                                                                                                                                                                                                                                                                                                                                                                                                                                                                                                                                                                                                                                                                                                                                                                                                                                                                                                                                                                                                                                                                                                                                                                                                                                                                                                                                                                                                                                                                                                                                                                                                                                                                                                                                                                                                                               |                             |
| 5<br>以 <b>實業</b><br>少奴                                                 | 1,42 1,20 1,                                                                                       | 20 1.19 1.19<br>20 2.95 0.95<br>20 1.10 1.70                        | -0,02 t,000,000                                                                                              | 0.11 4.48<br>1.28 6.12                              |                                                                                                                                                                                                                                                                                                                                                                                                                                                                                                                                                                                                                                                                                                                                                                                                                                                                                                                                                                                                                                                                                                                                                                                                                                                                                                                                                                                                                                                                                                                                                                                                                                                                                                                                                                                                                                                                                                                                                                                                                                                                                                                               |                             |
| <b>毒毛筋</b>                                                             | J. DQ 3.02 3.                                                                                      | 022 1.00 1.072                                                      | 129-197                                                                                                      | 312.42 3.00                                         | 🗸 📗 ozrosta, vojek prijek                                                                                                                                                                                                                                                                                                                                                                                                                                                                                                                                                                                                                                                                                                                                                                                                                                                                                                                                                                                                                                                                                                                                                                                                                                                                                                                                                                                                                                                                                                                                                                                                                                                                                                                                                                                                                                                                                                                                                                                                                                                                                                     | <b>H</b> ornización         |

歐洲航空版 本報每天除出版本港發行的 普通版外,還出版事供外地讀者 Chinese Newspapers Consolidated Sales, Inc. 548 Kearny St., San Francisco, CA 94108,U.S.A. Tal:(415)421-5729 閱讀的「歐洲航空版」:及在美麗 用衛星傳真印刷的「美洲航空版 各典特色、歡迎垂詢、打閱 Wan Tal Sun Co, Ltd. to Dean St., Landon, W1 England. Tel:01-437-5188/8234 電話:5 757181 價 責價 最高 最低 收市 變動 成交股数市盈率 周息

| 指數移動線<br>代號 公 3<br>212 南洋妙順                                                                                                                                                                                                                                                                                                                                                                                                                                                                                                                                                                                                                                                                                                                                                                                                                                                                                                                                                                                                                                                                                                                                                                                                                                                                                                                                                                                                                                                                                                                                                                                                                                                                                                                                                                                                                                                                                                                                                                                                                                                                                                    | 可質                                                                                                                                                                                                                                                                                                                                                                                                                                                                                                                                                                                                                                                                                                                                                                                                                                                                                                                                                                                                                                                                                                                                                                                                                                                                                                                                                                                                                                                                                                                                                                                                                                                                                                                                                                                                                                                                                                                                                                                                                                                                                                                             | 責債                                                                                                                                                                                                                                                                                                                                                                                                                                                                                                                                                                                                                                                                                                                                                                                                                                                                                                                                                                                                                                                                                                                                                                                                                                                                                                                                                                                                                                                                                                                                                                                                                                                                                                                                                                                                                                                                                                                                                                                                                                                                                                                             | 最高                                                                                                                                                                                                                                                                                                                                                                                                                                                                                                                                                                                                                                                                                                                                                                                                                                                                                                                                                                                                                                                                                                                                                                                                                                                                                                                                                                                                                                                                                                                                                                                                                                                                                                                                                                                                                                                                                                                                                                                                                                                                                                                            | 最低                                                                                                                                                                                                                                                                                                                                                                                                                                                                                                                                                                                                                                                                                                                                                                                                                                                                                                                                                                                                                                                                                                                                                                                                                                                                                                                                                                                                                                                                                                                                                                                                                                                                                                                                                                                                                                                                                                                                                                                                                                                                                           | 收市                                                                                                                                                                                                                                                                                                                                                                                                                                                                                                                                                                                                                                                                                                                                                                                                                                                                                                                                                                                                                                                                                                                                                                                                                                                                                                                                                                                                                                                                                                                                                                                                                                                                                                                                                                                                                                                                                                                                                                                                                                                                                                                             | 變動                                    | 成交股數                                                                                                                                                                                                                                                                                                                                                                                                                                                                                                                                                                                                                                                                                                                                                                                                                                                                                                                                                                                                                                                                                                                                                                                                                                                                                                                                                                                                                                                                                                                                                                                                                                                                                                                                                                                                                                                                                                                                                                                                                                                                                                                           | 市盈率                                                                                                                                                                                                                                                                                                                                                                                                                                                                                                                                                                                                                                                                                                                                                                                                                                                                                                                                                                                                                                                                                                                                                                                                                                                                                                                                                                                                                                                                                                                                                                                                                                                                                                                                                                                                                                                                                                                                                                                                                                                                                                                            | 周息                                                           |
|--------------------------------------------------------------------------------------------------------------------------------------------------------------------------------------------------------------------------------------------------------------------------------------------------------------------------------------------------------------------------------------------------------------------------------------------------------------------------------------------------------------------------------------------------------------------------------------------------------------------------------------------------------------------------------------------------------------------------------------------------------------------------------------------------------------------------------------------------------------------------------------------------------------------------------------------------------------------------------------------------------------------------------------------------------------------------------------------------------------------------------------------------------------------------------------------------------------------------------------------------------------------------------------------------------------------------------------------------------------------------------------------------------------------------------------------------------------------------------------------------------------------------------------------------------------------------------------------------------------------------------------------------------------------------------------------------------------------------------------------------------------------------------------------------------------------------------------------------------------------------------------------------------------------------------------------------------------------------------------------------------------------------------------------------------------------------------------------------------------------------------|--------------------------------------------------------------------------------------------------------------------------------------------------------------------------------------------------------------------------------------------------------------------------------------------------------------------------------------------------------------------------------------------------------------------------------------------------------------------------------------------------------------------------------------------------------------------------------------------------------------------------------------------------------------------------------------------------------------------------------------------------------------------------------------------------------------------------------------------------------------------------------------------------------------------------------------------------------------------------------------------------------------------------------------------------------------------------------------------------------------------------------------------------------------------------------------------------------------------------------------------------------------------------------------------------------------------------------------------------------------------------------------------------------------------------------------------------------------------------------------------------------------------------------------------------------------------------------------------------------------------------------------------------------------------------------------------------------------------------------------------------------------------------------------------------------------------------------------------------------------------------------------------------------------------------------------------------------------------------------------------------------------------------------------------------------------------------------------------------------------------------------|--------------------------------------------------------------------------------------------------------------------------------------------------------------------------------------------------------------------------------------------------------------------------------------------------------------------------------------------------------------------------------------------------------------------------------------------------------------------------------------------------------------------------------------------------------------------------------------------------------------------------------------------------------------------------------------------------------------------------------------------------------------------------------------------------------------------------------------------------------------------------------------------------------------------------------------------------------------------------------------------------------------------------------------------------------------------------------------------------------------------------------------------------------------------------------------------------------------------------------------------------------------------------------------------------------------------------------------------------------------------------------------------------------------------------------------------------------------------------------------------------------------------------------------------------------------------------------------------------------------------------------------------------------------------------------------------------------------------------------------------------------------------------------------------------------------------------------------------------------------------------------------------------------------------------------------------------------------------------------------------------------------------------------------------------------------------------------------------------------------------------------|-------------------------------------------------------------------------------------------------------------------------------------------------------------------------------------------------------------------------------------------------------------------------------------------------------------------------------------------------------------------------------------------------------------------------------------------------------------------------------------------------------------------------------------------------------------------------------------------------------------------------------------------------------------------------------------------------------------------------------------------------------------------------------------------------------------------------------------------------------------------------------------------------------------------------------------------------------------------------------------------------------------------------------------------------------------------------------------------------------------------------------------------------------------------------------------------------------------------------------------------------------------------------------------------------------------------------------------------------------------------------------------------------------------------------------------------------------------------------------------------------------------------------------------------------------------------------------------------------------------------------------------------------------------------------------------------------------------------------------------------------------------------------------------------------------------------------------------------------------------------------------------------------------------------------------------------------------------------------------------------------------------------------------------------------------------------------------------------------------------------------------|----------------------------------------------------------------------------------------------------------------------------------------------------------------------------------------------------------------------------------------------------------------------------------------------------------------------------------------------------------------------------------------------------------------------------------------------------------------------------------------------------------------------------------------------------------------------------------------------------------------------------------------------------------------------------------------------------------------------------------------------------------------------------------------------------------------------------------------------------------------------------------------------------------------------------------------------------------------------------------------------------------------------------------------------------------------------------------------------------------------------------------------------------------------------------------------------------------------------------------------------------------------------------------------------------------------------------------------------------------------------------------------------------------------------------------------------------------------------------------------------------------------------------------------------------------------------------------------------------------------------------------------------------------------------------------------------------------------------------------------------------------------------------------------------------------------------------------------------------------------------------------------------------------------------------------------------------------------------------------------------------------------------------------------------------------------------------------------------|--------------------------------------------------------------------------------------------------------------------------------------------------------------------------------------------------------------------------------------------------------------------------------------------------------------------------------------------------------------------------------------------------------------------------------------------------------------------------------------------------------------------------------------------------------------------------------------------------------------------------------------------------------------------------------------------------------------------------------------------------------------------------------------------------------------------------------------------------------------------------------------------------------------------------------------------------------------------------------------------------------------------------------------------------------------------------------------------------------------------------------------------------------------------------------------------------------------------------------------------------------------------------------------------------------------------------------------------------------------------------------------------------------------------------------------------------------------------------------------------------------------------------------------------------------------------------------------------------------------------------------------------------------------------------------------------------------------------------------------------------------------------------------------------------------------------------------------------------------------------------------------------------------------------------------------------------------------------------------------------------------------------------------------------------------------------------------------------------------------------------------|---------------------------------------|--------------------------------------------------------------------------------------------------------------------------------------------------------------------------------------------------------------------------------------------------------------------------------------------------------------------------------------------------------------------------------------------------------------------------------------------------------------------------------------------------------------------------------------------------------------------------------------------------------------------------------------------------------------------------------------------------------------------------------------------------------------------------------------------------------------------------------------------------------------------------------------------------------------------------------------------------------------------------------------------------------------------------------------------------------------------------------------------------------------------------------------------------------------------------------------------------------------------------------------------------------------------------------------------------------------------------------------------------------------------------------------------------------------------------------------------------------------------------------------------------------------------------------------------------------------------------------------------------------------------------------------------------------------------------------------------------------------------------------------------------------------------------------------------------------------------------------------------------------------------------------------------------------------------------------------------------------------------------------------------------------------------------------------------------------------------------------------------------------------------------------|--------------------------------------------------------------------------------------------------------------------------------------------------------------------------------------------------------------------------------------------------------------------------------------------------------------------------------------------------------------------------------------------------------------------------------------------------------------------------------------------------------------------------------------------------------------------------------------------------------------------------------------------------------------------------------------------------------------------------------------------------------------------------------------------------------------------------------------------------------------------------------------------------------------------------------------------------------------------------------------------------------------------------------------------------------------------------------------------------------------------------------------------------------------------------------------------------------------------------------------------------------------------------------------------------------------------------------------------------------------------------------------------------------------------------------------------------------------------------------------------------------------------------------------------------------------------------------------------------------------------------------------------------------------------------------------------------------------------------------------------------------------------------------------------------------------------------------------------------------------------------------------------------------------------------------------------------------------------------------------------------------------------------------------------------------------------------------------------------------------------------------|--------------------------------------------------------------|
| · 14 + 29. 20   178 永新企業<br>(天)   234 玫瑰針鏡                                                                                                                                                                                                                                                                                                                                                                                                                                                                                                                                                                                                                                                                                                                                                                                                                                                                                                                                                                                                                                                                                                                                                                                                                                                                                                                                                                                                                                                                                                                                                                                                                                                                                                                                                                                                                                                                                                                                                                                                                                                                                     | 0.93                                                                                                                                                                                                                                                                                                                                                                                                                                                                                                                                                                                                                                                                                                                                                                                                                                                                                                                                                                                                                                                                                                                                                                                                                                                                                                                                                                                                                                                                                                                                                                                                                                                                                                                                                                                                                                                                                                                                                                                                                                                                                                                           | 0.94<br>1.01                                                                                                                                                                                                                                                                                                                                                                                                                                                                                                                                                                                                                                                                                                                                                                                                                                                                                                                                                                                                                                                                                                                                                                                                                                                                                                                                                                                                                                                                                                                                                                                                                                                                                                                                                                                                                                                                                                                                                                                                                                                                                                                   | 0.93<br>1.01                                                                                                                                                                                                                                                                                                                                                                                                                                                                                                                                                                                                                                                                                                                                                                                                                                                                                                                                                                                                                                                                                                                                                                                                                                                                                                                                                                                                                                                                                                                                                                                                                                                                                                                                                                                                                                                                                                                                                                                                                                                                                                                  | 0.92<br>0.98                                                                                                                                                                                                                                                                                                                                                                                                                                                                                                                                                                                                                                                                                                                                                                                                                                                                                                                                                                                                                                                                                                                                                                                                                                                                                                                                                                                                                                                                                                                                                                                                                                                                                                                                                                                                                                                                                                                                                                                                                                                                                 | 0.93<br>1.01                                                                                                                                                                                                                                                                                                                                                                                                                                                                                                                                                                                                                                                                                                                                                                                                                                                                                                                                                                                                                                                                                                                                                                                                                                                                                                                                                                                                                                                                                                                                                                                                                                                                                                                                                                                                                                                                                                                                                                                                                                                                                                                   | +0.01                                 | 250,500<br>8,870,000                                                                                                                                                                                                                                                                                                                                                                                                                                                                                                                                                                                                                                                                                                                                                                                                                                                                                                                                                                                                                                                                                                                                                                                                                                                                                                                                                                                                                                                                                                                                                                                                                                                                                                                                                                                                                                                                                                                                                                                                                                                                                                           | 9.30<br>12.63                                                                                                                                                                                                                                                                                                                                                                                                                                                                                                                                                                                                                                                                                                                                                                                                                                                                                                                                                                                                                                                                                                                                                                                                                                                                                                                                                                                                                                                                                                                                                                                                                                                                                                                                                                                                                                                                                                                                                                                                                                                                                                                  | 8.60                                                         |
| .50 +19.54 250 南海紗廠<br>天) 458 幕環集團                                                                                                                                                                                                                                                                                                                                                                                                                                                                                                                                                                                                                                                                                                                                                                                                                                                                                                                                                                                                                                                                                                                                                                                                                                                                                                                                                                                                                                                                                                                                                                                                                                                                                                                                                                                                                                                                                                                                                                                                                                                                                             | 6.90<br>3.625                                                                                                                                                                                                                                                                                                                                                                                                                                                                                                                                                                                                                                                                                                                                                                                                                                                                                                                                                                                                                                                                                                                                                                                                                                                                                                                                                                                                                                                                                                                                                                                                                                                                                                                                                                                                                                                                                                                                                                                                                                                                                                                  | 7.00<br>3.675                                                                                                                                                                                                                                                                                                                                                                                                                                                                                                                                                                                                                                                                                                                                                                                                                                                                                                                                                                                                                                                                                                                                                                                                                                                                                                                                                                                                                                                                                                                                                                                                                                                                                                                                                                                                                                                                                                                                                                                                                                                                                                                  | 7.00<br>3.65                                                                                                                                                                                                                                                                                                                                                                                                                                                                                                                                                                                                                                                                                                                                                                                                                                                                                                                                                                                                                                                                                                                                                                                                                                                                                                                                                                                                                                                                                                                                                                                                                                                                                                                                                                                                                                                                                                                                                                                                                                                                                                                  | 6.90<br>3.65                                                                                                                                                                                                                                                                                                                                                                                                                                                                                                                                                                                                                                                                                                                                                                                                                                                                                                                                                                                                                                                                                                                                                                                                                                                                                                                                                                                                                                                                                                                                                                                                                                                                                                                                                                                                                                                                                                                                                                                                                                                                                 | , 6.95<br>3.65                                                                                                                                                                                                                                                                                                                                                                                                                                                                                                                                                                                                                                                                                                                                                                                                                                                                                                                                                                                                                                                                                                                                                                                                                                                                                                                                                                                                                                                                                                                                                                                                                                                                                                                                                                                                                                                                                                                                                                                                                                                                                                                 | -0.20<br>-0.025                       | 16,000<br>234,500                                                                                                                                                                                                                                                                                                                                                                                                                                                                                                                                                                                                                                                                                                                                                                                                                                                                                                                                                                                                                                                                                                                                                                                                                                                                                                                                                                                                                                                                                                                                                                                                                                                                                                                                                                                                                                                                                                                                                                                                                                                                                                              | 5,00<br>4,93                                                                                                                                                                                                                                                                                                                                                                                                                                                                                                                                                                                                                                                                                                                                                                                                                                                                                                                                                                                                                                                                                                                                                                                                                                                                                                                                                                                                                                                                                                                                                                                                                                                                                                                                                                                                                                                                                                                                                                                                                                                                                                                   | 7.40<br>12.33                                                |
| 272 協興針繳<br>273 恰南實業<br>369 富源國際                                                                                                                                                                                                                                                                                                                                                                                                                                                                                                                                                                                                                                                                                                                                                                                                                                                                                                                                                                                                                                                                                                                                                                                                                                                                                                                                                                                                                                                                                                                                                                                                                                                                                                                                                                                                                                                                                                                                                                                                                                                                                               | 7.60<br>6.75                                                                                                                                                                                                                                                                                                                                                                                                                                                                                                                                                                                                                                                                                                                                                                                                                                                                                                                                                                                                                                                                                                                                                                                                                                                                                                                                                                                                                                                                                                                                                                                                                                                                                                                                                                                                                                                                                                                                                                                                                                                                                                                   | 7.80<br>6.80<br>1.08                                                                                                                                                                                                                                                                                                                                                                                                                                                                                                                                                                                                                                                                                                                                                                                                                                                                                                                                                                                                                                                                                                                                                                                                                                                                                                                                                                                                                                                                                                                                                                                                                                                                                                                                                                                                                                                                                                                                                                                                                                                                                                           | 7.60<br>6.95                                                                                                                                                                                                                                                                                                                                                                                                                                                                                                                                                                                                                                                                                                                                                                                                                                                                                                                                                                                                                                                                                                                                                                                                                                                                                                                                                                                                                                                                                                                                                                                                                                                                                                                                                                                                                                                                                                                                                                                                                                                                                                                  | 7.60<br>6.65<br>1.06                                                                                                                                                                                                                                                                                                                                                                                                                                                                                                                                                                                                                                                                                                                                                                                                                                                                                                                                                                                                                                                                                                                                                                                                                                                                                                                                                                                                                                                                                                                                                                                                                                                                                                                                                                                                                                                                                                                                                                                                                                                                         | 7.60<br>6.80                                                                                                                                                                                                                                                                                                                                                                                                                                                                                                                                                                                                                                                                                                                                                                                                                                                                                                                                                                                                                                                                                                                                                                                                                                                                                                                                                                                                                                                                                                                                                                                                                                                                                                                                                                                                                                                                                                                                                                                                                                                                                                                   | -0.20<br>+0.35                        | 1,000<br>1,809,000<br>7,431,762                                                                                                                                                                                                                                                                                                                                                                                                                                                                                                                                                                                                                                                                                                                                                                                                                                                                                                                                                                                                                                                                                                                                                                                                                                                                                                                                                                                                                                                                                                                                                                                                                                                                                                                                                                                                                                                                                                                                                                                                                                                                                                | 5.42<br>26.15<br>8.12                                                                                                                                                                                                                                                                                                                                                                                                                                                                                                                                                                                                                                                                                                                                                                                                                                                                                                                                                                                                                                                                                                                                                                                                                                                                                                                                                                                                                                                                                                                                                                                                                                                                                                                                                                                                                                                                                                                                                                                                                                                                                                          | 7.89<br>2.57<br>7.41                                         |
| 1 098 南聯實業<br>294 長江梨木                                                                                                                                                                                                                                                                                                                                                                                                                                                                                                                                                                                                                                                                                                                                                                                                                                                                                                                                                                                                                                                                                                                                                                                                                                                                                                                                                                                                                                                                                                                                                                                                                                                                                                                                                                                                                                                                                                                                                                                                                                                                                                         | 8,90<br>1,97                                                                                                                                                                                                                                                                                                                                                                                                                                                                                                                                                                                                                                                                                                                                                                                                                                                                                                                                                                                                                                                                                                                                                                                                                                                                                                                                                                                                                                                                                                                                                                                                                                                                                                                                                                                                                                                                                                                                                                                                                                                                                                                   | 8.95<br>2.00                                                                                                                                                                                                                                                                                                                                                                                                                                                                                                                                                                                                                                                                                                                                                                                                                                                                                                                                                                                                                                                                                                                                                                                                                                                                                                                                                                                                                                                                                                                                                                                                                                                                                                                                                                                                                                                                                                                                                                                                                                                                                                                   | 8.95                                                                                                                                                                                                                                                                                                                                                                                                                                                                                                                                                                                                                                                                                                                                                                                                                                                                                                                                                                                                                                                                                                                                                                                                                                                                                                                                                                                                                                                                                                                                                                                                                                                                                                                                                                                                                                                                                                                                                                                                                                                                                                                          | 8.85<br>1.97                                                                                                                                                                                                                                                                                                                                                                                                                                                                                                                                                                                                                                                                                                                                                                                                                                                                                                                                                                                                                                                                                                                                                                                                                                                                                                                                                                                                                                                                                                                                                                                                                                                                                                                                                                                                                                                                                                                                                                                                                                                                                 | 8.90<br>1.99                                                                                                                                                                                                                                                                                                                                                                                                                                                                                                                                                                                                                                                                                                                                                                                                                                                                                                                                                                                                                                                                                                                                                                                                                                                                                                                                                                                                                                                                                                                                                                                                                                                                                                                                                                                                                                                                                                                                                                                                                                                                                                                   | -0.10<br>+0.02                        | 404,000<br>9,000                                                                                                                                                                                                                                                                                                                                                                                                                                                                                                                                                                                                                                                                                                                                                                                                                                                                                                                                                                                                                                                                                                                                                                                                                                                                                                                                                                                                                                                                                                                                                                                                                                                                                                                                                                                                                                                                                                                                                                                                                                                                                                               | 11.65                                                                                                                                                                                                                                                                                                                                                                                                                                                                                                                                                                                                                                                                                                                                                                                                                                                                                                                                                                                                                                                                                                                                                                                                                                                                                                                                                                                                                                                                                                                                                                                                                                                                                                                                                                                                                                                                                                                                                                                                                                                                                                                          | 8.99<br>10.05                                                |
| 5.32 375 長江関緊                                                                                                                                                                                                                                                                                                                                                                                                                                                                                                                                                                                                                                                                                                                                                                                                                                                                                                                                                                                                                                                                                                                                                                                                                                                                                                                                                                                                                                                                                                                                                                                                                                                                                                                                                                                                                                                                                                                                                                                                                                                                                                                  | 0.355                                                                                                                                                                                                                                                                                                                                                                                                                                                                                                                                                                                                                                                                                                                                                                                                                                                                                                                                                                                                                                                                                                                                                                                                                                                                                                                                                                                                                                                                                                                                                                                                                                                                                                                                                                                                                                                                                                                                                                                                                                                                                                                          | 0.36                                                                                                                                                                                                                                                                                                                                                                                                                                                                                                                                                                                                                                                                                                                                                                                                                                                                                                                                                                                                                                                                                                                                                                                                                                                                                                                                                                                                                                                                                                                                                                                                                                                                                                                                                                                                                                                                                                                                                                                                                                                                                                                           | 0.36                                                                                                                                                                                                                                                                                                                                                                                                                                                                                                                                                                                                                                                                                                                                                                                                                                                                                                                                                                                                                                                                                                                                                                                                                                                                                                                                                                                                                                                                                                                                                                                                                                                                                                                                                                                                                                                                                                                                                                                                                                                                                                                          | 0.35                                                                                                                                                                                                                                                                                                                                                                                                                                                                                                                                                                                                                                                                                                                                                                                                                                                                                                                                                                                                                                                                                                                                                                                                                                                                                                                                                                                                                                                                                                                                                                                                                                                                                                                                                                                                                                                                                                                                                                                                                                                                                         | 0.355                                                                                                                                                                                                                                                                                                                                                                                                                                                                                                                                                                                                                                                                                                                                                                                                                                                                                                                                                                                                                                                                                                                                                                                                                                                                                                                                                                                                                                                                                                                                                                                                                                                                                                                                                                                                                                                                                                                                                                                                                                                                                                                          | +0.005                                | 28,000                                                                                                                                                                                                                                                                                                                                                                                                                                                                                                                                                                                                                                                                                                                                                                                                                                                                                                                                                                                                                                                                                                                                                                                                                                                                                                                                                                                                                                                                                                                                                                                                                                                                                                                                                                                                                                                                                                                                                                                                                                                                                                                         | 7,10                                                                                                                                                                                                                                                                                                                                                                                                                                                                                                                                                                                                                                                                                                                                                                                                                                                                                                                                                                                                                                                                                                                                                                                                                                                                                                                                                                                                                                                                                                                                                                                                                                                                                                                                                                                                                                                                                                                                                                                                                                                                                                                           | 2.62                                                         |
| 88.24 172 音島潭垛                                                                                                                                                                                                                                                                                                                                                                                                                                                                                                                                                                                                                                                                                                                                                                                                                                                                                                                                                                                                                                                                                                                                                                                                                                                                                                                                                                                                                                                                                                                                                                                                                                                                                                                                                                                                                                                                                                                                                                                                                                                                                                                 |                                                                                                                                                                                                                                                                                                                                                                                                                                                                                                                                                                                                                                                                                                                                                                                                                                                                                                                                                                                                                                                                                                                                                                                                                                                                                                                                                                                                                                                                                                                                                                                                                                                                                                                                                                                                                                                                                                                                                                                                                                                                                                                                | ***********                                                                                                                                                                                                                                                                                                                                                                                                                                                                                                                                                                                                                                                                                                                                                                                                                                                                                                                                                                                                                                                                                                                                                                                                                                                                                                                                                                                                                                                                                                                                                                                                                                                                                                                                                                                                                                                                                                                                                                                                                                                                                                                    |                                                                                                                                                                                                                                                                                                                                                                                                                                                                                                                                                                                                                                                                                                                                                                                                                                                                                                                                                                                                                                                                                                                                                                                                                                                                                                                                                                                                                                                                                                                                                                                                                                                                                                                                                                                                                                                                                                                                                                                                                                                                                                                               | · ····································                                                                                                                                                                                                                                                                                                                                                                                                                                                                                                                                                                                                                                                                                                                                                                                                                                                                                                                                                                                                                                                                                                                                                                                                                                                                                                                                                                                                                                                                                                                                                                                                                                                                                                                                                                                                                                                                                                                                                                                                                                                       |                                                                                                                                                                                                                                                                                                                                                                                                                                                                                                                                                                                                                                                                                                                                                                                                                                                                                                                                                                                                                                                                                                                                                                                                                                                                                                                                                                                                                                                                                                                                                                                                                                                                                                                                                                                                                                                                                                                                                                                                                                                                                                                                |                                       | 13 : 60 (1 : 60 (1 : 60 (1 : 60 (1 : 60 (1 : 60 (1 : 60 (1 : 60 (1 : 60 (1 : 60 (1 : 60 (1 : 60 (1 : 60 (1 : 60 (1 : 60 (1 : 60 (1 : 60 (1 : 60 (1 : 60 (1 : 60 (1 : 60 (1 : 60 (1 : 60 (1 : 60 (1 : 60 (1 : 60 (1 : 60 (1 : 60 (1 : 60 (1 : 60 (1 : 60 (1 : 60 (1 : 60 (1 : 60 (1 : 60 (1 : 60 (1 : 60 (1 : 60 (1 : 60 (1 : 60 (1 : 60 (1 : 60 (1 : 60 (1 : 60 (1 : 60 (1 : 60 (1 : 60 (1 : 60 (1 : 60 (1 : 60 (1 : 60 (1 : 60 (1 : 60 (1 : 60 (1 : 60 (1 : 60 (1 : 60 (1 : 60 (1 : 60 (1 : 60 (1 : 60 (1 : 60 (1 : 60 (1 : 60 (1 : 60 (1 : 60 (1 : 60 (1 : 60 (1 : 60 (1 : 60 (1 : 60 (1 : 60 (1 : 60 (1 : 60 (1 : 60 (1 : 60 (1 : 60 (1 : 60 (1 : 60 (1 : 60 (1 : 60 (1 : 60 (1 : 60 (1 : 60 (1 : 60 (1 : 60 (1 : 60 (1 : 60 (1 : 60 (1 : 60 (1 : 60 (1 : 60 (1 : 60 (1 : 60 (1 : 60 (1 : 60 (1 : 60 (1 : 60 (1 : 60 (1 : 60 (1 : 60 (1 : 60 (1 : 60 (1 : 60 (1 : 60 (1 : 60 (1 : 60 (1 : 60 (1 : 60 (1 : 60 (1 : 60 (1 : 60 (1 : 60 (1 : 60 (1 : 60 (1 : 60 (1 : 60 (1 : 60 (1 : 60 (1 : 60 (1 : 60 (1 : 60 (1 : 60 (1 : 60 (1 : 60 (1 : 60 (1 : 60 (1 : 60 (1 : 60 (1 : 60 (1 : 60 (1 : 60 (1 : 60 (1 : 60 (1 : 60 (1 : 60 (1 : 60 (1 : 60 (1 : 60 (1 : 60 (1 : 60 (1 : 60 (1 : 60 (1 : 60 (1 : 60 (1 : 60 (1 : 60 (1 : 60 (1 : 60 (1 : 60 (1 : 60 (1 : 60 (1 : 60 (1 : 60 (1 : 60 (1 : 60 (1 : 60 (1 : 60 (1 : 60 (1 : 60 (1 : 60 (1 : 60 (1 : 60 (1 : 60 (1 : 60 (1 : 60 (1 : 60 (1 : 60 (1 : 60 (1 : 60 (1 : 60 (1 : 60 (1 : 60 (1 : 60 (1 : 60 (1 : 60 (1 : 60 (1 : 60 (1 : 60 (1 : 60 (1 : 60 (1 : 60 (1 : 60 (1 : 60 (1 : 60 (1 : 60 (1 : 60 (1 : 60 (1 : 60 (1 : 60 (1 : 60 (1 : 60 (1 : 60 (1 : 60 (1 : 60 (1 : 60 (1 : 60 (1 : 60 (1 : 60 (1 : 60 (1 : 60 (1 : 60 (1 : 60 (1 : 60 (1 : 60 (1 : 60 (1 : 60 (1 : 60 (1 : 60 (1 : 60 (1 : 60 (1 : 60 (1 : 60 (1 : 60 (1 : 60 (1 : 60 (1 : 60 (1 : 60 (1 : 60 (1 : 60 (1 : 60 (1 : 60 (1 : 60 (1 : 60 (1 : 60 (1 : 60 (1 : 60 (1 : 60 (1 : 60 (1 : 60 (1 : 60 (1 : 60 (1 : 60 (1 : 60 (1 : 60 (1 : 60 (1 : 60 (1 : 60 (1 : 60 (1 : 60 (1 : 60 (1 : 60 (1 : 60 (1 : 60 (1 : 60 (1 : 60 (1 : 60 (1 : 60 (1 : 60 (1 : 60 (1 : 60 (1 : 60 (1 : 60 (1 : 60 (1 : 60 (1 : 6 |                                                                                                                                                                                                                                                                                                                                                                                                                                                                                                                                                                                                                                                                                                                                                                                                                                                                                                                                                                                                                                                                                                                                                                                                                                                                                                                                                                                                                                                                                                                                                                                                                                                                                                                                                                                                                                                                                                                                                                                                                                                                                                                                |                                                              |
| 0.71<br>5.56                                                                                                                                                                                                                                                                                                                                                                                                                                                                                                                                                                                                                                                                                                                                                                                                                                                                                                                                                                                                                                                                                                                                                                                                                                                                                                                                                                                                                                                                                                                                                                                                                                                                                                                                                                                                                                                                                                                                                                                                                                                                                                                   | \$\tag{\text{\text{depop}} \text{\text{\text{\text{\text{\text{\text{\text{\text{\text{\text{\text{\text{\text{\text{\text{\text{\text{\text{\text{\text{\text{\text{\text{\text{\text{\text{\text{\text{\text{\text{\text{\text{\text{\text{\text{\text{\text{\text{\text{\text{\text{\text{\text{\text{\text{\text{\text{\text{\text{\text{\text{\text{\text{\text{\text{\text{\text{\text{\text{\text{\text{\text{\text{\text{\text{\text{\text{\text{\text{\text{\text{\text{\text{\text{\text{\text{\text{\text{\text{\text{\text{\text{\text{\text{\text{\text{\text{\text{\text{\text{\text{\text{\text{\text{\text{\text{\text{\text{\text{\text{\text{\text{\text{\text{\text{\text{\text{\text{\text{\text{\text{\text{\text{\text{\text{\text{\text{\text{\text{\text{\text{\text{\text{\text{\text{\text{\text{\text{\text{\text{\text{\text{\text{\text{\text{\text{\text{\text{\text{\text{\text{\text{\text{\text{\text{\text{\text{\text{\text{\text{\text{\text{\text{\text{\text{\text{\text{\text{\text{\text{\text{\text{\text{\text{\text{\text{\text{\text{\text{\text{\text{\text{\text{\text{\text{\text{\text{\text{\text{\text{\text{\text{\text{\text{\text{\text{\text{\text{\text{\text{\text{\text{\text{\text{\text{\text{\text{\text{\text{\text{\text{\text{\text{\text{\text{\text{\text{\text{\text{\text{\text{\text{\text{\text{\text{\text{\text{\text{\text{\text{\text{\text{\text{\text{\text{\text{\text{\text{\text{\text{\text{\text{\text{\text{\text{\text{\text{\text{\text{\text{\text{\text{\text{\text{\text{\text{\text{\text{\text{\text{\text{\text{\text{\text{\text{\text{\text{\text{\text{\text{\text{\text{\text{\text{\text{\text{\text{\text{\text{\text{\text{\text{\text{\text{\text{\text{\text{\text{\text{\text{\text{\text{\tin}\text{\text{\text{\text{\text{\text{\text{\text{\text{\text{\text{\text{\text{\text{\text{\text{\text{\text{\text{\text{\texi}\text{\text{\text{\text{\text{\text{\texi}\text{\text{\text{\ti}\tint{\text{\text{\text{\text{\texit{\text{\texi}\text{\text{\text{\text{\text{\text{\text{\texi}\text{\texit{\text{\tex{      |                                                                                                                                                                                                                                                                                                                                                                                                                                                                                                                                                                                                                                                                                                                                                                                                                                                                                                                                                                                                                                                                                                                                                                                                                                                                                                                                                                                                                                                                                                                                                                                                                                                                                                                                                                                                                                                                                                                                                                                                                                                                                                                                |                                                                                                                                                                                                                                                                                                                                                                                                                                                                                                                                                                                                                                                                                                                                                                                                                                                                                                                                                                                                                                                                                                                                                                                                                                                                                                                                                                                                                                                                                                                                                                                                                                                                                                                                                                                                                                                                                                                                                                                                                                                                                                                               |                                                                                                                                                                                                                                                                                                                                                                                                                                                                                                                                                                                                                                                                                                                                                                                                                                                                                                                                                                                                                                                                                                                                                                                                                                                                                                                                                                                                                                                                                                                                                                                                                                                                                                                                                                                                                                                                                                                                                                                                                                                                                              |                                                                                                                                                                                                                                                                                                                                                                                                                                                                                                                                                                                                                                                                                                                                                                                                                                                                                                                                                                                                                                                                                                                                                                                                                                                                                                                                                                                                                                                                                                                                                                                                                                                                                                                                                                                                                                                                                                                                                                                                                                                                                                                                |                                       |                                                                                                                                                                                                                                                                                                                                                                                                                                                                                                                                                                                                                                                                                                                                                                                                                                                                                                                                                                                                                                                                                                                                                                                                                                                                                                                                                                                                                                                                                                                                                                                                                                                                                                                                                                                                                                                                                                                                                                                                                                                                                                                                | Marian or in the same and a second                                                                                                                                                                                                                                                                                                                                                                                                                                                                                                                                                                                                                                                                                                                                                                                                                                                                                                                                                                                                                                                                                                                                                                                                                                                                                                                                                                                                                                                                                                                                                                                                                                                                                                                                                                                                                                                                                                                                                                                                                                                                                             |                                                              |
| 13,79<br>2,46                                                                                                                                                                                                                                                                                                                                                                                                                                                                                                                                                                                                                                                                                                                                                                                                                                                                                                                                                                                                                                                                                                                                                                                                                                                                                                                                                                                                                                                                                                                                                                                                                                                                                                                                                                                                                                                                                                                                                                                                                                                                                                                  | paraella rente en consequente la principa de la consequente la principa de la consequente la con |                                                                                                                                                                                                                                                                                                                                                                                                                                                                                                                                                                                                                                                                                                                                                                                                                                                                                                                                                                                                                                                                                                                                                                                                                                                                                                                                                                                                                                                                                                                                                                                                                                                                                                                                                                                                                                                                                                                                                                                                                                                                                                                                |                                                                                                                                                                                                                                                                                                                                                                                                                                                                                                                                                                                                                                                                                                                                                                                                                                                                                                                                                                                                                                                                                                                                                                                                                                                                                                                                                                                                                                                                                                                                                                                                                                                                                                                                                                                                                                                                                                                                                                                                                                                                                                                               |                                                                                                                                                                                                                                                                                                                                                                                                                                                                                                                                                                                                                                                                                                                                                                                                                                                                                                                                                                                                                                                                                                                                                                                                                                                                                                                                                                                                                                                                                                                                                                                                                                                                                                                                                                                                                                                                                                                                                                                                                                                                                              | ***                                                                                                                                                                                                                                                                                                                                                                                                                                                                                                                                                                                                                                                                                                                                                                                                                                                                                                                                                                                                                                                                                                                                                                                                                                                                                                                                                                                                                                                                                                                                                                                                                                                                                                                                                                                                                                                                                                                                                                                                                                                                                                                            | 製                                     | / <u>計</u><br>其四                                                                                                                                                                                                                                                                                                                                                                                                                                                                                                                                                                                                                                                                                                                                                                                                                                                                                                                                                                                                                                                                                                                                                                                                                                                                                                                                                                                                                                                                                                                                                                                                                                                                                                                                                                                                                                                                                                                                                                                                                                                                                                               |                                                                                                                                                                                                                                                                                                                                                                                                                                                                                                                                                                                                                                                                                                                                                                                                                                                                                                                                                                                                                                                                                                                                                                                                                                                                                                                                                                                                                                                                                                                                                                                                                                                                                                                                                                                                                                                                                                                                                                                                                                                                                                                                |                                                              |
| 9.24<br>260 制合工業國際                                                                                                                                                                                                                                                                                                                                                                                                                                                                                                                                                                                                                                                                                                                                                                                                                                                                                                                                                                                                                                                                                                                                                                                                                                                                                                                                                                                                                                                                                                                                                                                                                                                                                                                                                                                                                                                                                                                                                                                                                                                                                                             | 0.72                                                                                                                                                                                                                                                                                                                                                                                                                                                                                                                                                                                                                                                                                                                                                                                                                                                                                                                                                                                                                                                                                                                                                                                                                                                                                                                                                                                                                                                                                                                                                                                                                                                                                                                                                                                                                                                                                                                                                                                                                                                                                                                           | 0.73                                                                                                                                                                                                                                                                                                                                                                                                                                                                                                                                                                                                                                                                                                                                                                                                                                                                                                                                                                                                                                                                                                                                                                                                                                                                                                                                                                                                                                                                                                                                                                                                                                                                                                                                                                                                                                                                                                                                                                                                                                                                                                                           | 0.72                                                                                                                                                                                                                                                                                                                                                                                                                                                                                                                                                                                                                                                                                                                                                                                                                                                                                                                                                                                                                                                                                                                                                                                                                                                                                                                                                                                                                                                                                                                                                                                                                                                                                                                                                                                                                                                                                                                                                                                                                                                                                                                          | 0.71                                                                                                                                                                                                                                                                                                                                                                                                                                                                                                                                                                                                                                                                                                                                                                                                                                                                                                                                                                                                                                                                                                                                                                                                                                                                                                                                                                                                                                                                                                                                                                                                                                                                                                                                                                                                                                                                                                                                                                                                                                                                                         | 0.72                                                                                                                                                                                                                                                                                                                                                                                                                                                                                                                                                                                                                                                                                                                                                                                                                                                                                                                                                                                                                                                                                                                                                                                                                                                                                                                                                                                                                                                                                                                                                                                                                                                                                                                                                                                                                                                                                                                                                                                                                                                                                                                           | <b>3</b> 14                           | 1,865,250                                                                                                                                                                                                                                                                                                                                                                                                                                                                                                                                                                                                                                                                                                                                                                                                                                                                                                                                                                                                                                                                                                                                                                                                                                                                                                                                                                                                                                                                                                                                                                                                                                                                                                                                                                                                                                                                                                                                                                                                                                                                                                                      | 9.23                                                                                                                                                                                                                                                                                                                                                                                                                                                                                                                                                                                                                                                                                                                                                                                                                                                                                                                                                                                                                                                                                                                                                                                                                                                                                                                                                                                                                                                                                                                                                                                                                                                                                                                                                                                                                                                                                                                                                                                                                                                                                                                           | 2.78                                                         |
| 723 安羅士<br>519 實力國際                                                                                                                                                                                                                                                                                                                                                                                                                                                                                                                                                                                                                                                                                                                                                                                                                                                                                                                                                                                                                                                                                                                                                                                                                                                                                                                                                                                                                                                                                                                                                                                                                                                                                                                                                                                                                                                                                                                                                                                                                                                                                                            | 1.29                                                                                                                                                                                                                                                                                                                                                                                                                                                                                                                                                                                                                                                                                                                                                                                                                                                                                                                                                                                                                                                                                                                                                                                                                                                                                                                                                                                                                                                                                                                                                                                                                                                                                                                                                                                                                                                                                                                                                                                                                                                                                                                           | 0.72                                                                                                                                                                                                                                                                                                                                                                                                                                                                                                                                                                                                                                                                                                                                                                                                                                                                                                                                                                                                                                                                                                                                                                                                                                                                                                                                                                                                                                                                                                                                                                                                                                                                                                                                                                                                                                                                                                                                                                                                                                                                                                                           | 1.30<br>0.73                                                                                                                                                                                                                                                                                                                                                                                                                                                                                                                                                                                                                                                                                                                                                                                                                                                                                                                                                                                                                                                                                                                                                                                                                                                                                                                                                                                                                                                                                                                                                                                                                                                                                                                                                                                                                                                                                                                                                                                                                                                                                                                  | 1.29<br>.0.72                                                                                                                                                                                                                                                                                                                                                                                                                                                                                                                                                                                                                                                                                                                                                                                                                                                                                                                                                                                                                                                                                                                                                                                                                                                                                                                                                                                                                                                                                                                                                                                                                                                                                                                                                                                                                                                                                                                                                                                                                                                                                | 1.29<br>0.72                                                                                                                                                                                                                                                                                                                                                                                                                                                                                                                                                                                                                                                                                                                                                                                                                                                                                                                                                                                                                                                                                                                                                                                                                                                                                                                                                                                                                                                                                                                                                                                                                                                                                                                                                                                                                                                                                                                                                                                                                                                                                                                   | +0.01<br>-0.01                        | 516,000<br>2,458,000                                                                                                                                                                                                                                                                                                                                                                                                                                                                                                                                                                                                                                                                                                                                                                                                                                                                                                                                                                                                                                                                                                                                                                                                                                                                                                                                                                                                                                                                                                                                                                                                                                                                                                                                                                                                                                                                                                                                                                                                                                                                                                           | 10.14                                                                                                                                                                                                                                                                                                                                                                                                                                                                                                                                                                                                                                                                                                                                                                                                                                                                                                                                                                                                                                                                                                                                                                                                                                                                                                                                                                                                                                                                                                                                                                                                                                                                                                                                                                                                                                                                                                                                                                                                                                                                                                                          | 9.72                                                         |
| 7 5.26 104 冠亞商業<br>7 2.92 522 ASM PACIFIC                                                                                                                                                                                                                                                                                                                                                                                                                                                                                                                                                                                                                                                                                                                                                                                                                                                                                                                                                                                                                                                                                                                                                                                                                                                                                                                                                                                                                                                                                                                                                                                                                                                                                                                                                                                                                                                                                                                                                                                                                                                                                      | 0.82                                                                                                                                                                                                                                                                                                                                                                                                                                                                                                                                                                                                                                                                                                                                                                                                                                                                                                                                                                                                                                                                                                                                                                                                                                                                                                                                                                                                                                                                                                                                                                                                                                                                                                                                                                                                                                                                                                                                                                                                                                                                                                                           | 0.83                                                                                                                                                                                                                                                                                                                                                                                                                                                                                                                                                                                                                                                                                                                                                                                                                                                                                                                                                                                                                                                                                                                                                                                                                                                                                                                                                                                                                                                                                                                                                                                                                                                                                                                                                                                                                                                                                                                                                                                                                                                                                                                           | 0.83                                                                                                                                                                                                                                                                                                                                                                                                                                                                                                                                                                                                                                                                                                                                                                                                                                                                                                                                                                                                                                                                                                                                                                                                                                                                                                                                                                                                                                                                                                                                                                                                                                                                                                                                                                                                                                                                                                                                                                                                                                                                                                                          | 0.80                                                                                                                                                                                                                                                                                                                                                                                                                                                                                                                                                                                                                                                                                                                                                                                                                                                                                                                                                                                                                                                                                                                                                                                                                                                                                                                                                                                                                                                                                                                                                                                                                                                                                                                                                                                                                                                                                                                                                                                                                                                                                         | 0.83'                                                                                                                                                                                                                                                                                                                                                                                                                                                                                                                                                                                                                                                                                                                                                                                                                                                                                                                                                                                                                                                                                                                                                                                                                                                                                                                                                                                                                                                                                                                                                                                                                                                                                                                                                                                                                                                                                                                                                                                                                                                                                                                          | +0,03                                 | 20,542,000                                                                                                                                                                                                                                                                                                                                                                                                                                                                                                                                                                                                                                                                                                                                                                                                                                                                                                                                                                                                                                                                                                                                                                                                                                                                                                                                                                                                                                                                                                                                                                                                                                                                                                                                                                                                                                                                                                                                                                                                                                                                                                                     | 11.53                                                                                                                                                                                                                                                                                                                                                                                                                                                                                                                                                                                                                                                                                                                                                                                                                                                                                                                                                                                                                                                                                                                                                                                                                                                                                                                                                                                                                                                                                                                                                                                                                                                                                                                                                                                                                                                                                                                                                                                                                                                                                                                          | 6.02                                                         |
| · 46.83 378 AXIOM<br>· 8.06 701 中華漆瓶                                                                                                                                                                                                                                                                                                                                                                                                                                                                                                                                                                                                                                                                                                                                                                                                                                                                                                                                                                                                                                                                                                                                                                                                                                                                                                                                                                                                                                                                                                                                                                                                                                                                                                                                                                                                                                                                                                                                                                                                                                                                                           | 1,61                                                                                                                                                                                                                                                                                                                                                                                                                                                                                                                                                                                                                                                                                                                                                                                                                                                                                                                                                                                                                                                                                                                                                                                                                                                                                                                                                                                                                                                                                                                                                                                                                                                                                                                                                                                                                                                                                                                                                                                                                                                                                                                           | 1.63                                                                                                                                                                                                                                                                                                                                                                                                                                                                                                                                                                                                                                                                                                                                                                                                                                                                                                                                                                                                                                                                                                                                                                                                                                                                                                                                                                                                                                                                                                                                                                                                                                                                                                                                                                                                                                                                                                                                                                                                                                                                                                                           | 1,62                                                                                                                                                                                                                                                                                                                                                                                                                                                                                                                                                                                                                                                                                                                                                                                                                                                                                                                                                                                                                                                                                                                                                                                                                                                                                                                                                                                                                                                                                                                                                                                                                                                                                                                                                                                                                                                                                                                                                                                                                                                                                                                          | 1.59                                                                                                                                                                                                                                                                                                                                                                                                                                                                                                                                                                                                                                                                                                                                                                                                                                                                                                                                                                                                                                                                                                                                                                                                                                                                                                                                                                                                                                                                                                                                                                                                                                                                                                                                                                                                                                                                                                                                                                                                                                                                                         | 1.62                                                                                                                                                                                                                                                                                                                                                                                                                                                                                                                                                                                                                                                                                                                                                                                                                                                                                                                                                                                                                                                                                                                                                                                                                                                                                                                                                                                                                                                                                                                                                                                                                                                                                                                                                                                                                                                                                                                                                                                                                                                                                                                           | +0.04                                 | 7,270,000<br>30,600                                                                                                                                                                                                                                                                                                                                                                                                                                                                                                                                                                                                                                                                                                                                                                                                                                                                                                                                                                                                                                                                                                                                                                                                                                                                                                                                                                                                                                                                                                                                                                                                                                                                                                                                                                                                                                                                                                                                                                                                                                                                                                            |                                                                                                                                                                                                                                                                                                                                                                                                                                                                                                                                                                                                                                                                                                                                                                                                                                                                                                                                                                                                                                                                                                                                                                                                                                                                                                                                                                                                                                                                                                                                                                                                                                                                                                                                                                                                                                                                                                                                                                                                                                                                                                                                |                                                              |
| 5.26 031 康力投資<br>5.46 118 大詞機械                                                                                                                                                                                                                                                                                                                                                                                                                                                                                                                                                                                                                                                                                                                                                                                                                                                                                                                                                                                                                                                                                                                                                                                                                                                                                                                                                                                                                                                                                                                                                                                                                                                                                                                                                                                                                                                                                                                                                                                                                                                                                                 | 0.35<br>0.84<br>3.45                                                                                                                                                                                                                                                                                                                                                                                                                                                                                                                                                                                                                                                                                                                                                                                                                                                                                                                                                                                                                                                                                                                                                                                                                                                                                                                                                                                                                                                                                                                                                                                                                                                                                                                                                                                                                                                                                                                                                                                                                                                                                                           | 0.85<br>3.475                                                                                                                                                                                                                                                                                                                                                                                                                                                                                                                                                                                                                                                                                                                                                                                                                                                                                                                                                                                                                                                                                                                                                                                                                                                                                                                                                                                                                                                                                                                                                                                                                                                                                                                                                                                                                                                                                                                                                                                                                                                                                                                  | 0.36<br>0.85<br>3.475                                                                                                                                                                                                                                                                                                                                                                                                                                                                                                                                                                                                                                                                                                                                                                                                                                                                                                                                                                                                                                                                                                                                                                                                                                                                                                                                                                                                                                                                                                                                                                                                                                                                                                                                                                                                                                                                                                                                                                                                                                                                                                         | 0.36<br>0.82<br>3.45                                                                                                                                                                                                                                                                                                                                                                                                                                                                                                                                                                                                                                                                                                                                                                                                                                                                                                                                                                                                                                                                                                                                                                                                                                                                                                                                                                                                                                                                                                                                                                                                                                                                                                                                                                                                                                                                                                                                                                                                                                                                         | 0.36<br>0.85<br>3,475                                                                                                                                                                                                                                                                                                                                                                                                                                                                                                                                                                                                                                                                                                                                                                                                                                                                                                                                                                                                                                                                                                                                                                                                                                                                                                                                                                                                                                                                                                                                                                                                                                                                                                                                                                                                                                                                                                                                                                                                                                                                                                          | +0.02                                 | 282,000                                                                                                                                                                                                                                                                                                                                                                                                                                                                                                                                                                                                                                                                                                                                                                                                                                                                                                                                                                                                                                                                                                                                                                                                                                                                                                                                                                                                                                                                                                                                                                                                                                                                                                                                                                                                                                                                                                                                                                                                                                                                                                                        | 10.37<br>13.46                                                                                                                                                                                                                                                                                                                                                                                                                                                                                                                                                                                                                                                                                                                                                                                                                                                                                                                                                                                                                                                                                                                                                                                                                                                                                                                                                                                                                                                                                                                                                                                                                                                                                                                                                                                                                                                                                                                                                                                                                                                                                                                 | 4.12<br>3.74                                                 |
| 1.45 , 544 大筒混凝土<br>1.89                                                                                                                                                                                                                                                                                                                                                                                                                                                                                                                                                                                                                                                                                                                                                                                                                                                                                                                                                                                                                                                                                                                                                                                                                                                                                                                                                                                                                                                                                                                                                                                                                                                                                                                                                                                                                                                                                                                                                                                                                                                                                                       | 0.375                                                                                                                                                                                                                                                                                                                                                                                                                                                                                                                                                                                                                                                                                                                                                                                                                                                                                                                                                                                                                                                                                                                                                                                                                                                                                                                                                                                                                                                                                                                                                                                                                                                                                                                                                                                                                                                                                                                                                                                                                                                                                                                          | 0.38<br>1.19                                                                                                                                                                                                                                                                                                                                                                                                                                                                                                                                                                                                                                                                                                                                                                                                                                                                                                                                                                                                                                                                                                                                                                                                                                                                                                                                                                                                                                                                                                                                                                                                                                                                                                                                                                                                                                                                                                                                                                                                                                                                                                                   | 0.385                                                                                                                                                                                                                                                                                                                                                                                                                                                                                                                                                                                                                                                                                                                                                                                                                                                                                                                                                                                                                                                                                                                                                                                                                                                                                                                                                                                                                                                                                                                                                                                                                                                                                                                                                                                                                                                                                                                                                                                                                                                                                                                         | 0.38                                                                                                                                                                                                                                                                                                                                                                                                                                                                                                                                                                                                                                                                                                                                                                                                                                                                                                                                                                                                                                                                                                                                                                                                                                                                                                                                                                                                                                                                                                                                                                                                                                                                                                                                                                                                                                                                                                                                                                                                                                                                                         | 0.38                                                                                                                                                                                                                                                                                                                                                                                                                                                                                                                                                                                                                                                                                                                                                                                                                                                                                                                                                                                                                                                                                                                                                                                                                                                                                                                                                                                                                                                                                                                                                                                                                                                                                                                                                                                                                                                                                                                                                                                                                                                                                                                           | -0.01                                 | 486,000<br>668,000                                                                                                                                                                                                                                                                                                                                                                                                                                                                                                                                                                                                                                                                                                                                                                                                                                                                                                                                                                                                                                                                                                                                                                                                                                                                                                                                                                                                                                                                                                                                                                                                                                                                                                                                                                                                                                                                                                                                                                                                                                                                                                             | 54.29                                                                                                                                                                                                                                                                                                                                                                                                                                                                                                                                                                                                                                                                                                                                                                                                                                                                                                                                                                                                                                                                                                                                                                                                                                                                                                                                                                                                                                                                                                                                                                                                                                                                                                                                                                                                                                                                                                                                                                                                                                                                                                                          | 3.95                                                         |
| 136 通用電子 040 金山寅業                                                                                                                                                                                                                                                                                                                                                                                                                                                                                                                                                                                                                                                                                                                                                                                                                                                                                                                                                                                                                                                                                                                                                                                                                                                                                                                                                                                                                                                                                                                                                                                                                                                                                                                                                                                                                                                                                                                                                                                                                                                                                                              | 0.57<br>2.20                                                                                                                                                                                                                                                                                                                                                                                                                                                                                                                                                                                                                                                                                                                                                                                                                                                                                                                                                                                                                                                                                                                                                                                                                                                                                                                                                                                                                                                                                                                                                                                                                                                                                                                                                                                                                                                                                                                                                                                                                                                                                                                   | 0.58<br>2.25                                                                                                                                                                                                                                                                                                                                                                                                                                                                                                                                                                                                                                                                                                                                                                                                                                                                                                                                                                                                                                                                                                                                                                                                                                                                                                                                                                                                                                                                                                                                                                                                                                                                                                                                                                                                                                                                                                                                                                                                                                                                                                                   | D. 58<br>2, 225                                                                                                                                                                                                                                                                                                                                                                                                                                                                                                                                                                                                                                                                                                                                                                                                                                                                                                                                                                                                                                                                                                                                                                                                                                                                                                                                                                                                                                                                                                                                                                                                                                                                                                                                                                                                                                                                                                                                                                                                                                                                                                               | 0.56                                                                                                                                                                                                                                                                                                                                                                                                                                                                                                                                                                                                                                                                                                                                                                                                                                                                                                                                                                                                                                                                                                                                                                                                                                                                                                                                                                                                                                                                                                                                                                                                                                                                                                                                                                                                                                                                                                                                                                                                                                                                                         | 0.58<br>2.225                                                                                                                                                                                                                                                                                                                                                                                                                                                                                                                                                                                                                                                                                                                                                                                                                                                                                                                                                                                                                                                                                                                                                                                                                                                                                                                                                                                                                                                                                                                                                                                                                                                                                                                                                                                                                                                                                                                                                                                                                                                                                                                  | +0.02                                 | 530,000<br>289,000                                                                                                                                                                                                                                                                                                                                                                                                                                                                                                                                                                                                                                                                                                                                                                                                                                                                                                                                                                                                                                                                                                                                                                                                                                                                                                                                                                                                                                                                                                                                                                                                                                                                                                                                                                                                                                                                                                                                                                                                                                                                                                             | 7.07<br>8.62                                                                                                                                                                                                                                                                                                                                                                                                                                                                                                                                                                                                                                                                                                                                                                                                                                                                                                                                                                                                                                                                                                                                                                                                                                                                                                                                                                                                                                                                                                                                                                                                                                                                                                                                                                                                                                                                                                                                                                                                                                                                                                                   | 6.03<br>4.94                                                 |
| 7,13 589 長城電子<br>8,00 044 港機工程                                                                                                                                                                                                                                                                                                                                                                                                                                                                                                                                                                                                                                                                                                                                                                                                                                                                                                                                                                                                                                                                                                                                                                                                                                                                                                                                                                                                                                                                                                                                                                                                                                                                                                                                                                                                                                                                                                                                                                                                                                                                                                 | 1.65                                                                                                                                                                                                                                                                                                                                                                                                                                                                                                                                                                                                                                                                                                                                                                                                                                                                                                                                                                                                                                                                                                                                                                                                                                                                                                                                                                                                                                                                                                                                                                                                                                                                                                                                                                                                                                                                                                                                                                                                                                                                                                                           | 1.66                                                                                                                                                                                                                                                                                                                                                                                                                                                                                                                                                                                                                                                                                                                                                                                                                                                                                                                                                                                                                                                                                                                                                                                                                                                                                                                                                                                                                                                                                                                                                                                                                                                                                                                                                                                                                                                                                                                                                                                                                                                                                                                           | 1.66                                                                                                                                                                                                                                                                                                                                                                                                                                                                                                                                                                                                                                                                                                                                                                                                                                                                                                                                                                                                                                                                                                                                                                                                                                                                                                                                                                                                                                                                                                                                                                                                                                                                                                                                                                                                                                                                                                                                                                                                                                                                                                                          | 1.64                                                                                                                                                                                                                                                                                                                                                                                                                                                                                                                                                                                                                                                                                                                                                                                                                                                                                                                                                                                                                                                                                                                                                                                                                                                                                                                                                                                                                                                                                                                                                                                                                                                                                                                                                                                                                                                                                                                                                                                                                                                                                         | 1.56                                                                                                                                                                                                                                                                                                                                                                                                                                                                                                                                                                                                                                                                                                                                                                                                                                                                                                                                                                                                                                                                                                                                                                                                                                                                                                                                                                                                                                                                                                                                                                                                                                                                                                                                                                                                                                                                                                                                                                                                                                                                                                                           | +0.02                                 | 3,006,000<br>82,000                                                                                                                                                                                                                                                                                                                                                                                                                                                                                                                                                                                                                                                                                                                                                                                                                                                                                                                                                                                                                                                                                                                                                                                                                                                                                                                                                                                                                                                                                                                                                                                                                                                                                                                                                                                                                                                                                                                                                                                                                                                                                                            | 9.60<br>10.77                                                                                                                                                                                                                                                                                                                                                                                                                                                                                                                                                                                                                                                                                                                                                                                                                                                                                                                                                                                                                                                                                                                                                                                                                                                                                                                                                                                                                                                                                                                                                                                                                                                                                                                                                                                                                                                                                                                                                                                                                                                                                                                  | 1.20<br>4.52                                                 |
| 715 <b>港隆</b><br>114 與利科技                                                                                                                                                                                                                                                                                                                                                                                                                                                                                                                                                                                                                                                                                                                                                                                                                                                                                                                                                                                                                                                                                                                                                                                                                                                                                                                                                                                                                                                                                                                                                                                                                                                                                                                                                                                                                                                                                                                                                                                                                                                                                                      | 1.08                                                                                                                                                                                                                                                                                                                                                                                                                                                                                                                                                                                                                                                                                                                                                                                                                                                                                                                                                                                                                                                                                                                                                                                                                                                                                                                                                                                                                                                                                                                                                                                                                                                                                                                                                                                                                                                                                                                                                                                                                                                                                                                           | 1.10<br>0.24                                                                                                                                                                                                                                                                                                                                                                                                                                                                                                                                                                                                                                                                                                                                                                                                                                                                                                                                                                                                                                                                                                                                                                                                                                                                                                                                                                                                                                                                                                                                                                                                                                                                                                                                                                                                                                                                                                                                                                                                                                                                                                                   | 1, 13<br>0, 243                                                                                                                                                                                                                                                                                                                                                                                                                                                                                                                                                                                                                                                                                                                                                                                                                                                                                                                                                                                                                                                                                                                                                                                                                                                                                                                                                                                                                                                                                                                                                                                                                                                                                                                                                                                                                                                                                                                                                                                                                                                                                                               | 1.08                                                                                                                                                                                                                                                                                                                                                                                                                                                                                                                                                                                                                                                                                                                                                                                                                                                                                                                                                                                                                                                                                                                                                                                                                                                                                                                                                                                                                                                                                                                                                                                                                                                                                                                                                                                                                                                                                                                                                                                                                                                                                         | 1.10                                                                                                                                                                                                                                                                                                                                                                                                                                                                                                                                                                                                                                                                                                                                                                                                                                                                                                                                                                                                                                                                                                                                                                                                                                                                                                                                                                                                                                                                                                                                                                                                                                                                                                                                                                                                                                                                                                                                                                                                                                                                                                                           | +0.03                                 | 3,712,000<br>8,320,000                                                                                                                                                                                                                                                                                                                                                                                                                                                                                                                                                                                                                                                                                                                                                                                                                                                                                                                                                                                                                                                                                                                                                                                                                                                                                                                                                                                                                                                                                                                                                                                                                                                                                                                                                                                                                                                                                                                                                                                                                                                                                                         | 2.34<br>11.54                                                                                                                                                                                                                                                                                                                                                                                                                                                                                                                                                                                                                                                                                                                                                                                                                                                                                                                                                                                                                                                                                                                                                                                                                                                                                                                                                                                                                                                                                                                                                                                                                                                                                                                                                                                                                                                                                                                                                                                                                                                                                                                  | 24.55<br>7,50                                                |
| 3.07 585 香港玩具<br>5.06 047 合興食油                                                                                                                                                                                                                                                                                                                                                                                                                                                                                                                                                                                                                                                                                                                                                                                                                                                                                                                                                                                                                                                                                                                                                                                                                                                                                                                                                                                                                                                                                                                                                                                                                                                                                                                                                                                                                                                                                                                                                                                                                                                                                                 | 1.18                                                                                                                                                                                                                                                                                                                                                                                                                                                                                                                                                                                                                                                                                                                                                                                                                                                                                                                                                                                                                                                                                                                                                                                                                                                                                                                                                                                                                                                                                                                                                                                                                                                                                                                                                                                                                                                                                                                                                                                                                                                                                                                           | 1.20                                                                                                                                                                                                                                                                                                                                                                                                                                                                                                                                                                                                                                                                                                                                                                                                                                                                                                                                                                                                                                                                                                                                                                                                                                                                                                                                                                                                                                                                                                                                                                                                                                                                                                                                                                                                                                                                                                                                                                                                                                                                                                                           | 1.18                                                                                                                                                                                                                                                                                                                                                                                                                                                                                                                                                                                                                                                                                                                                                                                                                                                                                                                                                                                                                                                                                                                                                                                                                                                                                                                                                                                                                                                                                                                                                                                                                                                                                                                                                                                                                                                                                                                                                                                                                                                                                                                          | 1,18                                                                                                                                                                                                                                                                                                                                                                                                                                                                                                                                                                                                                                                                                                                                                                                                                                                                                                                                                                                                                                                                                                                                                                                                                                                                                                                                                                                                                                                                                                                                                                                                                                                                                                                                                                                                                                                                                                                                                                                                                                                                                         | 1.1B<br>0.94                                                                                                                                                                                                                                                                                                                                                                                                                                                                                                                                                                                                                                                                                                                                                                                                                                                                                                                                                                                                                                                                                                                                                                                                                                                                                                                                                                                                                                                                                                                                                                                                                                                                                                                                                                                                                                                                                                                                                                                                                                                                                                                   | -0.02                                 | 40,000<br>124,000                                                                                                                                                                                                                                                                                                                                                                                                                                                                                                                                                                                                                                                                                                                                                                                                                                                                                                                                                                                                                                                                                                                                                                                                                                                                                                                                                                                                                                                                                                                                                                                                                                                                                                                                                                                                                                                                                                                                                                                                                                                                                                              | 5.62<br>30.62                                                                                                                                                                                                                                                                                                                                                                                                                                                                                                                                                                                                                                                                                                                                                                                                                                                                                                                                                                                                                                                                                                                                                                                                                                                                                                                                                                                                                                                                                                                                                                                                                                                                                                                                                                                                                                                                                                                                                                                                                                                                                                                  | 6.36<br>9.57                                                 |
| 5.00 167 萬威科技<br>179 德昌電機                                                                                                                                                                                                                                                                                                                                                                                                                                                                                                                                                                                                                                                                                                                                                                                                                                                                                                                                                                                                                                                                                                                                                                                                                                                                                                                                                                                                                                                                                                                                                                                                                                                                                                                                                                                                                                                                                                                                                                                                                                                                                                      | 8.55                                                                                                                                                                                                                                                                                                                                                                                                                                                                                                                                                                                                                                                                                                                                                                                                                                                                                                                                                                                                                                                                                                                                                                                                                                                                                                                                                                                                                                                                                                                                                                                                                                                                                                                                                                                                                                                                                                                                                                                                                                                                                                                           |                                                                                                                                                                                                                                                                                                                                                                                                                                                                                                                                                                                                                                                                                                                                                                                                                                                                                                                                                                                                                                                                                                                                                                                                                                                                                                                                                                                                                                                                                                                                                                                                                                                                                                                                                                                                                                                                                                                                                                                                                                                                                                                                | 1.26<br>8,60                                                                                                                                                                                                                                                                                                                                                                                                                                                                                                                                                                                                                                                                                                                                                                                                                                                                                                                                                                                                                                                                                                                                                                                                                                                                                                                                                                                                                                                                                                                                                                                                                                                                                                                                                                                                                                                                                                                                                                                                                                                                                                                  | MINITORNA                                                                                                                                                                                                                                                                                                                                                                                                                                                                                                                                                                                                                                                                                                                                                                                                                                                                                                                                                                                                                                                                                                                                                                                                                                                                                                                                                                                                                                                                                                                                                                                                                                                                                                                                                                                                                                                                                                                                                                                                                                                                                    | 1.25                                                                                                                                                                                                                                                                                                                                                                                                                                                                                                                                                                                                                                                                                                                                                                                                                                                                                                                                                                                                                                                                                                                                                                                                                                                                                                                                                                                                                                                                                                                                                                                                                                                                                                                                                                                                                                                                                                                                                                                                                                                                                                                           | -0.01<br>+0,15                        | 30,000<br>106,000                                                                                                                                                                                                                                                                                                                                                                                                                                                                                                                                                                                                                                                                                                                                                                                                                                                                                                                                                                                                                                                                                                                                                                                                                                                                                                                                                                                                                                                                                                                                                                                                                                                                                                                                                                                                                                                                                                                                                                                                                                                                                                              | 7.06<br>12.94                                                                                                                                                                                                                                                                                                                                                                                                                                                                                                                                                                                                                                                                                                                                                                                                                                                                                                                                                                                                                                                                                                                                                                                                                                                                                                                                                                                                                                                                                                                                                                                                                                                                                                                                                                                                                                                                                                                                                                                                                                                                                                                  | 4.00<br>2.13                                                 |
| 567 壽幸科研<br>180 開達實業                                                                                                                                                                                                                                                                                                                                                                                                                                                                                                                                                                                                                                                                                                                                                                                                                                                                                                                                                                                                                                                                                                                                                                                                                                                                                                                                                                                                                                                                                                                                                                                                                                                                                                                                                                                                                                                                                                                                                                                                                                                                                                           | 0.57                                                                                                                                                                                                                                                                                                                                                                                                                                                                                                                                                                                                                                                                                                                                                                                                                                                                                                                                                                                                                                                                                                                                                                                                                                                                                                                                                                                                                                                                                                                                                                                                                                                                                                                                                                                                                                                                                                                                                                                                                                                                                                                           | 0.5B                                                                                                                                                                                                                                                                                                                                                                                                                                                                                                                                                                                                                                                                                                                                                                                                                                                                                                                                                                                                                                                                                                                                                                                                                                                                                                                                                                                                                                                                                                                                                                                                                                                                                                                                                                                                                                                                                                                                                                                                                                                                                                                           | 0.58                                                                                                                                                                                                                                                                                                                                                                                                                                                                                                                                                                                                                                                                                                                                                                                                                                                                                                                                                                                                                                                                                                                                                                                                                                                                                                                                                                                                                                                                                                                                                                                                                                                                                                                                                                                                                                                                                                                                                                                                                                                                                                                          | 0.57                                                                                                                                                                                                                                                                                                                                                                                                                                                                                                                                                                                                                                                                                                                                                                                                                                                                                                                                                                                                                                                                                                                                                                                                                                                                                                                                                                                                                                                                                                                                                                                                                                                                                                                                                                                                                                                                                                                                                                                                                                                                                         |                                                                                                                                                                                                                                                                                                                                                                                                                                                                                                                                                                                                                                                                                                                                                                                                                                                                                                                                                                                                                                                                                                                                                                                                                                                                                                                                                                                                                                                                                                                                                                                                                                                                                                                                                                                                                                                                                                                                                                                                                                                                                                                                | -0.01                                 | 310,000                                                                                                                                                                                                                                                                                                                                                                                                                                                                                                                                                                                                                                                                                                                                                                                                                                                                                                                                                                                                                                                                                                                                                                                                                                                                                                                                                                                                                                                                                                                                                                                                                                                                                                                                                                                                                                                                                                                                                                                                                                                                                                                        | 7.71                                                                                                                                                                                                                                                                                                                                                                                                                                                                                                                                                                                                                                                                                                                                                                                                                                                                                                                                                                                                                                                                                                                                                                                                                                                                                                                                                                                                                                                                                                                                                                                                                                                                                                                                                                                                                                                                                                                                                                                                                                                                                                                           | 5.26                                                         |
| 4.47 141 金城工商<br>499 建生電子                                                                                                                                                                                                                                                                                                                                                                                                                                                                                                                                                                                                                                                                                                                                                                                                                                                                                                                                                                                                                                                                                                                                                                                                                                                                                                                                                                                                                                                                                                                                                                                                                                                                                                                                                                                                                                                                                                                                                                                                                                                                                                      | 0.89<br>0.83                                                                                                                                                                                                                                                                                                                                                                                                                                                                                                                                                                                                                                                                                                                                                                                                                                                                                                                                                                                                                                                                                                                                                                                                                                                                                                                                                                                                                                                                                                                                                                                                                                                                                                                                                                                                                                                                                                                                                                                                                                                                                                                   | 0.90<br>0.85                                                                                                                                                                                                                                                                                                                                                                                                                                                                                                                                                                                                                                                                                                                                                                                                                                                                                                                                                                                                                                                                                                                                                                                                                                                                                                                                                                                                                                                                                                                                                                                                                                                                                                                                                                                                                                                                                                                                                                                                                                                                                                                   | Q.89<br>Q.85                                                                                                                                                                                                                                                                                                                                                                                                                                                                                                                                                                                                                                                                                                                                                                                                                                                                                                                                                                                                                                                                                                                                                                                                                                                                                                                                                                                                                                                                                                                                                                                                                                                                                                                                                                                                                                                                                                                                                                                                                                                                                                                  | 0.89<br>0.84                                                                                                                                                                                                                                                                                                                                                                                                                                                                                                                                                                                                                                                                                                                                                                                                                                                                                                                                                                                                                                                                                                                                                                                                                                                                                                                                                                                                                                                                                                                                                                                                                                                                                                                                                                                                                                                                                                                                                                                                                                                                                 | 0.89<br>0.84                                                                                                                                                                                                                                                                                                                                                                                                                                                                                                                                                                                                                                                                                                                                                                                                                                                                                                                                                                                                                                                                                                                                                                                                                                                                                                                                                                                                                                                                                                                                                                                                                                                                                                                                                                                                                                                                                                                                                                                                                                                                                                                   | -0.01<br>-                            | 260,000<br>1,438,000                                                                                                                                                                                                                                                                                                                                                                                                                                                                                                                                                                                                                                                                                                                                                                                                                                                                                                                                                                                                                                                                                                                                                                                                                                                                                                                                                                                                                                                                                                                                                                                                                                                                                                                                                                                                                                                                                                                                                                                                                                                                                                           | 21.48                                                                                                                                                                                                                                                                                                                                                                                                                                                                                                                                                                                                                                                                                                                                                                                                                                                                                                                                                                                                                                                                                                                                                                                                                                                                                                                                                                                                                                                                                                                                                                                                                                                                                                                                                                                                                                                                                                                                                                                                                                                                                                                          |                                                              |
| 5.68 186 降焊集圖 411 內頭                                                                                                                                                                                                                                                                                                                                                                                                                                                                                                                                                                                                                                                                                                                                                                                                                                                                                                                                                                                                                                                                                                                                                                                                                                                                                                                                                                                                                                                                                                                                                                                                                                                                                                                                                                                                                                                                                                                                                                                                                                                                                                           | 4.45                                                                                                                                                                                                                                                                                                                                                                                                                                                                                                                                                                                                                                                                                                                                                                                                                                                                                                                                                                                                                                                                                                                                                                                                                                                                                                                                                                                                                                                                                                                                                                                                                                                                                                                                                                                                                                                                                                                                                                                                                                                                                                                           | 0.55<br>4.475                                                                                                                                                                                                                                                                                                                                                                                                                                                                                                                                                                                                                                                                                                                                                                                                                                                                                                                                                                                                                                                                                                                                                                                                                                                                                                                                                                                                                                                                                                                                                                                                                                                                                                                                                                                                                                                                                                                                                                                                                                                                                                                  | 0.55<br>4.45                                                                                                                                                                                                                                                                                                                                                                                                                                                                                                                                                                                                                                                                                                                                                                                                                                                                                                                                                                                                                                                                                                                                                                                                                                                                                                                                                                                                                                                                                                                                                                                                                                                                                                                                                                                                                                                                                                                                                                                                                                                                                                                  | 0.55<br>4.45                                                                                                                                                                                                                                                                                                                                                                                                                                                                                                                                                                                                                                                                                                                                                                                                                                                                                                                                                                                                                                                                                                                                                                                                                                                                                                                                                                                                                                                                                                                                                                                                                                                                                                                                                                                                                                                                                                                                                                                                                                                                                 | 0.55<br>4.45                                                                                                                                                                                                                                                                                                                                                                                                                                                                                                                                                                                                                                                                                                                                                                                                                                                                                                                                                                                                                                                                                                                                                                                                                                                                                                                                                                                                                                                                                                                                                                                                                                                                                                                                                                                                                                                                                                                                                                                                                                                                                                                   | -0.01                                 | 401,200<br>262,800                                                                                                                                                                                                                                                                                                                                                                                                                                                                                                                                                                                                                                                                                                                                                                                                                                                                                                                                                                                                                                                                                                                                                                                                                                                                                                                                                                                                                                                                                                                                                                                                                                                                                                                                                                                                                                                                                                                                                                                                                                                                                                             | .78.57<br>18.56                                                                                                                                                                                                                                                                                                                                                                                                                                                                                                                                                                                                                                                                                                                                                                                                                                                                                                                                                                                                                                                                                                                                                                                                                                                                                                                                                                                                                                                                                                                                                                                                                                                                                                                                                                                                                                                                                                                                                                                                                                                                                                                |                                                              |
| 366 陸氏實業<br>213 樂聲電子                                                                                                                                                                                                                                                                                                                                                                                                                                                                                                                                                                                                                                                                                                                                                                                                                                                                                                                                                                                                                                                                                                                                                                                                                                                                                                                                                                                                                                                                                                                                                                                                                                                                                                                                                                                                                                                                                                                                                                                                                                                                                                           | 1.81<br>0.63                                                                                                                                                                                                                                                                                                                                                                                                                                                                                                                                                                                                                                                                                                                                                                                                                                                                                                                                                                                                                                                                                                                                                                                                                                                                                                                                                                                                                                                                                                                                                                                                                                                                                                                                                                                                                                                                                                                                                                                                                                                                                                                   | 1.82<br>0.64                                                                                                                                                                                                                                                                                                                                                                                                                                                                                                                                                                                                                                                                                                                                                                                                                                                                                                                                                                                                                                                                                                                                                                                                                                                                                                                                                                                                                                                                                                                                                                                                                                                                                                                                                                                                                                                                                                                                                                                                                                                                                                                   | 1.83<br>0.64                                                                                                                                                                                                                                                                                                                                                                                                                                                                                                                                                                                                                                                                                                                                                                                                                                                                                                                                                                                                                                                                                                                                                                                                                                                                                                                                                                                                                                                                                                                                                                                                                                                                                                                                                                                                                                                                                                                                                                                                                                                                                                                  | 1.81<br>0.63                                                                                                                                                                                                                                                                                                                                                                                                                                                                                                                                                                                                                                                                                                                                                                                                                                                                                                                                                                                                                                                                                                                                                                                                                                                                                                                                                                                                                                                                                                                                                                                                                                                                                                                                                                                                                                                                                                                                                                                                                                                                                 |                                                                                                                                                                                                                                                                                                                                                                                                                                                                                                                                                                                                                                                                                                                                                                                                                                                                                                                                                                                                                                                                                                                                                                                                                                                                                                                                                                                                                                                                                                                                                                                                                                                                                                                                                                                                                                                                                                                                                                                                                                                                                                                                | +0.01                                 | 366,000<br>1,671,800                                                                                                                                                                                                                                                                                                                                                                                                                                                                                                                                                                                                                                                                                                                                                                                                                                                                                                                                                                                                                                                                                                                                                                                                                                                                                                                                                                                                                                                                                                                                                                                                                                                                                                                                                                                                                                                                                                                                                                                                                                                                                                           | 8.27<br>9.36                                                                                                                                                                                                                                                                                                                                                                                                                                                                                                                                                                                                                                                                                                                                                                                                                                                                                                                                                                                                                                                                                                                                                                                                                                                                                                                                                                                                                                                                                                                                                                                                                                                                                                                                                                                                                                                                                                                                                                                                                                                                                                                   |                                                              |
| 158 太平協和<br>295 騎寶                                                                                                                                                                                                                                                                                                                                                                                                                                                                                                                                                                                                                                                                                                                                                                                                                                                                                                                                                                                                                                                                                                                                                                                                                                                                                                                                                                                                                                                                                                                                                                                                                                                                                                                                                                                                                                                                                                                                                                                                                                                                                                             | 2.25                                                                                                                                                                                                                                                                                                                                                                                                                                                                                                                                                                                                                                                                                                                                                                                                                                                                                                                                                                                                                                                                                                                                                                                                                                                                                                                                                                                                                                                                                                                                                                                                                                                                                                                                                                                                                                                                                                                                                                                                                                                                                                                           | 2.275<br>2.05                                                                                                                                                                                                                                                                                                                                                                                                                                                                                                                                                                                                                                                                                                                                                                                                                                                                                                                                                                                                                                                                                                                                                                                                                                                                                                                                                                                                                                                                                                                                                                                                                                                                                                                                                                                                                                                                                                                                                                                                                                                                                                                  | 2,30                                                                                                                                                                                                                                                                                                                                                                                                                                                                                                                                                                                                                                                                                                                                                                                                                                                                                                                                                                                                                                                                                                                                                                                                                                                                                                                                                                                                                                                                                                                                                                                                                                                                                                                                                                                                                                                                                                                                                                                                                                                                                                                          | 2.00                                                                                                                                                                                                                                                                                                                                                                                                                                                                                                                                                                                                                                                                                                                                                                                                                                                                                                                                                                                                                                                                                                                                                                                                                                                                                                                                                                                                                                                                                                                                                                                                                                                                                                                                                                                                                                                                                                                                                                                                                                                                                         | 2,00                                                                                                                                                                                                                                                                                                                                                                                                                                                                                                                                                                                                                                                                                                                                                                                                                                                                                                                                                                                                                                                                                                                                                                                                                                                                                                                                                                                                                                                                                                                                                                                                                                                                                                                                                                                                                                                                                                                                                                                                                                                                                                                           | +0,15                                 |                                                                                                                                                                                                                                                                                                                                                                                                                                                                                                                                                                                                                                                                                                                                                                                                                                                                                                                                                                                                                                                                                                                                                                                                                                                                                                                                                                                                                                                                                                                                                                                                                                                                                                                                                                                                                                                                                                                                                                                                                                                                                                                                | 46,40                                                                                                                                                                                                                                                                                                                                                                                                                                                                                                                                                                                                                                                                                                                                                                                                                                                                                                                                                                                                                                                                                                                                                                                                                                                                                                                                                                                                                                                                                                                                                                                                                                                                                                                                                                                                                                                                                                                                                                                                                                                                                                                          |                                                              |
| 96.13 075 彩星集團<br>243 品質企業                                                                                                                                                                                                                                                                                                                                                                                                                                                                                                                                                                                                                                                                                                                                                                                                                                                                                                                                                                                                                                                                                                                                                                                                                                                                                                                                                                                                                                                                                                                                                                                                                                                                                                                                                                                                                                                                                                                                                                                                                                                                                                     | 4.725<br>0.86                                                                                                                                                                                                                                                                                                                                                                                                                                                                                                                                                                                                                                                                                                                                                                                                                                                                                                                                                                                                                                                                                                                                                                                                                                                                                                                                                                                                                                                                                                                                                                                                                                                                                                                                                                                                                                                                                                                                                                                                                                                                                                                  | 0.87                                                                                                                                                                                                                                                                                                                                                                                                                                                                                                                                                                                                                                                                                                                                                                                                                                                                                                                                                                                                                                                                                                                                                                                                                                                                                                                                                                                                                                                                                                                                                                                                                                                                                                                                                                                                                                                                                                                                                                                                                                                                                                                           | 4.775<br>0.89                                                                                                                                                                                                                                                                                                                                                                                                                                                                                                                                                                                                                                                                                                                                                                                                                                                                                                                                                                                                                                                                                                                                                                                                                                                                                                                                                                                                                                                                                                                                                                                                                                                                                                                                                                                                                                                                                                                                                                                                                                                                                                                 | 0,87                                                                                                                                                                                                                                                                                                                                                                                                                                                                                                                                                                                                                                                                                                                                                                                                                                                                                                                                                                                                                                                                                                                                                                                                                                                                                                                                                                                                                                                                                                                                                                                                                                                                                                                                                                                                                                                                                                                                                                                                                                                                                         | 0,87                                                                                                                                                                                                                                                                                                                                                                                                                                                                                                                                                                                                                                                                                                                                                                                                                                                                                                                                                                                                                                                                                                                                                                                                                                                                                                                                                                                                                                                                                                                                                                                                                                                                                                                                                                                                                                                                                                                                                                                                                                                                                                                           | +0.175                                | 7,162,840                                                                                                                                                                                                                                                                                                                                                                                                                                                                                                                                                                                                                                                                                                                                                                                                                                                                                                                                                                                                                                                                                                                                                                                                                                                                                                                                                                                                                                                                                                                                                                                                                                                                                                                                                                                                                                                                                                                                                                                                                                                                                                                      | 7.70                                                                                                                                                                                                                                                                                                                                                                                                                                                                                                                                                                                                                                                                                                                                                                                                                                                                                                                                                                                                                                                                                                                                                                                                                                                                                                                                                                                                                                                                                                                                                                                                                                                                                                                                                                                                                                                                                                                                                                                                                                                                                                                           | 2,30                                                         |
| 4.20 229 34 4 4 4 4 4 4 4 4 4 4 4 4 4 4 4 4 4 4                                                                                                                                                                                                                                                                                                                                                                                                                                                                                                                                                                                                                                                                                                                                                                                                                                                                                                                                                                                                                                                                                                                                                                                                                                                                                                                                                                                                                                                                                                                                                                                                                                                                                                                                                                                                                                                                                                                                                                                                                                                                                | 0.48                                                                                                                                                                                                                                                                                                                                                                                                                                                                                                                                                                                                                                                                                                                                                                                                                                                                                                                                                                                                                                                                                                                                                                                                                                                                                                                                                                                                                                                                                                                                                                                                                                                                                                                                                                                                                                                                                                                                                                                                                                                                                                                           | 1.46<br>0,49                                                                                                                                                                                                                                                                                                                                                                                                                                                                                                                                                                                                                                                                                                                                                                                                                                                                                                                                                                                                                                                                                                                                                                                                                                                                                                                                                                                                                                                                                                                                                                                                                                                                                                                                                                                                                                                                                                                                                                                                                                                                                                                   | 0.49                                                                                                                                                                                                                                                                                                                                                                                                                                                                                                                                                                                                                                                                                                                                                                                                                                                                                                                                                                                                                                                                                                                                                                                                                                                                                                                                                                                                                                                                                                                                                                                                                                                                                                                                                                                                                                                                                                                                                                                                                                                                                                                          | 1.45<br>0.48                                                                                                                                                                                                                                                                                                                                                                                                                                                                                                                                                                                                                                                                                                                                                                                                                                                                                                                                                                                                                                                                                                                                                                                                                                                                                                                                                                                                                                                                                                                                                                                                                                                                                                                                                                                                                                                                                                                                                                                                                                                                                 | 0.48                                                                                                                                                                                                                                                                                                                                                                                                                                                                                                                                                                                                                                                                                                                                                                                                                                                                                                                                                                                                                                                                                                                                                                                                                                                                                                                                                                                                                                                                                                                                                                                                                                                                                                                                                                                                                                                                                                                                                                                                                                                                                                                           | +0,01                                 | 200,000                                                                                                                                                                                                                                                                                                                                                                                                                                                                                                                                                                                                                                                                                                                                                                                                                                                                                                                                                                                                                                                                                                                                                                                                                                                                                                                                                                                                                                                                                                                                                                                                                                                                                                                                                                                                                                                                                                                                                                                                                                                                                                                        | 11.43                                                                                                                                                                                                                                                                                                                                                                                                                                                                                                                                                                                                                                                                                                                                                                                                                                                                                                                                                                                                                                                                                                                                                                                                                                                                                                                                                                                                                                                                                                                                                                                                                                                                                                                                                                                                                                                                                                                                                                                                                                                                                                                          |                                                              |
| 2.01                                                                                                                                                                                                                                                                                                                                                                                                                                                                                                                                                                                                                                                                                                                                                                                                                                                                                                                                                                                                                                                                                                                                                                                                                                                                                                                                                                                                                                                                                                                                                                                                                                                                                                                                                                                                                                                                                                                                                                                                                                                                                                                           | 1.725                                                                                                                                                                                                                                                                                                                                                                                                                                                                                                                                                                                                                                                                                                                                                                                                                                                                                                                                                                                                                                                                                                                                                                                                                                                                                                                                                                                                                                                                                                                                                                                                                                                                                                                                                                                                                                                                                                                                                                                                                                                                                                                          | 3.71                                                                                                                                                                                                                                                                                                                                                                                                                                                                                                                                                                                                                                                                                                                                                                                                                                                                                                                                                                                                                                                                                                                                                                                                                                                                                                                                                                                                                                                                                                                                                                                                                                                                                                                                                                                                                                                                                                                                                                                                                                                                                                                           | 3.75<br>0.85                                                                                                                                                                                                                                                                                                                                                                                                                                                                                                                                                                                                                                                                                                                                                                                                                                                                                                                                                                                                                                                                                                                                                                                                                                                                                                                                                                                                                                                                                                                                                                                                                                                                                                                                                                                                                                                                                                                                                                                                                                                                                                                  |                                                                                                                                                                                                                                                                                                                                                                                                                                                                                                                                                                                                                                                                                                                                                                                                                                                                                                                                                                                                                                                                                                                                                                                                                                                                                                                                                                                                                                                                                                                                                                                                                                                                                                                                                                                                                                                                                                                                                                                                                                                                                              | 5 3.725<br>0.84                                                                                                                                                                                                                                                                                                                                                                                                                                                                                                                                                                                                                                                                                                                                                                                                                                                                                                                                                                                                                                                                                                                                                                                                                                                                                                                                                                                                                                                                                                                                                                                                                                                                                                                                                                                                                                                                                                                                                                                                                                                                                                                | +0.05                                 | 103,664                                                                                                                                                                                                                                                                                                                                                                                                                                                                                                                                                                                                                                                                                                                                                                                                                                                                                                                                                                                                                                                                                                                                                                                                                                                                                                                                                                                                                                                                                                                                                                                                                                                                                                                                                                                                                                                                                                                                                                                                                                                                                                                        | 12.84<br>7.00                                                                                                                                                                                                                                                                                                                                                                                                                                                                                                                                                                                                                                                                                                                                                                                                                                                                                                                                                                                                                                                                                                                                                                                                                                                                                                                                                                                                                                                                                                                                                                                                                                                                                                                                                                                                                                                                                                                                                                                                                                                                                                                  | ,                                                            |
| 4.78                                                                                                                                                                                                                                                                                                                                                                                                                                                                                                                                                                                                                                                                                                                                                                                                                                                                                                                                                                                                                                                                                                                                                                                                                                                                                                                                                                                                                                                                                                                                                                                                                                                                                                                                                                                                                                                                                                                                                                                                                                                                                                                           | 1,67                                                                                                                                                                                                                                                                                                                                                                                                                                                                                                                                                                                                                                                                                                                                                                                                                                                                                                                                                                                                                                                                                                                                                                                                                                                                                                                                                                                                                                                                                                                                                                                                                                                                                                                                                                                                                                                                                                                                                                                                                                                                                                                           | 1.68                                                                                                                                                                                                                                                                                                                                                                                                                                                                                                                                                                                                                                                                                                                                                                                                                                                                                                                                                                                                                                                                                                                                                                                                                                                                                                                                                                                                                                                                                                                                                                                                                                                                                                                                                                                                                                                                                                                                                                                                                                                                                                                           | † <b>.</b> 68                                                                                                                                                                                                                                                                                                                                                                                                                                                                                                                                                                                                                                                                                                                                                                                                                                                                                                                                                                                                                                                                                                                                                                                                                                                                                                                                                                                                                                                                                                                                                                                                                                                                                                                                                                                                                                                                                                                                                                                                                                                                                                                 | 1.68                                                                                                                                                                                                                                                                                                                                                                                                                                                                                                                                                                                                                                                                                                                                                                                                                                                                                                                                                                                                                                                                                                                                                                                                                                                                                                                                                                                                                                                                                                                                                                                                                                                                                                                                                                                                                                                                                                                                                                                                                                                                                         | 1.68.                                                                                                                                                                                                                                                                                                                                                                                                                                                                                                                                                                                                                                                                                                                                                                                                                                                                                                                                                                                                                                                                                                                                                                                                                                                                                                                                                                                                                                                                                                                                                                                                                                                                                                                                                                                                                                                                                                                                                                                                                                                                                                                          |                                       | 250,000                                                                                                                                                                                                                                                                                                                                                                                                                                                                                                                                                                                                                                                                                                                                                                                                                                                                                                                                                                                                                                                                                                                                                                                                                                                                                                                                                                                                                                                                                                                                                                                                                                                                                                                                                                                                                                                                                                                                                                                                                                                                                                                        | 9.88                                                                                                                                                                                                                                                                                                                                                                                                                                                                                                                                                                                                                                                                                                                                                                                                                                                                                                                                                                                                                                                                                                                                                                                                                                                                                                                                                                                                                                                                                                                                                                                                                                                                                                                                                                                                                                                                                                                                                                                                                                                                                                                           | 4.76                                                         |
| 5.61 254 廣聯企業                                                                                                                                                                                                                                                                                                                                                                                                                                                                                                                                                                                                                                                                                                                                                                                                                                                                                                                                                                                                                                                                                                                                                                                                                                                                                                                                                                                                                                                                                                                                                                                                                                                                                                                                                                                                                                                                                                                                                                                                                                                                                                                  |                                                                                                                                                                                                                                                                                                                                                                                                                                                                                                                                                                                                                                                                                                                                                                                                                                                                                                                                                                                                                                                                                                                                                                                                                                                                                                                                                                                                                                                                                                                                                                                                                                                                                                                                                                                                                                                                                                                                                                                                                                                                                                                                | 3.65                                                                                                                                                                                                                                                                                                                                                                                                                                                                                                                                                                                                                                                                                                                                                                                                                                                                                                                                                                                                                                                                                                                                                                                                                                                                                                                                                                                                                                                                                                                                                                                                                                                                                                                                                                                                                                                                                                                                                                                                                                                                                                                           |                                                                                                                                                                                                                                                                                                                                                                                                                                                                                                                                                                                                                                                                                                                                                                                                                                                                                                                                                                                                                                                                                                                                                                                                                                                                                                                                                                                                                                                                                                                                                                                                                                                                                                                                                                                                                                                                                                                                                                                                                                                                                                                               | 3.55                                                                                                                                                                                                                                                                                                                                                                                                                                                                                                                                                                                                                                                                                                                                                                                                                                                                                                                                                                                                                                                                                                                                                                                                                                                                                                                                                                                                                                                                                                                                                                                                                                                                                                                                                                                                                                                                                                                                                                                                                                                                                         | 3.65                                                                                                                                                                                                                                                                                                                                                                                                                                                                                                                                                                                                                                                                                                                                                                                                                                                                                                                                                                                                                                                                                                                                                                                                                                                                                                                                                                                                                                                                                                                                                                                                                                                                                                                                                                                                                                                                                                                                                                                                                                                                                                                           | +0.125                                | 2,810,000<br>66,000                                                                                                                                                                                                                                                                                                                                                                                                                                                                                                                                                                                                                                                                                                                                                                                                                                                                                                                                                                                                                                                                                                                                                                                                                                                                                                                                                                                                                                                                                                                                                                                                                                                                                                                                                                                                                                                                                                                                                                                                                                                                                                            | rama irriman abades ellet                                                                                                                                                                                                                                                                                                                                                                                                                                                                                                                                                                                                                                                                                                                                                                                                                                                                                                                                                                                                                                                                                                                                                                                                                                                                                                                                                                                                                                                                                                                                                                                                                                                                                                                                                                                                                                                                                                                                                                                                                                                                                                      | 5.48                                                         |
| 12.20 076 森馬實秘<br>2.21 683 恒光實業                                                                                                                                                                                                                                                                                                                                                                                                                                                                                                                                                                                                                                                                                                                                                                                                                                                                                                                                                                                                                                                                                                                                                                                                                                                                                                                                                                                                                                                                                                                                                                                                                                                                                                                                                                                                                                                                                                                                                                                                                                                                                                |                                                                                                                                                                                                                                                                                                                                                                                                                                                                                                                                                                                                                                                                                                                                                                                                                                                                                                                                                                                                                                                                                                                                                                                                                                                                                                                                                                                                                                                                                                                                                                                                                                                                                                                                                                                                                                                                                                                                                                                                                                                                                                                                | *****                                                                                                                                                                                                                                                                                                                                                                                                                                                                                                                                                                                                                                                                                                                                                                                                                                                                                                                                                                                                                                                                                                                                                                                                                                                                                                                                                                                                                                                                                                                                                                                                                                                                                                                                                                                                                                                                                                                                                                                                                                                                                                                          |                                                                                                                                                                                                                                                                                                                                                                                                                                                                                                                                                                                                                                                                                                                                                                                                                                                                                                                                                                                                                                                                                                                                                                                                                                                                                                                                                                                                                                                                                                                                                                                                                                                                                                                                                                                                                                                                                                                                                                                                                                                                                                                               | مواسروه مورسيات مدد                                                                                                                                                                                                                                                                                                                                                                                                                                                                                                                                                                                                                                                                                                                                                                                                                                                                                                                                                                                                                                                                                                                                                                                                                                                                                                                                                                                                                                                                                                                                                                                                                                                                                                                                                                                                                                                                                                                                                                                                                                                                          | 2 0.052                                                                                                                                                                                                                                                                                                                                                                                                                                                                                                                                                                                                                                                                                                                                                                                                                                                                                                                                                                                                                                                                                                                                                                                                                                                                                                                                                                                                                                                                                                                                                                                                                                                                                                                                                                                                                                                                                                                                                                                                                                                                                                                        | -                                     | 6,044,996                                                                                                                                                                                                                                                                                                                                                                                                                                                                                                                                                                                                                                                                                                                                                                                                                                                                                                                                                                                                                                                                                                                                                                                                                                                                                                                                                                                                                                                                                                                                                                                                                                                                                                                                                                                                                                                                                                                                                                                                                                                                                                                      |                                                                                                                                                                                                                                                                                                                                                                                                                                                                                                                                                                                                                                                                                                                                                                                                                                                                                                                                                                                                                                                                                                                                                                                                                                                                                                                                                                                                                                                                                                                                                                                                                                                                                                                                                                                                                                                                                                                                                                                                                                                                                                                                | gannatara anna badaga da |
| 4.74 524 瑞菱硼縣<br>5.28 146 太平地氈                                                                                                                                                                                                                                                                                                                                                                                                                                                                                                                                                                                                                                                                                                                                                                                                                                                                                                                                                                                                                                                                                                                                                                                                                                                                                                                                                                                                                                                                                                                                                                                                                                                                                                                                                                                                                                                                                                                                                                                                                                                                                                 | 1.63                                                                                                                                                                                                                                                                                                                                                                                                                                                                                                                                                                                                                                                                                                                                                                                                                                                                                                                                                                                                                                                                                                                                                                                                                                                                                                                                                                                                                                                                                                                                                                                                                                                                                                                                                                                                                                                                                                                                                                                                                                                                                                                           | <del></del>                                                                                                                                                                                                                                                                                                                                                                                                                                                                                                                                                                                                                                                                                                                                                                                                                                                                                                                                                                                                                                                                                                                                                                                                                                                                                                                                                                                                                                                                                                                                                                                                                                                                                                                                                                                                                                                                                                                                                                                                                                                                                                                    | 1.63                                                                                                                                                                                                                                                                                                                                                                                                                                                                                                                                                                                                                                                                                                                                                                                                                                                                                                                                                                                                                                                                                                                                                                                                                                                                                                                                                                                                                                                                                                                                                                                                                                                                                                                                                                                                                                                                                                                                                                                                                                                                                                                          | ——————————————————————————————————————                                                                                                                                                                                                                                                                                                                                                                                                                                                                                                                                                                                                                                                                                                                                                                                                                                                                                                                                                                                                                                                                                                                                                                                                                                                                                                                                                                                                                                                                                                                                                                                                                                                                                                                                                                                                                                                                                                                                                                                                                                                       |                                                                                                                                                                                                                                                                                                                                                                                                                                                                                                                                                                                                                                                                                                                                                                                                                                                                                                                                                                                                                                                                                                                                                                                                                                                                                                                                                                                                                                                                                                                                                                                                                                                                                                                                                                                                                                                                                                                                                                                                                                                                                                                                |                                       | 576,000                                                                                                                                                                                                                                                                                                                                                                                                                                                                                                                                                                                                                                                                                                                                                                                                                                                                                                                                                                                                                                                                                                                                                                                                                                                                                                                                                                                                                                                                                                                                                                                                                                                                                                                                                                                                                                                                                                                                                                                                                                                                                                                        | 4.C.G.G.G.                                                                                                                                                                                                                                                                                                                                                                                                                                                                                                                                                                                                                                                                                                                                                                                                                                                                                                                                                                                                                                                                                                                                                                                                                                                                                                                                                                                                                                                                                                                                                                                                                                                                                                                                                                                                                                                                                                                                                                                                                                                                                                                     | 7.38                                                         |
| 680 群思集體<br>8.02 669 科技資業(除A                                                                                                                                                                                                                                                                                                                                                                                                                                                                                                                                                                                                                                                                                                                                                                                                                                                                                                                                                                                                                                                                                                                                                                                                                                                                                                                                                                                                                                                                                                                                                                                                                                                                                                                                                                                                                                                                                                                                                                                                                                                                                                   | 1.15                                                                                                                                                                                                                                                                                                                                                                                                                                                                                                                                                                                                                                                                                                                                                                                                                                                                                                                                                                                                                                                                                                                                                                                                                                                                                                                                                                                                                                                                                                                                                                                                                                                                                                                                                                                                                                                                                                                                                                                                                                                                                                                           | 1.16                                                                                                                                                                                                                                                                                                                                                                                                                                                                                                                                                                                                                                                                                                                                                                                                                                                                                                                                                                                                                                                                                                                                                                                                                                                                                                                                                                                                                                                                                                                                                                                                                                                                                                                                                                                                                                                                                                                                                                                                                                                                                                                           | 1.16<br>0.98                                                                                                                                                                                                                                                                                                                                                                                                                                                                                                                                                                                                                                                                                                                                                                                                                                                                                                                                                                                                                                                                                                                                                                                                                                                                                                                                                                                                                                                                                                                                                                                                                                                                                                                                                                                                                                                                                                                                                                                                                                                                                                                  | 1.16                                                                                                                                                                                                                                                                                                                                                                                                                                                                                                                                                                                                                                                                                                                                                                                                                                                                                                                                                                                                                                                                                                                                                                                                                                                                                                                                                                                                                                                                                                                                                                                                                                                                                                                                                                                                                                                                                                                                                                                                                                                                                         | Militerio de la constitución                                                                                                                                                                                                                                                                                                                                                                                                                                                                                                                                                                                                                                                                                                                                                                                                                                                                                                                                                                                                                                                                                                                                                                                                                                                                                                                                                                                                                                                                                                                                                                                                                                                                                                                                                                                                                                                                                                                                                                                                                                                                                                   | +0.01                                 | 20,000<br>120,000                                                                                                                                                                                                                                                                                                                                                                                                                                                                                                                                                                                                                                                                                                                                                                                                                                                                                                                                                                                                                                                                                                                                                                                                                                                                                                                                                                                                                                                                                                                                                                                                                                                                                                                                                                                                                                                                                                                                                                                                                                                                                                              |                                                                                                                                                                                                                                                                                                                                                                                                                                                                                                                                                                                                                                                                                                                                                                                                                                                                                                                                                                                                                                                                                                                                                                                                                                                                                                                                                                                                                                                                                                                                                                                                                                                                                                                                                                                                                                                                                                                                                                                                                                                                                                                                | 4.31                                                         |
| 3.02 500 訊禄國際<br>4.05 094 東茲                                                                                                                                                                                                                                                                                                                                                                                                                                                                                                                                                                                                                                                                                                                                                                                                                                                                                                                                                                                                                                                                                                                                                                                                                                                                                                                                                                                                                                                                                                                                                                                                                                                                                                                                                                                                                                                                                                                                                                                                                                                                                                   | 0.48                                                                                                                                                                                                                                                                                                                                                                                                                                                                                                                                                                                                                                                                                                                                                                                                                                                                                                                                                                                                                                                                                                                                                                                                                                                                                                                                                                                                                                                                                                                                                                                                                                                                                                                                                                                                                                                                                                                                                                                                                                                                                                                           | 0,485                                                                                                                                                                                                                                                                                                                                                                                                                                                                                                                                                                                                                                                                                                                                                                                                                                                                                                                                                                                                                                                                                                                                                                                                                                                                                                                                                                                                                                                                                                                                                                                                                                                                                                                                                                                                                                                                                                                                                                                                                                                                                                                          | Massivi-merchine                                                                                                                                                                                                                                                                                                                                                                                                                                                                                                                                                                                                                                                                                                                                                                                                                                                                                                                                                                                                                                                                                                                                                                                                                                                                                                                                                                                                                                                                                                                                                                                                                                                                                                                                                                                                                                                                                                                                                                                                                                                                                                              | 0.48                                                                                                                                                                                                                                                                                                                                                                                                                                                                                                                                                                                                                                                                                                                                                                                                                                                                                                                                                                                                                                                                                                                                                                                                                                                                                                                                                                                                                                                                                                                                                                                                                                                                                                                                                                                                                                                                                                                                                                                                                                                                                         | 0.485                                                                                                                                                                                                                                                                                                                                                                                                                                                                                                                                                                                                                                                                                                                                                                                                                                                                                                                                                                                                                                                                                                                                                                                                                                                                                                                                                                                                                                                                                                                                                                                                                                                                                                                                                                                                                                                                                                                                                                                                                                                                                                                          | +0.005                                | 260,000<br>432,000                                                                                                                                                                                                                                                                                                                                                                                                                                                                                                                                                                                                                                                                                                                                                                                                                                                                                                                                                                                                                                                                                                                                                                                                                                                                                                                                                                                                                                                                                                                                                                                                                                                                                                                                                                                                                                                                                                                                                                                                                                                                                                             | 1.94<br>12.08                                                                                                                                                                                                                                                                                                                                                                                                                                                                                                                                                                                                                                                                                                                                                                                                                                                                                                                                                                                                                                                                                                                                                                                                                                                                                                                                                                                                                                                                                                                                                                                                                                                                                                                                                                                                                                                                                                                                                                                                                                                                                                                  | TPT/Theorem 1441444111111111111111111111111111111            |
| 3.14 697 東東州標準<br>518 周報社                                                                                                                                                                                                                                                                                                                                                                                                                                                                                                                                                                                                                                                                                                                                                                                                                                                                                                                                                                                                                                                                                                                                                                                                                                                                                                                                                                                                                                                                                                                                                                                                                                                                                                                                                                                                                                                                                                                                                                                                                                                                                                      | 0.85                                                                                                                                                                                                                                                                                                                                                                                                                                                                                                                                                                                                                                                                                                                                                                                                                                                                                                                                                                                                                                                                                                                                                                                                                                                                                                                                                                                                                                                                                                                                                                                                                                                                                                                                                                                                                                                                                                                                                                                                                                                                                                                           | mannidman ass.                                                                                                                                                                                                                                                                                                                                                                                                                                                                                                                                                                                                                                                                                                                                                                                                                                                                                                                                                                                                                                                                                                                                                                                                                                                                                                                                                                                                                                                                                                                                                                                                                                                                                                                                                                                                                                                                                                                                                                                                                                                                                                                 | 0.86<br>1.12                                                                                                                                                                                                                                                                                                                                                                                                                                                                                                                                                                                                                                                                                                                                                                                                                                                                                                                                                                                                                                                                                                                                                                                                                                                                                                                                                                                                                                                                                                                                                                                                                                                                                                                                                                                                                                                                                                                                                                                                                                                                                                                  | 0,83<br>1,10                                                                                                                                                                                                                                                                                                                                                                                                                                                                                                                                                                                                                                                                                                                                                                                                                                                                                                                                                                                                                                                                                                                                                                                                                                                                                                                                                                                                                                                                                                                                                                                                                                                                                                                                                                                                                                                                                                                                                                                                                                                                                 | 0.85                                                                                                                                                                                                                                                                                                                                                                                                                                                                                                                                                                                                                                                                                                                                                                                                                                                                                                                                                                                                                                                                                                                                                                                                                                                                                                                                                                                                                                                                                                                                                                                                                                                                                                                                                                                                                                                                                                                                                                                                                                                                                                                           | +D.01                                 | 942,000<br>256,000                                                                                                                                                                                                                                                                                                                                                                                                                                                                                                                                                                                                                                                                                                                                                                                                                                                                                                                                                                                                                                                                                                                                                                                                                                                                                                                                                                                                                                                                                                                                                                                                                                                                                                                                                                                                                                                                                                                                                                                                                                                                                                             | 6,81                                                                                                                                                                                                                                                                                                                                                                                                                                                                                                                                                                                                                                                                                                                                                                                                                                                                                                                                                                                                                                                                                                                                                                                                                                                                                                                                                                                                                                                                                                                                                                                                                                                                                                                                                                                                                                                                                                                                                                                                                                                                                                                           | 6.58                                                         |
| 6.35<br>710 精電                                                                                                                                                                                                                                                                                                                                                                                                                                                                                                                                                                                                                                                                                                                                                                                                                                                                                                                                                                                                                                                                                                                                                                                                                                                                                                                                                                                                                                                                                                                                                                                                                                                                                                                                                                                                                                                                                                                                                                                                                                                                                                                 | 0.47<br>3.52                                                                                                                                                                                                                                                                                                                                                                                                                                                                                                                                                                                                                                                                                                                                                                                                                                                                                                                                                                                                                                                                                                                                                                                                                                                                                                                                                                                                                                                                                                                                                                                                                                                                                                                                                                                                                                                                                                                                                                                                                                                                                                                   | 0.48<br>5 3.55                                                                                                                                                                                                                                                                                                                                                                                                                                                                                                                                                                                                                                                                                                                                                                                                                                                                                                                                                                                                                                                                                                                                                                                                                                                                                                                                                                                                                                                                                                                                                                                                                                                                                                                                                                                                                                                                                                                                                                                                                                                                                                                 | 3.55                                                                                                                                                                                                                                                                                                                                                                                                                                                                                                                                                                                                                                                                                                                                                                                                                                                                                                                                                                                                                                                                                                                                                                                                                                                                                                                                                                                                                                                                                                                                                                                                                                                                                                                                                                                                                                                                                                                                                                                                                                                                                                                          | 3,52                                                                                                                                                                                                                                                                                                                                                                                                                                                                                                                                                                                                                                                                                                                                                                                                                                                                                                                                                                                                                                                                                                                                                                                                                                                                                                                                                                                                                                                                                                                                                                                                                                                                                                                                                                                                                                                                                                                                                                                                                                                                                         | 5 3,525                                                                                                                                                                                                                                                                                                                                                                                                                                                                                                                                                                                                                                                                                                                                                                                                                                                                                                                                                                                                                                                                                                                                                                                                                                                                                                                                                                                                                                                                                                                                                                                                                                                                                                                                                                                                                                                                                                                                                                                                                                                                                                                        | -0.02                                 | 40,000<br>254,000                                                                                                                                                                                                                                                                                                                                                                                                                                                                                                                                                                                                                                                                                                                                                                                                                                                                                                                                                                                                                                                                                                                                                                                                                                                                                                                                                                                                                                                                                                                                                                                                                                                                                                                                                                                                                                                                                                                                                                                                                                                                                                              |                                                                                                                                                                                                                                                                                                                                                                                                                                                                                                                                                                                                                                                                                                                                                                                                                                                                                                                                                                                                                                                                                                                                                                                                                                                                                                                                                                                                                                                                                                                                                                                                                                                                                                                                                                                                                                                                                                                                                                                                                                                                                                                                | ***************************************                      |
| 2.14 413 基盛國際<br>699 主民主業 (m) 1<br>720 和記電票                                                                                                                                                                                                                                                                                                                                                                                                                                                                                                                                                                                                                                                                                                                                                                                                                                                                                                                                                                                                                                                                                                                                                                                                                                                                                                                                                                                                                                                                                                                                                                                                                                                                                                                                                                                                                                                                                                                                                                                                                                                                                    | 0,43<br>1,86                                                                                                                                                                                                                                                                                                                                                                                                                                                                                                                                                                                                                                                                                                                                                                                                                                                                                                                                                                                                                                                                                                                                                                                                                                                                                                                                                                                                                                                                                                                                                                                                                                                                                                                                                                                                                                                                                                                                                                                                                                                                                                                   | 0.44<br>1.87                                                                                                                                                                                                                                                                                                                                                                                                                                                                                                                                                                                                                                                                                                                                                                                                                                                                                                                                                                                                                                                                                                                                                                                                                                                                                                                                                                                                                                                                                                                                                                                                                                                                                                                                                                                                                                                                                                                                                                                                                                                                                                                   | 0.43<br>1.87                                                                                                                                                                                                                                                                                                                                                                                                                                                                                                                                                                                                                                                                                                                                                                                                                                                                                                                                                                                                                                                                                                                                                                                                                                                                                                                                                                                                                                                                                                                                                                                                                                                                                                                                                                                                                                                                                                                                                                                                                                                                                                                  | 0,43<br>1,86                                                                                                                                                                                                                                                                                                                                                                                                                                                                                                                                                                                                                                                                                                                                                                                                                                                                                                                                                                                                                                                                                                                                                                                                                                                                                                                                                                                                                                                                                                                                                                                                                                                                                                                                                                                                                                                                                                                                                                                                                                                                                 | 1.87                                                                                                                                                                                                                                                                                                                                                                                                                                                                                                                                                                                                                                                                                                                                                                                                                                                                                                                                                                                                                                                                                                                                                                                                                                                                                                                                                                                                                                                                                                                                                                                                                                                                                                                                                                                                                                                                                                                                                                                                                                                                                                                           | +0.01                                 | 94,607                                                                                                                                                                                                                                                                                                                                                                                                                                                                                                                                                                                                                                                                                                                                                                                                                                                                                                                                                                                                                                                                                                                                                                                                                                                                                                                                                                                                                                                                                                                                                                                                                                                                                                                                                                                                                                                                                                                                                                                                                                                                                                                         |                                                                                                                                                                                                                                                                                                                                                                                                                                                                                                                                                                                                                                                                                                                                                                                                                                                                                                                                                                                                                                                                                                                                                                                                                                                                                                                                                                                                                                                                                                                                                                                                                                                                                                                                                                                                                                                                                                                                                                                                                                                                                                                                | 22,73<br>7,75                                                |
| 2.34                                                                                                                                                                                                                                                                                                                                                                                                                                                                                                                                                                                                                                                                                                                                                                                                                                                                                                                                                                                                                                                                                                                                                                                                                                                                                                                                                                                                                                                                                                                                                                                                                                                                                                                                                                                                                                                                                                                                                                                                                                                                                                                           | 1.45                                                                                                                                                                                                                                                                                                                                                                                                                                                                                                                                                                                                                                                                                                                                                                                                                                                                                                                                                                                                                                                                                                                                                                                                                                                                                                                                                                                                                                                                                                                                                                                                                                                                                                                                                                                                                                                                                                                                                                                                                                                                                                                           | 1,46<br>0,395                                                                                                                                                                                                                                                                                                                                                                                                                                                                                                                                                                                                                                                                                                                                                                                                                                                                                                                                                                                                                                                                                                                                                                                                                                                                                                                                                                                                                                                                                                                                                                                                                                                                                                                                                                                                                                                                                                                                                                                                                                                                                                                  | 0.40                                                                                                                                                                                                                                                                                                                                                                                                                                                                                                                                                                                                                                                                                                                                                                                                                                                                                                                                                                                                                                                                                                                                                                                                                                                                                                                                                                                                                                                                                                                                                                                                                                                                                                                                                                                                                                                                                                                                                                                                                                                                                                                          |                                                                                                                                                                                                                                                                                                                                                                                                                                                                                                                                                                                                                                                                                                                                                                                                                                                                                                                                                                                                                                                                                                                                                                                                                                                                                                                                                                                                                                                                                                                                                                                                                                                                                                                                                                                                                                                                                                                                                                                                                                                                                              | 1,45<br>5 0,395                                                                                                                                                                                                                                                                                                                                                                                                                                                                                                                                                                                                                                                                                                                                                                                                                                                                                                                                                                                                                                                                                                                                                                                                                                                                                                                                                                                                                                                                                                                                                                                                                                                                                                                                                                                                                                                                                                                                                                                                                                                                                                                | -0.01                                 | 1,196,000                                                                                                                                                                                                                                                                                                                                                                                                                                                                                                                                                                                                                                                                                                                                                                                                                                                                                                                                                                                                                                                                                                                                                                                                                                                                                                                                                                                                                                                                                                                                                                                                                                                                                                                                                                                                                                                                                                                                                                                                                                                                                                                      |                                                                                                                                                                                                                                                                                                                                                                                                                                                                                                                                                                                                                                                                                                                                                                                                                                                                                                                                                                                                                                                                                                                                                                                                                                                                                                                                                                                                                                                                                                                                                                                                                                                                                                                                                                                                                                                                                                                                                                                                                                                                                                                                | 8,86                                                         |
| 728 中期 会品<br>728 市場会品<br>732 伯利                                                                                                                                                                                                                                                                                                                                                                                                                                                                                                                                                                                                                                                                                                                                                                                                                                                                                                                                                                                                                                                                                                                                                                                                                                                                                                                                                                                                                                                                                                                                                                                                                                                                                                                                                                                                                                                                                                                                                                                                                                                                                                | 2,42                                                                                                                                                                                                                                                                                                                                                                                                                                                                                                                                                                                                                                                                                                                                                                                                                                                                                                                                                                                                                                                                                                                                                                                                                                                                                                                                                                                                                                                                                                                                                                                                                                                                                                                                                                                                                                                                                                                                                                                                                                                                                                                           | ره الله از صر بسبست م                                                                                                                                                                                                                                                                                                                                                                                                                                                                                                                                                                                                                                                                                                                                                                                                                                                                                                                                                                                                                                                                                                                                                                                                                                                                                                                                                                                                                                                                                                                                                                                                                                                                                                                                                                                                                                                                                                                                                                                                                                                                                                          | 2.45<br>1.30                                                                                                                                                                                                                                                                                                                                                                                                                                                                                                                                                                                                                                                                                                                                                                                                                                                                                                                                                                                                                                                                                                                                                                                                                                                                                                                                                                                                                                                                                                                                                                                                                                                                                                                                                                                                                                                                                                                                                                                                                                                                                                                  | 2,40<br>1.28                                                                                                                                                                                                                                                                                                                                                                                                                                                                                                                                                                                                                                                                                                                                                                                                                                                                                                                                                                                                                                                                                                                                                                                                                                                                                                                                                                                                                                                                                                                                                                                                                                                                                                                                                                                                                                                                                                                                                                                                                                                                                 |                                                                                                                                                                                                                                                                                                                                                                                                                                                                                                                                                                                                                                                                                                                                                                                                                                                                                                                                                                                                                                                                                                                                                                                                                                                                                                                                                                                                                                                                                                                                                                                                                                                                                                                                                                                                                                                                                                                                                                                                                                                                                                                                |                                       | 509,000<br>616,000                                                                                                                                                                                                                                                                                                                                                                                                                                                                                                                                                                                                                                                                                                                                                                                                                                                                                                                                                                                                                                                                                                                                                                                                                                                                                                                                                                                                                                                                                                                                                                                                                                                                                                                                                                                                                                                                                                                                                                                                                                                                                                             |                                                                                                                                                                                                                                                                                                                                                                                                                                                                                                                                                                                                                                                                                                                                                                                                                                                                                                                                                                                                                                                                                                                                                                                                                                                                                                                                                                                                                                                                                                                                                                                                                                                                                                                                                                                                                                                                                                                                                                                                                                                                                                                                |                                                              |
| 732 信利<br>115 忠徳石油<br>408 葉氏恒晶                                                                                                                                                                                                                                                                                                                                                                                                                                                                                                                                                                                                                                                                                                                                                                                                                                                                                                                                                                                                                                                                                                                                                                                                                                                                                                                                                                                                                                                                                                                                                                                                                                                                                                                                                                                                                                                                                                                                                                                                                                                                                                 | 1.28                                                                                                                                                                                                                                                                                                                                                                                                                                                                                                                                                                                                                                                                                                                                                                                                                                                                                                                                                                                                                                                                                                                                                                                                                                                                                                                                                                                                                                                                                                                                                                                                                                                                                                                                                                                                                                                                                                                                                                                                                                                                                                                           | 1.29                                                                                                                                                                                                                                                                                                                                                                                                                                                                                                                                                                                                                                                                                                                                                                                                                                                                                                                                                                                                                                                                                                                                                                                                                                                                                                                                                                                                                                                                                                                                                                                                                                                                                                                                                                                                                                                                                                                                                                                                                                                                                                                           | ` 1.2B                                                                                                                                                                                                                                                                                                                                                                                                                                                                                                                                                                                                                                                                                                                                                                                                                                                                                                                                                                                                                                                                                                                                                                                                                                                                                                                                                                                                                                                                                                                                                                                                                                                                                                                                                                                                                                                                                                                                                                                                                                                                                                                        | 1.28                                                                                                                                                                                                                                                                                                                                                                                                                                                                                                                                                                                                                                                                                                                                                                                                                                                                                                                                                                                                                                                                                                                                                                                                                                                                                                                                                                                                                                                                                                                                                                                                                                                                                                                                                                                                                                                                                                                                                                                                                                                                                         |                                                                                                                                                                                                                                                                                                                                                                                                                                                                                                                                                                                                                                                                                                                                                                                                                                                                                                                                                                                                                                                                                                                                                                                                                                                                                                                                                                                                                                                                                                                                                                                                                                                                                                                                                                                                                                                                                                                                                                                                                                                                                                                                | -0.02                                 | 34,000                                                                                                                                                                                                                                                                                                                                                                                                                                                                                                                                                                                                                                                                                                                                                                                                                                                                                                                                                                                                                                                                                                                                                                                                                                                                                                                                                                                                                                                                                                                                                                                                                                                                                                                                                                                                                                                                                                                                                                                                                                                                                                                         |                                                                                                                                                                                                                                                                                                                                                                                                                                                                                                                                                                                                                                                                                                                                                                                                                                                                                                                                                                                                                                                                                                                                                                                                                                                                                                                                                                                                                                                                                                                                                                                                                                                                                                                                                                                                                                                                                                                                                                                                                                                                                                                                |                                                              |
| 10.72 615 東強電子<br>623 利益程高                                                                                                                                                                                                                                                                                                                                                                                                                                                                                                                                                                                                                                                                                                                                                                                                                                                                                                                                                                                                                                                                                                                                                                                                                                                                                                                                                                                                                                                                                                                                                                                                                                                                                                                                                                                                                                                                                                                                                                                                                                                                                                     | 1.10                                                                                                                                                                                                                                                                                                                                                                                                                                                                                                                                                                                                                                                                                                                                                                                                                                                                                                                                                                                                                                                                                                                                                                                                                                                                                                                                                                                                                                                                                                                                                                                                                                                                                                                                                                                                                                                                                                                                                                                                                                                                                                                           | 1-12                                                                                                                                                                                                                                                                                                                                                                                                                                                                                                                                                                                                                                                                                                                                                                                                                                                                                                                                                                                                                                                                                                                                                                                                                                                                                                                                                                                                                                                                                                                                                                                                                                                                                                                                                                                                                                                                                                                                                                                                                                                                                                                           | 1.12                                                                                                                                                                                                                                                                                                                                                                                                                                                                                                                                                                                                                                                                                                                                                                                                                                                                                                                                                                                                                                                                                                                                                                                                                                                                                                                                                                                                                                                                                                                                                                                                                                                                                                                                                                                                                                                                                                                                                                                                                                                                                                                          | 1.10                                                                                                                                                                                                                                                                                                                                                                                                                                                                                                                                                                                                                                                                                                                                                                                                                                                                                                                                                                                                                                                                                                                                                                                                                                                                                                                                                                                                                                                                                                                                                                                                                                                                                                                                                                                                                                                                                                                                                                                                                                                                                         | 1.12                                                                                                                                                                                                                                                                                                                                                                                                                                                                                                                                                                                                                                                                                                                                                                                                                                                                                                                                                                                                                                                                                                                                                                                                                                                                                                                                                                                                                                                                                                                                                                                                                                                                                                                                                                                                                                                                                                                                                                                                                                                                                                                           |                                       | 230,000<br>492,000                                                                                                                                                                                                                                                                                                                                                                                                                                                                                                                                                                                                                                                                                                                                                                                                                                                                                                                                                                                                                                                                                                                                                                                                                                                                                                                                                                                                                                                                                                                                                                                                                                                                                                                                                                                                                                                                                                                                                                                                                                                                                                             |                                                                                                                                                                                                                                                                                                                                                                                                                                                                                                                                                                                                                                                                                                                                                                                                                                                                                                                                                                                                                                                                                                                                                                                                                                                                                                                                                                                                                                                                                                                                                                                                                                                                                                                                                                                                                                                                                                                                                                                                                                                                                                                                |                                                              |
| 4 6.74 729 巨 川<br>5 3.85 618 弟文科技                                                                                                                                                                                                                                                                                                                                                                                                                                                                                                                                                                                                                                                                                                                                                                                                                                                                                                                                                                                                                                                                                                                                                                                                                                                                                                                                                                                                                                                                                                                                                                                                                                                                                                                                                                                                                                                                                                                                                                                                                                                                                              | 1.20                                                                                                                                                                                                                                                                                                                                                                                                                                                                                                                                                                                                                                                                                                                                                                                                                                                                                                                                                                                                                                                                                                                                                                                                                                                                                                                                                                                                                                                                                                                                                                                                                                                                                                                                                                                                                                                                                                                                                                                                                                                                                                                           | 1.21                                                                                                                                                                                                                                                                                                                                                                                                                                                                                                                                                                                                                                                                                                                                                                                                                                                                                                                                                                                                                                                                                                                                                                                                                                                                                                                                                                                                                                                                                                                                                                                                                                                                                                                                                                                                                                                                                                                                                                                                                                                                                                                           | 1.24                                                                                                                                                                                                                                                                                                                                                                                                                                                                                                                                                                                                                                                                                                                                                                                                                                                                                                                                                                                                                                                                                                                                                                                                                                                                                                                                                                                                                                                                                                                                                                                                                                                                                                                                                                                                                                                                                                                                                                                                                                                                                                                          | 1.20<br>1.40                                                                                                                                                                                                                                                                                                                                                                                                                                                                                                                                                                                                                                                                                                                                                                                                                                                                                                                                                                                                                                                                                                                                                                                                                                                                                                                                                                                                                                                                                                                                                                                                                                                                                                                                                                                                                                                                                                                                                                                                                                                                                 | 111                                                                                                                                                                                                                                                                                                                                                                                                                                                                                                                                                                                                                                                                                                                                                                                                                                                                                                                                                                                                                                                                                                                                                                                                                                                                                                                                                                                                                                                                                                                                                                                                                                                                                                                                                                                                                                                                                                                                                                                                                                                                                                                            | +0.02                                 | 3,220,000<br>676,000                                                                                                                                                                                                                                                                                                                                                                                                                                                                                                                                                                                                                                                                                                                                                                                                                                                                                                                                                                                                                                                                                                                                                                                                                                                                                                                                                                                                                                                                                                                                                                                                                                                                                                                                                                                                                                                                                                                                                                                                                                                                                                           |                                                                                                                                                                                                                                                                                                                                                                                                                                                                                                                                                                                                                                                                                                                                                                                                                                                                                                                                                                                                                                                                                                                                                                                                                                                                                                                                                                                                                                                                                                                                                                                                                                                                                                                                                                                                                                                                                                                                                                                                                                                                                                                                | **************************************                       |
| 5 5.37 067 <b>職線集職</b> 093 都利                                                                                                                                                                                                                                                                                                                                                                                                                                                                                                                                                                                                                                                                                                                                                                                                                                                                                                                                                                                                                                                                                                                                                                                                                                                                                                                                                                                                                                                                                                                                                                                                                                                                                                                                                                                                                                                                                                                                                                                                                                                                                                  | 1,86<br>1,19                                                                                                                                                                                                                                                                                                                                                                                                                                                                                                                                                                                                                                                                                                                                                                                                                                                                                                                                                                                                                                                                                                                                                                                                                                                                                                                                                                                                                                                                                                                                                                                                                                                                                                                                                                                                                                                                                                                                                                                                                                                                                                                   | 1.87<br>1.20                                                                                                                                                                                                                                                                                                                                                                                                                                                                                                                                                                                                                                                                                                                                                                                                                                                                                                                                                                                                                                                                                                                                                                                                                                                                                                                                                                                                                                                                                                                                                                                                                                                                                                                                                                                                                                                                                                                                                                                                                                                                                                                   | 1.89<br>1.22                                                                                                                                                                                                                                                                                                                                                                                                                                                                                                                                                                                                                                                                                                                                                                                                                                                                                                                                                                                                                                                                                                                                                                                                                                                                                                                                                                                                                                                                                                                                                                                                                                                                                                                                                                                                                                                                                                                                                                                                                                                                                                                  | 1.83<br>1.19                                                                                                                                                                                                                                                                                                                                                                                                                                                                                                                                                                                                                                                                                                                                                                                                                                                                                                                                                                                                                                                                                                                                                                                                                                                                                                                                                                                                                                                                                                                                                                                                                                                                                                                                                                                                                                                                                                                                                                                                                                                                                 |                                                                                                                                                                                                                                                                                                                                                                                                                                                                                                                                                                                                                                                                                                                                                                                                                                                                                                                                                                                                                                                                                                                                                                                                                                                                                                                                                                                                                                                                                                                                                                                                                                                                                                                                                                                                                                                                                                                                                                                                                                                                                                                                | 40.04                                 | 5,886,000<br>2,652,000                                                                                                                                                                                                                                                                                                                                                                                                                                                                                                                                                                                                                                                                                                                                                                                                                                                                                                                                                                                                                                                                                                                                                                                                                                                                                                                                                                                                                                                                                                                                                                                                                                                                                                                                                                                                                                                                                                                                                                                                                                                                                                         |                                                                                                                                                                                                                                                                                                                                                                                                                                                                                                                                                                                                                                                                                                                                                                                                                                                                                                                                                                                                                                                                                                                                                                                                                                                                                                                                                                                                                                                                                                                                                                                                                                                                                                                                                                                                                                                                                                                                                                                                                                                                                                                                |                                                              |
| 082 <b>益安</b><br>126 達成                                                                                                                                                                                                                                                                                                                                                                                                                                                                                                                                                                                                                                                                                                                                                                                                                                                                                                                                                                                                                                                                                                                                                                                                                                                                                                                                                                                                                                                                                                                                                                                                                                                                                                                                                                                                                                                                                                                                                                                                                                                                                                        | 1.07<br>1.21                                                                                                                                                                                                                                                                                                                                                                                                                                                                                                                                                                                                                                                                                                                                                                                                                                                                                                                                                                                                                                                                                                                                                                                                                                                                                                                                                                                                                                                                                                                                                                                                                                                                                                                                                                                                                                                                                                                                                                                                                                                                                                                   | 1.22                                                                                                                                                                                                                                                                                                                                                                                                                                                                                                                                                                                                                                                                                                                                                                                                                                                                                                                                                                                                                                                                                                                                                                                                                                                                                                                                                                                                                                                                                                                                                                                                                                                                                                                                                                                                                                                                                                                                                                                                                                                                                                                           | 1.07                                                                                                                                                                                                                                                                                                                                                                                                                                                                                                                                                                                                                                                                                                                                                                                                                                                                                                                                                                                                                                                                                                                                                                                                                                                                                                                                                                                                                                                                                                                                                                                                                                                                                                                                                                                                                                                                                                                                                                                                                                                                                                                          | *************                                                                                                                                                                                                                                                                                                                                                                                                                                                                                                                                                                                                                                                                                                                                                                                                                                                                                                                                                                                                                                                                                                                                                                                                                                                                                                                                                                                                                                                                                                                                                                                                                                                                                                                                                                                                                                                                                                                                                                                                                                                                                | ani and in includence                                                                                                                                                                                                                                                                                                                                                                                                                                                                                                                                                                                                                                                                                                                                                                                                                                                                                                                                                                                                                                                                                                                                                                                                                                                                                                                                                                                                                                                                                                                                                                                                                                                                                                                                                                                                                                                                                                                                                                                                                                                                                                          | +0.02                                 | 182,000<br>3,614,000                                                                                                                                                                                                                                                                                                                                                                                                                                                                                                                                                                                                                                                                                                                                                                                                                                                                                                                                                                                                                                                                                                                                                                                                                                                                                                                                                                                                                                                                                                                                                                                                                                                                                                                                                                                                                                                                                                                                                                                                                                                                                                           |                                                                                                                                                                                                                                                                                                                                                                                                                                                                                                                                                                                                                                                                                                                                                                                                                                                                                                                                                                                                                                                                                                                                                                                                                                                                                                                                                                                                                                                                                                                                                                                                                                                                                                                                                                                                                                                                                                                                                                                                                                                                                                                                | enteled linguistics between teatrons                         |
|                                                                                                                                                                                                                                                                                                                                                                                                                                                                                                                                                                                                                                                                                                                                                                                                                                                                                                                                                                                                                                                                                                                                                                                                                                                                                                                                                                                                                                                                                                                                                                                                                                                                                                                                                                                                                                                                                                                                                                                                                                                                                                                                | nerelija meteore                                                                                                                                                                                                                                                                                                                                                                                                                                                                                                                                                                                                                                                                                                                                                                                                                                                                                                                                                                                                                                                                                                                                                                                                                                                                                                                                                                                                                                                                                                                                                                                                                                                                                                                                                                                                                                                                                                                                                                                                                                                                                                               |                                                                                                                                                                                                                                                                                                                                                                                                                                                                                                                                                                                                                                                                                                                                                                                                                                                                                                                                                                                                                                                                                                                                                                                                                                                                                                                                                                                                                                                                                                                                                                                                                                                                                                                                                                                                                                                                                                                                                                                                                                                                                                                                |                                                                                                                                                                                                                                                                                                                                                                                                                                                                                                                                                                                                                                                                                                                                                                                                                                                                                                                                                                                                                                                                                                                                                                                                                                                                                                                                                                                                                                                                                                                                                                                                                                                                                                                                                                                                                                                                                                                                                                                                                                                                                                                               |                                                                                                                                                                                                                                                                                                                                                                                                                                                                                                                                                                                                                                                                                                                                                                                                                                                                                                                                                                                                                                                                                                                                                                                                                                                                                                                                                                                                                                                                                                                                                                                                                                                                                                                                                                                                                                                                                                                                                                                                                                                                                              | and the state of t |                                       |                                                                                                                                                                                                                                                                                                                                                                                                                                                                                                                                                                                                                                                                                                                                                                                                                                                                                                                                                                                                                                                                                                                                                                                                                                                                                                                                                                                                                                                                                                                                                                                                                                                                                                                                                                                                                                                                                                                                                                                                                                                                                                                                | Massama ett emilitäte                                                                                                                                                                                                                                                                                                                                                                                                                                                                                                                                                                                                                                                                                                                                                                                                                                                                                                                                                                                                                                                                                                                                                                                                                                                                                                                                                                                                                                                                                                                                                                                                                                                                                                                                                                                                                                                                                                                                                                                                                                                                                                          |                                                              |
| развительного по                                                                                                                                                                                                                                                                                                                                                                                                                                                                                                                                                                                                                                                                                                                                                                                                                                                                                                                                                                                                                                                                                                                                                                                                                                                                                                                                                                                                                                                                                                                                                                                                                                                                                                                                                                                                                                                                                                                                                                                                                                                                           | - Annum                                                                                                                                                                                                                                                                                                                                                                                                                                                                                                                                                                                                                                                                                                                                                                                                                                                                                                                                                                                                                                                                                                                                                                                                                                                                                                                                                                                                                                                                                                                                                                                                                                                                                                                                                                                                                                                                                                                                                                                                                                                                                                                        | **************************************                                                                                                                                                                                                                                                                                                                                                                                                                                                                                                                                                                                                                                                                                                                                                                                                                                                                                                                                                                                                                                                                                                                                                                                                                                                                                                                                                                                                                                                                                                                                                                                                                                                                                                                                                                                                                                                                                                                                                                                                                                                                                         |                                                                                                                                                                                                                                                                                                                                                                                                                                                                                                                                                                                                                                                                                                                                                                                                                                                                                                                                                                                                                                                                                                                                                                                                                                                                                                                                                                                                                                                                                                                                                                                                                                                                                                                                                                                                                                                                                                                                                                                                                                                                                                                               |                                                                                                                                                                                                                                                                                                                                                                                                                                                                                                                                                                                                                                                                                                                                                                                                                                                                                                                                                                                                                                                                                                                                                                                                                                                                                                                                                                                                                                                                                                                                                                                                                                                                                                                                                                                                                                                                                                                                                                                                                                                                                              | 1                                                                                                                                                                                                                                                                                                                                                                                                                                                                                                                                                                                                                                                                                                                                                                                                                                                                                                                                                                                                                                                                                                                                                                                                                                                                                                                                                                                                                                                                                                                                                                                                                                                                                                                                                                                                                                                                                                                                                                                                                                                                                                                              |                                       | المه المناسب المناسب المناسب                                                                                                                                                                                                                                                                                                                                                                                                                                                                                                                                                                                                                                                                                                                                                                                                                                                                                                                                                                                                                                                                                                                                                                                                                                                                                                                                                                                                                                                                                                                                                                                                                                                                                                                                                                                                                                                                                                                                                                                                                                                                                                   | es a company de la company de  | and the second                                               |
|                                                                                                                                                                                                                                                                                                                                                                                                                                                                                                                                                                                                                                                                                                                                                                                                                                                                                                                                                                                                                                                                                                                                                                                                                                                                                                                                                                                                                                                                                                                                                                                                                                                                                                                                                                                                                                                                                                                                                                                                                                                                                                                                | #11.47                                                                                                                                                                                                                                                                                                                                                                                                                                                                                                                                                                                                                                                                                                                                                                                                                                                                                                                                                                                                                                                                                                                                                                                                                                                                                                                                                                                                                                                                                                                                                                                                                                                                                                                                                                                                                                                                                                                                                                                                                                                                                                                         |                                                                                                                                                                                                                                                                                                                                                                                                                                                                                                                                                                                                                                                                                                                                                                                                                                                                                                                                                                                                                                                                                                                                                                                                                                                                                                                                                                                                                                                                                                                                                                                                                                                                                                                                                                                                                                                                                                                                                                                                                                                                                                                                |                                                                                                                                                                                                                                                                                                                                                                                                                                                                                                                                                                                                                                                                                                                                                                                                                                                                                                                                                                                                                                                                                                                                                                                                                                                                                                                                                                                                                                                                                                                                                                                                                                                                                                                                                                                                                                                                                                                                                                                                                                                                                                                               |                                                                                                                                                                                                                                                                                                                                                                                                                                                                                                                                                                                                                                                                                                                                                                                                                                                                                                                                                                                                                                                                                                                                                                                                                                                                                                                                                                                                                                                                                                                                                                                                                                                                                                                                                                                                                                                                                                                                                                                                                                                                                              |                                                                                                                                                                                                                                                                                                                                                                                                                                                                                                                                                                                                                                                                                                                                                                                                                                                                                                                                                                                                                                                                                                                                                                                                                                                                                                                                                                                                                                                                                                                                                                                                                                                                                                                                                                                                                                                                                                                                                                                                                                                                                                                                |                                       |                                                                                                                                                                                                                                                                                                                                                                                                                                                                                                                                                                                                                                                                                                                                                                                                                                                                                                                                                                                                                                                                                                                                                                                                                                                                                                                                                                                                                                                                                                                                                                                                                                                                                                                                                                                                                                                                                                                                                                                                                                                                                                                                |                                                                                                                                                                                                                                                                                                                                                                                                                                                                                                                                                                                                                                                                                                                                                                                                                                                                                                                                                                                                                                                                                                                                                                                                                                                                                                                                                                                                                                                                                                                                                                                                                                                                                                                                                                                                                                                                                                                                                                                                                                                                                                                                |                                                              |
|                                                                                                                                                                                                                                                                                                                                                                                                                                                                                                                                                                                                                                                                                                                                                                                                                                                                                                                                                                                                                                                                                                                                                                                                                                                                                                                                                                                                                                                                                                                                                                                                                                                                                                                                                                                                                                                                                                                                                                                                                                                                                                                                |                                                                                                                                                                                                                                                                                                                                                                                                                                                                                                                                                                                                                                                                                                                                                                                                                                                                                                                                                                                                                                                                                                                                                                                                                                                                                                                                                                                                                                                                                                                                                                                                                                                                                                                                                                                                                                                                                                                                                                                                                                                                                                                                |                                                                                                                                                                                                                                                                                                                                                                                                                                                                                                                                                                                                                                                                                                                                                                                                                                                                                                                                                                                                                                                                                                                                                                                                                                                                                                                                                                                                                                                                                                                                                                                                                                                                                                                                                                                                                                                                                                                                                                                                                                                                                                                                |                                                                                                                                                                                                                                                                                                                                                                                                                                                                                                                                                                                                                                                                                                                                                                                                                                                                                                                                                                                                                                                                                                                                                                                                                                                                                                                                                                                                                                                                                                                                                                                                                                                                                                                                                                                                                                                                                                                                                                                                                                                                                                                               |                                                                                                                                                                                                                                                                                                                                                                                                                                                                                                                                                                                                                                                                                                                                                                                                                                                                                                                                                                                                                                                                                                                                                                                                                                                                                                                                                                                                                                                                                                                                                                                                                                                                                                                                                                                                                                                                                                                                                                                                                                                                                              |                                                                                                                                                                                                                                                                                                                                                                                                                                                                                                                                                                                                                                                                                                                                                                                                                                                                                                                                                                                                                                                                                                                                                                                                                                                                                                                                                                                                                                                                                                                                                                                                                                                                                                                                                                                                                                                                                                                                                                                                                                                                                                                                |                                       | ,3414                                                                                                                                                                                                                                                                                                                                                                                                                                                                                                                                                                                                                                                                                                                                                                                                                                                                                                                                                                                                                                                                                                                                                                                                                                                                                                                                                                                                                                                                                                                                                                                                                                                                                                                                                                                                                                                                                                                                                                                                                                                                                                                          |                                                                                                                                                                                                                                                                                                                                                                                                                                                                                                                                                                                                                                                                                                                                                                                                                                                                                                                                                                                                                                                                                                                                                                                                                                                                                                                                                                                                                                                                                                                                                                                                                                                                                                                                                                                                                                                                                                                                                                                                                                                                                                                                | er de se en skan i e-kri i 12. k e e e                       |
| 1 5.19 147 新系機構                                                                                                                                                                                                                                                                                                                                                                                                                                                                                                                                                                                                                                                                                                                                                                                                                                                                                                                                                                                                                                                                                                                                                                                                                                                                                                                                                                                                                                                                                                                                                                                                                                                                                                                                                                                                                                                                                                                                                                                                                                                                                                                | 0.29                                                                                                                                                                                                                                                                                                                                                                                                                                                                                                                                                                                                                                                                                                                                                                                                                                                                                                                                                                                                                                                                                                                                                                                                                                                                                                                                                                                                                                                                                                                                                                                                                                                                                                                                                                                                                                                                                                                                                                                                                                                                                                                           | 0.29                                                                                                                                                                                                                                                                                                                                                                                                                                                                                                                                                                                                                                                                                                                                                                                                                                                                                                                                                                                                                                                                                                                                                                                                                                                                                                                                                                                                                                                                                                                                                                                                                                                                                                                                                                                                                                                                                                                                                                                                                                                                                                                           | 0,29                                                                                                                                                                                                                                                                                                                                                                                                                                                                                                                                                                                                                                                                                                                                                                                                                                                                                                                                                                                                                                                                                                                                                                                                                                                                                                                                                                                                                                                                                                                                                                                                                                                                                                                                                                                                                                                                                                                                                                                                                                                                                                                          | 信<br>5 0.26                                                                                                                                                                                                                                                                                                                                                                                                                                                                                                                                                                                                                                                                                                                                                                                                                                                                                                                                                                                                                                                                                                                                                                                                                                                                                                                                                                                                                                                                                                                                                                                                                                                                                                                                                                                                                                                                                                                                                                                                                                                                                  |                                                                                                                                                                                                                                                                                                                                                                                                                                                                                                                                                                                                                                                                                                                                                                                                                                                                                                                                                                                                                                                                                                                                                                                                                                                                                                                                                                                                                                                                                                                                                                                                                                                                                                                                                                                                                                                                                                                                                                                                                                                                                                                                | +0.002                                | 業<br>3,720,285                                                                                                                                                                                                                                                                                                                                                                                                                                                                                                                                                                                                                                                                                                                                                                                                                                                                                                                                                                                                                                                                                                                                                                                                                                                                                                                                                                                                                                                                                                                                                                                                                                                                                                                                                                                                                                                                                                                                                                                                                                                                                                                 | 7.2                                                                                                                                                                                                                                                                                                                                                                                                                                                                                                                                                                                                                                                                                                                                                                                                                                                                                                                                                                                                                                                                                                                                                                                                                                                                                                                                                                                                                                                                                                                                                                                                                                                                                                                                                                                                                                                                                                                                                                                                                                                                                                                            | 5 10.34                                                      |
| 1 3.19 117 斯尔顿縣<br>3 5.66 343 玉郎國際<br>685 明報企業                                                                                                                                                                                                                                                                                                                                                                                                                                                                                                                                                                                                                                                                                                                                                                                                                                                                                                                                                                                                                                                                                                                                                                                                                                                                                                                                                                                                                                                                                                                                                                                                                                                                                                                                                                                                                                                                                                                                                                                                                                                                                 | 2,90                                                                                                                                                                                                                                                                                                                                                                                                                                                                                                                                                                                                                                                                                                                                                                                                                                                                                                                                                                                                                                                                                                                                                                                                                                                                                                                                                                                                                                                                                                                                                                                                                                                                                                                                                                                                                                                                                                                                                                                                                                                                                                                           | 0.51                                                                                                                                                                                                                                                                                                                                                                                                                                                                                                                                                                                                                                                                                                                                                                                                                                                                                                                                                                                                                                                                                                                                                                                                                                                                                                                                                                                                                                                                                                                                                                                                                                                                                                                                                                                                                                                                                                                                                                                                                                                                                                                           | 0,50                                                                                                                                                                                                                                                                                                                                                                                                                                                                                                                                                                                                                                                                                                                                                                                                                                                                                                                                                                                                                                                                                                                                                                                                                                                                                                                                                                                                                                                                                                                                                                                                                                                                                                                                                                                                                                                                                                                                                                                                                                                                                                                          | 0.50                                                                                                                                                                                                                                                                                                                                                                                                                                                                                                                                                                                                                                                                                                                                                                                                                                                                                                                                                                                                                                                                                                                                                                                                                                                                                                                                                                                                                                                                                                                                                                                                                                                                                                                                                                                                                                                                                                                                                                                                                                                                                         | 0.50                                                                                                                                                                                                                                                                                                                                                                                                                                                                                                                                                                                                                                                                                                                                                                                                                                                                                                                                                                                                                                                                                                                                                                                                                                                                                                                                                                                                                                                                                                                                                                                                                                                                                                                                                                                                                                                                                                                                                                                                                                                                                                                           | +0.02                                 | 200,000                                                                                                                                                                                                                                                                                                                                                                                                                                                                                                                                                                                                                                                                                                                                                                                                                                                                                                                                                                                                                                                                                                                                                                                                                                                                                                                                                                                                                                                                                                                                                                                                                                                                                                                                                                                                                                                                                                                                                                                                                                                                                                                        | 64.1                                                                                                                                                                                                                                                                                                                                                                                                                                                                                                                                                                                                                                                                                                                                                                                                                                                                                                                                                                                                                                                                                                                                                                                                                                                                                                                                                                                                                                                                                                                                                                                                                                                                                                                                                                                                                                                                                                                                                                                                                                                                                                                           | 0                                                            |
| 018 東方科業 080 邵氏                                                                                                                                                                                                                                                                                                                                                                                                                                                                                                                                                                                                                                                                                                                                                                                                                                                                                                                                                                                                                                                                                                                                                                                                                                                                                                                                                                                                                                                                                                                                                                                                                                                                                                                                                                                                                                                                                                                                                                                                                                                                                                                | 1.17<br>3.87                                                                                                                                                                                                                                                                                                                                                                                                                                                                                                                                                                                                                                                                                                                                                                                                                                                                                                                                                                                                                                                                                                                                                                                                                                                                                                                                                                                                                                                                                                                                                                                                                                                                                                                                                                                                                                                                                                                                                                                                                                                                                                                   | 1.18                                                                                                                                                                                                                                                                                                                                                                                                                                                                                                                                                                                                                                                                                                                                                                                                                                                                                                                                                                                                                                                                                                                                                                                                                                                                                                                                                                                                                                                                                                                                                                                                                                                                                                                                                                                                                                                                                                                                                                                                                                                                                                                           | (.18                                                                                                                                                                                                                                                                                                                                                                                                                                                                                                                                                                                                                                                                                                                                                                                                                                                                                                                                                                                                                                                                                                                                                                                                                                                                                                                                                                                                                                                                                                                                                                                                                                                                                                                                                                                                                                                                                                                                                                                                                                                                                                                          | 1.17<br>3.80                                                                                                                                                                                                                                                                                                                                                                                                                                                                                                                                                                                                                                                                                                                                                                                                                                                                                                                                                                                                                                                                                                                                                                                                                                                                                                                                                                                                                                                                                                                                                                                                                                                                                                                                                                                                                                                                                                                                                                                                                                                                                 | 3.875                                                                                                                                                                                                                                                                                                                                                                                                                                                                                                                                                                                                                                                                                                                                                                                                                                                                                                                                                                                                                                                                                                                                                                                                                                                                                                                                                                                                                                                                                                                                                                                                                                                                                                                                                                                                                                                                                                                                                                                                                                                                                                                          |                                       | 430,000<br>359,000                                                                                                                                                                                                                                                                                                                                                                                                                                                                                                                                                                                                                                                                                                                                                                                                                                                                                                                                                                                                                                                                                                                                                                                                                                                                                                                                                                                                                                                                                                                                                                                                                                                                                                                                                                                                                                                                                                                                                                                                                                                                                                             | 8.4                                                                                                                                                                                                                                                                                                                                                                                                                                                                                                                                                                                                                                                                                                                                                                                                                                                                                                                                                                                                                                                                                                                                                                                                                                                                                                                                                                                                                                                                                                                                                                                                                                                                                                                                                                                                                                                                                                                                                                                                                                                                                                                            | 2 6.97                                                       |
| 233 風島<br>7,80 583 南華早報                                                                                                                                                                                                                                                                                                                                                                                                                                                                                                                                                                                                                                                                                                                                                                                                                                                                                                                                                                                                                                                                                                                                                                                                                                                                                                                                                                                                                                                                                                                                                                                                                                                                                                                                                                                                                                                                                                                                                                                                                                                                                                        | 1.40                                                                                                                                                                                                                                                                                                                                                                                                                                                                                                                                                                                                                                                                                                                                                                                                                                                                                                                                                                                                                                                                                                                                                                                                                                                                                                                                                                                                                                                                                                                                                                                                                                                                                                                                                                                                                                                                                                                                                                                                                                                                                                                           | 5 2.95                                                                                                                                                                                                                                                                                                                                                                                                                                                                                                                                                                                                                                                                                                                                                                                                                                                                                                                                                                                                                                                                                                                                                                                                                                                                                                                                                                                                                                                                                                                                                                                                                                                                                                                                                                                                                                                                                                                                                                                                                                                                                                                         | 1.40<br>2.95                                                                                                                                                                                                                                                                                                                                                                                                                                                                                                                                                                                                                                                                                                                                                                                                                                                                                                                                                                                                                                                                                                                                                                                                                                                                                                                                                                                                                                                                                                                                                                                                                                                                                                                                                                                                                                                                                                                                                                                                                                                                                                                  | 2.8                                                                                                                                                                                                                                                                                                                                                                                                                                                                                                                                                                                                                                                                                                                                                                                                                                                                                                                                                                                                                                                                                                                                                                                                                                                                                                                                                                                                                                                                                                                                                                                                                                                                                                                                                                                                                                                                                                                                                                                                                                                                                          | 75 2.95                                                                                                                                                                                                                                                                                                                                                                                                                                                                                                                                                                                                                                                                                                                                                                                                                                                                                                                                                                                                                                                                                                                                                                                                                                                                                                                                                                                                                                                                                                                                                                                                                                                                                                                                                                                                                                                                                                                                                                                                                                                                                                                        | +0.04<br>+0.05                        | 3,574,000                                                                                                                                                                                                                                                                                                                                                                                                                                                                                                                                                                                                                                                                                                                                                                                                                                                                                                                                                                                                                                                                                                                                                                                                                                                                                                                                                                                                                                                                                                                                                                                                                                                                                                                                                                                                                                                                                                                                                                                                                                                                                                                      | 9.1                                                                                                                                                                                                                                                                                                                                                                                                                                                                                                                                                                                                                                                                                                                                                                                                                                                                                                                                                                                                                                                                                                                                                                                                                                                                                                                                                                                                                                                                                                                                                                                                                                                                                                                                                                                                                                                                                                                                                                                                                                                                                                                            | 0 7.90                                                       |
| 511 電視廣播<br>5 7.16 009 電視企業                                                                                                                                                                                                                                                                                                                                                                                                                                                                                                                                                                                                                                                                                                                                                                                                                                                                                                                                                                                                                                                                                                                                                                                                                                                                                                                                                                                                                                                                                                                                                                                                                                                                                                                                                                                                                                                                                                                                                                                                                                                                                                    | 5.50<br>2.35                                                                                                                                                                                                                                                                                                                                                                                                                                                                                                                                                                                                                                                                                                                                                                                                                                                                                                                                                                                                                                                                                                                                                                                                                                                                                                                                                                                                                                                                                                                                                                                                                                                                                                                                                                                                                                                                                                                                                                                                                                                                                                                   | 5,55                                                                                                                                                                                                                                                                                                                                                                                                                                                                                                                                                                                                                                                                                                                                                                                                                                                                                                                                                                                                                                                                                                                                                                                                                                                                                                                                                                                                                                                                                                                                                                                                                                                                                                                                                                                                                                                                                                                                                                                                                                                                                                                           | 5,55<br>2.45                                                                                                                                                                                                                                                                                                                                                                                                                                                                                                                                                                                                                                                                                                                                                                                                                                                                                                                                                                                                                                                                                                                                                                                                                                                                                                                                                                                                                                                                                                                                                                                                                                                                                                                                                                                                                                                                                                                                                                                                                                                                                                                  | and states on the pilippe beauty.                                                                                                                                                                                                                                                                                                                                                                                                                                                                                                                                                                                                                                                                                                                                                                                                                                                                                                                                                                                                                                                                                                                                                                                                                                                                                                                                                                                                                                                                                                                                                                                                                                                                                                                                                                                                                                                                                                                                                                                                                                                            |                                                                                                                                                                                                                                                                                                                                                                                                                                                                                                                                                                                                                                                                                                                                                                                                                                                                                                                                                                                                                                                                                                                                                                                                                                                                                                                                                                                                                                                                                                                                                                                                                                                                                                                                                                                                                                                                                                                                                                                                                                                                                                                                | +0.05<br>+0.02                        | 593,000<br>280,000                                                                                                                                                                                                                                                                                                                                                                                                                                                                                                                                                                                                                                                                                                                                                                                                                                                                                                                                                                                                                                                                                                                                                                                                                                                                                                                                                                                                                                                                                                                                                                                                                                                                                                                                                                                                                                                                                                                                                                                                                                                                                                             |                                                                                                                                                                                                                                                                                                                                                                                                                                                                                                                                                                                                                                                                                                                                                                                                                                                                                                                                                                                                                                                                                                                                                                                                                                                                                                                                                                                                                                                                                                                                                                                                                                                                                                                                                                                                                                                                                                                                                                                                                                                                                                                                | realist services                                             |
| 2 3.62 204 新開集階                                                                                                                                                                                                                                                                                                                                                                                                                                                                                                                                                                                                                                                                                                                                                                                                                                                                                                                                                                                                                                                                                                                                                                                                                                                                                                                                                                                                                                                                                                                                                                                                                                                                                                                                                                                                                                                                                                                                                                                                                                                                                                                | **************************************                                                                                                                                                                                                                                                                                                                                                                                                                                                                                                                                                                                                                                                                                                                                                                                                                                                                                                                                                                                                                                                                                                                                                                                                                                                                                                                                                                                                                                                                                                                                                                                                                                                                                                                                                                                                                                                                                                                                                                                                                                                                                         | Particular reserved                                                                                                                                                                                                                                                                                                                                                                                                                                                                                                                                                                                                                                                                                                                                                                                                                                                                                                                                                                                                                                                                                                                                                                                                                                                                                                                                                                                                                                                                                                                                                                                                                                                                                                                                                                                                                                                                                                                                                                                                                                                                                                            |                                                                                                                                                                                                                                                                                                                                                                                                                                                                                                                                                                                                                                                                                                                                                                                                                                                                                                                                                                                                                                                                                                                                                                                                                                                                                                                                                                                                                                                                                                                                                                                                                                                                                                                                                                                                                                                                                                                                                                                                                                                                                                                               |                                                                                                                                                                                                                                                                                                                                                                                                                                                                                                                                                                                                                                                                                                                                                                                                                                                                                                                                                                                                                                                                                                                                                                                                                                                                                                                                                                                                                                                                                                                                                                                                                                                                                                                                                                                                                                                                                                                                                                                                                                                                                              |                                                                                                                                                                                                                                                                                                                                                                                                                                                                                                                                                                                                                                                                                                                                                                                                                                                                                                                                                                                                                                                                                                                                                                                                                                                                                                                                                                                                                                                                                                                                                                                                                                                                                                                                                                                                                                                                                                                                                                                                                                                                                                                                | · · · · · · · · · · · · · · · · · · · |                                                                                                                                                                                                                                                                                                                                                                                                                                                                                                                                                                                                                                                                                                                                                                                                                                                                                                                                                                                                                                                                                                                                                                                                                                                                                                                                                                                                                                                                                                                                                                                                                                                                                                                                                                                                                                                                                                                                                                                                                                                                                                                                |                                                                                                                                                                                                                                                                                                                                                                                                                                                                                                                                                                                                                                                                                                                                                                                                                                                                                                                                                                                                                                                                                                                                                                                                                                                                                                                                                                                                                                                                                                                                                                                                                                                                                                                                                                                                                                                                                                                                                                                                                                                                                                                                |                                                              |
| 7 6.97<br>2.44                                                                                                                                                                                                                                                                                                                                                                                                                                                                                                                                                                                                                                                                                                                                                                                                                                                                                                                                                                                                                                                                                                                                                                                                                                                                                                                                                                                                                                                                                                                                                                                                                                                                                                                                                                                                                                                                                                                                                                                                                                                                                                                 | Company of the Compan |                                                                                                                                                                                                                                                                                                                                                                                                                                                                                                                                                                                                                                                                                                                                                                                                                                                                                                                                                                                                                                                                                                                                                                                                                                                                                                                                                                                                                                                                                                                                                                                                                                                                                                                                                                                                                                                                                                                                                                                                                                                                                                                                |                                                                                                                                                                                                                                                                                                                                                                                                                                                                                                                                                                                                                                                                                                                                                                                                                                                                                                                                                                                                                                                                                                                                                                                                                                                                                                                                                                                                                                                                                                                                                                                                                                                                                                                                                                                                                                                                                                                                                                                                                                                                                                                               |                                                                                                                                                                                                                                                                                                                                                                                                                                                                                                                                                                                                                                                                                                                                                                                                                                                                                                                                                                                                                                                                                                                                                                                                                                                                                                                                                                                                                                                                                                                                                                                                                                                                                                                                                                                                                                                                                                                                                                                                                                                                                              |                                                                                                                                                                                                                                                                                                                                                                                                                                                                                                                                                                                                                                                                                                                                                                                                                                                                                                                                                                                                                                                                                                                                                                                                                                                                                                                                                                                                                                                                                                                                                                                                                                                                                                                                                                                                                                                                                                                                                                                                                                                                                                                                | ì                                     |                                                                                                                                                                                                                                                                                                                                                                                                                                                                                                                                                                                                                                                                                                                                                                                                                                                                                                                                                                                                                                                                                                                                                                                                                                                                                                                                                                                                                                                                                                                                                                                                                                                                                                                                                                                                                                                                                                                                                                                                                                                                                                                                | · • • · · · ·                                                                                                                                                                                                                                                                                                                                                                                                                                                                                                                                                                                                                                                                                                                                                                                                                                                                                                                                                                                                                                                                                                                                                                                                                                                                                                                                                                                                                                                                                                                                                                                                                                                                                                                                                                                                                                                                                                                                                                                                                                                                                                                  |                                                              |
| 7.41                                                                                                                                                                                                                                                                                                                                                                                                                                                                                                                                                                                                                                                                                                                                                                                                                                                                                                                                                                                                                                                                                                                                                                                                                                                                                                                                                                                                                                                                                                                                                                                                                                                                                                                                                                                                                                                                                                                                                                                                                                                                                                                           |                                                                                                                                                                                                                                                                                                                                                                                                                                                                                                                                                                                                                                                                                                                                                                                                                                                                                                                                                                                                                                                                                                                                                                                                                                                                                                                                                                                                                                                                                                                                                                                                                                                                                                                                                                                                                                                                                                                                                                                                                                                                                                                                |                                                                                                                                                                                                                                                                                                                                                                                                                                                                                                                                                                                                                                                                                                                                                                                                                                                                                                                                                                                                                                                                                                                                                                                                                                                                                                                                                                                                                                                                                                                                                                                                                                                                                                                                                                                                                                                                                                                                                                                                                                                                                                                                |                                                                                                                                                                                                                                                                                                                                                                                                                                                                                                                                                                                                                                                                                                                                                                                                                                                                                                                                                                                                                                                                                                                                                                                                                                                                                                                                                                                                                                                                                                                                                                                                                                                                                                                                                                                                                                                                                                                                                                                                                                                                                                                               |                                                                                                                                                                                                                                                                                                                                                                                                                                                                                                                                                                                                                                                                                                                                                                                                                                                                                                                                                                                                                                                                                                                                                                                                                                                                                                                                                                                                                                                                                                                                                                                                                                                                                                                                                                                                                                                                                                                                                                                                                                                                                              | i j                                                                                                                                                                                                                                                                                                                                                                                                                                                                                                                                                                                                                                                                                                                                                                                                                                                                                                                                                                                                                                                                                                                                                                                                                                                                                                                                                                                                                                                                                                                                                                                                                                                                                                                                                                                                                                                                                                                                                                                                                                                                                                                            | 人 其                                   | 他                                                                                                                                                                                                                                                                                                                                                                                                                                                                                                                                                                                                                                                                                                                                                                                                                                                                                                                                                                                                                                                                                                                                                                                                                                                                                                                                                                                                                                                                                                                                                                                                                                                                                                                                                                                                                                                                                                                                                                                                                                                                                                                              | · · · · · · · · · · · · · · · · · · ·                                                                                                                                                                                                                                                                                                                                                                                                                                                                                                                                                                                                                                                                                                                                                                                                                                                                                                                                                                                                                                                                                                                                                                                                                                                                                                                                                                                                                                                                                                                                                                                                                                                                                                                                                                                                                                                                                                                                                                                                                                                                                          |                                                              |
| 1 1.79<br>2 2.89 508 其上南葉編幣                                                                                                                                                                                                                                                                                                                                                                                                                                                                                                                                                                                                                                                                                                                                                                                                                                                                                                                                                                                                                                                                                                                                                                                                                                                                                                                                                                                                                                                                                                                                                                                                                                                                                                                                                                                                                                                                                                                                                                                                                                                                                                    |                                                                                                                                                                                                                                                                                                                                                                                                                                                                                                                                                                                                                                                                                                                                                                                                                                                                                                                                                                                                                                                                                                                                                                                                                                                                                                                                                                                                                                                                                                                                                                                                                                                                                                                                                                                                                                                                                                                                                                                                                                                                                                                                | · · · · · · · · · · · · · · · · · · ·                                                                                                                                                                                                                                                                                                                                                                                                                                                                                                                                                                                                                                                                                                                                                                                                                                                                                                                                                                                                                                                                                                                                                                                                                                                                                                                                                                                                                                                                                                                                                                                                                                                                                                                                                                                                                                                                                                                                                                                                                                                                                          |                                                                                                                                                                                                                                                                                                                                                                                                                                                                                                                                                                                                                                                                                                                                                                                                                                                                                                                                                                                                                                                                                                                                                                                                                                                                                                                                                                                                                                                                                                                                                                                                                                                                                                                                                                                                                                                                                                                                                                                                                                                                                                                               | 5 0.2                                                                                                                                                                                                                                                                                                                                                                                                                                                                                                                                                                                                                                                                                                                                                                                                                                                                                                                                                                                                                                                                                                                                                                                                                                                                                                                                                                                                                                                                                                                                                                                                                                                                                                                                                                                                                                                                                                                                                                                                                                                                                        | 8 0.28                                                                                                                                                                                                                                                                                                                                                                                                                                                                                                                                                                                                                                                                                                                                                                                                                                                                                                                                                                                                                                                                                                                                                                                                                                                                                                                                                                                                                                                                                                                                                                                                                                                                                                                                                                                                                                                                                                                                                                                                                                                                                                                         | <b>-0.</b> 01                         | 100,000                                                                                                                                                                                                                                                                                                                                                                                                                                                                                                                                                                                                                                                                                                                                                                                                                                                                                                                                                                                                                                                                                                                                                                                                                                                                                                                                                                                                                                                                                                                                                                                                                                                                                                                                                                                                                                                                                                                                                                                                                                                                                                                        | <b></b>                                                                                                                                                                                                                                                                                                                                                                                                                                                                                                                                                                                                                                                                                                                                                                                                                                                                                                                                                                                                                                                                                                                                                                                                                                                                                                                                                                                                                                                                                                                                                                                                                                                                                                                                                                                                                                                                                                                                                                                                                                                                                                                        | · · · · · · · · · · · · · · · · · · ·                        |
| 5 8.21 513 低和集團 113 追北創建                                                                                                                                                                                                                                                                                                                                                                                                                                                                                                                                                                                                                                                                                                                                                                                                                                                                                                                                                                                                                                                                                                                                                                                                                                                                                                                                                                                                                                                                                                                                                                                                                                                                                                                                                                                                                                                                                                                                                                                                                                                                                                       | 0,40<br>4.95                                                                                                                                                                                                                                                                                                                                                                                                                                                                                                                                                                                                                                                                                                                                                                                                                                                                                                                                                                                                                                                                                                                                                                                                                                                                                                                                                                                                                                                                                                                                                                                                                                                                                                                                                                                                                                                                                                                                                                                                                                                                                                                   | 4.97                                                                                                                                                                                                                                                                                                                                                                                                                                                                                                                                                                                                                                                                                                                                                                                                                                                                                                                                                                                                                                                                                                                                                                                                                                                                                                                                                                                                                                                                                                                                                                                                                                                                                                                                                                                                                                                                                                                                                                                                                                                                                                                           | 5 5,00                                                                                                                                                                                                                                                                                                                                                                                                                                                                                                                                                                                                                                                                                                                                                                                                                                                                                                                                                                                                                                                                                                                                                                                                                                                                                                                                                                                                                                                                                                                                                                                                                                                                                                                                                                                                                                                                                                                                                                                                                                                                                                                        | 4.9                                                                                                                                                                                                                                                                                                                                                                                                                                                                                                                                                                                                                                                                                                                                                                                                                                                                                                                                                                                                                                                                                                                                                                                                                                                                                                                                                                                                                                                                                                                                                                                                                                                                                                                                                                                                                                                                                                                                                                                                                                                                                          | 25 4.95                                                                                                                                                                                                                                                                                                                                                                                                                                                                                                                                                                                                                                                                                                                                                                                                                                                                                                                                                                                                                                                                                                                                                                                                                                                                                                                                                                                                                                                                                                                                                                                                                                                                                                                                                                                                                                                                                                                                                                                                                                                                                                                        | +0.05                                 |                                                                                                                                                                                                                                                                                                                                                                                                                                                                                                                                                                                                                                                                                                                                                                                                                                                                                                                                                                                                                                                                                                                                                                                                                                                                                                                                                                                                                                                                                                                                                                                                                                                                                                                                                                                                                                                                                                                                                                                                                                                                                                                                | 9.2                                                                                                                                                                                                                                                                                                                                                                                                                                                                                                                                                                                                                                                                                                                                                                                                                                                                                                                                                                                                                                                                                                                                                                                                                                                                                                                                                                                                                                                                                                                                                                                                                                                                                                                                                                                                                                                                                                                                                                                                                                                                                                                            | 4 5.25                                                       |
| 639. 福輝<br>152. 新創見                                                                                                                                                                                                                                                                                                                                                                                                                                                                                                                                                                                                                                                                                                                                                                                                                                                                                                                                                                                                                                                                                                                                                                                                                                                                                                                                                                                                                                                                                                                                                                                                                                                                                                                                                                                                                                                                                                                                                                                                                                                                                                            | 0,27                                                                                                                                                                                                                                                                                                                                                                                                                                                                                                                                                                                                                                                                                                                                                                                                                                                                                                                                                                                                                                                                                                                                                                                                                                                                                                                                                                                                                                                                                                                                                                                                                                                                                                                                                                                                                                                                                                                                                                                                                                                                                                                           |                                                                                                                                                                                                                                                                                                                                                                                                                                                                                                                                                                                                                                                                                                                                                                                                                                                                                                                                                                                                                                                                                                                                                                                                                                                                                                                                                                                                                                                                                                                                                                                                                                                                                                                                                                                                                                                                                                                                                                                                                                                                                                                                | 1,15<br>0,22<br>1,37                                                                                                                                                                                                                                                                                                                                                                                                                                                                                                                                                                                                                                                                                                                                                                                                                                                                                                                                                                                                                                                                                                                                                                                                                                                                                                                                                                                                                                                                                                                                                                                                                                                                                                                                                                                                                                                                                                                                                                                                                                                                                                          | 4 0.2                                                                                                                                                                                                                                                                                                                                                                                                                                                                                                                                                                                                                                                                                                                                                                                                                                                                                                                                                                                                                                                                                                                                                                                                                                                                                                                                                                                                                                                                                                                                                                                                                                                                                                                                                                                                                                                                                                                                                                                                                                                                                        | 23 0.224                                                                                                                                                                                                                                                                                                                                                                                                                                                                                                                                                                                                                                                                                                                                                                                                                                                                                                                                                                                                                                                                                                                                                                                                                                                                                                                                                                                                                                                                                                                                                                                                                                                                                                                                                                                                                                                                                                                                                                                                                                                                                                                       | +0.05                                 | a la como más Transco                                                                                                                                                                                                                                                                                                                                                                                                                                                                                                                                                                                                                                                                                                                                                                                                                                                                                                                                                                                                                                                                                                                                                                                                                                                                                                                                                                                                                                                                                                                                                                                                                                                                                                                                                                                                                                                                                                                                                                                                                                                                                                          | ) 10.1                                                                                                                                                                                                                                                                                                                                                                                                                                                                                                                                                                                                                                                                                                                                                                                                                                                                                                                                                                                                                                                                                                                                                                                                                                                                                                                                                                                                                                                                                                                                                                                                                                                                                                                                                                                                                                                                                                                                                                                                                                                                                                                         | 8<br>,                                                       |
| 647 Joyce<br>280 最福<br>068 all Fells A                                                                                                                                                                                                                                                                                                                                                                                                                                                                                                                                                                                                                                                                                                                                                                                                                                                                                                                                                                                                                                                                                                                                                                                                                                                                                                                                                                                                                                                                                                                                                                                                                                                                                                                                                                                                                                                                                                                                                                                                                                                                                         | 1,35<br>0.76<br>11.20                                                                                                                                                                                                                                                                                                                                                                                                                                                                                                                                                                                                                                                                                                                                                                                                                                                                                                                                                                                                                                                                                                                                                                                                                                                                                                                                                                                                                                                                                                                                                                                                                                                                                                                                                                                                                                                                                                                                                                                                                                                                                                          | 0.79                                                                                                                                                                                                                                                                                                                                                                                                                                                                                                                                                                                                                                                                                                                                                                                                                                                                                                                                                                                                                                                                                                                                                                                                                                                                                                                                                                                                                                                                                                                                                                                                                                                                                                                                                                                                                                                                                                                                                                                                                                                                                                                           |                                                                                                                                                                                                                                                                                                                                                                                                                                                                                                                                                                                                                                                                                                                                                                                                                                                                                                                                                                                                                                                                                                                                                                                                                                                                                                                                                                                                                                                                                                                                                                                                                                                                                                                                                                                                                                                                                                                                                                                                                                                                                                                               | 0.7                                                                                                                                                                                                                                                                                                                                                                                                                                                                                                                                                                                                                                                                                                                                                                                                                                                                                                                                                                                                                                                                                                                                                                                                                                                                                                                                                                                                                                                                                                                                                                                                                                                                                                                                                                                                                                                                                                                                                                                                                                                                                          | 9 0,79                                                                                                                                                                                                                                                                                                                                                                                                                                                                                                                                                                                                                                                                                                                                                                                                                                                                                                                                                                                                                                                                                                                                                                                                                                                                                                                                                                                                                                                                                                                                                                                                                                                                                                                                                                                                                                                                                                                                                                                                                                                                                                                         | -0.01                                 | 118,000                                                                                                                                                                                                                                                                                                                                                                                                                                                                                                                                                                                                                                                                                                                                                                                                                                                                                                                                                                                                                                                                                                                                                                                                                                                                                                                                                                                                                                                                                                                                                                                                                                                                                                                                                                                                                                                                                                                                                                                                                                                                                                                        | 7.1                                                                                                                                                                                                                                                                                                                                                                                                                                                                                                                                                                                                                                                                                                                                                                                                                                                                                                                                                                                                                                                                                                                                                                                                                                                                                                                                                                                                                                                                                                                                                                                                                                                                                                                                                                                                                                                                                                                                                                                                                                                                                                                            | 1 11.39                                                      |
| 066 連卡佛 A<br>6 <b>4.20</b> 067 立興<br>542 単級                                                                                                                                                                                                                                                                                                                                                                                                                                                                                                                                                                                                                                                                                                                                                                                                                                                                                                                                                                                                                                                                                                                                                                                                                                                                                                                                                                                                                                                                                                                                                                                                                                                                                                                                                                                                                                                                                                                                                                                                                                                                                    | 13.90                                                                                                                                                                                                                                                                                                                                                                                                                                                                                                                                                                                                                                                                                                                                                                                                                                                                                                                                                                                                                                                                                                                                                                                                                                                                                                                                                                                                                                                                                                                                                                                                                                                                                                                                                                                                                                                                                                                                                                                                                                                                                                                          | 14.10                                                                                                                                                                                                                                                                                                                                                                                                                                                                                                                                                                                                                                                                                                                                                                                                                                                                                                                                                                                                                                                                                                                                                                                                                                                                                                                                                                                                                                                                                                                                                                                                                                                                                                                                                                                                                                                                                                                                                                                                                                                                                                                          | 14.10                                                                                                                                                                                                                                                                                                                                                                                                                                                                                                                                                                                                                                                                                                                                                                                                                                                                                                                                                                                                                                                                                                                                                                                                                                                                                                                                                                                                                                                                                                                                                                                                                                                                                                                                                                                                                                                                                                                                                                                                                                                                                                                         | 13.9                                                                                                                                                                                                                                                                                                                                                                                                                                                                                                                                                                                                                                                                                                                                                                                                                                                                                                                                                                                                                                                                                                                                                                                                                                                                                                                                                                                                                                                                                                                                                                                                                                                                                                                                                                                                                                                                                                                                                                                                                                                                                         | 0 14.10                                                                                                                                                                                                                                                                                                                                                                                                                                                                                                                                                                                                                                                                                                                                                                                                                                                                                                                                                                                                                                                                                                                                                                                                                                                                                                                                                                                                                                                                                                                                                                                                                                                                                                                                                                                                                                                                                                                                                                                                                                                                                                                        |                                       | 37,000<br>50,000                                                                                                                                                                                                                                                                                                                                                                                                                                                                                                                                                                                                                                                                                                                                                                                                                                                                                                                                                                                                                                                                                                                                                                                                                                                                                                                                                                                                                                                                                                                                                                                                                                                                                                                                                                                                                                                                                                                                                                                                                                                                                                               | 0.8.0                                                                                                                                                                                                                                                                                                                                                                                                                                                                                                                                                                                                                                                                                                                                                                                                                                                                                                                                                                                                                                                                                                                                                                                                                                                                                                                                                                                                                                                                                                                                                                                                                                                                                                                                                                                                                                                                                                                                                                                                                                                                                                                          | 6 3.19                                                       |
| 241 瑞興                                                                                                                                                                                                                                                                                                                                                                                                                                                                                                                                                                                                                                                                                                                                                                                                                                                                                                                                                                                                                                                                                                                                                                                                                                                                                                                                                                                                                                                                                                                                                                                                                                                                                                                                                                                                                                                                                                                                                                                                                                                                                                                         | 6.40<br>3.60                                                                                                                                                                                                                                                                                                                                                                                                                                                                                                                                                                                                                                                                                                                                                                                                                                                                                                                                                                                                                                                                                                                                                                                                                                                                                                                                                                                                                                                                                                                                                                                                                                                                                                                                                                                                                                                                                                                                                                                                                                                                                                                   | 6.50                                                                                                                                                                                                                                                                                                                                                                                                                                                                                                                                                                                                                                                                                                                                                                                                                                                                                                                                                                                                                                                                                                                                                                                                                                                                                                                                                                                                                                                                                                                                                                                                                                                                                                                                                                                                                                                                                                                                                                                                                                                                                                                           |                                                                                                                                                                                                                                                                                                                                                                                                                                                                                                                                                                                                                                                                                                                                                                                                                                                                                                                                                                                                                                                                                                                                                                                                                                                                                                                                                                                                                                                                                                                                                                                                                                                                                                                                                                                                                                                                                                                                                                                                                                                                                                                               | ) ő. l                                                                                                                                                                                                                                                                                                                                                                                                                                                                                                                                                                                                                                                                                                                                                                                                                                                                                                                                                                                                                                                                                                                                                                                                                                                                                                                                                                                                                                                                                                                                                                                                                                                                                                                                                                                                                                                                                                                                                                                                                                                                                       | 0 6.40                                                                                                                                                                                                                                                                                                                                                                                                                                                                                                                                                                                                                                                                                                                                                                                                                                                                                                                                                                                                                                                                                                                                                                                                                                                                                                                                                                                                                                                                                                                                                                                                                                                                                                                                                                                                                                                                                                                                                                                                                                                                                                                         | +0.40                                 | 104,75                                                                                                                                                                                                                                                                                                                                                                                                                                                                                                                                                                                                                                                                                                                                                                                                                                                                                                                                                                                                                                                                                                                                                                                                                                                                                                                                                                                                                                                                                                                                                                                                                                                                                                                                                                                                                                                                                                                                                                                                                                                                                                                         | 0 41.9                                                                                                                                                                                                                                                                                                                                                                                                                                                                                                                                                                                                                                                                                                                                                                                                                                                                                                                                                                                                                                                                                                                                                                                                                                                                                                                                                                                                                                                                                                                                                                                                                                                                                                                                                                                                                                                                                                                                                                                                                                                                                                                         | 6 2,34                                                       |
| 241 光湖<br>0 8,24 417 岩湖<br>278 東方紅                                                                                                                                                                                                                                                                                                                                                                                                                                                                                                                                                                                                                                                                                                                                                                                                                                                                                                                                                                                                                                                                                                                                                                                                                                                                                                                                                                                                                                                                                                                                                                                                                                                                                                                                                                                                                                                                                                                                                                                                                                                                                             | 0.20                                                                                                                                                                                                                                                                                                                                                                                                                                                                                                                                                                                                                                                                                                                                                                                                                                                                                                                                                                                                                                                                                                                                                                                                                                                                                                                                                                                                                                                                                                                                                                                                                                                                                                                                                                                                                                                                                                                                                                                                                                                                                                                           | 59 0.27                                                                                                                                                                                                                                                                                                                                                                                                                                                                                                                                                                                                                                                                                                                                                                                                                                                                                                                                                                                                                                                                                                                                                                                                                                                                                                                                                                                                                                                                                                                                                                                                                                                                                                                                                                                                                                                                                                                                                                                                                                                                                                                        | 0.27                                                                                                                                                                                                                                                                                                                                                                                                                                                                                                                                                                                                                                                                                                                                                                                                                                                                                                                                                                                                                                                                                                                                                                                                                                                                                                                                                                                                                                                                                                                                                                                                                                                                                                                                                                                                                                                                                                                                                                                                                                                                                                                          | 0.2                                                                                                                                                                                                                                                                                                                                                                                                                                                                                                                                                                                                                                                                                                                                                                                                                                                                                                                                                                                                                                                                                                                                                                                                                                                                                                                                                                                                                                                                                                                                                                                                                                                                                                                                                                                                                                                                                                                                                                                                                                                                                          | 65 0.26                                                                                                                                                                                                                                                                                                                                                                                                                                                                                                                                                                                                                                                                                                                                                                                                                                                                                                                                                                                                                                                                                                                                                                                                                                                                                                                                                                                                                                                                                                                                                                                                                                                                                                                                                                                                                                                                                                                                                                                                                                                                                                                        | - 1                                   | 2,257,42                                                                                                                                                                                                                                                                                                                                                                                                                                                                                                                                                                                                                                                                                                                                                                                                                                                                                                                                                                                                                                                                                                                                                                                                                                                                                                                                                                                                                                                                                                                                                                                                                                                                                                                                                                                                                                                                                                                                                                                                                                                                                                                       | 4 44.1                                                                                                                                                                                                                                                                                                                                                                                                                                                                                                                                                                                                                                                                                                                                                                                                                                                                                                                                                                                                                                                                                                                                                                                                                                                                                                                                                                                                                                                                                                                                                                                                                                                                                                                                                                                                                                                                                                                                                                                                                                                                                                                         | 7 14,42                                                      |
| 3 8.55 288 永安公司<br>7 2.50 292 八百半                                                                                                                                                                                                                                                                                                                                                                                                                                                                                                                                                                                                                                                                                                                                                                                                                                                                                                                                                                                                                                                                                                                                                                                                                                                                                                                                                                                                                                                                                                                                                                                                                                                                                                                                                                                                                                                                                                                                                                                                                                                                                              | 7.40<br>1.90                                                                                                                                                                                                                                                                                                                                                                                                                                                                                                                                                                                                                                                                                                                                                                                                                                                                                                                                                                                                                                                                                                                                                                                                                                                                                                                                                                                                                                                                                                                                                                                                                                                                                                                                                                                                                                                                                                                                                                                                                                                                                                                   | 7.50                                                                                                                                                                                                                                                                                                                                                                                                                                                                                                                                                                                                                                                                                                                                                                                                                                                                                                                                                                                                                                                                                                                                                                                                                                                                                                                                                                                                                                                                                                                                                                                                                                                                                                                                                                                                                                                                                                                                                                                                                                                                                                                           | 7,5                                                                                                                                                                                                                                                                                                                                                                                                                                                                                                                                                                                                                                                                                                                                                                                                                                                                                                                                                                                                                                                                                                                                                                                                                                                                                                                                                                                                                                                                                                                                                                                                                                                                                                                                                                                                                                                                                                                                                                                                                                                                                                                           | 7.4                                                                                                                                                                                                                                                                                                                                                                                                                                                                                                                                                                                                                                                                                                                                                                                                                                                                                                                                                                                                                                                                                                                                                                                                                                                                                                                                                                                                                                                                                                                                                                                                                                                                                                                                                                                                                                                                                                                                                                                                                                                                                          | 0 7.45                                                                                                                                                                                                                                                                                                                                                                                                                                                                                                                                                                                                                                                                                                                                                                                                                                                                                                                                                                                                                                                                                                                                                                                                                                                                                                                                                                                                                                                                                                                                                                                                                                                                                                                                                                                                                                                                                                                                                                                                                                                                                                                         | +0.15                                 | 488,000<br>184,000                                                                                                                                                                                                                                                                                                                                                                                                                                                                                                                                                                                                                                                                                                                                                                                                                                                                                                                                                                                                                                                                                                                                                                                                                                                                                                                                                                                                                                                                                                                                                                                                                                                                                                                                                                                                                                                                                                                                                                                                                                                                                                             | 0 8.4<br>0 12.1                                                                                                                                                                                                                                                                                                                                                                                                                                                                                                                                                                                                                                                                                                                                                                                                                                                                                                                                                                                                                                                                                                                                                                                                                                                                                                                                                                                                                                                                                                                                                                                                                                                                                                                                                                                                                                                                                                                                                                                                                                                                                                                | 16 6,04<br>10 5,10                                           |
| 6 1.19 128 MAN                                                                                                                                                                                                                                                                                                                                                                                                                                                                                                                                                                                                                                                                                                                                                                                                                                                                                                                                                                                                                                                                                                                                                                                                                                                                                                                                                                                                                                                                                                                                                                                                                                                                                                                                                                                                                                                                                                                                                                                                                                                                                                                 | 1.04                                                                                                                                                                                                                                                                                                                                                                                                                                                                                                                                                                                                                                                                                                                                                                                                                                                                                                                                                                                                                                                                                                                                                                                                                                                                                                                                                                                                                                                                                                                                                                                                                                                                                                                                                                                                                                                                                                                                                                                                                                                                                                                           | 1.06                                                                                                                                                                                                                                                                                                                                                                                                                                                                                                                                                                                                                                                                                                                                                                                                                                                                                                                                                                                                                                                                                                                                                                                                                                                                                                                                                                                                                                                                                                                                                                                                                                                                                                                                                                                                                                                                                                                                                                                                                                                                                                                           | 1,00                                                                                                                                                                                                                                                                                                                                                                                                                                                                                                                                                                                                                                                                                                                                                                                                                                                                                                                                                                                                                                                                                                                                                                                                                                                                                                                                                                                                                                                                                                                                                                                                                                                                                                                                                                                                                                                                                                                                                                                                                                                                                                                          | 5 0,9                                                                                                                                                                                                                                                                                                                                                                                                                                                                                                                                                                                                                                                                                                                                                                                                                                                                                                                                                                                                                                                                                                                                                                                                                                                                                                                                                                                                                                                                                                                                                                                                                                                                                                                                                                                                                                                                                                                                                                                                                                                                                        | 7 1.05                                                                                                                                                                                                                                                                                                                                                                                                                                                                                                                                                                                                                                                                                                                                                                                                                                                                                                                                                                                                                                                                                                                                                                                                                                                                                                                                                                                                                                                                                                                                                                                                                                                                                                                                                                                                                                                                                                                                                                                                                                                                                                                         | +0.08<br>+0.01                        | 4,677,96                                                                                                                                                                                                                                                                                                                                                                                                                                                                                                                                                                                                                                                                                                                                                                                                                                                                                                                                                                                                                                                                                                                                                                                                                                                                                                                                                                                                                                                                                                                                                                                                                                                                                                                                                                                                                                                                                                                                                                                                                                                                                                                       | 8 4.:                                                                                                                                                                                                                                                                                                                                                                                                                                                                                                                                                                                                                                                                                                                                                                                                                                                                                                                                                                                                                                                                                                                                                                                                                                                                                                                                                                                                                                                                                                                                                                                                                                                                                                                                                                                                                                                                                                                                                                                                                                                                                                                          | 57 14.29                                                     |
| 3 7.26 192 建卡佩 B<br>383 用光傳呼                                                                                                                                                                                                                                                                                                                                                                                                                                                                                                                                                                                                                                                                                                                                                                                                                                                                                                                                                                                                                                                                                                                                                                                                                                                                                                                                                                                                                                                                                                                                                                                                                                                                                                                                                                                                                                                                                                                                                                                                                                                                                                   | 0.6                                                                                                                                                                                                                                                                                                                                                                                                                                                                                                                                                                                                                                                                                                                                                                                                                                                                                                                                                                                                                                                                                                                                                                                                                                                                                                                                                                                                                                                                                                                                                                                                                                                                                                                                                                                                                                                                                                                                                                                                                                                                                                                            | namental de la constitue de la                                                                                                                                                                                                                                                                                                                                                                                                                                                                                                                                                                                                                                                                                                                                                                                                                                                                                                                                                                                                                                                                                                                                                                                                                                                                                                                                                                                                                                                                                                                                                                                                                                                                                                                                                                                                                                                                                                                                                                                                                 |                                                                                                                                                                                                                                                                                                                                                                                                                                                                                                                                                                                                                                                                                                                                                                                                                                                                                                                                                                                                                                                                                                                                                                                                                                                                                                                                                                                                                                                                                                                                                                                                                                                                                                                                                                                                                                                                                                                                                                                                                                                                                                                               | Lancation of Contrary.                                                                                                                                                                                                                                                                                                                                                                                                                                                                                                                                                                                                                                                                                                                                                                                                                                                                                                                                                                                                                                                                                                                                                                                                                                                                                                                                                                                                                                                                                                                                                                                                                                                                                                                                                                                                                                                                                                                                                                                                                                                                       |                                                                                                                                                                                                                                                                                                                                                                                                                                                                                                                                                                                                                                                                                                                                                                                                                                                                                                                                                                                                                                                                                                                                                                                                                                                                                                                                                                                                                                                                                                                                                                                                                                                                                                                                                                                                                                                                                                                                                                                                                                                                                                                                |                                       |                                                                                                                                                                                                                                                                                                                                                                                                                                                                                                                                                                                                                                                                                                                                                                                                                                                                                                                                                                                                                                                                                                                                                                                                                                                                                                                                                                                                                                                                                                                                                                                                                                                                                                                                                                                                                                                                                                                                                                                                                                                                                                                                |                                                                                                                                                                                                                                                                                                                                                                                                                                                                                                                                                                                                                                                                                                                                                                                                                                                                                                                                                                                                                                                                                                                                                                                                                                                                                                                                                                                                                                                                                                                                                                                                                                                                                                                                                                                                                                                                                                                                                                                                                                                                                                                                |                                                              |
| 616 益業集職<br>623 幸福戌具                                                                                                                                                                                                                                                                                                                                                                                                                                                                                                                                                                                                                                                                                                                                                                                                                                                                                                                                                                                                                                                                                                                                                                                                                                                                                                                                                                                                                                                                                                                                                                                                                                                                                                                                                                                                                                                                                                                                                                                                                                                                                                           | 0.8<br>0.8                                                                                                                                                                                                                                                                                                                                                                                                                                                                                                                                                                                                                                                                                                                                                                                                                                                                                                                                                                                                                                                                                                                                                                                                                                                                                                                                                                                                                                                                                                                                                                                                                                                                                                                                                                                                                                                                                                                                                                                                                                                                                                                     | i canalaging                                                                                                                                                                                                                                                                                                                                                                                                                                                                                                                                                                                                                                                                                                                                                                                                                                                                                                                                                                                                                                                                                                                                                                                                                                                                                                                                                                                                                                                                                                                                                                                                                                                                                                                                                                                                                                                                                                                                                                                                                                                                                                                   |                                                                                                                                                                                                                                                                                                                                                                                                                                                                                                                                                                                                                                                                                                                                                                                                                                                                                                                                                                                                                                                                                                                                                                                                                                                                                                                                                                                                                                                                                                                                                                                                                                                                                                                                                                                                                                                                                                                                                                                                                                                                                                                               | i. g grand dan je                                                                                                                                                                                                                                                                                                                                                                                                                                                                                                                                                                                                                                                                                                                                                                                                                                                                                                                                                                                                                                                                                                                                                                                                                                                                                                                                                                                                                                                                                                                                                                                                                                                                                                                                                                                                                                                                                                                                                                                                                                                                            |                                                                                                                                                                                                                                                                                                                                                                                                                                                                                                                                                                                                                                                                                                                                                                                                                                                                                                                                                                                                                                                                                                                                                                                                                                                                                                                                                                                                                                                                                                                                                                                                                                                                                                                                                                                                                                                                                                                                                                                                                                                                                                                                |                                       | 864,00                                                                                                                                                                                                                                                                                                                                                                                                                                                                                                                                                                                                                                                                                                                                                                                                                                                                                                                                                                                                                                                                                                                                                                                                                                                                                                                                                                                                                                                                                                                                                                                                                                                                                                                                                                                                                                                                                                                                                                                                                                                                                                                         | 0                                                                                                                                                                                                                                                                                                                                                                                                                                                                                                                                                                                                                                                                                                                                                                                                                                                                                                                                                                                                                                                                                                                                                                                                                                                                                                                                                                                                                                                                                                                                                                                                                                                                                                                                                                                                                                                                                                                                                                                                                                                                                                                              |                                                              |
| Contract Con | 1.0                                                                                                                                                                                                                                                                                                                                                                                                                                                                                                                                                                                                                                                                                                                                                                                                                                                                                                                                                                                                                                                                                                                                                                                                                                                                                                                                                                                                                                                                                                                                                                                                                                                                                                                                                                                                                                                                                                                                                                                                                                                                                                                            |                                                                                                                                                                                                                                                                                                                                                                                                                                                                                                                                                                                                                                                                                                                                                                                                                                                                                                                                                                                                                                                                                                                                                                                                                                                                                                                                                                                                                                                                                                                                                                                                                                                                                                                                                                                                                                                                                                                                                                                                                                                                                                                                | ered in the secondar                                                                                                                                                                                                                                                                                                                                                                                                                                                                                                                                                                                                                                                                                                                                                                                                                                                                                                                                                                                                                                                                                                                                                                                                                                                                                                                                                                                                                                                                                                                                                                                                                                                                                                                                                                                                                                                                                                                                                                                                                                                                                                          | \$46 c             -   -   -   -   -   -   -   -   -   -   -   -   -   -   -   -   -   -   -   -   -   -   -   -   -   -   -   -   -   -   -   -   -   -   -   -   -   -   -   -   -   -   -   -   -   -   -   -   -   -   -   -   -   -   -   -   -   -   -   -   -   -   -   -   -   -   -   -   -   -   -   -   -   -   -   -   -   -   -   -   -   -   -   -   -   -   -   -   -   -   -   -   -   -   -   -   -   -   -   -   -   -   -   -   -   -   -   -   -   -   -   -   -   -   -   -   -   -   -   -   -   -   -   -   -   -   -   -   -   -   -   -   -   -   -   -   -   -   -   -   -   -   -   -   -   -   -   -   -   -   -   -   -   -   -   -   -   -   -   -   -   -   -   -   -   -   -   -   -   -   -   -   -   -   -   -   -   -   -   -   -   -   -   -   -   -   -   -   -   -   -   -   -   -   -   -   -   -   -   -   -   -   -   -   -   -   -   -   -   -   -   -   -   -   -   -   -   -   -   -   -   -   -   -   -   -   -   -   -   -   -   -   -   -   -   -   -   -   -   -   -   -   -   -   -   -   -   -   -   -   -   -   -   -   -   -   -   -   -   -   -   -   -   -   -   -   -   -   -   -   -   -   -   -   -   -   -   -   -   -   -   -   -   -   -   -   -   -   -   -   -   -   -   -   -   -   -   -   -   -   -   -   -   -   -   -   -   -   -   -   -   -   -   -   -   -   -   -   -   -   -   -   -   -   -   -   -   -   -   -   -   -   -   -   -   -   -   -   -   -   -   -   -   -   -   -   -   -   -   -   -   -   -   -   -   -   -   -   -   -   -   -   -   -   -   -   -   -   -   -   -   -   -   -   -   -   -   -   -   -   -   -   -   -   -   -   -   -   -   -   -   -   -   -   -   -   -   -   -   -   -   -   -   -   -   -   -   -   -   -   -   -   -   -   -   -   -   -   -   -   -   -   -   -   -   -   -   -   -   -   -   -   -   -   -   -   -   -   -   -   -   -   -   -   -   -   -   -   -   -   -   -   -   -   -   -   -   -   -   -   -   -   -   -   -   -   -   -   -   -   -   -   -   -   -   -   -   -   -   -   -   -   -   -   -   -   -   -   -   -   -   -   -   -   -   -   -   -   - | auferter - reeterfission.                                                                                                                                                                                                                                                                                                                                                                                                                                                                                                                                                                                                                                                                                                                                                                                                                                                                                                                                                                                                                                                                                                                                                                                                                                                                                                                                                                                                                                                                                                                                                                                                                                                                                                                                                                                                                                                                                                                                                                                                                                                                                                      | al a construction                     | 124,00                                                                                                                                                                                                                                                                                                                                                                                                                                                                                                                                                                                                                                                                                                                                                                                                                                                                                                                                                                                                                                                                                                                                                                                                                                                                                                                                                                                                                                                                                                                                                                                                                                                                                                                                                                                                                                                                                                                                                                                                                                                                                                                         |                                                                                                                                                                                                                                                                                                                                                                                                                                                                                                                                                                                                                                                                                                                                                                                                                                                                                                                                                                                                                                                                                                                                                                                                                                                                                                                                                                                                                                                                                                                                                                                                                                                                                                                                                                                                                                                                                                                                                                                                                                                                                                                                | and the second                                               |
| 30 佳紀                                                                                                                                                                                                                                                                                                                                                                                                                                                                                                                                                                                                                                                                                                                                                                                                                                                                                                                                                                                                                                                                                                                                                                                                                                                                                                                                                                                                                                                                                                                                                                                                                                                                                                                                                                                                                                                                                                                                                                                                                                                                                                                          |                                                                                                                                                                                                                                                                                                                                                                                                                                                                                                                                                                                                                                                                                                                                                                                                                                                                                                                                                                                                                                                                                                                                                                                                                                                                                                                                                                                                                                                                                                                                                                                                                                                                                                                                                                                                                                                                                                                                                                                                                                                                                                                                | and the section with                                                                                                                                                                                                                                                                                                                                                                                                                                                                                                                                                                                                                                                                                                                                                                                                                                                                                                                                                                                                                                                                                                                                                                                                                                                                                                                                                                                                                                                                                                                                                                                                                                                                                                                                                                                                                                                                                                                                                                                                                                                                                                           | i ir-life-lilefinna                                                                                                                                                                                                                                                                                                                                                                                                                                                                                                                                                                                                                                                                                                                                                                                                                                                                                                                                                                                                                                                                                                                                                                                                                                                                                                                                                                                                                                                                                                                                                                                                                                                                                                                                                                                                                                                                                                                                                                                                                                                                                                           | •••••                                                                                                                                                                                                                                                                                                                                                                                                                                                                                                                                                                                                                                                                                                                                                                                                                                                                                                                                                                                                                                                                                                                                                                                                                                                                                                                                                                                                                                                                                                                                                                                                                                                                                                                                                                                                                                                                                                                                                                                                                                                                                        |                                                                                                                                                                                                                                                                                                                                                                                                                                                                                                                                                                                                                                                                                                                                                                                                                                                                                                                                                                                                                                                                                                                                                                                                                                                                                                                                                                                                                                                                                                                                                                                                                                                                                                                                                                                                                                                                                                                                                                                                                                                                                                                                | - <del>-</del>                        | _                                                                                                                                                                                                                                                                                                                                                                                                                                                                                                                                                                                                                                                                                                                                                                                                                                                                                                                                                                                                                                                                                                                                                                                                                                                                                                                                                                                                                                                                                                                                                                                                                                                                                                                                                                                                                                                                                                                                                                                                                                                                                                                              |                                                                                                                                                                                                                                                                                                                                                                                                                                                                                                                                                                                                                                                                                                                                                                                                                                                                                                                                                                                                                                                                                                                                                                                                                                                                                                                                                                                                                                                                                                                                                                                                                                                                                                                                                                                                                                                                                                                                                                                                                                                                                                                                | 1,37                                                         |
| 30 年代来                                                                                                                                                                                                                                                                                                                                                                                                                                                                                                                                                                                                                                                                                                                                                                                                                                                                                                                                                                                                                                                                                                                                                                                                                                                                                                                                                                                                                                                                                                                                                                                                                                                                                                                                                                                                                                                                                                                                                                                                                                                                                                                         | And the second s |                                                                                                                                                                                                                                                                                                                                                                                                                                                                                                                                                                                                                                                                                                                                                                                                                                                                                                                                                                                                                                                                                                                                                                                                                                                                                                                                                                                                                                                                                                                                                                                                                                                                                                                                                                                                                                                                                                                                                                                                                                                                                                                                |                                                                                                                                                                                                                                                                                                                                                                                                                                                                                                                                                                                                                                                                                                                                                                                                                                                                                                                                                                                                                                                                                                                                                                                                                                                                                                                                                                                                                                                                                                                                                                                                                                                                                                                                                                                                                                                                                                                                                                                                                                                                                                                               |                                                                                                                                                                                                                                                                                                                                                                                                                                                                                                                                                                                                                                                                                                                                                                                                                                                                                                                                                                                                                                                                                                                                                                                                                                                                                                                                                                                                                                                                                                                                                                                                                                                                                                                                                                                                                                                                                                                                                                                                                                                                                              | mannagan remap                                                                                                                                                                                                                                                                                                                                                                                                                                                                                                                                                                                                                                                                                                                                                                                                                                                                                                                                                                                                                                                                                                                                                                                                                                                                                                                                                                                                                                                                                                                                                                                                                                                                                                                                                                                                                                                                                                                                                                                                                                                                                                                 |                                       |                                                                                                                                                                                                                                                                                                                                                                                                                                                                                                                                                                                                                                                                                                                                                                                                                                                                                                                                                                                                                                                                                                                                                                                                                                                                                                                                                                                                                                                                                                                                                                                                                                                                                                                                                                                                                                                                                                                                                                                                                                                                                                                                | er mystern                                                                                                                                                                                                                                                                                                                                                                                                                                                                                                                                                                                                                                                                                                                                                                                                                                                                                                                                                                                                                                                                                                                                                                                                                                                                                                                                                                                                                                                                                                                                                                                                                                                                                                                                                                                                                                                                                                                                                                                                                                                                                                                     | 100 miles                                                    |
| 3.50                                                                                                                                                                                                                                                                                                                                                                                                                                                                                                                                                                                                                                                                                                                                                                                                                                                                                                                                                                                                                                                                                                                                                                                                                                                                                                                                                                                                                                                                                                                                                                                                                                                                                                                                                                                                                                                                                                                                                                                                                                                                                                                           | ***************************************                                                                                                                                                                                                                                                                                                                                                                                                                                                                                                                                                                                                                                                                                                                                                                                                                                                                                                                                                                                                                                                                                                                                                                                                                                                                                                                                                                                                                                                                                                                                                                                                                                                                                                                                                                                                                                                                                                                                                                                                                                                                                        |                                                                                                                                                                                                                                                                                                                                                                                                                                                                                                                                                                                                                                                                                                                                                                                                                                                                                                                                                                                                                                                                                                                                                                                                                                                                                                                                                                                                                                                                                                                                                                                                                                                                                                                                                                                                                                                                                                                                                                                                                                                                                                                                | Parameter and the second                                                                                                                                                                                                                                                                                                                                                                                                                                                                                                                                                                                                                                                                                                                                                                                                                                                                                                                                                                                                                                                                                                                                                                                                                                                                                                                                                                                                                                                                                                                                                                                                                                                                                                                                                                                                                                                                                                                                                                                                                                                                                                      | er attanse samme<br>er samsgreigesken                                                                                                                                                                                                                                                                                                                                                                                                                                                                                                                                                                                                                                                                                                                                                                                                                                                                                                                                                                                                                                                                                                                                                                                                                                                                                                                                                                                                                                                                                                                                                                                                                                                                                                                                                                                                                                                                                                                                                                                                                                                        | mingapan da managan da<br>Managan da managan da m                                                                                                                                                                                                                                                                                                                                                                                                                                                                                                                                                                                                                                                                                                                                                                                                                                                                                                                                                                                                                                                                                                                                                                                                                                                                                                                                                                                                                                                                                                                                                                                                                                                                                                                                                                                                                                                                                              |                                       | nii ka lalaaniniista                                                                                                                                                                                                                                                                                                                                                                                                                                                                                                                                                                                                                                                                                                                                                                                                                                                                                                                                                                                                                                                                                                                                                                                                                                                                                                                                                                                                                                                                                                                                                                                                                                                                                                                                                                                                                                                                                                                                                                                                                                                                                                           | A CONTRACTOR OF THE PROPERTY O | Accorded to the second                                       |
| 30 mm.                                                                                                                                                                                                                                                                                                                                                                                                                                                                                                                                                                                                                                                                                                                                                                                                                                                                                                                                                                                                                                                                                                                                                                                                                                                                                                                                                                                                                                                                                                                                                                                                                                                                                                                                                                                                                                                                                                                                                                                                                                                                                                                         | American stylescent                                                                                                                                                                                                                                                                                                                                                                                                                                                                                                                                                                                                                                                                                                                                                                                                                                                                                                                                                                                                                                                                                                                                                                                                                                                                                                                                                                                                                                                                                                                                                                                                                                                                                                                                                                                                                                                                                                                                                                                                                                                                                                            | particular de la companya de la comp | A Commence of the Commence of | emaining of the second                                                                                                                                                                                                                                                                                                                                                                                                                                                                                                                                                                                                                                                                                                                                                                                                                                                                                                                                                                                                                                                                                                                                                                                                                                                                                                                                                                                                                                                                                                                                                                                                                                                                                                                                                                                                                                                                                                                                                                                                                                                                       |                                                                                                                                                                                                                                                                                                                                                                                                                                                                                                                                                                                                                                                                                                                                                                                                                                                                                                                                                                                                                                                                                                                                                                                                                                                                                                                                                                                                                                                                                                                                                                                                                                                                                                                                                                                                                                                                                                                                                                                                                                                                                                                                |                                       | rapper Schools and a secondary                                                                                                                                                                                                                                                                                                                                                                                                                                                                                                                                                                                                                                                                                                                                                                                                                                                                                                                                                                                                                                                                                                                                                                                                                                                                                                                                                                                                                                                                                                                                                                                                                                                                                                                                                                                                                                                                                                                                                                                                                                                                                                 |                                                                                                                                                                                                                                                                                                                                                                                                                                                                                                                                                                                                                                                                                                                                                                                                                                                                                                                                                                                                                                                                                                                                                                                                                                                                                                                                                                                                                                                                                                                                                                                                                                                                                                                                                                                                                                                                                                                                                                                                                                                                                                                                |                                                              |



合約總數

息高

032 香港隧道 003 中華媒氣 008 香港電燈 050 香港小輪 008 香港電訊 082 九龍汽車

024 - 實際國際

123 嘉宏集團

356 世紀城市(豫章) 025 其土醫際 188. 正大 118 周生生 367 莊士機構 487 冠惺頓: 353 牛奶酮聯 441 實際洋行 (034) 愛美高(神事) 036 達東投資 142 第一太平 677 金潭米業 270 粤海投資 284 公和样 013. 和記黄埔 666 新燒基工業 015 怡和拉股 100 仁字 191 農新國際 184 廖創與 (華島 478 名力集團 224 建生酮原 879 亞洲企業 281 川河集階 248 森那美 019 太山岸行人 D47 太古洋伊里 | 004 | 九龍倉集團 | |280|||水安集圏 (準事) 532 王氏港建 020 薩豐剛縣 175 忠正国際

056 聯合旅產 101 海大蟹栗 1022. 類解安 129 泛海 184 BEAZER (MA) **製鋼機數** 801.7 687 志成工程 001. 提打實業 118 急祥置業 130 中華製業(編集)

合約總數

勿地打馬士基MATHILDE MAERSK(下午四時)新加坡 今日出口船隻 11月14日 實 隆 本港金融外幣行情表(11月7日) MALAN(上午七時) 11月14日 宏 光 今日明日出入口船隻 KAISHUN(上午) 海費 AURORA(中午) 11月14日 益高 ZIM SYDNEY(下午) 新興 賓荔美娜 BUNGA MELOR(中午) OCEAN ELITE(上午) PANAMA MARU(下午八時) 新加坡 PRINCESS(下午)。 A14 馬來光藥 - MALAYSIA GLORY(中午). 開市 3283 BI2 1 SPECO KING(上年) TRIESTE(下午三時) 祥 最高 3292 SUQI(上午)。 基斯尼夫 TIKHON KISELEV(下午) 関際稿 11月14日 富 鵬 最低 3283 MILD SPLENDOUR(下生) B26新星加坡 ZIM SINGAPORE 新加坡 收市 3291 KUO CHIA(下午七時) 溎 SEA PEARL(下午) SUHE(下午六時) WASPADA(上午十時) 11月15日 港 現代橋 BAY BRIDGE(上午) 西北太平洋 +總統PRES∴ PIERCE(上午) :號TRANS PACIFIC 2(下午): |約現代橋 其ARTHUR MAERSK(下午) 西北太平洋 COLUMBUS PAPUA(上午六時)新畿内亞 11月15日 大 阪 YAMATOMO(上午二時) ASIAN ORCHID(上午) FAIR BRIEGE(下午四時) 11月15日 偉 陶南九號 DONAM NO.9(下午六時) UNITED FUNG(下午六時) BINCHENG 11月15日 馬士基 馬烈馬士基MARIT MAERSK(下午十時) 新加坡歌莉SINGAPURE GLORY(上午) KAIYUAN(下午) 雅打馬士基ARTHUR MAERSK(上午五時) 美國 11月15日 日 鄞 VELA(下午)。 和· LANGEBERG(下年四時) HANJIN ROTTERDAM(下午三時)歐洲 11月15日 遂 台灣日 KUPRES(下午) 華海 MING MOON 利芝娜馬士基REGINA MAERSK(上午十一時)歐洲 11月15日 港 奥 MING STAR(上午) 貿易場似價 MARINE ROSE NL、DELFT(下午四時) A34 11月15日 太 WASPADA(下午) 海皇永昌 NEP. CRYSTAL(上年八時) FISHGUARD BAY(下午六時) 新加坡 A22 NEW HAI HUA(下午十時) 11月15日 韓 進 CITY OF EDINBURGH(下午七時)歐洲 A35 新加坡 NEW HALTENG(下午五時) 11月15日 日 郵 DONAM NO.7(下午七時) 泛太平洋二號TRANS PACIFIC 20 現代橋 ORIENTAL BAY(上牛) KUO WEI(上午十時) A39 11月15日 富 新 DONAM NO.9(上午) RHEIN BRIDGE(下午) RHEIN BRIDGE(上午十一時半) 歐洲 11月15日 富 鵬 OCEAN CROWN(E45) KOTA RIA(下午) 新加坡 CALIFORNIA ZEUS(下午七時) 美國 海廈 11月15日 欣 洋 **FUCHUN** SL. NAVIGATOR(下午) 新海騰 NEW HAI TENG(上午六時) 國際權 W. H. 202 MEKHANIK KURAKO(上午) 招商局 A60 KOTA RIA(上午十時) ASIAN EXPRESS(中午) 寶隆 NL. DELFT(上午) 利來福 11月15日 富農 · PRELUDE(下午三時) SUPER NINE(上午) A20 HAI HUA(下午) **A**9 葪 11月15日 欣 洋 NEW HAI HUA(上午七時) 新海草 馬土基多路MAERSK TAURO(下午) 馬士基 SHI ZUI SHAN(上午八時) . 補 11月15日 向 陶南七號 DONAM NO.7(上午) 鄭 OCEAN CROWN(下午七時) 11月15日 海 王 W. H. 202(上午) 遠東貿易者F.E. TRADER(下午) A40 國際橋 WAH YEE(上午八時) 海 FUCHUN(上午) 11月15日 韓 進 馬來光榮 MALAYSIA GLORY ZIM EILAT(午夜) 海陸橋 海陸 新加坡 SL. MARINER(上午) 11月15日 韓 進 KUO WEI(上午) 易者F.E. TRADER(午夜) UNI. FORWARD(下午一時) 11月15日 馬士基 KONG TONG DAO(上午八時) HANJIN ROTTERDAM(上午) 韓 進 鹿特丹 招商卸货厂单 - 西南太平洋 ALLIGATOR TRIUMPH(下午十時)美國 SL。MARINER(下午) 西北太平洋 11月15日 實 隆 FELIZ TRADER(上午八時) UNITED SING(上午三時) AUST ENDEAVOUR([4]) 怡 和 OOCL ALLIANCE(下午五時) 11月15日 利 連 - VILLE DE VIRGO(下午十一時) 地中海 LEYUQUAN(上午六時) 現代橋 CALIFORNIA ZEUS 西北太平洋 郵 馬士基 11月15日 利 達 馬士基多路MAERSK TAURO(上午二時) KIEN HWA 2(上午六時) ACX ROSE 郵 東方神箭 OOCL ARROW(下午八時) 國際橋 11月15日 欣 洋 愛登堡城 CITY OF EDINBURGH(中午) 日本 SINO CREDIT(下午三時) 不來梅勝利BREMEN SENATOR(中午) 11月15日 韓 進 MILD SPLENDOUR(上午一時) 台灣 雅士玫瑰 ACX ROSE(上午九時) 新加坡 FISHGUARD BAY(卡牛) SL. DEVELOPER(下午) HAI TONG(上午…時) KUO CHIA(下午) 11月16日 港 郵 屬烈馬士基MARIT MAERSK 11月16日 港 恆 東方同盟 OOCL ALLIANCE PRELUDE(上午) 國際權 11月16日 國 光 利芝蘭馬士基REGINA MAERSK(上午) 11月16日 輝 騰 FAX: 541 2084 (入口 SINO CREDIT(下午) 11月16日 歷 信 四阳高局船務企業有限公司 TEL:總機: 852 /688 815 1837、出口 TIAN YAN(下午) 11月16日 海 隆 WU JIANG(下午) 11月16日 總 銃 負櫃:852-7653(田口 YAMATOMO(下午) 11月16日 馬士基 852 7652(入口) ZIM EILAT(下午) 11月16日 馬士基 散貨:852 7641(出口) 建華二號 KIEN HWA 2(上午) 香港干諾道中152-155號招商局大厦 2.11.12.13.14樓 11月16日 恰 和 852 7620(入口 TLX: 61971 CMSNC HX 入口 69 39 CMSFA HX 出口 上海海興輸船有限公司 離港期 航次 收貨期 抵港期 70079 8271660 海典 HAIXING 12-14/11 17/11 海典 HAIXING 2/12 27-29/11 罗斯鲁复组物 海興 HAIXING 12-14/12 12/12.V.43 17/12 : 朝聯船務有限公司 海達HAIDA 6-7/11 .12/11 **V.28** 22/11 27/11 海達HAIDA V.30 22-24/1 定对容貨組織 每月雨航次 香港定期直航美國加拿大全貨櫃航線 每月一航次 中國遠洋運輸公司浙江省公司 WEST COAST & CANADA 每月一航次 CY corgo LONG BEACH/TOS ANGELES/OAKLAND/ SAN FRANCISCO/SEATTLE/VANCOUVER V.35/36 5/11=8/1 10/11 **衛江 QUJIANG** 香港。土田沙皮 CY cargo PORTLAND/TACOMA/LONGVIEW TORONTO/MONTREAL INIT VANCOUVERT LONG BEACH) 洲、軍德 每月雨航次 V.58/59 15/1 - 18/11 消腾 ZHELI 21/11 20/11 選州/海門 1/12 30/11 氷鸛 ZHELI 25/ I 1 28/ I I Accepting CFS/CY come: NEW YORK/CHARLESTON/HOUSETON 26/11 定期貨額收輪) V.51/52 20/11-23/11 渐难 ZHEYAN 每月 1,11,21 日抵香港 10/11-13/11 16/11 朝月5號火 渐度 ZHEYAN 11/11 抵香港 8/11 抵香港 8/11 抵香港 37E 4/12 6/12 24/12 25/12 27/12·28/12 29/12 13/1 毎月二航次 新跳 ZHEKUN 福州11月8日抵香港 毎月一航次 香港直航南美洲貨櫃航線(東岸) →福州11月4日抵香油 MONTE BURNOS 天天收貨 ETA/ETD SANTOS VIDEO 1,20,30 抵香 次日裝貨離香 2-3/11服海山 YANDANGSHAN 7-8/11 20 13/1 15.25 抵香 次日装貨車香 雁海山 YANDANGSHAN 20-21/11 21/11 24/11 18- 19/ III 苯列密氨纸铂 \*兼收整箱貨櫃 星期日離香往廈門 Receiving Stauer CY & CFS: TYTL 60 Taing Yi Island Inside EURO ASIA SHIP YA TEL: 4979590 & 4979670 長沙灣・灣仔・九龍灣 有限 輸船 香港特快定期十直航中東全新貨櫃航線 HUA LI HE Accepting FCL+LCL Cargo for: | DUBAL/SHARJAH, DAMMAM & KARAOHI
Also accepting FCL Cargo for | ABU DHABL, DDHA, MUSCAT/MINA DABOOS BLYADH, 兼收沈陽,營口,遼陽,吉林及長春 RECEIVING STATION: CY-FLOATA DEPOT'K' TUEN MUN 4637869, BANDAR ABBAS AND OTHER PORTS 4/|| 抵港 勇敢 GALLANTRY PECHNERS. HKG, 48/11 每月一航次 木星 MUSING 23/11 GAO CHENG RECEIVING STATION: DY 4 0F5: TTL 60 TSING THE ISLAND ( INSIDE EURO ABIA COMPANY LIMITED SHPYARD) TEL:4979500 中國遠洋運輸公司江蘇省公司 司貨運代理) FU YU'SHAN FU WEN SHAN AUGHT RD., WEST, H.K. FAX(傳道機): 8153559 江安 JIANGAN 10/11 抵港 雨花 YUHUA SPORE PENANG P.KL. B.K.K. **懺傳):66604 EPFCL HX** 13/11 15/11 22/11 20/11 24/11 26/1 +LIANG SHAN 18/11 20/11 25/11 28/11 28/11 --**造十、二十、三十** 揚子江輪船股份有限公司 \*RECEIVING STATION: OY & CFS. TYTE, SO TSING YEISLAND (INSIDE EURO ASIA SHIPYARO) **達十五、廿五** TEL: 4979590 & 4979670 000Kgs)包括機重 ARECEIVING STATION: CY-HIT BERTH NO. 4 楊子江2 楊子江| RECEIVING STATION: FLOATA K TUEN MUN DIRECT CALL PENANG 每月一航次 : 毎月一航次 進一、十一、廿一 YANGZIJIANG 2 YANGZIJIANG 逢四、十四、廿四 進六、十六、廿六 中國遠洋運輸公司河北省公司 MANILA 進八、十八、廿八 ETD HKG SOUTH NORTH SEA DRAGON 逢星期一 逢星期三 逢星期五 SEA DRÁGON 17/11 SEA DRAGON 24/11 逢十、二十、三十 2/11抵港 實體/教貨運輸 业率 FENGNING **達八、十八、廿八** 安國 ANGUO 毎月一航次 **建五、十五、廿五** 安新 ANXIN 5/11抵港 不定期 期准二音 雅 東光 DONG GUANG 毎月一航次 LING QUAN HE 23/11 20/11 21/11 東州県 GUANG HE | 21/11 | 27/11 | Ž8/11' - | 29/11 Receiving Station CY & CFS: TYTE 60 TRING YI ISLAND (INSIDE EURO ARIA SERVICES 廣州振華船務有限公司 BHIPYARD) TEL: 4979580 門、佛山、湛江、 香港直航印尼耶加達/泗水貨櫃航線 、大連、青島之海 JKT ETA HK 馬蘭MALAN 9/11 22/11 20/11 1/12 馬蘭 MALAN 13/11 13/11 14/11 15/12 MING CHENG 6/12 17/12 3/1 18/1 福建省厦門水上運輸公司 **倉、提貨、裝卸船** OUALITY SERVICE OURANTEED DIRECT EXPRESS TRANSIT TIME ? DAYS EX. HAG 每月三航次,三天免费倉期。 BY LAND, SEA & AIR. RECEIVING STATION, TYTE 60 TSING YEISLAND (INSIDE EURO ASIA SHIP YARD) THE 4919690, 4979670 VIDE WITH FULL DOCUMENTATATION: 5438511 | EXT 341, 398, 327 度水蓬 29 **夏水蓬 28** 15/14 船 此 限公司 安徽遠洋連輸公司 CHINA OCEAN SHIPPING CO., ANHUI BRANCH 'imited 汕頭特區碼頭,永泰碼頭,港務局碼頭 上海/香港定期散雜貨服務 **机 机角形**类 天天收貨,每週二航次,上環貨物裝卸區收貨,並可安排相關。 皖祥 WAN XIANG V, 100 ETA 17/11 ETD 20/11 服務,另可安排船邊收貨、超卸。 001 通海駁2001 皖祥 WAN XIANG V. 102 ETA 4/12 ETD 7/12 MELISA 收貨站:灣仔/寶塘萬潘碼頭 TEL:5498137 2/11 OFS 9 12/11 本公司亦承接下列服務: 美麗紗 2/11 GES19--22/11 宏光貨機碼頭有限公司 (CY)作為約71地技 重新:4338622 \* 台灣、南韓之欺貨,類權服務來往番港及中聯 ● 台大城市之火車包卡及陸路零削運輸 红汉里:肠脸有限公司 大厦 ) 電 34 : 4977308。 本港及中轉運輸,拖欄,入欄,拆欄及儲庫 **登地而無須轉權。** 

集装箱各項服務。

◆大歌舞物,可安排專船接運。

● 個俄及歐屬設備拆、轉一條龍服務

、姐「電話:8347227

- 傅属:8347456·

九九金 本地倫敦金 下午 開前 354.5/354.9 355, 3/355, 7 3291 3293 最高 355.4/355.8 355, 5/355, 9, 355.1/355.5 最低 354.5/354.9 3290 收市 355.3/355.7 355. 2/355. 6 息價 -0.50 升降 +7.00 升降 +1.00 阿業标息 隔夜 3.25 一周 3.25 一月 3.75 本旅倫敦製 4.09 熊貓金幣 | 買入 2860 | 賣出 2890 | 鷹捌金幣 | 買入 2845 | 賣出 2853 純金楓葉 買入 2848 賣出 2858 皇家金幣 買入 2845 賣出 2853 统白金属单 | 賢入 2955 | 寶川 2975 | 灣 運 金 | 貿入 2837 | 寶山 2845 白金龍章 買入 2955 賣出 2975 白金樹熊 買入 2920 賣出 2940 純銀楓葉 買入 44 賣出 52 皇 實 買入 2913 賣出 2963 317 長城銀價 400 - 406飾黄金(海南) 3580 飾白金(舟兩) 3950 外幣存款收市牌價及息率 (寶生銀行提供) 質價 賣價 一個月 690.70 691.90 7.4375 法國法郎 138.20 139.40 8.3125 1377, 05 | 1380, 90 德爾馬克 474.20 475.40 瑞士法郎 537.00 538.45 7.375 597. 35 598. 50 新西獺元 434.00 435.15 7.25 5. 875 澳洲元 608.85 610.00 7.8125 E C U 969.75 971.30 9.125 外匯美電(收市價) 翼入 7,7640 實出 7.7650 外幣對港幣買賣價 港匯指數 111.2(-472.10 474.10 594.90 596.90 137.20 138.20 中尼盾 6, 28 6.38 | 新台幣 毎百 加拿大元 每百 687.00 690.00 溴 門 幣 每百 93.00 96.00 外幣對人民幣匯價表(材料來源:中國國家外匯管理總局) 536.74 539.44 新加坡元 一百 318.87 320.47 香港元 一頁 69.25 69.60 澳門元 一百 67.23 67.57

中國遠洋運輸公司 CHINA OCEAN SHIPPING COMPANY

因八月一十年一九九一

總代理:(M)招商局货櫃航運有限公司FAX: 5417534 | F 5422795 2 F 8504025 3 F GENERAL AGENTS: CHINA MERCHANTS CONTAINER LINES LTD。電話:5435511 30線

古海平話道中152~155如指商局大厦1~3樓。電妝:CONEINE HONG KONG 侧直:5函7534。 電傳:62098 CMC1 HX 81212 CMCL HX MACAU AGENTS CHIU LUN AGENCY SHIPPING LIMITED - 電傳:88837 COTS OM 電話:579731 - 5線 - - 圖文傳資:591033 -澳門南台羅保博士中1-3號國際銀行大廈12樓1201-1202室

|     | 香      | 港     | 直    | 航      | 歐    | 洲                  | 貨       | 櫃       | 航    | 線     |
|-----|--------|-------|------|--------|------|--------------------|---------|---------|------|-------|
| ACC | EPTING | FCL   | CARG | 0 ТО:  | ANTW | STOWE,<br>ERP, DU  | INKIRK. | , uk in | LAND | DAM.  |
| ACC | EPTING | 3 LCL | CARG | о, то: |      | NATION:<br>ON. HAM |         |         |      | ANTWE |

ALSO ACCEPTING CARGO TO SINGAPORE / JAKARTA

RECEIVING STATION: CY - HIT BERTH NO. 4; CFS-FAT LEE GODOWN, KWAI CHUNG TEL: 4876789

Closing ETO VDY CFS CY HKG BARCELONA MARSEILLES 6/12 14 12 16/12 24/12 22/12 27W 7/12 8/12 10/12 2/1

CFS'-FAT LEE GODOWN, KWAI CHUNG TEL: 4876789 ACCEPTING CY/CY CARGO TO JEDDAH, LIMASSOL ALEXANDRIA, BEIRUT.

TRIPOLI (LEBANON) 'LATTAKIA, PIRAEUS, MERSIN, (Via LIMASSOL) JEDDAH LIMASSOL 24/11 10/12 23/11 20/12

RECEIVING, CY. FLOA'A DEPOT 'K' TUEN MUN 4637869

| 省 /色          |                                    | 男 化          | 1 刀儿               | 顶床             |
|---------------|------------------------------------|--------------|--------------------|----------------|
| 港口            | 船名                                 | 航次           | 抵港                 | 開航             |
| 青島            | HUA GLONG<br>HUA GLONG             | 9144<br>9146 | , 12/11 ·<br>24/11 | 13/11<br>25/11 |
| 新港            | XIONG YUE CHENG<br>XIONG YUE CHENG | 449<br>451   | 15/11<br>28/11     | 16/11<br>29/11 |
| 上海            | LIN JIANG<br>LIN JIANG             | 429<br>431   | 13/11<br>23/11     | 14/11<br>24/11 |
| 大連            | SHUN JIANG                         | 373          | .25/11             | 26/11          |
| 大連/新港         | XIN HE                             | 62E          | 1/12               | 2/12           |
| 福州/慶門         | LING CHANG HE                      | 28           | 17/11              | 18/11          |
| 黄埔            | GUANG HE<br>AN WU JIANG            | 56<br>  36   | 18/11<br>21/11     | 19/11<br>22/11 |
| 湛江            | YUE HAI 1001                       | 73           | 26/11              | 27/11          |
| 慶門            | AIL AUH                            | 91116        | 22/11              | 23/11          |
| 加膜<br>(海路線線像) | LIAN JIANG                         | 665          | 14/11              | 15/11          |
|               | 进口船隻                               | j.           |                    |                |

| The state of the s |     |       |   | 港口   | 船名     | 航次         | 抵港             |
|--------------------------------------------------------------------------------------------------------------------------------------------------------------------------------------------------------------------------------------------------------------------------------------------------------------------------------------------------------------------------------------------------------------------------------------------------------------------------------------------------------------------------------------------------------------------------------------------------------------------------------------------------------------------------------------------------------------------------------------------------------------------------------------------------------------------------------------------------------------------------------------------------------------------------------------------------------------------------------------------------------------------------------------------------------------------------------------------------------------------------------------------------------------------------------------------------------------------------------------------------------------------------------------------------------------------------------------------------------------------------------------------------------------------------------------------------------------------------------------------------------------------------------------------------------------------------------------------------------------------------------------------------------------------------------------------------------------------------------------------------------------------------------------------------------------------------------------------------------------------------------------------------------------------------------------------------------------------------------------------------------------------------------------------------------------------------------------------------------------------------------|-----|-------|---|------|--------|------------|----------------|
| 月本 SHUN HE<br>TA HE                                                                                                                                                                                                                                                                                                                                                                                                                                                                                                                                                                                                                                                                                                                                                                                                                                                                                                                                                                                                                                                                                                                                                                                                                                                                                                                                                                                                                                                                                                                                                                                                                                                                                                                                                                                                                                                                                                                                                                                                                                                                                                            | 60W | 10/11 | 中 | LIAN | JI ANG | 660<br>84W | 9/11           |
| MING CHENG<br>KANG HE                                                                                                                                                                                                                                                                                                                                                                                                                                                                                                                                                                                                                                                                                                                                                                                                                                                                                                                                                                                                                                                                                                                                                                                                                                                                                                                                                                                                                                                                                                                                                                                                                                                                                                                                                                                                                                                                                                                                                                                                                                                                                                          | 122 | 11/11 |   |      | JI HE  |            | 15/11<br>16/11 |
| NET SEA DRAGON                                                                                                                                                                                                                                                                                                                                                                                                                                                                                                                                                                                                                                                                                                                                                                                                                                                                                                                                                                                                                                                                                                                                                                                                                                                                                                                                                                                                                                                                                                                                                                                                                                                                                                                                                                                                                                                                                                                                                                                                                                                                                                                 |     | [4/11 |   | _    | •      | KOU,(6),   |                |

TITCHBORNE COMPANY LIMITED · 网络特许特别 医克里克斯氏病 医克里克氏病

n kudanko i 19, 6 (kisis 15)

Planet Navigation (Panama) S.A.

香港/馬尼拉定期航線 散貨·貨櫃服務 (CY/CY CFS/CFS & BREAKBULK) 開航 裁貨

12/11 055HS 22/11 23/11 3/12 4/12 057HS

總代理/接幟處: KYCLINE(HK)LTD.TEL: 8153289 散貨收貨站: 金基集運C倉 沙田屬料水478區近小梅沙碼廳 電話:6024700

| 相 名 B M A MARIE AL. SWAMRUZ 新馬尼拉二號ZIM MANILA I 金灣 GOLDEN BAY OOCL AWARD IBN SINA WE SL. ENDURANCE 力沙馬士基LEXA MAERSK 思武 HANJIN CHUNGMU 编系美洲 ALLIGATOR AMERICA 阿詩雅 ALSIA 建植勇士 K. H. CHIVALRY 海龍 SEA DRAGON 浙江 QUJHANG TRADE PINE 百德斯基 MEKHANIK BARDETSKIY 亞譚斯總統PRES. ADAMS 海恩 HAI IN 東方特 CAPE HENRY 東方衛 OOCL CHARITY 亨利角 CAPE HENRY 東方衛 OOCL ARROW 泰堡 TAIBAO EVER GENTRY 浙路公主 NORASIA PRINCESS 大使橋 AMBASSADOR BRITGE EVER GLAMOUR 米哈諾夫 MAKSIM MIKHAYLOV 翡翠 EMERALD I 新海龍 XIN HAI LONG 成利维素 | 基隆     11月11日 新 興     中國海     CHINA SEA     歐洲     11月13日 歷       天津     11月11日 華 夏     W. H. 206     台灣     11月13日 海       台灣     11月11日 海 運     環球成功 GLOBAL SUCCESS     釜山     11月13日 東       歐洲     11月11日 川 崎     徳士頓快輸DRESDEN EXPRESS     歐洲     11月13日 捷                                                                                                                                                                                                                                                                                                                                                                                                                                                                                                                                                                                                                                                                                                                                                                                                                                                                                                                                                                                                                                                                                                                                                                                                                                                                                                                                                                                                                                                                                                                                                                                                                                                                                                                                                                                                                                                            | 時間                                                                                                                                                                                                                                                                                                                                                                                                                                                                                                                                                                                                                                                                                                                                                                                                                                                                                                                                                                                                                                                                                                                                                                                                                                                                                                                                                                                                                                                                                                                                                                                                                                                                                                                                                                                                                                                                                                                                                                                                                                                                                                                          | #                                                                                                                                                                                                                                                                                                                                                                                                                                                                                                                                                                                                                                                                                                                                                                                                                                                                                                                                                                                                                                                                                                                                                                                                                                                                                                                                                                                                                                                                                                                                                                                                                                                                                                                                                                                                                                                                                                                                                                                                                                                                                                                           |
|-----------------------------------------------------------------------------------------------------------------------------------------------------------------------------------------------------------------------------------------------------------------------------------------------------------------------------------------------------------------------------------------------------------------------------------------------------------------------------------------|---------------------------------------------------------------------------------------------------------------------------------------------------------------------------------------------------------------------------------------------------------------------------------------------------------------------------------------------------------------------------------------------------------------------------------------------------------------------------------------------------------------------------------------------------------------------------------------------------------------------------------------------------------------------------------------------------------------------------------------------------------------------------------------------------------------------------------------------------------------------------------------------------------------------------------------------------------------------------------------------------------------------------------------------------------------------------------------------------------------------------------------------------------------------------------------------------------------------------------------------------------------------------------------------------------------------------------------------------------------------------------------------------------------------------------------------------------------------------------------------------------------------------------------------------------------------------------------------------------------------------------------------------------------------------------------------------------------------------------------------------------------------------------------------------------------------------------------------------------------------------------------------------------------------------------------------------------------------------------------------------------------------------------------------------------------------------------------------------------------------------|-----------------------------------------------------------------------------------------------------------------------------------------------------------------------------------------------------------------------------------------------------------------------------------------------------------------------------------------------------------------------------------------------------------------------------------------------------------------------------------------------------------------------------------------------------------------------------------------------------------------------------------------------------------------------------------------------------------------------------------------------------------------------------------------------------------------------------------------------------------------------------------------------------------------------------------------------------------------------------------------------------------------------------------------------------------------------------------------------------------------------------------------------------------------------------------------------------------------------------------------------------------------------------------------------------------------------------------------------------------------------------------------------------------------------------------------------------------------------------------------------------------------------------------------------------------------------------------------------------------------------------------------------------------------------------------------------------------------------------------------------------------------------------------------------------------------------------------------------------------------------------------------------------------------------------------------------------------------------------------------------------------------------------------------------------------------------------------------------------------------------------|-----------------------------------------------------------------------------------------------------------------------------------------------------------------------------------------------------------------------------------------------------------------------------------------------------------------------------------------------------------------------------------------------------------------------------------------------------------------------------------------------------------------------------------------------------------------------------------------------------------------------------------------------------------------------------------------------------------------------------------------------------------------------------------------------------------------------------------------------------------------------------------------------------------------------------------------------------------------------------------------------------------------------------------------------------------------------------------------------------------------------------------------------------------------------------------------------------------------------------------------------------------------------------------------------------------------------------------------------------------------------------------------------------------------------------------------------------------------------------------------------------------------------------------------------------------------------------------------------------------------------------------------------------------------------------------------------------------------------------------------------------------------------------------------------------------------------------------------------------------------------------------------------------------------------------------------------------------------------------------------------------------------------------------------------------------------------------------------------------------------------------|
| 香港<br>性<br>C                                                                                                                                                                                                                                                                                                                                                                                                                                                                            | TRUE   TRANSCRIPTION   TRANSCRIPT | REGIONAL CONTAINER LINES   PAGE   REGIONAL CONTAINER LINES   PAGE   P | 年及企具有限公司 福建業務部  高港灣仔港灣道26號華湖大厦4204室  EL 38.7 19.277 827/409 FAX.8270079 8271660  香港→福州、夏門、羅源 散貨及集装箱航線班輪  香港→福州 (資和) "YONG AN" 毎月再航次 "CHONG AN" 毎月一航次 "MIN WAI LENG 1 HAO" 毎月一航次 "MIN HAI 307" 福州、軍後 毎月再航次 香港→福州 "SONG ZHU MEI 1" 建毎月 1,11,21 日 根香港 "SONG ZHU MEI 2" 11/11 根香港 "SONG ZHU MEI 2" 11/11 根香港 "SONG ZHU MEI 2" 8/11 根香港 "SONG ZHU MEI 2" 11/11 根香港 "HAI ZHAN" 香港 一福州11月8日 根香港 "HIN HAI 2HAN" 香港 一福州11月8日 根香港 "MIN HAI 2HAN" 香港 一福州11月8日 根香港 「MIN HAI 227" 達 10,20,30 紙香 次日東省市 "MIN HAI 227" 達 10,20,30 紙香 次日東省市 "MIN HAI 228" 走 5,15,25 紙香 次日東 "MIN HAI 228" 走 5,15,25 紙香 次日東 "MIN HAI 228" 上 5,15,25 紙香 次日東 "MIN HAI 228" 上 5,15,25 紙香 次日東 "MIN HAI 228" 上 5, |
| 香港一成漢 香港一成漢 香港一版東 香港一版東 香港一版東 香港一上版東 香港一 「選海2"、"選海3"、"選海209 「開東版9"、"閩東版10"、"晚 集 美                                                                                                                                                                                                                                                                                | 山頂<br>山尾<br>定期貨櫃班輪. 貨櫃收貨站: 青衣友聯/土瓜<br>香港→山頭<br>15"、"沖淀012"、<br>海02"<br>海間碼頭<br>上、廣州、<br>東八天一航次<br>每八天一航次<br>每4天一航次<br>每4天一航次<br>數貨定期班輸: 收貨站: 觀塘/醉酒灣卸貨                                                                                                                                                                                                                                                                                                                                                                                                                                                                                                                                                                                                                                                                                                                                                                                                                                                                                                                                                                                                                                                                                                                                                                                                                                                                                                                                                                                                                                                                                                                                                                                                                                                                                                                                                                                                                                                                                                                                                                     | ## ## ## ## ## ## ## ## ## ## ## ## ##                                                                                                                                                                                                                                                                                                                                                                                                                                                                                                                                                                                                                                                                                                                                                                                                                                                                                                                                                                                                                                                                                                                                                                                                                                                                                                                                                                                                                                                                                                                                                                                                                                                                                                                                                                                                                                                                                                                                                                                                                                                                                      | Image: Part                                                                                                                                                                                                                                                                                                                                                                                                                                                                                                                                                                                                                                                                                                                                                                                                                                                                                                                                                                                                                                                                                                                                                                                                                                                                                                                                                                                                                                                                                                                                                                                                                                                                                                                                                                                                                                                                                                                                                                                                                                                                                                                 |

船務部:番港干結適四 (86 - 19) 香港商業中心。 1101 - 1105室

電 話:5596141 - 國文傳說:5591923

電 傳:67859 HKMK F HX

業務服務

香港上環水樂西街177-183號

傳真: 5432030

永總商業中心1206室

電話:8051475~8

船名/航次

"永盛" H9118:

"永髓" H 9120

"永昌" H 9108

KUO CHENATO CHANA TIME AND ANTIO CHENATO CHANA TO CHENAMA TIME AND ANTIO CHENAMA TIME ANTIC CHENAMA TIME ANTIC CHENAMA TIME AND ANTIC CHENAMA TIME ANTIC C

CHINA

香港二 東別家第

香港学 短州 / 史明文:

To Alberta

A B A WAR **##** 

按關/教業

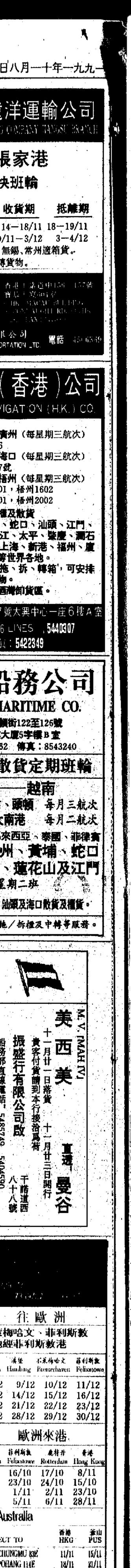
115 7世二 **Till** 

#WT

● 古大城市 ● 本港及中 服務。 ● 機械及職

訂糖及查詢:梅霉潔小姐或邵錦娟小姐 電話:8347227

(香港灣仔港灣道25號海港中心廿一樓2104-6家) 傳真:8347456



Isia

4

Hay Kun

8/11

15/11

0/11

SHALLED FUNG I

FAIHHRUDGE 92

UNITEDFUNG 2 10-- 11/11 13-- 14/11 15/11

新加坡

4/11

11/11 18/11

新加坡 数尼 量解体 LIA VIA SIN SIN SYD MEL 8/12 12/12 11/12 23/12 21/13 VESSEL/VOY FAIRBRIDGE 91

SL. DEVELOPER 西北太平洋紐約11月10日 海 隆 11月18日 歴 信 SAFAR 吉大港 泉州四號 QUANZHOU 4 CAPE HENRY 美國東岸 出口船期預告 線 BEI FENG SHAN SL. ENDURANCE 西北太平洋紐約11月11日 海 陸 力沙馬士基LEXA MAERSK 11月10日 馬士基 海運四一二HAI YUN 412 亞羅斯總統PRES. ADAMS 西北太平洋紐約47月11日 總 統 GOLD HILLA 11月11日 新興 間海三二九MINHAI 329 金希拉 HANJIN CHUNGMU 西北太平洋 11月12日 亞 聯 日期公 THALASSINI AXIA 11月10日 朝 YULONG EVER GENTRY 美関東岸 DELMAS TOURVILLE 11月13日 沙 洲 WAH YEE 11月10日 頻魚美蘭 ALLIGATOR AMERICA 西南太平洋船約11月11日 大 阪 11月14日 大 阪 CONCORD DAISEN TING JIANG 11月10日 華 11月10日 怕 和 不來梅勝利BREMEN SENATOR SHUNHE 美國東加拿大「11月11日」 RIVER ADADA 11月14日 FAIR COSMOS 11月11日 11月10日 馬士基 EVER LEVEL 西北太平洋 力沙馬士基LEXA MAERSK 馬珍馬士基MARCHEN MAERSK 11月11日 華 閩海一○五MINHAI 105 AMBASSADOR BRIDGE 11月10日 招商局 華拉利亞 VALERIA 美國東加拿大 11月12日 川 崎 HUASHUNHE 度水運十五XIASHUIYUN 15 11月11日 華 11月16日 向 火 鼻室協定 ROYAL ACCORD 11月10日 幕 KOTA WIJAYA 尼夫基斯 TIKHON KISELEV QUIJANG 利芝娜馬士基REGINA MAERSK 11月17日 馬士基 ZIM CANADA 洛杉磯紐約 新加拿大 MEKHANIK BARDETSKIY SUHE 11月18日 欣 洋 加州月神 CALIFORNIA LUNA 西北太平洋 11月11日 利 EVER GLAMOUR MILD TRAN 11月12日 **EVER GATHER** 美國東岸 .11月12日 VILLE DE VEGA 地中海歐洲 11月11日 偉 HAI DA 美國東加拿大 11月15日 招商局 JINJJANG 11月12日 TAHE NL. HOUTMAN 地中海歐洲 新馬尼拉二號ZIM MANILA 11月10日 新 舆 SHUN JIANG 11月12日 GOLDEN GATE BRIDGE NORASIA PRINCESS 11月10日 華洋行 西北太平洋 CHAIYA RHUM XIN HAI LONG 11月12日 金 HYUNDAI CHALLENGER 西北太平洋 **EVER ORDER** 11月10日 聯 航 TAKSUN **HUA QING** 11月13日 招商局 胡佛總統 PRES. HOOVER 西北太平洋紐約11月15日 總 统 HANJIN KWANGYANG 11月10日 韓 進 TOKYO BAY QUANZHOU 11月13日 11月10日 亞利來 中華出口商OOCL EXPORTER 西南太平洋紐約11月15日 港 郵 11月13日 RHEIN BRIDGE ANDHIKA KALOKA 11月13日 YU ZHI 3 DSR YOKOHAMA 11月11日 實 輝 SUN KUNG 3 11月13日 美國東岸 KAP. SMIRNOV XIU SHAN 11月13日 向 11月11日 港 郵 11月14日 招商局 朝陽公園 CHOYANG PARK OOCL AWARD XINGHE LUO JIANG 11月13日 實 威 11月11日 振盛行 BOONKRONG I HANJIN KAOHSIUNG 西南太平洋 怡 TIÂN YUE 11月13日 11月11日 向 大 SEA DRAGON 11月14日 華 海 PLEIADES MING GALAXY ○九MIN HAI 109 11月14日 11月12日ADVANCE MELISA 雅打馬士基ARTHUR MAERSK 11月14日 海 洋 西北太平洋紐約11月16日 HUAJIA 11月14日 新加坡巴生庇能11月12日 東 宇 INCHON GLORY 馬烈馬士基MARIT MAERSK 11月15日 韓 西南太平洋紐約11月16日 馬士基 HANIIN MASSAN LIN-JIANG 11月14日 11月13日 東 宇 GLOBAL SUCCESS 11月15日 偉 MING SUN 地中海歐洲 TRADE RESOURCES VILLE DE VENUS 11月15日 11月13日 欣 洋 BOKA SL. FREEDOM 11月15日 11月15日 西北太平洋紐約11月17日 海 隆 RHINE MARU YUN FENG 11月13日 LOUISA NEP. DIAMOND 11月16日 實 隆 MILD VICTORY 11月15日 西北太平洋 NL. DEJIMA 11月13日 日 郵 ACX LILY 新加坡胡志明市印 SAN JIANG 11月15日 11月15日 伯 HANJIN POHANG 西北太平洋 DSR YOKOHAMA 13月13日 金 輪 ROOK CARRIER DONG FENG SHAN 11月15日 華 SL. PATRIOT 西北太平洋紐約11月18日 海 陸 11月16日 港 ACE CONCORD OOCL ARROW 11月13日 港 新加坡印尼 MINHAI 224 11月15日 PRES. JACKSON 西北太平洋紐約11月18日 總 统 11月16日 POKOJ LUCIE SCHULTE 11月15日 港 EVER LIVING 利芝娜馬士基REGINA MAERSK 西北太平洋 11月18日 利 達 IBN MAJID 怡 新加坡 新加坡巴生庇能11月14日 海 ALLIGATOR GLORY 西南太平洋纽约11月18日 大 阪 11月17日 邊 行 愛登堡城 CITY OF EDINBURGH W. H. 206 環球翡翠 GLOBAL EMERALD 11月14日 山 11月17日吉攀 林 建恒勇士 K.H. CHIVALRY RAINBOW BRIDGE 美國東加拿大 托福斯姆 PROF. TOVSTYKH FREMANTLE BRIDGE 11月14日 川 崎 11月17日 利 達 **EVER GLORY EVER GRADE** THUBAN 美國東岸 11月10日 昌 雅士天鹅 ACX SWAN 11月14日 日 SHIN CHUN ZIM LIVORNO 11月18日 利 達 EVER VIGOR 洛杉磯紐約 11月14日 珠 江 HUI HUA SEA DRAGON 11月19日 華 MING PROPITIOUS 卡拉比恰美利KAMALEVERETT . 11月15日 福 INDIAN COURIER 查爾斯角 CAPE CHARLES 11月20日。華 KAP. VALERY USHAKOV SL. VOYAGER CHIN CHUN EVER GOVERN TRADE EXPANSION 11月20日 宏 美國西岸 SHENANDOAH 新加坡巴生 MERKUR BAY 11月13日 11月20日 招商局 FEN HE HANJIN KUNSHAN 11月15日 韓 雅加達新加坡 11月13日 欣 NORDKAP 11月20日 韓 進 HANJIN SINGAPORE 遠東貿易者F.E. TRADER 11月15日 宏 光 渣華萬力 NL. VAN NECK KAP. BABIYEVSKIY 11月20日 景 BEAUTY RIVER TAIBAO U. TRANSPORT FAIR BRIDGE 11月20日 川 HUMBER BRIDGE 11月15日 富 騰 WASPADA 日本/南朝鮮線 協和大山 CONCORD DAISEN 11月20日 太 古 .11月15日 海 豐 ORIENTAL BAY 奥蘭道夫 HARMEN OLDENDORFF W. H. 205 UNI. FOREVER 法蘭克福快輸FRANKFURT EXPRESS 11月21日 捷 成 新加坡 渣菶毛里求斯NL. MAURITIUS GOLDEN BAY KUO CHANG 11月21日 - 歴 信 JAPAN SEA 多娜夫人 LADY DONA 11月10日 K. H. CHIVALRY HAL HUA 11月21日 華 海 MING ASIA LIRCAY **AURORA** 11月10日 SUHUIN 11月21日 海 柏 DASHAPING ACX ROSE 11月10日 GOWA TAPIOLA EMERALD I 11月16日 馬上基 MMAERSK CREDO SAMJUNG NAIAD ARAUCO 雅加達 WANCHUN SHIN CHUN 11月10日 華 林 新加坡印尼 OOCL AFFLUENCE MING CHENG 11月11日 招商局 科倫坡印度巴基斯坦11月11日 利 達 **EVER GLAMOUR** DEIA BHUM 新星加坡 ZIM SINGAPORE 11月12日 AMBASSADOR BRIDGE IBN SINA KUO CHIA COLUMBUS PAPUA GALAXY BAY 11月12日 阿拉伯灣 11月11日 海 運 REPULSE BAY SAUDI DIRYAH 赤道之星 EQUATOR STAR 新畿内亞 11月12日 PACIFIC ARROW 阿拉伯灣 11月11日 港 郵 OOCL CHARITY 米哈諾夫 MAKSIM MIKHAYLOV OOCL AMITY 11月12日 古大港 AL. SWAMRUZ 阿祖卡魁是KAP. ARTJUKH HAI GUANG 11月13日 阿拉伯灣 11月13日 NEW OASIS HINGSON -阿拉伯灣 11月13日,港 11月14日 ·香港光學》HONG KONG GLORY IBN MAJID 南十字星丸SOUTHERN CROSS MARU E NHOLAY MALAKHOV 11月13日 斯里馬尼 LANKA SRIMANI 科倫坡 雅加達新加坡 必達來 BUNGA BIDARA 卡拉比恰美利KAMALEVERETT DONAM NO. 8 吉大港印度 LINGQUANHE 胡佛總統 PRES. HOOVER 阿拉伯灣 11月15日 BANGLAR SHIKHA HANGANG GLORY KEUMGANG GLORY TA DISCOVERER 阿拉伯灣 11月16日 UNI. FOREVER 11月19日 益 髙 WESTPHALIA 馬珍馬士基MARCHEN MAERSK 阿拉伯灣 CARMEN FORTUNE BAY KOTA WIJAYA CODWIT GOLDEN LAKE KONS PAUSTOVSKI 保杜斯基 11月10日 華 夏 LEYUQUAN **EVER GRADE** KRASNOGVARDEEC 西南太平洋之 的月10年 華 31 MING MOON UNITED SING 科倫坡進打阿拉伯灣11月17日 GOLDEN FORTUNE SHIPPING CO., LTD. 中國二番灣二世界各國 上海≒香港≒星加坡(全貨箱班輪) 川航口岸 船期 中食67、中食68、中食69、中食70、中食82% 每天1至2班 番禺市橋 抵離期 收貨期 航名/航次。 中食51、中食84、中食85、中食88、中食98% 新會、江門 中食96、中食97、糧油8、中輕出2、中華出03 ★NEW HAI TENG 新海鵬 V. 9141 新海航業 8-8/11 4-6/11 中食16、中食36、中食37、中食39、中食41 順德容奇 每天1至2班 WEND (直航新加坡) 有限公司 中食43、中食45、中食47、中食480 中食96 貨運出口部: 中食98、中食99、建華20 香港↔上海(散貨及★貨箱班輪 中食34、中食35、中食52、中食53、中食10 每天1至2班 南梅九江 中食40(貨櫃船)等中食料(貨櫃船) 南港(南海平洲)、北村(南海) 中食56、中食57、中食8、中食92、中食93 ★NEW HAI HUA 新海華 V. 9153/9454 。中山小槐 每天1至2班 8-8/11 新海航業: ★XIN HAI LONG 新海隆 V. 9127/9128 \* 8-10/11 11-12/11 中食44、中食46、中食54、中食55 MEND 有限公司 ★NEW HAI NING 新海事 V. 9151/9152 8-10/1 6-12/11 ₹ 8591562 容奇 3余91、中食102、中食103、中食取1、 NEW HAILEE 新海利 ₹ 8591557 九江、高明、湘石 中食級3、友誼2、友誼5 粤海105 粤海106 貨運進口部: 8591540-6 上海市錦江 中食2]、中食22、中食60、中食89. (II) TONG HE 通 河 V. 19/20 每天1班 開平水口 中食30、中食87、中食90、中輕出1 航運有限公司 (直航曼谷) 每天1班 台山烽火角 船舶管理部: 8591456 中食28、中食59、中食61、中食86、東食02 每天1班 福建省輪船總公司 友誼10、友誼13、友谊14、友誼9 |毎鼠期3班 据江、 水東 ◀業務範圍▶ 11-15/11 龍 江 V. 9133/9134 厦門分公司; LONG JIANG 中食13、中食33 層口、牆石 毎星期3班 中食19、中食24 每星期3班 19-23/11 每星期3班 中食27、中食29、中食63、中食64 南 鹏 V. 9123/9124 22-23/11 NAN PENG 惠東平海 深圳船務公司 每星期2班 中含1B、中食20、聯豐盛3號 斗門井岸 油料運輸,無任歡迎。 每星期2班 中食76、中食77 中國遠洋運輸總公司 13-18/11 准 安 V. 9129/9130 17-18/11 舊由 HUAI AN 中食11、中食62、中食66、中食83 每星期2班 蘇 鳳 V. 9123/9124 12-13/11 惠陽澳頭 7 - 13/11香港至廣東省各口岸航期表 SU FENG TANK 江蘇省公司 每星期2班 中食79、中食81 學變 每星期1-2班 友誼6、友誼7(冷凍船,可承接冷藏貨)、友誼8 香港⇄福州、厦門、上海、 天天開航: 中食25、中食31 每星期1班 中食38、中食78 每星期1班 12-17/11 13-15/11 MIN HAI 327 **闽海 327V. 9127/9128** 福建省輸船總公可 MIN HAI 323 閩東公司 HAN YANG FE 中食12、中食75 新會西河口 10-12/11 随海 323V, 20/21 10-11/11 HAN YANG FENG 韓陽峰 V. 9115/9116 4--8/11 4-6/11承接大宗貨物及各類貨物轉口國内及世界各地 隔天開航: 兼代客訂儎、拖箱、拆箱、轉箱、出入口報閱、申請 4-6/113-8/11 TIAN LONG 天 嵐 V. 41/42 福建省漳州輪船公司 出入口證及代辦各類貨物保險。 錦 N. 41/42 JIN LONG 道花山 船期機密・貴客托運・方便快捷・收費廉宜・服務週到・歡迎季詢 不定期班船 香港二南京(全貨箱班輪 189043 CRTTD HX 高級形態。CRCFOODCO HONG KONG電性 2013 。香田还輔道中244~248嘉康協的業大皇十字樓 澳門、汕尾、小榄、台山廣溝。 ★ 中國遠洋運輸總公司 雷馬 5436600 傳真 5458679 工蘇省公司 16~18/11 15-17/11 SU YUN 其他貨運 OOCL 大宗貨訂倉,香港轉口、提貨、拖箱、拆/裝箱、訂倉服務。

地址:香港灣仔港灣道6一8號瑞安中心21樓 ADDRESS:21/F,SHULON CENTRE,6-8 HARBOUR RD,WAN CHAI,H.K. 824 6428 FAX:852-802 4345 TLX:67628 GOFOR HX CABLE:GOFORS

FAIRWEATHER STEAMSHIP CO. LTD. 2901-6.29/F. SINGGA COMM. CENTHE.

144-151 CONNAUGHT HOAD, WEST. HONG KONG

United Sing 7 (0-1)/11 13-15/11 (6-18/1)

25-- 26/11 28-- 30/11 1-- 3/12

UNNTEDWAY 40 14 18/11 21-23/11

Umitedsing 8 21 ... 22/11 25 - 27/11 ---

7 B/H

Booking

PLS CONTACT MR. NGAL

FAIRCOSMOS 57 9 - 11/11 16 (B/11 19 - 21/11

UNITEDWAY 41 26 30/11 4 6/12 7-9/12

FAIRCOSMOS 59 9-11/12 16-16/12 19-21/12

UNITEDWAY 43 26-30/12 4-6/1 7-9/1

台灣◆一香港→華土。

547 5072

基隆/台中/高雄、香港、中國各地 \*原櫃付運,無需轉櫃 \* 散貨直航, 船期密集

香港≒汕頭特區碼頭/永泰碼頭 兼收揭陽、海門散貨 恆暉輪 10/11 8 - 9/11恒昇輪13-14/11 15/11

香港彌敦道高信大廈六樓 B. 電話(85)7718722 傳真7707410 北京華僑飯店 電話(861)4016688轉1245 傳真4012386 天津資友誼館 電話(8622)310372轉2322 傳真(8622)310616 大連富麗華酒店 電話(86411)230888轉519 傳真894455 汕頭南海濱店 電話(86754)273419轉206 傳真:543206 廣州三寓賓館 電話(8620)756888轉1239 傳真766136 台北民生東路172號12樓 電話(886)2-5019082 | 傳真(886)2-5010305

## 珠江代理有限公司

11月10日 日 郵

利達

11月12日 日 鄭

11月13日 新 興

11月15日 日 郵

11月15日 利 達

11月15日 川 嫡

11月15日 太 古

11月16日 韓 進

怡 和

朝陽

國 光

港 恆

韓 進

11月20日 利 達

11月20日 新 興

11月20日 華 海

11月20日 日 郵

11月21日 利 逮

11月12日 渣 華

11月13日 日 郵

11月14日 大 阪

11月14日 海 選

11月15日 渣 華

11月16日 日 鄭

11月18日 捷 成

11月19日 招商局

11月22日 百保利

11月22日 天 祥

11月10日 新興

11月10日 華 林

11月11日 通 順

11月11日 華 林

11月12日 華 林

11月14日 實 隆

11月16日 大 阪

11月16日 遂 初

11月17日 遠 選

11月19日 塔斯曼

11月20日 港 郵

11月22日 日 郵

11月22日 華 林

11月23日 華 林

11月15日

11月15日

11月16日

CHU KONG AGENCY CO., LTD. 地址:香港干諾道西28號威勝商業大厦開樓商場(貨運

出口部、貨運進口部)九樓(船舶管理部) 電話總機:5479947 電報排號:"PEARIVER"

電傳:81765 CKSCL HX FAX:5598257

8591555 溶口、廣州、通花山、市橋、汕尾、深圳、黄埔(乌冲)

€ 8591552 中山、陽江、澳門 8591561 西南、香洲、太平、海口 ■ 8591556 中山、水東(電白) 8591560 榮慶、新塘、鶴山、清遠、湛江 8591558 江門、三埠、新會、恩平、台山

承接"來料加工""補償貿易"等原材料、半成品運輸 以及時限緊急的貨物。不論數量多少,均受辦理。大宗貨物及

廣州、黄埔、江門、中山、榮慶、容奇、九江、北村、西南、

**開平三埠、南海平洲、高明、魏山、東莞太平、新塘、濱口**、

陽江、湛江、海口、清進、瀾石、珠海、市橋、電白水東

東方海外貨櫃航線

郷加速・週本 曼 谷 全貨價船服務 每月巡班倒出 赦兵 全貨棚 閉柱 教課/李集欄 開出 航次 CFS CY OOCL ARROW 02/S OOCL AWARD 02/S -- 8/11 10/11 8/11 9/11 11/11 **OOCL AFFLUENCE 28/S** OOCL AMITY 41/S 14/11 15/11 17/11 15/11 16/11 18/11 (兼收全貨櫃往新加坡)

(微鏡時間, 散貨下午九時全種貨下午五時正)

電話 : 8627170~2)

(顧客服務部: (中) 医海鱼鱼 有"是是,COCE——有体,主题。 季性 5 種 テモ、トリ 都語 1 895b3 86972 553382 553381 还自己还真CES:绿色行台、装面第二两台横胡填 A11 第二期一理 行 [m]: Y 1 要 通图原直箱砂塘塞四湖 [H] [ H] [ H]

不來梅勝利BREMEN

力沙馬士基LEXA M

尼央基斯 TIKHON

百佛斯基 MEKHAN

威利维嘉 VILLE D

利來厚文 NL. HO

斯默諾夫 KAP. SN

HUASHU

EVER G

NORASIA

EVER O

TOKYO

RHEIN E

XINGHE

LINDE

MING G

HANJIN

VILLE I

RHINE !

NL. DEJ

DSR YO

ACE CO

POKOJ

EVER G

EVER V

LUZON

FEN HE

HANJIN

BEAUTY

HUMBE

ORIENT

JAPAN :

MING A

EVER G

IBN SIN

AL. SW

NEW O

IBN MA

UNI. F

KOTA Y

**GOLDE!** 

EVER C

RUSHE

利芝娜馬士基REGIN

愛登堡城 CITY OF

托福斯娣 PROF. 7

鳥沙高夫 KAP. V.

貿易登展 TRADE

法關克福快輸FRAN

百德斯基 MEKHA

沙特朵亞 SAUDI I

東方博家 OOCL C

斯里馬尼 LANKA

卡拉比恰美利KAM/

胡佛總統 PRES. 1

屬珍馬士基MARCH

MENT

MEND

**中** 

Koin- II

香港↓

品間間

福建省清

中國工程

大宗

**ADDRESS:** 

FAX:85

施江第

WORLDTREND SHIPPING, LTD. 地址:灣仔皇后大道東109-115 號智群商業中心 8 字樓 

CHIWAN赤灣(蛇口) ➡香港HONG KONG 兼收拼箱/整箱貨(接受COC/SOC貨) 船名: WO SING NO.1 和星一號

逢一、三、五香港開出・逢二、四、六赤灣返航 收货站: 潤發倉碼有限公司 九龍長沙灣發祥街一號 電話: 7288321 聯絡電話: 8657338 李先生/陳小姐

台灣◆→◆香港◆→大陸(無須轉櫃)

台灣代理處:偉運股份有限公司 台北市林森南路十二號中國航運大樓 電話: 393-3171 深圳中轉倉: 深圳寶安北路笋崗841庫 電話: (755) 264997 另上海、天津、大連、北京、蛇口、福州、青島均設有辦事處 代辦中轉承運 誠意為台灣廠商提供進出口一條龍服務

香港→美洲 (東/西岸) U.S. A. (W.C.) -- LONG BEACH, LOS ANGELES, SAN FRANCISCO, OAKLAND (E.C.) - NEW YORK, CHARLESTON HOUSTON, SAVANNAH, NORFOLK 散貨截數 貨櫃截數 開航日期 船名/航次

7/11 GERMAN SENATOR EF143 4/11 14/11 12/11 CHO YANG PARK EF144 11/11 散货收货站:凋發食碼有限公司 九龍長沙灣發祥街一號TEL:7288321

大陸←→香港←→世界各地 INTERNATIONAL NVOCC SERVICE全球貨運代理業務 WEEKLY LCL/FCL SERVICE WITH ATTRACTIVE RATE ASIA-JAPAN TAIWAN SINGAPORE S KOREA THAILAND EUROPE-HAMBURG, ROTTERDAM, ANTWERP, FELIXSTOWE. 聯絡電話: 8657338 潘先生/伍先生

货槽收货站: 葵滴三號碼頭

|          |               | 港◆→胡   |                                         |
|----------|---------------|--------|-----------------------------------------|
| VESSEL   | VOY           | ETA.   | ETD                                     |
| STELLA I | 15S           | 1/11   |                                         |
| LOUISA   | 218           | 9/11   | 13/11                                   |
|          |               |        | A.A.1.56.J.J.: 1180.4134.58778116484857 |
| 交货地點:潤值  | <b>使倉碼有限公</b> | ह्य TE | L:728832                                |

華夏企業有限公司

山 東 業 務 部

香港周仔港周道25號海港中心21字樓2104-6室

集装箱班輪(景收濟南、淄博、潍坊整箱貨)

散貨班輪(兼收中國各口岸大宗散貨

電話:8277227

毎月四航次)

鄉裕泉LE YU QUAN V.QEO98

源 业LU FENG V.QF 307

注 TING JIANG V.19

集裝箱/散貨班輪

集裝箱/散貨班輪

泉LI QUAN V.QIO17

傳真:8277456

CFS

11/11/13/11 15/11 16/11 16-18/11

全 洲 QUÁN ZHOU V.9114 1/11 8/11 10/11 11/11 12-13/11

金線泉JIN XIAN QUAN V.WXOO4 10/11 16/11 18/11 19/11 20-21/11

7--11/11

## FLEET TRANS INTERNATIONAL CO., LTD. **F**// 富騰船務有限公司

Rm. 938 Jardine House FAX:8451128 香港中環怡和大廈 62堂

HUANGPU/TAIWAN CONTAINER EXPRESS SERVICE FHP黃埔/台灣集裝箱特快航線

| ·            | <del>-</del> |                |              |                 |
|--------------|--------------|----------------|--------------|-----------------|
| TO MA        | NILA (S      | . HARBOUR      | 往 馬          | 尼拉              |
| Vessel<br>船名 | . i          | Receives<br>收貨 | Closes<br>载貨 | ETA-ETD<br>到一維港 |
| WASPAĎA V    | 7. 9161/62 ° | NOW            | 12/11        | 15-15/11        |
| WASPADA V    | 7. 9163/64   | 14/11          | 19/11        | 21-21/11        |

+FCL service+continual receiving

WASPADA V. 9165/66

WASPADA V. 9167/68

日三初月十年未辛曆農

|   | 1100.001 | TOTAL ICCCIVIL | -R      |          |       |            |  |
|---|----------|----------------|---------|----------|-------|------------|--|
|   | ТО       | SHANGE         | IAI     | 往        | Ŀ     | 海          |  |
| ì | NITE FO  | O SMANCHAL I   | HN HANG | CHIODING | COBRO | 30 4 71/31 |  |

20/11

26/11

MILD TRAN (通運) V. 9157/9158 9/11 11-11/11 MILD VICTORY (通利) V. 9149/9150 7/11 12/11 13-14/11 TONG ZHOU (通州) V. 9145/9146 9/11 14/11 15-16/11 MILD TRAN (通運) V. 9159/9160 18/11 19-20/11 MILD VICTORY (通利) V. 9151/9152 17/11 22/11 23-24/11

+FCL service+LCL service

### TO KEELUNG; KAOHSIUNG 往 基隆; 高雄

MILD SPLENDOUR (通展) V. 9161/9162 NOW 12-13/11 14-14/11 MILD SPLENDOUR (通展) V. 9163/9164 14/11 18-19/11 20-20/11 MILD SPLENDOUR (通展) V. 9165/9166 20/11 24-25/11 26-26/11 MILD SPLENDOUR (通展) V. 9167/9168 26/11 30/11-1/12 2-3/12

CHINA PORTS === HONG KONG ==== TAIWAN +FGL service+LCL service+cont inual receiving

CY TERMINAL:

Hoi Kong Container Services Co., Ltd. Tsing Yi Hoi Kong Depot -----Outbound Tel:497 7099 ---Inbound Tel:497 7610

**CFS TERMINAL:** Hoi Kong Container Services Co., Ltd. Tsing Yi Hoi Kong Depot -----Inbound & Outbound Tel:434 0475

25/11 27-27/11

3-4/12

FOR BOOKING AND ENQUIRY PLEASE CALL A Jardine Pacific business

### **必認商局**船務企業有限公司 CHINA MERCHANTS SHIPPING & ENTERPRISES COLLTD 香港干諾道中152-155號招商局大厦11樓 電話:入口部:5440555

(查詢船期): 代理部:8527688 圖文傳真:5-412084 各收貨人注意 ★

**◆定期客貨班輪▶** 

馬寅號 M. V. "MA LAN"

十一月九日上午由海口抵港,船泊油蕨地,十日下午直放海口 ★請盡速到上述地址辦理提貨手續★

三屋船務有限公司(代理) SAM SING SHIPPING LTD.

地址:香港干諾道西186號香港商業中心2315室 電話:5487277,5484208-9,傳真:5593404

香港 ⇄ 南寧

聯盛301·302·每5天一班 單程只須60小時 赦貨,貨櫃;進、出、轉口

本公司可特派專船承接往梧州、貴縣市大宗回頭貨。 運費特廉

並提供港九運輸服務,拖箱,裝、拆貨箱,本地送貨 總公司聯盛海陸運輸有限公司。江通有限公司

SUPER UNION SEALAND TRANSPORT CO. LTD. 地址:中國廣西南寧新民路65-4號 電話:29960, 21723-258, 傳真:29960

江蘇省遠洋運輸公司

香港↔張家港 全貨櫃特快班輪

船名 抵離期 14-18/11 18-19/11 森麟 SULIN V. 9140/41 蘇麟 SULIN V. 9142/43 30/11-3/12 3-4/12 可收整箱、拼箱貨、兼收蘇州、無錫、常州適箱貨。 特别承接台灣至江蘇原櫃直轉貨物。

香港分代理 牌引:省港丰品值中156 157% JIANG TONG COLTD. THE SECOND MEASURED 收貨站: 珍寶質櫃集運有限公司

JUMBO CONTAINER TRANSPORTATION LTD.



定期貨櫃及散貨服務往/來

船名:廣濱機01 星期三/六開航

廣濱63 兼收中山、容奇、江門、瀾石、太平之貨櫃及散貨

香港・油頭

船名:惠港01,02,04,05,08,靖運10, 天天開航 (泊汕頭港務局碼頭)

船名:豪富、豪發、豪海1號、葵與8號、陸航2106 〈泊汕頭永泰碼頭〉 天天開航. 兼收揭陽及汕尾之散貨

香港・水東

船名:東駁15 里期二開航 東駁14 星期四開航 香港・湛江・海口

船名:陵海04 星期三開航 陽西航021 星期六開航

船名:陽西航022 星期四開航

香港・陽江

香港↔珠海

船名:珠物1號,珠物2號,珠物3號 星期三人六開航

30號永基大廈 1106室 傳真 : 5595097 電話 : 5461231 - 6線 -

## SHULNAM NAVIGATION (H.K.) CO

航線:香港→廣州 (每星期三航次) 船名:香運106 **航線:香港→海口**(每星期三航次) 船名:穗款榜7號 航線:香港→福州 (每星期三航次) 船名: 梧州1601, 梧州1602

梧州2001,梧州2002

其他航線:全貨權及散貨 來往珠海、黃埔、蛇口、汕頭、江門、 中山、容奇、湛江、太平、肇慶、潤石 、青島、大連、上海、新港、福州、廈 門、台灣、日本等世界各地。 承接運輸、拖、拆、轉箱,可安排 專制接運大宗貨物。 收货站:醉酒灣旬貨區。

香港皇后大道中237號太興中心一座6樓A室 ### 18151812 6 LINES . 5440307 图文傳真:5422349

## 生力船務公司

SUNNIX MARITIME CO. 中環域重頓街122至126號

威皇商業大廈5字標 B 宝 電話: 8544662 傳真: 8543240

## 全貨櫃及散貨定期班輪

香港一越南 胡志明市、海防、頭頓 每月三航火 後江、鴻基、大南港 每月二柱次 香港一星加坡、馬來西亞、泰國、菲律賓 香港一廣州、黃埔、蛇口 、九州、莲花山及江門

每星期二班 兼收水東、湛江、汕頭及海口散貨及檀貨。

代客訂載、儲倉、拖/拆櫃及中轉等服務。

## KEENTRANS

☆海運/空運(中轉/直達)

歐洲大陸、地中海及北歐一國内主要港口 及香港

☆散貨/集裝箱班輪服務:

香港→汕頭、海口、瀾石、廣州、黃埔 江門等廣東省口岸。

◆大宗貨物,可提供船邊收貨及專船運載 (承接本地/國內拖運、貨運、存倉等服務)

> 軒 湛 有 限 公 司 KEENTRANS LTD.

香港上環水樂街82-86號9樓A座 FLAT A. 9/F. FOO CHEONG BLDG. 82-86 WING LOK STREET HK FAX: 5445549 TEL: 5416906, 5416832, 5430151



裁貨 7/11 6/11 "BIN CHENG" 4/11 14/11 "BANGLAR SHIKHA" 17/11 "E. CHENG" 24/11 26/11 27/11

"E. CHENG" 15/11 25/11 "SONG CHENG"



COSTRAN SHIPPING CO., LTD. 香港中環國際大厦901-2室 電話:5459059(8線)

Outbound to Europe

Inbound From: Europe

HANIIN ROTTERDAM 16E 11/10 14/10

HANJIN FELIXSTOWE 10E 31/10 3/11

重航往勒阿弗爾、鹿特丹、漢堡、不萊梅哈文、菲利斯敦

HANJIN SINGAPORE 3W 20/11 12/12 13/12 14/12 15/12 16/12 HANJIN OAKLAND 15W 27/11 19/12 20/12 21/12 22/12 23/12

HANJIN LONG BEACH 35W 4/12 26/12 27/12 28/12 29/12 30/12

Outbound Round The Asia/Australia

模演 YOK

超次 勒阿弗爾 漢學 不苯梅咯文 菲利斯敦 鹿特什 普洛

Voy Le Havire Hamburg Bremerhaven Felixatowe Rotterdam Hong Kong

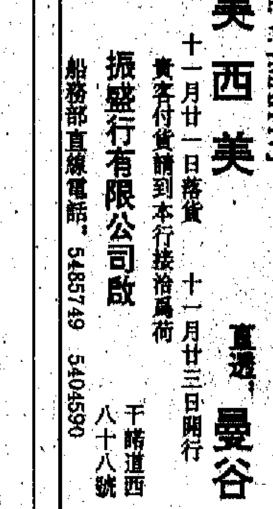
DIRECT TO

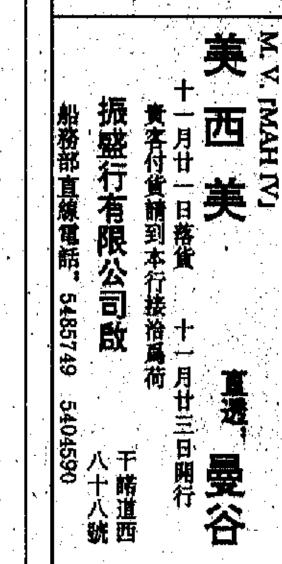
15/10 16/10 17/10 8/11

22/10 23/10 24/10 15/10

30/10 1/11 2/11 23/10

4/11 5/11 6/11 28/11





CY/LCL 收貨站:華聯貨運有限公司 電話:4970305 勝各收保、付貸人選往本公司辦理有關手續

收貨站

惠刊廣告 請撥電話 五七二六九八〇

## 韓 進 滚 連

往美國及加拿大

| 收貨    | 占設於: | 香港多       | <b>支涌第三</b> 號 | 貨機碼頭       |
|-------|------|-----------|---------------|------------|
| 每週    | 定期付  | <b>輪往</b> | 美國西岸          | (PSW)      |
| 航决    |      |           | 香港            | <b>张为</b>  |
| / Voy | • .  |           | Hong Kong     | Long Beach |

|                  |   |        |   |                  |   |   |   |      | <u> </u>    | ··• |                 |   |            |               |            | . ***                    |
|------------------|---|--------|---|------------------|---|---|---|------|-------------|-----|-----------------|---|------------|---------------|------------|--------------------------|
| 4                | # | 週      | 定 | 期                | 快 | 輪 | 往 | 类    |             | 四   | 北               | 熚 | ( ]        | PNW           | 7)         | <del></del>              |
| 福名/航<br>Vessel/V |   | ······ |   | - <del></del>    | · | · |   | Hong | Kor         |     | sa M<br>Senttle |   | #<br>BC    | £ po<br>Chica | <b>4</b>   | t<br>Nev                 |
| HANJII<br>HANJII |   |        |   |                  |   |   |   | 1    | 1/1:<br>7/1 | 1 ( | 26/11<br>3/12   |   | /11<br>/12 |               | '11<br>'12 | <del>),</del><br>;<br>1( |
| * ** ** ** **    |   | ·      | • | · - <u>· · ·</u> |   | _ | 1 | *    |             | •   |                 | • | 11.0       |               | - *** * *  |                          |

Inbound From: U.S.A.& Canada 美國及加拿大來港

MING PROSPERTTY 18W 4/(1 5/11 7/11 3/12 H. SEOUL 118W

禁止 KEE ew York DIRECT TO FISHGUARD BAY 105E H. CHEJU 75E DIRECT TO

HANJIN KAOHSTUNG

H. CHUNGMU 132 H. POHANG THE 香港 新加坡 雅加達 THE TO AUSTRALIA VIA SIN SIN SYD MEL 21/11 H. CHONGSUK IW

6E 18/10 21/10

8E 27/10 30/10

PISHGUARD BAY 105W 11/12 23/12 21/18 Inbound From: Hound The Asial Supplies Hay Kay H. KWANGYANG 81W 31/10 H. KUNSAN 67W 13/11

15/11 11/11 18/11

新加坡 数比 樂開神

质告 請

撥 電話  $\mathcal{F}_{\mathbf{L}}$ 七

六 九

A COLORANA AND A COLORANA AND AND A COLORANA AND A

- 號華比大廈 字樓 維維 CFS CY 太武山 TAI WU SHAN V. 9131/32 8-11/11 9-10/11 11-12/11 蘇 昌 SU CHANG V. 82/83 V. 82/83 9-10/11 11+12/11散貨期 CFS CY V. 17/18 10-11/11 張家港 **閩 資MIN MAO V. 10/11** 7-8/11 整箱貨:現代貨箱碼頭有限公司

拼稿货:宏光貨櫃碼頭有限公司

散維貨:萬週公司

12-13/11 9 - 9/11

電話:4877661

単話:5498137



| 船名/航决<br>Vessel/Voy | Ho              | 香港<br>ng Kong  | 人業<br>Long Beach   | 献克<br>Oakli |
|---------------------|-----------------|----------------|--------------------|-------------|
| H. ROTTERDAM 16E    | ·               | 9/11           | 26/11              | 29/         |
| H. KAOHSIUNG 6E     |                 | 16/11          | 2/12               | 5/          |
| H. HAMBURG 8E       |                 | 23/11          | 9/12               | 12/         |
| H. FELIXSTOWE 10E   |                 | 29/11          | 16/12              | 19/         |
| 每週定期快輸              | 往美國             | 東岸             | (AWE)              | ·           |
| 組名/航次<br>Vessel/Voy | 春港<br>Hong Kong | 从外<br>Savannah | 成前明頓<br>Wilmington | te:<br>New  |
| HANJIN YOKOHAMA 36E | 13/11           | 12/12          | 13/12              | 15/         |
| MING PROPITIOUS 28E | 20/11           | 19/12          | 20/12              | 22/         |
| HANJIN SAVANNAH 29E | 28/11           | 26/12          | 27/12              | 29/         |
| MING PROSPERITY 19E | 4/12            | 2/1            | 3/1                | 5           |
| 每週定期快輸行             | 主美國             | 5 北 牌          | (PNW               | )           |
| 福名/航次               | 4.4             | <b>西维斯</b>     | 温香基 学加县            | 41          |

24/11 10/12 11/12 14/12 17/12 HANJIN TONGHAE 86E 2/12 17/12 18/12 21/12 24/12 H. RUNSAN 67W HANJIN SEOUL 119E

知的 滿号集 的學問 香港 编名/航决 N.Y. VAN,HC SEATTLE H.K. Voxel/Voy 10/10 11/11 14/11 12/11 H. CHUNGMU B2W MING PROPITIOUS 27W \$1/10 22/10 25/10 19/11 | H POHANG 113W 24/10 25/10 28/10 26/11 H. TONGHAE 85W

25/10 31/10 1/11 17/11 31/10 5/11 6/11 24/11 7/11 12/11 13/11 1/12

FISHGUARD BAY 105E H. CHEJU 75E

FAIRERIDGE 91 UNITEDFUNG FAIRBRIDGE 92

UNITEDFUNG 2 10

ng Pao Road, Hong Kong

**表大八紙出日今** | 東マー大:田督 尼軒港香:址地 5五七五:機總話電 EX . 72859 HKTKP HX 三一〇四四三八:話電新探 〇八九六三七五:話電告廣 有務印利有

冬立日是

PHONE 827-0822 1706-1710 SUN HUNG KAI CENTRE FAX 827-1362 TELEX 71129 BDREM HX 30 HARBOR ROAD, HONG KONG

FAST, RELIABLE, INDEPENDENT EUROPEAN SERVICE CLOSING VESSEL BEAUTY RIVER 7-8/1 LUCKY RIVER 18/12 19-20/12 18-19/1 22 - 23/120 - 21/1HONOR RIVER 3-4/21-2/2 7-8/2 5--6/2 WEALTHY RIVER 19-20/2 15-16/2 17-18/2 21-22/2 19-20/1 PEACE RIVER

**ACCEPTING CARGO TO** ALSO ACCEPTING FCL

General Agents:

KENWA SHIPPING CO. LTD.

RM.808-812 Wing On Centre

111 Connaught Rd, C, H.K.

FELIXSTOWE, HAMBURG, ANTWERP, DUNKERQUE. LONDON, LIVERPOOL, MANCHESTER, LEEDS, LE HAVRE ,AARHUS, COPENHAGEN, OSLO, STOCKHOLM, GOTHENBURG, PARIS, BIRMINGHAM, HELSINKI, BORDEAUX, BREMEN, AMSTERDAM.

VESSEL

**EUROPE INBOUND SERVICE** 

ETA VESSEL HONOR RIVER 20/11 LUCKY RIVER

CUSTOMER SERVICE Miss CONNIE LEUNG 8528569

CY:HIT4 CFS: YIU LIAN CON. SER. LTD. TYTL 72 TSING YI ISLAND TEL:497 0419 Tel:852 8500 Telex:82588 KENSH HX Fax:542 0100

ETA

陸路貨運

本公司承接

\*各大城市之火

\*本港直達廣東

貨運

車包卡及零散

景華船務有限公司KENWA SHIPPING CO., LTD. 香港中級平諾通中111號永安中心808-812套 BOOKING ENQUIRY 電話:8528500

廣州/黃埔

| 定     | 期航線 | 全貨   | 櫃及   | 散貨    | 拼箱        | 间服務   |          |
|-------|-----|------|------|-------|-----------|-------|----------|
| 港口    | 船名  | 航次   | CFS  | CY    | 裁貨        | 開航    | 港        |
| 湛江    | 會海  |      |      |       |           | 15/11 | 上流       |
| 海口    | 金龍  | 9129 |      | 7/11  | 10/11     | 11/11 |          |
| 廈門/汕頭 | 華佳  | 9168 |      | 9/11  | 12/11     | 14/11 | <b>*</b> |
| 福州    | 凌泉河 | 372  |      | 21/11 | 24/11     | 26/11 |          |
| 張家港   | 蘇達  |      |      |       | F -1 to - | 14/11 | 大        |
| 上海    | 鹽江  | 429  | 7/11 | 9/11  | 12/11     | 14/11 | 珠        |
| 新港/北京 | 熊岳城 | 449  |      |       |           | 16/11 | 海[       |
| 音鳥    | 遊燈  | 9144 | 6/11 | 8/11  | 11/11     | 13/11 | Æ        |

每三日一航次

逢星期三、六陽航

廣州/黃埔

收貨 裁貨 開航 客貨輪 13/11 14/11 17/11 18/11 19/11 22/11 毎月一至二航次 每月一至二航次 每月二至三航次 连星期二、四、六朔族 每星期二航次 造星期二、四朔秋 度水運 逢星期1、3、5開放 ∦∦/減量 每星期一航次

各地散裝輪貨運

、福建之貨櫃 拖運 \*本港及中轉運 輸、拖車、入 每四日一航次 每隔三日一就次 箱拆箱轉箱及 逢星期二、五開航 儲倉服務

康威船務有限公司 CONWAY SHIPPING CO. LTD

抵/難港期 晶海二號 MV "CHANG HAI NO. 2" 12 - 15/1113-14/11 21 - 24/11粵江輪 MV "YUE JIANG" 22 - 23/11稳二 168、169、170 MV "SUI ER 168、169、170" 三天一航次 · 宏豐三號,四號 MV "WANGFOONG NO. 3.4" 天天啓航

香港↔海口、三亞 昌海一號 MV "CHANG HAI NO. 1" 19-20/11 18-21/11 香港↔青島 <sup>1</sup>11-12/11 10-13/11 青華輪 MV "QING HUA" 自行冷凍船 21-22/11 20-23/11 香港++海口++湛江++北海 香港++海口++湛江++北海 南漁 503 MV "NAN YU 503" 景收大宗冷凍貨往業南口岸 海難 MV "HAI HUA"

香港總公司:香港文成東街68-74號與隆商業大厦15樓 電話:815 2178(8線) 傳真: 815 0128 電傳: 89166 COSEL HX 電掛: COWASEFR 湛江鄉事處:湛江霞山人民東一路七號湛江外代大厦副樓201室 電話:(759)280156,287769

海口鄉事處:海南省海口市花園新村B型樓204室 電話: (750)779344

台灣◆→香港◆→黄埔 ★收:廈門、馬尾、海口、三亞等大宗貨物 安樂輪 "AN LU" 接受大宗包船貨物(1.000噸) 台灣分公司:台灣康威有限公司 台北市南京東路三段200號6月 電話(2)776-3940 阮先生 ●承接火車包卡及散貨運 翰直達中國各大城市。

●提供香港直通廣東,廣 西省內之拖運服務。

●香港中轉運箱、拖箱 拆/装箱服務。

UNITED SHIPPING LTD

香港皇后大道中367-375號萬利商業大廈105室1樓 傳真: 5450526 電話: 8150181

香港↔中國 全貨櫃及散貨往來

> 開航日期 船名 港口

粤江輪 每星期一航次 汕頭、廈門 廈水運 毎星期一航次 每星期二航次

兼收:中山、容奇、江門、水東、天津、上海、青島、大連

★承接中國至世界各地之海陸聯運服務簽發全程提單。

★承接陸路運輸往來廣東省。

★提供本地運輸,船邊起却,拖箱、轉箱及儲倉服務。 (兼管束南亞大宗貨物租船服務)

桂江海陸運輸有限公司 GULLANG SEA LAND TRANSPORTATION CO., LTD 地址:香港干諾道西28號威勝商業大廈1樓 電話:5493211 傳真:8582513

本公司直接代理以下各條航線 香港⇔梧州散貨貨櫃直達航線 (每星期三航次)

船名: 梧州1601、1602、1603 梧州1218、1223、2001 梧州2002、2003

香港⇔南寧散貨貨櫃直達航線 (每星期二航次)

船名:寧海221、222、223、224

香港⇔梧州⇔貴港市直達航線 (兼收整船貨物) 船名: 桂外201、202

香港⇔北海⇔防城港直達航線 (專收大宗貨物)

船名:桂海466、467 中國⇔香港⇔世界各航線服務 簽發中國至世界各地全程提單

承辦多式聯運、集裝箱聯運、大宗貨物租船、力 代客拆箱、装箱、拖箱、報關、保險等業務・收費合 理·歡迎垂詢。

收貨站:醉酒灣珠江碼頭 電話: 4872096

## 泛茂船務企業有限公司 TRANPAC SHIPPING ENTERPRISES LTD.

INDEPENDENT REGULAR CONTAINER SERVICE

372 19/11 21/11 24/11 26/11

| VESSEL      |      | VOY  | RECEIVES | CLOSES | ETA   | ETD  |
|-------------|------|------|----------|--------|-------|------|
| KOTA WIJAYA | 4.雄城 | 09WB | 10/11    | 16/11  | 17/11 | 17/1 |
| KOTA WIRAW  | _    | 05WB | 21/11    | 27/11  | 28/11 | 29/1 |

承接:新加坡、哥倫坡、亞力、吉布堤、荷台建、亞喀巴、蘇丹港 蒙巴沙、坦桑尼亞(兼收亞喀巴拼箱貨)

| TRADE VIGOUR 易<br>KOTA RIA 海龍<br>SEA HORSE 海馬 | <b>分</b> 9           | 109SB<br>76SB<br>10SB | ٧              | 13/11<br>17/11<br>27/11 |               | 24/11 | 20/11<br>25/11<br>4/12 |
|-----------------------------------------------|----------------------|-----------------------|----------------|-------------------------|---------------|-------|------------------------|
| ACCEPT CARGO TO:<br>承接:新加坡、阿                  | SINGAPORE.<br>「比據、科》 | ABIDJAN.<br>毛努、杜『     | COTONO<br>可拉、黑 | U, DOUALA。<br>角         | Pointe noire. |       |                        |

20/11 20/11 TRADE VIGOUR 易勃 9109SB 25/11 17/11 KOTA RIA海龍 **76SB** 3/12 2/12 SEA HORSE 海馬 27/11

ACCEPT CARGO TO: SINGAPORE, JAKARTA, SURABAYA, PORT KELANG, BANGKOK 承接:新加坡、那加達、泗水、巴生港、曼谷

| SEA DRAGON 海龍   | 9134                                                                                                                                                                                                                                                                                                                                                                                                                                                                                                                                                                                                                                                                                                                                                                                                                                                                                                                                                                                                                                                                                                                                                                                                                                                                                                                                                                                                                                                                                                                                                                                                                                                                                                                                                                                                                                                                                                                                                                                                                                                                                                                           | 3/11  | 9/11                                                                                                                                                                                                                                                                                                                                                                                                                                                                                                                                                                                                                                                                                                                                                                                                                                                                                                                                                                                                                                                                                                                                                                                                                                                                                                                                                                                                                                                                                                                                                                                                                                                                                                                                                                                                                                                                                                                                                                                                                                                                                                                          | 10/11                                                                                                                                                                                                                                                                                                                                                                                                                                                                                                                                                                                                                                                                                                                                                                                                                                                                                                                                                                                                                                                                                                                                                                                                                                                                                                                                                                                                                                                                                                                                                                                                                                                                                                                                                                                                                                                                                                                                                                                                                                                                                                                          | 11/11 |
|-----------------|--------------------------------------------------------------------------------------------------------------------------------------------------------------------------------------------------------------------------------------------------------------------------------------------------------------------------------------------------------------------------------------------------------------------------------------------------------------------------------------------------------------------------------------------------------------------------------------------------------------------------------------------------------------------------------------------------------------------------------------------------------------------------------------------------------------------------------------------------------------------------------------------------------------------------------------------------------------------------------------------------------------------------------------------------------------------------------------------------------------------------------------------------------------------------------------------------------------------------------------------------------------------------------------------------------------------------------------------------------------------------------------------------------------------------------------------------------------------------------------------------------------------------------------------------------------------------------------------------------------------------------------------------------------------------------------------------------------------------------------------------------------------------------------------------------------------------------------------------------------------------------------------------------------------------------------------------------------------------------------------------------------------------------------------------------------------------------------------------------------------------------|-------|-------------------------------------------------------------------------------------------------------------------------------------------------------------------------------------------------------------------------------------------------------------------------------------------------------------------------------------------------------------------------------------------------------------------------------------------------------------------------------------------------------------------------------------------------------------------------------------------------------------------------------------------------------------------------------------------------------------------------------------------------------------------------------------------------------------------------------------------------------------------------------------------------------------------------------------------------------------------------------------------------------------------------------------------------------------------------------------------------------------------------------------------------------------------------------------------------------------------------------------------------------------------------------------------------------------------------------------------------------------------------------------------------------------------------------------------------------------------------------------------------------------------------------------------------------------------------------------------------------------------------------------------------------------------------------------------------------------------------------------------------------------------------------------------------------------------------------------------------------------------------------------------------------------------------------------------------------------------------------------------------------------------------------------------------------------------------------------------------------------------------------|--------------------------------------------------------------------------------------------------------------------------------------------------------------------------------------------------------------------------------------------------------------------------------------------------------------------------------------------------------------------------------------------------------------------------------------------------------------------------------------------------------------------------------------------------------------------------------------------------------------------------------------------------------------------------------------------------------------------------------------------------------------------------------------------------------------------------------------------------------------------------------------------------------------------------------------------------------------------------------------------------------------------------------------------------------------------------------------------------------------------------------------------------------------------------------------------------------------------------------------------------------------------------------------------------------------------------------------------------------------------------------------------------------------------------------------------------------------------------------------------------------------------------------------------------------------------------------------------------------------------------------------------------------------------------------------------------------------------------------------------------------------------------------------------------------------------------------------------------------------------------------------------------------------------------------------------------------------------------------------------------------------------------------------------------------------------------------------------------------------------------------|-------|
| SEA DRAGON 海龍   | 9135                                                                                                                                                                                                                                                                                                                                                                                                                                                                                                                                                                                                                                                                                                                                                                                                                                                                                                                                                                                                                                                                                                                                                                                                                                                                                                                                                                                                                                                                                                                                                                                                                                                                                                                                                                                                                                                                                                                                                                                                                                                                                                                           | 10/11 | 16/11                                                                                                                                                                                                                                                                                                                                                                                                                                                                                                                                                                                                                                                                                                                                                                                                                                                                                                                                                                                                                                                                                                                                                                                                                                                                                                                                                                                                                                                                                                                                                                                                                                                                                                                                                                                                                                                                                                                                                                                                                                                                                                                         | 17/11                                                                                                                                                                                                                                                                                                                                                                                                                                                                                                                                                                                                                                                                                                                                                                                                                                                                                                                                                                                                                                                                                                                                                                                                                                                                                                                                                                                                                                                                                                                                                                                                                                                                                                                                                                                                                                                                                                                                                                                                                                                                                                                          | 18/11 |
| SEA DRAGON 海龍   | 9136                                                                                                                                                                                                                                                                                                                                                                                                                                                                                                                                                                                                                                                                                                                                                                                                                                                                                                                                                                                                                                                                                                                                                                                                                                                                                                                                                                                                                                                                                                                                                                                                                                                                                                                                                                                                                                                                                                                                                                                                                                                                                                                           | 17/11 | 23/11                                                                                                                                                                                                                                                                                                                                                                                                                                                                                                                                                                                                                                                                                                                                                                                                                                                                                                                                                                                                                                                                                                                                                                                                                                                                                                                                                                                                                                                                                                                                                                                                                                                                                                                                                                                                                                                                                                                                                                                                                                                                                                                         | 24/11                                                                                                                                                                                                                                                                                                                                                                                                                                                                                                                                                                                                                                                                                                                                                                                                                                                                                                                                                                                                                                                                                                                                                                                                                                                                                                                                                                                                                                                                                                                                                                                                                                                                                                                                                                                                                                                                                                                                                                                                                                                                                                                          | 25/11 |
|                 | en march margaret march of the description of the section of the s |       |                                                                                                                                                                                                                                                                                                                                                                                                                                                                                                                                                                                                                                                                                                                                                                                                                                                                                                                                                                                                                                                                                                                                                                                                                                                                                                                                                                                                                                                                                                                                                                                                                                                                                                                                                                                                                                                                                                                                                                                                                                                                                                                               | Annual Control of the |       |
| SEA HORSE 海馬    | 09NB                                                                                                                                                                                                                                                                                                                                                                                                                                                                                                                                                                                                                                                                                                                                                                                                                                                                                                                                                                                                                                                                                                                                                                                                                                                                                                                                                                                                                                                                                                                                                                                                                                                                                                                                                                                                                                                                                                                                                                                                                                                                                                                           | 12/11 | 18/11                                                                                                                                                                                                                                                                                                                                                                                                                                                                                                                                                                                                                                                                                                                                                                                                                                                                                                                                                                                                                                                                                                                                                                                                                                                                                                                                                                                                                                                                                                                                                                                                                                                                                                                                                                                                                                                                                                                                                                                                                                                                                                                         | 19/11                                                                                                                                                                                                                                                                                                                                                                                                                                                                                                                                                                                                                                                                                                                                                                                                                                                                                                                                                                                                                                                                                                                                                                                                                                                                                                                                                                                                                                                                                                                                                                                                                                                                                                                                                                                                                                                                                                                                                                                                                                                                                                                          | 20/11 |
| KOTA RIA 海龍     | 76NB                                                                                                                                                                                                                                                                                                                                                                                                                                                                                                                                                                                                                                                                                                                                                                                                                                                                                                                                                                                                                                                                                                                                                                                                                                                                                                                                                                                                                                                                                                                                                                                                                                                                                                                                                                                                                                                                                                                                                                                                                                                                                                                           | 30/11 | 6/12                                                                                                                                                                                                                                                                                                                                                                                                                                                                                                                                                                                                                                                                                                                                                                                                                                                                                                                                                                                                                                                                                                                                                                                                                                                                                                                                                                                                                                                                                                                                                                                                                                                                                                                                                                                                                                                                                                                                                                                                                                                                                                                          | 7/12                                                                                                                                                                                                                                                                                                                                                                                                                                                                                                                                                                                                                                                                                                                                                                                                                                                                                                                                                                                                                                                                                                                                                                                                                                                                                                                                                                                                                                                                                                                                                                                                                                                                                                                                                                                                                                                                                                                                                                                                                                                                                                                           | 8/12  |
|                 |                                                                                                                                                                                                                                                                                                                                                                                                                                                                                                                                                                                                                                                                                                                                                                                                                                                                                                                                                                                                                                                                                                                                                                                                                                                                                                                                                                                                                                                                                                                                                                                                                                                                                                                                                                                                                                                                                                                                                                                                                                                                                                                                |       | - offer to a to a fact of the second | Address of the same of the sam |       |
| TRADE VIGOUR 易物 | 9109NB                                                                                                                                                                                                                                                                                                                                                                                                                                                                                                                                                                                                                                                                                                                                                                                                                                                                                                                                                                                                                                                                                                                                                                                                                                                                                                                                                                                                                                                                                                                                                                                                                                                                                                                                                                                                                                                                                                                                                                                                                                                                                                                         | 25/11 | 1/12                                                                                                                                                                                                                                                                                                                                                                                                                                                                                                                                                                                                                                                                                                                                                                                                                                                                                                                                                                                                                                                                                                                                                                                                                                                                                                                                                                                                                                                                                                                                                                                                                                                                                                                                                                                                                                                                                                                                                                                                                                                                                                                          | 2/12                                                                                                                                                                                                                                                                                                                                                                                                                                                                                                                                                                                                                                                                                                                                                                                                                                                                                                                                                                                                                                                                                                                                                                                                                                                                                                                                                                                                                                                                                                                                                                                                                                                                                                                                                                                                                                                                                                                                                                                                                                                                                                                           | 3/12  |
| TRADE VIGOUR 易物 | 9110NB                                                                                                                                                                                                                                                                                                                                                                                                                                                                                                                                                                                                                                                                                                                                                                                                                                                                                                                                                                                                                                                                                                                                                                                                                                                                                                                                                                                                                                                                                                                                                                                                                                                                                                                                                                                                                                                                                                                                                                                                                                                                                                                         | 11/12 | 17/12                                                                                                                                                                                                                                                                                                                                                                                                                                                                                                                                                                                                                                                                                                                                                                                                                                                                                                                                                                                                                                                                                                                                                                                                                                                                                                                                                                                                                                                                                                                                                                                                                                                                                                                                                                                                                                                                                                                                                                                                                                                                                                                         | 18/12                                                                                                                                                                                                                                                                                                                                                                                                                                                                                                                                                                                                                                                                                                                                                                                                                                                                                                                                                                                                                                                                                                                                                                                                                                                                                                                                                                                                                                                                                                                                                                                                                                                                                                                                                                                                                                                                                                                                                                                                                                                                                                                          | 19/12 |

ETD VOY ETA 17/11 20/11 V016E UGLEGORSR

TRADE VIGOUR 易勃

13/11 GOLDEN GLORY 金輝 11/11

20/11 TRADE VIGOUR 易動 20/11 9109SB 25/11 KCYTA RIA 海龍 76SB 24/11 4/12 SEA HORSE 海馬 10SB

|     |            |                                                                                                                                                                                                                                                                                                                                                                                                                                                                                                                                                                                                                                                                                                                                                                                                                                                                                                                                                                                                                                                                                                                                                                                                                                                                                                                                                                                                                                                                                                                                                                                                                                                                                                                                                                                                                                                                                                                                                                                                                                                                                                                                                                                                         |            | · · · · · · · · · · · · · · · · · · · | *.' * | · · · · · · · · · · · · · · · · · · · |       |
|-----|------------|---------------------------------------------------------------------------------------------------------------------------------------------------------------------------------------------------------------------------------------------------------------------------------------------------------------------------------------------------------------------------------------------------------------------------------------------------------------------------------------------------------------------------------------------------------------------------------------------------------------------------------------------------------------------------------------------------------------------------------------------------------------------------------------------------------------------------------------------------------------------------------------------------------------------------------------------------------------------------------------------------------------------------------------------------------------------------------------------------------------------------------------------------------------------------------------------------------------------------------------------------------------------------------------------------------------------------------------------------------------------------------------------------------------------------------------------------------------------------------------------------------------------------------------------------------------------------------------------------------------------------------------------------------------------------------------------------------------------------------------------------------------------------------------------------------------------------------------------------------------------------------------------------------------------------------------------------------------------------------------------------------------------------------------------------------------------------------------------------------------------------------------------------------------------------------------------------------|------------|---------------------------------------|-------|---------------------------------------|-------|
|     |            | 15) de 34 1                                                                                                                                                                                                                                                                                                                                                                                                                                                                                                                                                                                                                                                                                                                                                                                                                                                                                                                                                                                                                                                                                                                                                                                                                                                                                                                                                                                                                                                                                                                                                                                                                                                                                                                                                                                                                                                                                                                                                                                                                                                                                                                                                                                             | 4 位 10     | 1/2 11                                | Tel   | 836                                   | 3022  |
| ,   |            | TOTAL BUSINES                                                                                                                                                                                                                                                                                                                                                                                                                                                                                                                                                                                                                                                                                                                                                                                                                                                                                                                                                                                                                                                                                                                                                                                                                                                                                                                                                                                                                                                                                                                                                                                                                                                                                                                                                                                                                                                                                                                                                                                                                                                                                                                                                                                           |            |                                       | 1 2   | : 838                                 | 3171  |
| - 1 |            | $= \int_{\mathbb{R}^n}  \Phi(x) ^{2n} dx  dx  dx + \frac{1}{n} \left( \frac{1}{n} \right) \right) \right) \right) \right)}{n} \right) \right) \right) dx \right) dx \right) dx \right) dx \right) dx} dx $ |            |                                       |       |                                       |       |
| I   | <b>***</b> | WID.                                                                                                                                                                                                                                                                                                                                                                                                                                                                                                                                                                                                                                                                                                                                                                                                                                                                                                                                                                                                                                                                                                                                                                                                                                                                                                                                                                                                                                                                                                                                                                                                                                                                                                                                                                                                                                                                                                                                                                                                                                                                                                                                                                                                    |            |                                       |       |                                       |       |
| ı   | -          | VESSEL.                                                                                                                                                                                                                                                                                                                                                                                                                                                                                                                                                                                                                                                                                                                                                                                                                                                                                                                                                                                                                                                                                                                                                                                                                                                                                                                                                                                                                                                                                                                                                                                                                                                                                                                                                                                                                                                                                                                                                                                                                                                                                                                                                                                                 | VOY F      | ECG C                                 | 1.86  | TTA .                                 | ETD   |
| ŀ   |            | XIU SHAN Will                                                                                                                                                                                                                                                                                                                                                                                                                                                                                                                                                                                                                                                                                                                                                                                                                                                                                                                                                                                                                                                                                                                                                                                                                                                                                                                                                                                                                                                                                                                                                                                                                                                                                                                                                                                                                                                                                                                                                                                                                                                                                                                                                                                           | V. 9141/42 | 5/11                                  | 11/11 | 12/11                                 | 13/11 |

| · I | with priture. | 3\$ iff                                 | A . 9141        | 7.44             | OV LT | 11/11 | 144 11 | 14/11 |
|-----|---------------|-----------------------------------------|-----------------|------------------|-------|-------|--------|-------|
|     | XIU SHAN      | 秀山                                      | <b>V</b> . 9143 | /44              | 18/11 | 24/11 | 25/11  | 26/11 |
|     | · ·           |                                         | <b>化板台港</b>     | . \$1 <b>4</b> 树 | 植植    |       |        |       |
|     |               |                                         |                 |                  |       |       |        |       |
| l   | WAN XIANG     | ・・・・・・・・・・・・・・・・・・・・・・・・・・・・・・・・・・・・・・・ | V. 100          |                  | 10/11 | 16/11 | 17/11  | 20/11 |
| •   | WAN XIANG     |                                         | V. 102          |                  | 30/11 | 6/12  | 4/12   | 7/12  |
|     |               | 兼机                                      | rie la          | * 断箱系            | 人家教育  |       |        |       |

### Freight-Trans International Co., Ltd. 輝騰有限公司

Rm.918 Jardine House

電話 Tel:8449198 香港中環性和大厦 9 樓 9 1 8 至 Tientsin Marine Shipping Company

天津市海運公司 CONTAINER/BREAKBULK SERVICE (貨箱/散貨班輪)

承接大字整箱貨直航泰皇島 9/11 11-12/11 TIAN YUE (天曜) V. 175AB 出)844 9132 15/11 17-18/11 10/11 SKY HOVER (天翔) V. 60AB 844 6469

18/11 20-21/11 TIAN YAN (天燕) V. 135AB 844 9129 23/11 25-26/11 TIAN YUE (天曜) V. 176AB 28/11 30/11-1/12 (入) 844 9196 SKY HOVER (天翔) V. 61AB CY收貨站:海港貨櫃服務有限公司 電話:4977099

CFS收貨站:獎滿現代貨機碼頭 電話: 4253325 China National Foreign Trade Transportation Corporation 中國對外貿易運輸公司一天津分公司

CONTAINER SERVICE 〈貨箱班輪 到→離港 裁貨

(出)8468638 TRADE RELISH (易律) V. 9117N 6/11 11/11 13-14/11 26/11 28-29/11 TRADE RELISH (易津) V. 9118N 21/11 11/12 13-14/12 TRADE RELISH (易津) V. 9119N 6/12 (入) 844 9196 26/12 28-29/12 TRADE RELISH (易津) V. 9120N 21/12

C Y收貨站:海港貨櫃服務有限公司 電話: 4977099 Singtrans - Asiari Development(Shanghail International Transportation Corporation

環 亞 (上海)國際 貨運公司 DREAKBULK SERVICE ( 散貨班輪 ) 兼收上海市及附近城市貨物陸路運輸

截貨 到→離港 收貨 13/11 12-15/11 SAN JIANG (三江) V. 9129 10/11 (出)844 6435 22/11 22-24/11 WU SHAN (鳥山) V. 9131 30/11 29/11-2/12 (入)844 9196 SAN JIANG (三江) V. 9131 27/11

WU SHAN (鳥山) V. 9133 8-10/12 TRS收貨站:減安貨運有限公司 電話 4040701。

## CHO YANG LINE

| <b>輸船</b><br>Vessel | t 次<br>VOY | <b>收货</b><br>RECE <b>IVI</b> NG | 全貨糧裁貨<br>CY CLOSING | <b>献港</b><br>ETD<br>HONG KONG | 耶加達<br>JAKARTA | 巴生港<br>ETA<br>PORT KELANG | <b>暴加坡</b><br>SINGAPORE |
|---------------------|------------|---------------------------------|---------------------|-------------------------------|----------------|---------------------------|-------------------------|
| NIKOKAY MALAKBOV    | ·          | 9/11                            | 15/11               | 17/11                         | 23/11          |                           | 29/11                   |
| WESTPHALIA          | SB103      | 17/11                           | 23/11<br>29/11      | 25/11<br>1/12                 | 1/12<br>7/12   |                           | 7/12<br>13/12           |
| SAINT LOUIS         | SBI12      | 23/11                           | Z9/11               | 1/12                          | 7/12           |                           | 13/12                   |

| WANTE VESSEL  | 献 次   | 收載        | 全貨棚報貨      | <b>維港</b>     | 董山        |
|---------------|-------|-----------|------------|---------------|-----------|
|               | YOY   | RECEIVING | CY CLOSING | ETD HONG KONG | ETA BUSAN |
| WESTPHALIA    | NB102 | 06/11     | 12/11      | 14/11         | -18/11    |
| SAINT LOUIS   | NB111 | 12/11     | 18/11      | 20/11         | 24/11     |
| CHO YANG LAND | NB105 | 17/11     | 23/11      | 25/11         | 20/11     |

- 收货站:富大压倉 **沓港辦事處**: 中球干活道中200號

信徒中心16樓1602室 维信:5595857 電報:78070 CYS HK HX 件具:5593049

廣州辦事處: 廣州環市東路368號 花園酒店花園大廈614房 電話:338999轉7614

九靜尖沙咀廣東道海港城環珠航運中心902室 State 902, World Shapping Centre, Harbour City, Fax: 735-5818 TEL: 735-4881 (6 Lines)

### 香港至中國各省 全貨櫃、散貨及集裝箱貨船

廣州、瀟石、江門、東莞、中山、黃埔、容奇、蛇口、珠海 天天有船及可安排船邊收貨

汕頭、福州、厦門、海口、 整體、湛江、青島、上海、天津、新港、北京、大連 每星期一航次

承辦往來香港與中國各地之陸路拖運服務 包括深圳、廣州、恩平、開平、韶關、蘊州、 汕頭、湛江、惠州、中山、珠海等地、快捷安全。

鐵路運輸:承辦火車至國內各省市鐵路運輸業務

承辦中國、香港往來美國、歐洲、東南亞、中東 澳洲、印度等地之貨物。

歡迎垂詢

華順船務有限公司 "KONG TONG DAO"

崆峒

船約於十一月八日由青島抵港 請各收貨人速到本公司 辦理提貨手續 地址,上環林上街一號廣發行大廈十字樓

地沿海省港干諾的中200回信德中尼33搜3312室 電話: 5460572 (恐權) 出口 8584679 人口 8584657 負標 5598376

電話: 5448622

| 烎  | 期班輪川航                                                  | 香港、福建                                                           |
|----|--------------------------------------------------------|-----------------------------------------------------------------|
| 港口 |                                                        | 界航日期                                                            |
| 福州 | 間海105<br>関海109<br>関海120<br>関海112<br>北峰山(貨糧)<br>東峰山(貨糧) | 進一、十一<br>進四、十四、廿四<br>進六、十六、廿六<br>進八、十八、廿八<br>進十、二十、三十<br>進十五、廿五 |

造星期\*\*\*\* 厘水道15 達異期三 育志3號

產品期五 圖海225 羅江(黄檀) XL9168 8/11 逢五、十五、廿五 圖海224

**造**十、二十、三十 泉州4號 渔八、十八、廿八 請撥電話 Ħ

مهابها بتباعيه فيابها

品